



# CUMHURİYET ÜNİVERSİTESİ MÜHENDİSLİK FAKÜLTESİ DERGİSİ

Bulletin of the Faculty of Engineering, Cumhuriyet University  
SERİ, A- YERBİLİMLERİ  
Seri, A-Earth Sciences  
İÇİNDEKİLER (CONTENTS)

Hekimhan-Hasançelebi (KB Malatya) Yöresinin Stratigrafisi ve Tektoniği Stratigraphy and Tectonics of the Hekimhan-Hasançelebi Area, NW Malatya, Central-Eastern Turkey ..... Sabah YILMAZ, Durmuş BOZTUĞ, Ali ÖZTÜRK	1
Bolu Masifi Örtü Kayaçlarında Diyajenetik ve Çok Düşük Dereceli Metamorfik Kil Minerallerinin Mineralojisi ve Jeokimyası Mineralogy and Geochemistry of Diagenetic and Very Low Grade Metamorphic Clay Minerals in the Cover Rocks of Bolu Massive ..... Hüseyin YALÇIN, Orhan CERİT	19
Kırka Baseninde Diyajenetik Silikat ve Karbonat Minerallerinin İncelenmesi Investigation of Diagenetic Silicate and Carbonate Minerals in the Kırka Basin ..... Hüseyin YALÇIN, M.Niyazi GÜNDÖĞDU, Nicole LIEWIG	31
Levent (Akçadağ-Malatya) Kuzeybatisının Stratigrafik Özellikleri The Stratigraphy Characters of NW Levent (Akçadağ-Malatya) ..... Orhan ÖZELİK, Mehmet ALTUNSOY	47
Güney Pirene Havzası (İspanya) ve Türkiye Paleosen'ine Genel Bir Bakış Generalized View of the Paleocene of South Pyrenean Basin (Spain) and Turkey ..... Nurdan İNAN	63
Kuşdili (Kadıköy-İstanbul) Kuvaterner'inin Sedimenter Jeolojisi ve Paleoekolojisi Sedimentary Geology and Palaeoecology of Kuşdili (Kadıköy-İstanbul) Quaternary ..... Engin MERİÇ, Fazlı Y.OKTAY, Mehmet SARKINÇ, Dinçer GÜLEN, Volkan Ş. EDİGER, ..... Nurettin MERİÇ, Mehmet ÖZDOĞAN	83
Ayamama (Bakırköy-İstanbul) Kuvaterner İstifinin Sedimenter Jeolojisi ve Paleoekolojisi Sedimentary Geology and Palaeoecology of Ayamama (Bakırköy-İstanbul) Quaternary Sequence ..... Engin MERİÇ, Fazlı Y.OKTAY, Mehmet SARKINÇ, Dinçer GÜLEN, Aynur İNAL	93
Başçayır-Dağönü (Ulaş-Sivas) Yöresinde Divriği Ofiyolitli Karışığının Ana Bileşenleri ve Kromit Yataklarının Jeolojisi Main Components of the Divriği Ophiolitic Melange and Geology of the Chromite Deposites in the Başçayır-Dağönü (Ulaş-SİVAS) Area ..... Osman KOPTAGEL, Ahmet GÖKÇE	101
Antalya Travertenlerinin Fziko-Mekanik Özellikleri ve Yapı Gereci Olarak Değerlendirme Olanakları Physico-Mechanical Properties of the Antalya Travertines and Their Significance in the Construction Sector ..... Feda ARAL	119

# CUMHURİYET ÜNİVERSİTESİ

## MÜHENDİSLİK FAKÜLTESİ DERGİSİ

Bulletin of the Faculty of Engineering, Cumhuriyet University

SERİ, A- YERBİLİMLERİ

Seri, A-Earth Sciences

### İÇİNDEKİLER (CONTENTS)

Hekimhan-Hasançelebi (KB Malatya) Yöresinin Stratigrafisi ve Tektoniği Stratigraphy and Tectonics of the Hekimhan-Hasançelebi Area, NW Malatya, Central-Eastern Turkey	Sabah YILMAZ, Durmuş BOZTUĞ, Ali ÖZTÜRK	1
Bolu Masifi Örtü Kayaçlarında Diyajenetik ve Çok Düşük Dereceli Metamorfik Kil Minerallerinin Mineralojisi ve Jeokimyası Mineralogy and Geochemistry of Diagenetic and Very Low Grade Metamorphic Clay Minerals in the Cover Rocks of Bolu Massive	Hüseyin YALÇIN, Orhan CERİT	19
Kırka Baseninde Diyajenetik Silikat ve Karbonat Minerallerinin İncelenmesi Investigation of Diagenetic Silicate and Carbonate Minerals in the Kırka Basin	Hüseyin YALÇIN, M.Niyazi GÜNDÖĞDU, Nicole LIEWIG	31
Levent (Akçadağ-Malatya) Kuzeybatisının Stratigrafik Özellikleri The Stratigraphy Characters of NW Levent (Akçadağ-Malatya)	Orhan ÖZÇELİK, Mehmet ALTUNSOY	47
Güney Pirene Havzası (İspanya) ve Türkiye Paleosen'ine Genel Bir Bakış Generalized View of the Paleocene of South Pyrenean Basin (Spain) and Turkey	Nurdan İNAN	63
Kuşdili (Kadıköy-İstanbul) Kuvaterner'inin Sedimenter Jeolojisi ve Paleoekolojisi Sedimentary Geology and Palaeoecology of Kuşdili (Kadıköy-İstanbul) Quaternary	Engin MERİÇ, Fazlı.Y OKTAY, Mehmet SARKINÇ, Dinçer GÜLEN, Volkan Ş. EDİGER, Nurettin MERİÇ, Mehmet ÖZDOĞAN	83
Ayamama (Bakırköy-İstanbul) Kuvaterner İstifinin Sedimenter Jeolojisi ve Paleoekolojisi Sedimentary Geology and Palaeoecology of Ayamama (Bakırköy-İstanbul) Quaternary Sequence	Engin MERİÇ, Fazlı Y.OKTAY, Mehmet SARKINÇ, Dinçer GÜLEN, Aynur İNAL	93
Başçayır-Dağönü (Ulaş-Sivas) Yöresinde Divriği Ophiolitli Karışığının Ana Bileşenleri ve Kromit Yataklarının Jeolojisi Main Components of the Divriği Ophiolitic Melange and Geology of the Chromite Deposites in the Başçayır-Dağönü (Ulaş-SİVAS) Area	Osman KOPTAGEL, Ahmet GÖKÇE	101
Antalya Travertenlerinin Fziko-Mekanik Özellikleri ve Yapı Gereci Olarak Değerlendirme Olanakları Physico-Mechanical Properties of the Antalya Travertines and Their Significance in the Construction Sector	Feda ARAL	119

HEKİMHAN-HASANÇELEBİ (KB MALATYA) YÖRESİNİN STRATİGRAFİSİ VE TEKTONİĞİ

## **Stratigraphy and tectonics of the Hekimhan-Hasançelebi area, NW Malatya, Central-Eastern Turkey**

Sabah YILMAZ Cumhuriyet Univ. Jeoloji Müh. Böl. Sivas

Durmuş BOZTUĞ Cumhuriyet Üniv. Jeoloji Müh. Böl. Sivas

Ali ÖZTÜRK Cumhuriyet Univ. Jeoloji Müh. Böl. Sivas

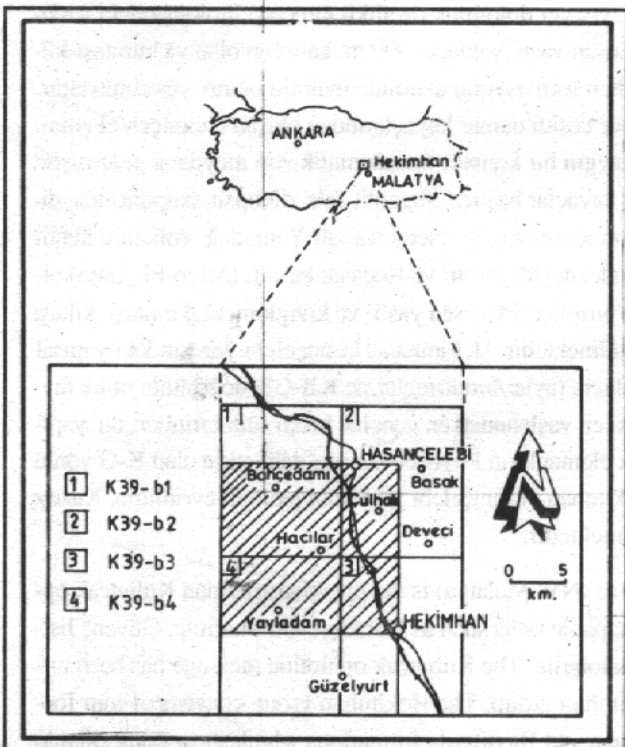
**ÖZ :** Hekimhan-Hasançelebi (KB Malatya) yöresinde yüzeylenen birimlerden en yaşlı olanı, Maestrihiyen öncesi yaşı na sahip Kuluncak ofiyolitli karışığıdır. Bu birim kendi arasında haritalanabilir beş alt birime ayrılmıştır. Bunlar Karadere ultramafiti, Güvenç lisfeniti, Körburun volkaniti, Maltepe gabrosu ve Gündoğcikdere radyolaritidir. Bu birim üzerine uyumsuz olarak Maestrihiyen- Paleosen-Eosen yaşlı Hekimhan grubu gelmektedir. Hekimhan grubu da birbirile uyumlu dört formasyondan oluşmaktadır. Bunlar, alttan üste doğru, Uludere, Kavakdere, Ardahan ve Davuttarla formasyonlardır. Maestrihiyen yaşlı Uludere formasyonu Buldudere üyesi, Dinekkaya üyesi ve Bahçedam volkaniti olmak üzere üç üyeden oluşmaktadır. 415 m. kalınlığa sahip olan Buldudere üyesi, tabanda konglomeralarla başlamakta ve üste doğru kumtaşı, kilitası ve kireçtaşının türü kayaçların hakim olduğu bir litolojik topluluk ile devam etmektedir. Toplam 100 m. kalınlığına sahip olan Dinekkaya üyesi, alt kesimlerinde kalınlığı değişken olan (7-35 m. arası) kumtaşı-kilitası-marn adlandırmamasından oluşturken, üst kesimlerde ise kireçtaşından oluşmaktadır. Uludere formasyonunun diğer bir üyesi olan Bahçedam volkaniti, genel olarak bazalt, andezit ve bazaltik andezit türü lav akınlarının yanısıra spilit ve diyabaz türü damar kayaçlarından oluşmaktadır. Maestrihiyen yaşlı, kumtaşı-kilitası-siltası-marn ve ender olarak da kireçtaşının ardalanmasından oluşan flişimsi karakterli ve 400 m'lik bir kalınlığa sahip olan Uludere formasyonunu uyumlu olarak örtmektedir. Kavakdere formasyonu ise Üst Maestrihiyen yaşlı ve 320 m'lik bir kalınlığa sahip, az kristalize, sarımsı renkli, yer yer dolomitik özellikli kireçtaşının litolojisindeki Ardahan formasyonu tarafından uyumlu olarak örtülmektedir. Paleosen-Eosen yaşlı, yaklaşık 300 m. kalınlığı olan ve kumtaşı-kilitası-kireçtaşının ardalanmasından oluşan Davuttarla formasyonu Ardahan formasyonu üzerinde uyumlu olarak yer almaktadır. Paleosen yaşlı ve kuvars-siyenit, siyenit, granit, altere granitoyidlere ve çeşitli damar kayaçlarından oluşan Hasançelebi granitoyidi, Bahçedam volkanitine sokulum yaparak, sınırları boyunca yaygın bir kontakt metasomatik zon meydana getirmiştir. Konukdere metasomatiti olarak tanımlanan bu kontakt metasomatik kayaçlar başlıca, skapolit-fels, diyopsit-skapolit-fels, diyopsit-fels ile Hasançelebi granitoyidine ait çeşitli damar kayaçlarını içermektedir. Neojen yaşlı Yamadağ volkaniti kendi arasında, alttan üste doğru, Karadağ riyoliti (Miyosen), Leylekdağ andeziti (Miyosen) ve Koçasar bazaltı (Miyo-Pliyosen) olmak üzere üç alt birimden oluşmaktadır. Çalışma alanındaki tüm bu birimler, Pliyosen yaşlı ve konglomera, kumtaşı, kilitası litolojisindeki Ciritbelen formasyonu tarafından uyumsuz olarak örtülmektedir. Hekimhan-Hasançelebi yöresindeki yapısal unsurlar, başlıca, D-B doğrultulu kıvrım eksenleri ve bunlara paralel ters faylar/bindirmeler ile KB-GD doğrultulu oblik faylar ve K-G yönlü normal faylardan oluşmaktadır. İncelemeye alınan en yaşlılarından en gencine kadar tüm birimler, bu yapısal elemanlar tarafından etkilenmişlerdir. Bu yüzden tüm bu tektonik elemanların Pliyosen sonrası dahi etkin olan K-G yönlü sıkışma hareketleri ile meydana geldiği sonucuna varılmaktadır. Hekimhan-Hasançelebi yöresinin jeolojik evriminin, Kuzey Torid Okyanusunun jeolojik evrimi ile ilişkili olabileceği düşünülmektedir.

**ABSTRACT :** The oldest unit of the Hekimhan-Hasançelebi area (NW Malatya) is the pre-Maastrichtian Kuluncak ophiolitic melange. This melange has also been subdivided into five mapable units such as Karadere ultramafite, Güvenç listwaenite, Körburun volcanics, Maltepe gabbro and Gündoğcikdere radiolarite. The Kuluncak ophiolitic melange has been unconformably overlain by the Maastrichtian-Paleocene-Eocene Hekimhan group. The Hekimhan group consists of four formations such as, from bottom to top, the Uludere, Kavaklıdere, Ardahan and Davutlarla formations which show conformable contact with each other. The Maastrichtian Uludere formation is composed of, from bottom to top, the Buldudere member, Dinekkaya member and Bahçedam volcanics. The Buldudere member with a thickness of 415 m, comprises conglomerates in the lower parts followed by sandstone-claystone and limestone towards the upper parts. The Dinekkaya member, having a to-

tal thickness of 100 m, consists of sandstone-claystone marl alternation which is possesing a variable thickness from 7 to 35 m in the lower parts. The Bahçedam volcanics another member of the Hekimhan group, are made up generally of basalt, andesite and basaltic andesite with some vein rocks such as spilite and diabase. The flyschoidal Kavakdere formation of Maastrichtian age consists mainly of sandstone-claystone-siltstone-marl and rarely of limestone alternation, with a total thickness of 415 m, conformably overlies the Uludere formation. The Kavakdere formation is conformably overlain by the Upper Maastrichtian Ardahan formation consisting of slightly crystallized, yellowish colored, sometimes dolomitized limestones representing a total thickness of 320 m. The Paleocene-Eocene Davutlarla formation, with a total thickness of 300 m, conformably overlies sandstone-claystone-limestone alternation. The Paleocene Hasançelebi granitoid, consisting of quartz-syenite, syenite, granite, altered granitoid and various types of vein rocks has intruded into the Bahçedam volcanics by forming a widespread contact metasomatic zone along its boundary. These contact metasomatic rocks, recently called Konukdere metasomatite, are made up of scapolite-fels, diopside-scapolite-fels and some vein rocks related to the Hasançelebi granitoid. The Neogene Yamaçdağ volcanics consist of, from bottom to top, the Karadağ rhyolite (Miocene), Leylekdağ andesite (Miocene) and Koçasar basalt (Mio-Pliocene). All these units in the studied area are overlain by the Pliocene Ciritbelen formation which is consisting of conglomerate-sandstone and limestone. As for the structural elements in the Hekimhan-Hasançelebi area, they are composed of E-W fold axis and reverse faults/thrusts, NW-SE oblique faults and N-S normal faults. All the lithostratigraphic and lithodem units, ranging from pre-Maastrichtian to Pliocene in age, have been affected by these structural elements mentioned above. Therefore, these structural elements are concluded to have been formed by the post-Pliocene N-S compressional forces. The geological evolution of the Hekimhan-Hasançelebi area is thought to be related to the geological evolution of the North Tauride Ocean.

## GİRİŞ

İnceleme alanı, Malatya ilinin yaklaşık 80 km kuzey-batısında, Hekimhan ilçesi ile Hasançelebi yerleşim birimleri arasında, 1/25.000 ölçekli MALATYA K39-b1, b2, b3, b4 topografik ptaftaları içerisinde yaklaşık 250 km<sup>2</sup>lik bir alanı kapsamaktadır (Şekil-1).



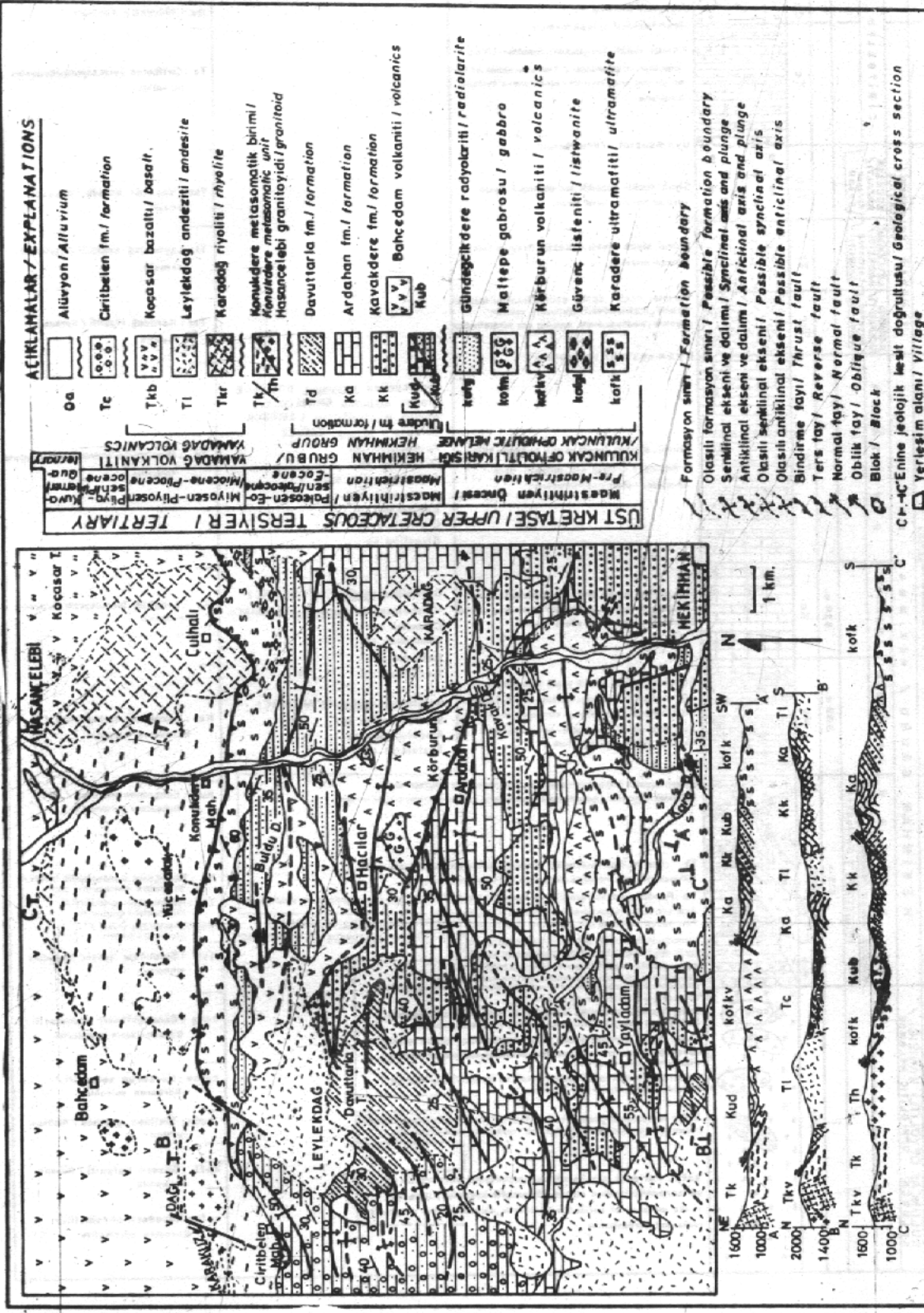
**Şekil-1 Çalışma alanının yer bulduru haritası**  
Fig.-1 Location map of the studied area.

Çalışmanın amacı, bölgede yüzeylenen birimlerin stratigrafik ve tektonik ilişkilerini ortaya koymak, yörenin jeolojisini aydınlatmak. Bu amaçla bölgenin 1/25.000 ölçekli jeoloji haritası yapılmış ve şeritmetre-pustla yöntemiyle (Compton, 1967) ölçülu tip kesitleri tanımlanmıştır.

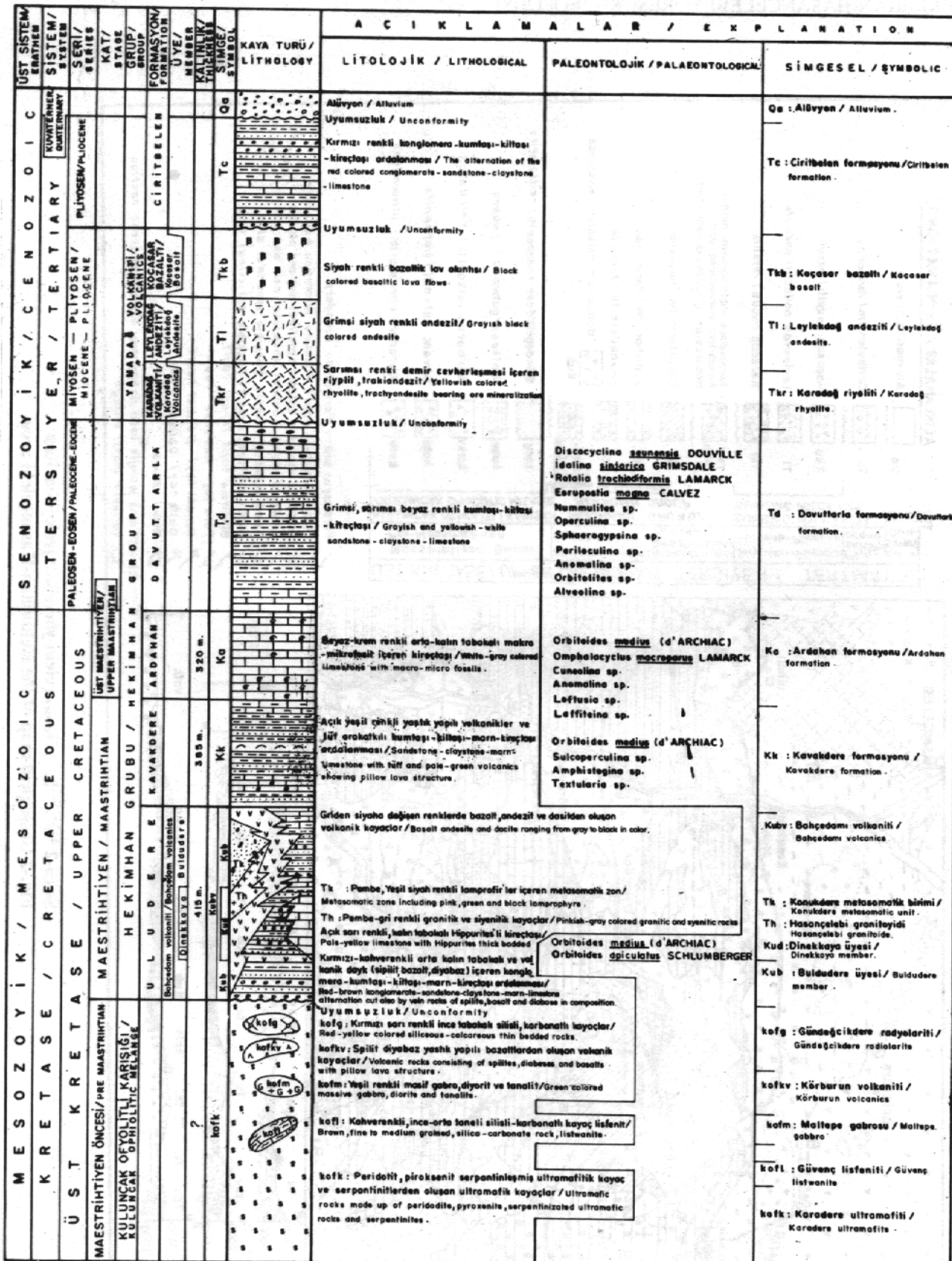
İnceleme alanı ve yakın çevresi içeriği demir cevherleşmesinden dolayı değişik amaçlı çalışmalara konu olmuştur. Bölgenin jeolojisi ve stratigrafisi konusunda; Fresh (1912), Chaput (1936), Blumenthal (1938), Gattinger (1957), Locher (1959), İzdar (1963), Ayan ve Bulut (1964), Baykal (1966), Jacobson ve diğ. (1970), Sincan (1980) ve İzdar ve Ünlü (1977) çalışılmışlardır. Çalışma alanında yer alan Karakuz ve Deveci demir madenleri konusunda ise; Mohr (1961), Özer ve Kuşcu (1982) çeşitli araştırmalarda bulunmuşlardır. Hekimhan-Hasançelebi yöresindeki güncel çalışmalara bakıldığına ise yörenin jeolojisi ve magmatitlerinin mineralojik-petrografik ve jeokimyasal incelemesi (Yılmaz, 1991; Yılmaz ve Boztuğ, 1991a) ile sedimanter birimlerde kil mineralojisi çalışmaları (Yılmaz ve Boztuğ, 1991b) göze çarpmaktadır. Ayrıca, Hekimhan'in hemen güneyinde jeolojik, mineralojik-petrografik ve jeokimyasal amaçlı çalışmalar da gerçekleştirilmiştir (Bozkaya, 1991; Bozkaya ve Yalçın, 1991).

## STRATIGRAFİ

Hekimhan-Hasançelebi (KB Malatya) yöresinde yü-



**Şekil-2 Hekimhan-Hasancıları Yerleşim Jeoloji Haritası**



**Şekil-3 Hekimhan-Hasançelebi yörenesinin genelleştirilmiş statigrafik dizilimi**

**Fig.-3 Generalized stratigraphic columnar section of the Hekimhan-Hasancelebi area**

## HEKİMHAN-HASANÇELEBİ YÖRESİNİN JEOLOJİSİ

zeylenen birimler, alttan üste doğru, Maestrihtiyen öncesi yaşı Kuluncak ofiyolitli karışığı; Uludere formasyonu (Maestrihtiyen), Kavakdere formasyonu (Maestrihtiyen), Ardahan formasyonu (Üst Maestrihtiyen), Davutlarla formasyonu (Paleosen-Eosen), Paleosen yaşı (İzdar ve Ünlü, 1977) Hasançelebi granitoyidi ve Konukdere metasomatiti; alttan üste doğru Karadağ riyoliti, Leylekdağ andeziti ve Koçasar bazaltından oluşan Miyosen-Pliyosen yaşı Yamadağ volkaniti ve Pliyosen yaşı Ciritbelen formasyonundan oluşmaktadır (Şekil-2,3). Bunlardan Uludere, Kavakdere, Ardahan ve Davutlarla formasyonları aynı zamanda Hekimhan grubu olarak da tanımlanmıştır.

### KULUNCAK OFİYOLİTLİ KARIŞığı

İnceleme alanında temeli oluşturan ve geniş yüzleklere veren birim, çalışma alanının orta kesimlerinde Ciritbelen (K39-b1)-Çulhalı (K39-b2) köyleri arasında; inceleme alanının güneyinde Karadere (K39-b4) mahallesi çevresinde ve Karadere'nin kuzeyinde Dinekkaya antiklinalinin (İzdar ve Ünlü, 1977) çekirdeğinde yüzeylemektedir. Önceki çalışmalarında Kuluncak Ofiyoliti olarak adlandırılan (İzdar, 1963) bu birim, bu çalışmada, birbiriyle tektonik dokanaklı olarak (bloklar halinde) yüzeylenen haritalanabilir beş kayaç birimine ayrıldığı (Şekil-2,3) için Kuluncak ofiyolitli karışığı olarak adlandırılmıştır. Kuluncak ofiyolitli karışığı Maestrihtiyen yaşı taban konglomerası ile başlayan, kumtaşı-kultaşı-marn ardalanması ve çok az da olsa kireçtaşlarından oluşan Uludere formasyonu Buldudere üyesi ile uyumsuz olarak örtülmektedir. Dolayısıyla bu birimin yaşı Maestrihtiyen öncesi kabul edilmektedir. Kuluncak ofiyolitli karışığı içinde tanımlanan kayaç birimleri şunlardır.

#### Karadere Ultramasftı

Kuluncak ofiyolitli karışığı içinde en fazla yüzlek veren birimdir ve tip lokalitesi Karadere mahallesi çevresidir. Diğer yayımı ise, D-B uzanımlı olup, çalışma alanının ortasında Çulhalı köyü ile Ciritbelen köyleri arasındadır. Önceki çalışmalarında ultrabazitler olarak isimlendirilen bu birim (İzdar ve Ünlü, 1977), ofiyolitli karışığın diğer üyesi olan Körburun volkaniti ile yer yer bindirmeli dokanak oluştururken, yer yer de Körburun vokaniti ayrılabilir bloklar halinde serpentinleşmiş ultramasftiler içerisinde izlenmektedir. Ayrıca Karadere ultramasftı çalışma alanının orta kesiminde D-B uzanımlı büyük bindirmeli bir sınır oluşturmaktadır. Karadere ultramasftı serpentinit, serpentinleşmiş ultramasft (peridotit, proksenit), ovilingabro ve gabrodan oluşmaktadır. Birimin içerisinde yüzeylenen gabrolar sert ve çökintili topoğrafya sunarken, serpentinit, pirosenit vb.

kayaçlar daha düşük seviyelerde, toprağımsı yüzeylerle karakterize edilmektedirler. Karadere mahallesi civarında serpentinleşmiş ultramasftler içerisinde, yaklaşık 150-200 m. uzunluğa, 60-70 m kalınlığa sahip tonalit ve diyorit-porfir dayları gözlenmiştir. Ayrıca Çıraklı mahallesinin (K39-b4) kuzeydoğusunda bulunan Ambarın dere (K39-b4) içerisinde, 1-2 m çapında bazalt, 10-15 m çapında kireçtaşları ve spilit blokları, 5-6 m çapında radyolarit blokları ve siyah renkli gabro mercekleri izlenmektedir.

#### Güvenç Lisfeniti

Kuluncak ofiyolitli karışığı içinde ilk defa bu çalışmada ayırtlanan Güvenç lisfeniti, Çulhalı köyünün güneybatısında Çatal tepe ile Güvenç köyü (K39-b2) arasında ortalamma 200-250 m kalınlığında, D-B uzanımlı bir mostraya sahiptir (Şekil-2). Bu lokasyon dışında Karadere ultramasfti içinde küçük seviyeler halinde, özellikle bindirme zonları boyunca lisfenit oluşumları gözlenmektedir. Ultramasft kayaçlar içerisinde görülen lisfenitler kalsit, kuvars, yer yer mafik mineral kalıntıları ve açık kahve renkli demiroksit ve siyah renkli kromit mineralleri içermektedir. Bu mineralerin yanısıra kayaçlarda yeşil renkli malahit oluşumları da gözlenmektedir. Önceki çalışmalarında ultrabazik magmatizma faaliyetinin en fazla etkilediği dolomitleşmiş metamorf kireçtaşları birimi olarak tanımlanan (İzdar ve Ünlü, 1977) bu kayaçlar, kromitin yanısıra mafik mineral kalıntıları içermesinden ve ultramasft kayaçlarla birlik oluşturmalarından dolayı, ilk kez bu çalışmada lisfenit (Bingöl, 1974) olarak isimlendirilmiştir.

#### Körburun Volkaniti

Kuluncak ofiyolitli karışığı içinde mafik volkanikler olarak ayrılan birimin tip lokalitesi Körburun tepedir (K39-b3, 1168 m). Diğer mafik volkanitler, Karadere mahallesi'nin kuzeybatısında, haritalanabilir ölçekte bloklar halinde gözlenmektedir. İnce taneli, afanitik dokulu, bazaltik kayaçlardan oluşan bu birimin, ince kesit düzeyinde incelemlerinde başlıca, plajiyoklaz, piroksen mineralleri yanında yaygın kloritleşme, karbonatlaşma, silişleşme türü bozunmalar gözlenmektedir. Önceki çalışmalarında yarı denizel kaynaklı spilit, bazalt ve diyabaz litolojisinde tanımlanan (İzdar, 1963) bu birim, değişik volkanik kayaçlar ile okyanusal kaynaklı yastık yapılı bazaltlardan oluşmaktadır. Çalışma alanında, yastık yapılı bazaltlar, özellikle Körburun tepenin güneyinde, Hekimhan'dan Ardahan köyüne giden yolun GB tarafında; Kavakdere vadisi içerisinde, kumtaşı-marnlar arasında ve Hacılar köyünün kuzeydoğusunda, batan-doğuya akan Bayağazın derede (K39-b1, 0105)

marnlar içerisinde gözlenmektedir. Çapları 20 cm'den 1.5-2 m'ye kadar değişen boyutlardaki yastık yapısı gösteren bazaltlar yuvalagsımsı veya elipsoidal şekilli, yüzeyleri kırılgan görünümlüdür. Yastık yapılı bazaltların varlığından ve Karadere ultramafitiyle ilişkilerinden dolayı Kuluncak ofiyolitli karışığı içerisinde tanımlanan Körburun volkaniti, kalınlığının az olmasına rağmen, yayılımı fazla olan bir birimdir.

#### **Maltepe Gabrosu**

Maltepe gabrosu, inceleme alanının ortasında Hacılar köyünün güneydoğusunda ve Eskikent Mahallesi (K39-b2) civarında, 250-750 m boyutunda bloklar halinde görülmektedir. Ayrıca, 1 m'den 7-8 m kalınlığa kadar değişen boyutlarda dayklar, çalışma alanında mafik volkanitler ve ultramafikler içerisinde gözlenmektedir. İlk kez bu çalışmada tanımlanan ve gabro bileşiminde olan bu kayaçlar, yeşilimsi siyah renkli, eş taneli bir yapıda, tıknız, sert görünümülü, başlıca plajiyoklaz ve piroksen mineralleri içeren kayaçlardır. Mafik volkanikler ve ultramafikler içerisinde intrüze olmuş damarlar ve ayrıca, bloklar şeklindeki bu kayaçların kontaktlarında ezilme ve bresleşmenin yanısıra serpentinleşme ve killeşme gibi alterasyon ürünleri de gözlenmektedir.

#### **Gündeçikdere Radyolariti**

Kuluncak ofiyolitli karışığı içerisinde en az yüzlek veren birim Gündeçikdere radyolaritidir. Çalışma alanının doğusunda, Gündeçikdere'nin Güvenç çayına (K39-b2, 0706) karışığı lokasyonda, blok halinde gözlenen bir birimidir. Yaklaşık 25 m kalınlığa sahip, çok iyi tabakalanma göstermekte ve tabakaların kalınlığı 5-15 cm arasında değişmektedir ve çok aşırı kırılma ve ufalanmadan dolayı yüzeyi 1-5 cm'lik kırmızı renkli toprak örtüsü ile kaplıdır. Asimetrik kıvrımlanmaların tanımlandığı tabaka yüzeyleri hematit sıvamması ile kaplıdır. Bazı seviyelerde sarı renkli de gözleねibile bilen bu silski kayaçlar, el örneği düzeyinde kırılgan, kolay parçalanabilen, çok ince taneli bileşenlerden oluşan bir kayaçtır. Gündeçikdere radyolariti, ofiyolitik birimin en genç üyesi olup, üzerinde uyumsuz olarak gelen Buluddere üyesi konglomeralarına çakıl vermektedir.

#### **HEKİMHAN GRUBU**

Hekimhan-Hasançelebi arasındaki Devlet Kayaroyunun doğu ve batı yamaclarında geniş mostralarda izlenen ve Maestrihiyen'den-Paleosen-Eosen'e kadar değişen yaş aralığına sahip çeşitli formasyonlar, ilk kez bu çalışmada Hekimhan Grubu olarak isimlendirilmiştir. Sedimanter kayaçlar ile bunları kesen volkanik kayaçlardan oluşan, bir-

birleriyle uyumlu dört formasyona ayrılmıştır. Bunlar, alttan-üste doğru, Buludere üyesi, Dinekkaya üyesi ve Bahçedam volkanitinden oluşan Maestrihiyen yaşı Uludere formasyonu, Maestrihiyen yaşı Kavakdere formasyonu, Üst Maestrihiyen yaşı Ardahan formasyonu ve Paleosen-Eosen yaşı Davuttarla formasyonu'dur.

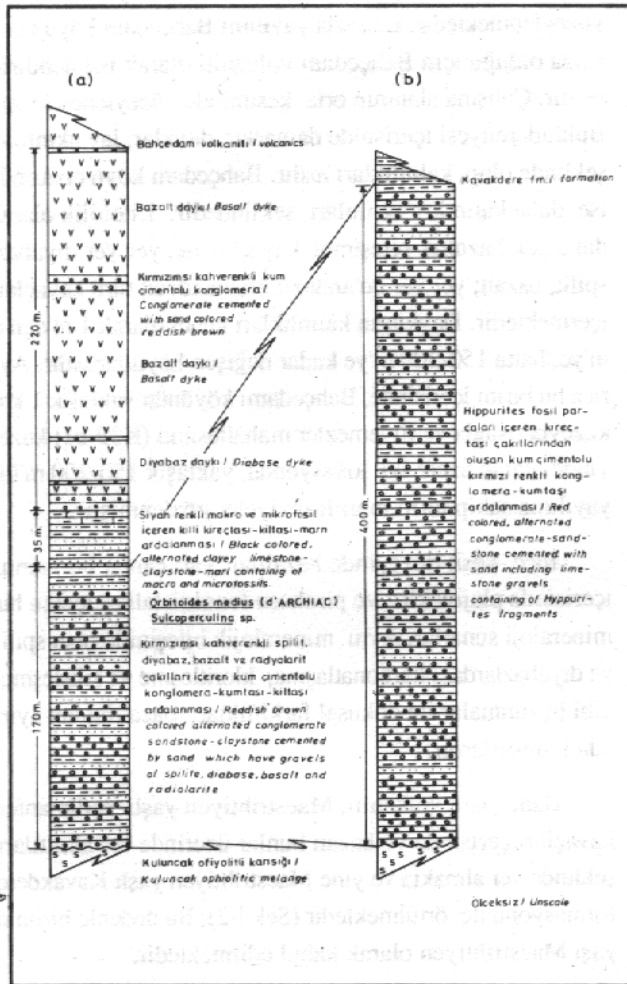
#### **Uludere Formasyonu**

Çalışma alanında Hekimhan-Hasançelebi arasındaki Devlet Karayoluna paralel olarak uzanan Uludere vadisinin doğu-batu yamacında yüzeylenen kayaçlar ilk kez bu çalışmada Uludere formasyonu olarak adlandırılmıştır. Arazinin orta kesimlerinde daha fazla yüzeylenen bu formasyon, kendi arasında Buludere üyesi, Dinekkaya üyesi ve Bahçedam volkanitinden oluşmaktadır. Maestrihiyen yaşı Uludere formasyonun Buludere üyesi, Kuluncak ofiyolitli karışığı üzerine uyumsuz olarak gelen, konglomera ile başlayıp kumtaşı-kultaşı-silttaşı ve kireçtaşları ardalanması şeklinde devam eden bir litolojiye sahiptir. Dinekkaya üyesi ise, alt kesimlerde kumtaşı-kultaşı ile başlayıp, kireçtaşları litolojisinde devam etmektedir. Bahçedam volkaniti ise, Buludere üyesine ait, özellikle alt seviyelerdeki kumtaşı, konglomera litolojisindeki kayaçlar içerisinde dayklar, ara katkular ve daha üst seviyelerde lav akıntıları şeklinde izlenmektedir. Bunlar daha çok bazalt, ender olarak ta spilit, diyalazit, andezit, bazaltik andezit bileşimine sahiptirler. Uludere formasyonu eski çalışmalarında (İzdar ve Ünlü, 1977), üç litolojik birime ayrılmıştır. Bunlar taban konglomera birimi; kumtaşı-marn birimi ve Hippurites'li kireçtaşları birimidir. Bu çalışmada ise, Buludere üyesi, Dinekkaya üyesi ve Bahçedam volkaniti olmak üzere üç ümeye ayrılmıştır.

**Buludere Üyesi :** İnceleme alanının orta kesiminde batıdan-doğuya akan Buludere vadisi civarında en iyi yüzlek veren, bunun dışında batıda Dereköy (K39-b1) ve Hacılar köyleri arasında en geniş alanı kaplayan, doğuda Karaklışik ve Boğazören (K39-b3) köyleri arasında yüzeylenen bir birimdir. Tip kesiti Buludere vadisi ve Kirizli mahallesi (K39-b4) içinde ölçülmüş ve kalınlığı 400-415 m bulunmuştur (Şekil-4).

Buludere üyesi litolojik olarak, alttan üstte doğru değişiklik gösterdiği gibi farklı lokasyonlarda içerdiği kayaç türü bakımından da farklılık sunmaktadır. Genel olarak konglomeratik bir seviye ile başlayan, kumtaşı-kultaşı-silttaşı-marn ve kireçtaşları ardalamasından oluşan bu birim, yer yer volkanik ara seviyeler veya volkanik dayklarla da kesilmişdir. Arazinin güneyinde, Kirizli mahallesi civarında egemen olarak kırmızı renkli, konglomera, yer yer kumtaşı seviyeler-

HEKİMHAN-HASANÇELEBİ YÖRESİNİN JEOLOJİSİ  
genden oluşurken, çalışma alanının ortalarında Buludere  
civarında ise, alt kesimlerde konglomeralardan, daha üst ke-  
simlerde kumtaşı-kıltası-marn ve kireçtaşları ardalanması ile  
volkanik katkılardan oluşmaktadır (Şekil-4).



**Sekil-4 Buldudere üyesinin a)Buldudere yöresinde,  
b)Krizli mahallesi çevresinde ölçülen tip kesitleri.**  
**Fig-4 Type sections of the Buldudere member deter-  
mined in the Buldudere valley (a) and Krizli village  
(b).**

Kırmızı renkli, yuvarlaşmış, yaklaşık 5 cm'den 20-30 cm'ye varan boyutlarda çakıllar içeren konglomeralar, üzerinde uyumsuz olarak geldikleri, Kuluncak oşiyolitli karışıguna ait kayaçların çakıllarından (peridotit, piroksenit, radyolarit, serpantinit, vb.) oluşmakta, kırmızı renkli kumtaşları ile gevşek dokulu olarak bağlanmaktadır. Kumtaşlarının ince kesit düzeyinde incelenmeleri sonucu (Yılmaz, 1991), bunlar değişik araştırcılara göre subgrovak, arkoz (van Andel, 1958); sublitarenit, feldispatik litarenit (Folk, 1974); feldispatlı litik kuvars kum taşı, feldispatlı kuvars kum taşı, silikatlı kum taşı (Travis, 1970) olarak isimlendirilmiştir.

Kiltaşlarının ise, daha fazla simektit, az miktarda klorit, illit ve illit-klorit karışık tabaklı kil minerallerinden olduğu gözlenmiştir (Yılmaz ve Boztuğ, 1991b).

Buludere üyesi içerisinde gözlenen kireçtaşlarının mikropaleontolojik incelemeleri sonucunda aşağıdaki veriler elde edilmiştir.

SY-272/1 (K39-b2, 0306)

Fosil türü : **Orbitoides medius (d'ARCHIAC)**

## **Sulcoperculina sp.**

SY-610 (K39-b2, 0306)

Fosil türü : **Orbitoides medius** (d'ARCHIAC)

Yaş : Maestrihiyen

Inceleyen : A.Poisson (Üniv.Paris-Sud., Paris)

SY-468 (K39-b1, 9607)

Fosil türü : **Orbitoides medius** (d'ARCHIAC)

### **Sulcoperculina sp.**

Yaş : Maestrihtiyen

İnceleyen : N. İnan (C.Ü., Sivas)

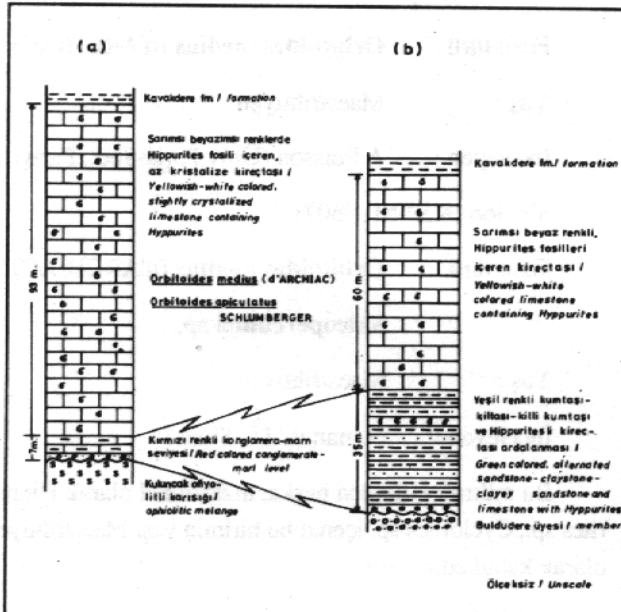
Bu mikrofosillerden başka, makrofossil olarak Hippurites sp., Cyclolites sp. içeren bu birimin yaşı Maestrichtiyen olarak kabul edilmiştir.

Buldudere üyesi kireçtaşlarının tüm kayaç XRD sonuçlarına göre, kalsit, çok az miktarda kuvars ve plajiyoklaz ile kil mineralerindenoluştuğu tespit edilmiştir (Yılmaz, 1991).

Dinekkaya Üyesi : İnceleme alanının güneyinde Dinekkaya antiklinalinin kuzey kanadında Lorikaya, Ballıkaya, Dinekkaya ve Ağsarkaya tepelerde (K39-b3); güney kanadında Çerkezkaya tepe ve Ziyaretkaya sırtında (K39-b3); güneybatıda Yayladam köyü (K39-b4) civarında geniş yayılım gösteren bu birim, ilk kez bu çalışmada Dinekkaya üyesi olarak isimlendirilmiştir. Önceki çalışmalarında Hippurites'li resif kireçtaşları birimi olarak adlandırılan bu birimin, değişik Hippurites türlerini içermesi bakımından, Hekimhan'in jeolojisinde en karakteristik litolojik üniteyi oluşturduğu ileri sürülmüştür (İzdar ve Ünlü, 1977).

Buldudere üyesi üzerinde uyumlu olarak yer alan Dinekkaya üyesinin tip kesit ölçümü işlemi, farklı litolojik topluluk sunmasından dolayı Dinekkaya tepe ve Ballıkaya tepe olmak üzere iki ayrı lokalitede gerçekleştirilmiştir (Se-

kil-5). Dinekkaya üyesi Dinekkaya tepede 7 m'lik kırmızı renkli konglomera-marn seviyesi ile başlayıp, 93 m kalınlığa sahip sarımsı, beyazimsı renkli Hippurites fosilleri içeren, az kristalize kireçtaşları ile devam etmektedir (Şekil-5a). Ballıkaya tepede ise 35 m kalınlığında, yeşil renkli kumtaşı-killi kumtaşı-kıldaşı ve Hippurites fosilleri içeren kireçtaşı ardalanmasından oluşan bir seviye ile başlayıp, sarımsı beyaz renkli, Hippurites fosilleri içeren kireçtaşları ile devam etmektedir (Şekil-5b). Bu litolojik seviyeler Ballıkaya tepeden başka, Sarıkaka tepe (K39-b4) ve Gazlı tepe (K39-b3) de de görülenlerdir.



Şekil-5 Dinekkaya üyesinin a)Dinekkaya tepede, b)Ballıkaya tepede ölçülen tip kesitleri

Fig.-5 Type sections of the Dinekkaya member determined in the Dinekkaya tepe (a) and Ballıkaya tepe (b).

Dinekkaya üyesinin yaşını belirlemek için yapılan mikropaleontolojik çalışmalarda, şu fosiller bulunmuştur.

SY-159 (K39-b4, 0001)

Fosil türü : **Orbitoides medius (d'ARCIAC)**

**Orbitoides apiculatus SCHLUMBERGER**

SY-162 (K39-b4, 0000)

Fosil türü : **Orbitoides medius (d'ARCIAC)**

**Orbitoides apiculatus SCHLUMBERGER**

Yaş : Maestrichtyen

İnceleyen : N.İnan (C.Ü., Sivas)

Bahçedam volkaniti : İnceleme alanının kuzeyinde Hasançelebi ile Bahçedam köyü (K39-b1) arasında ve orta kesimlerde Dereköy (K39-b1) ile Hacılar köyleri arasında yüzeylenmektedir. En fazla yayılımı Bahçedam köyü civarında olduğu için Bahçedam volkaniti olarak isimlendirilmiştir. Çalışma alanının orta kesiminde yüzeylenen kısmı, Buluddereyesi içerisinde damarlar, dayklar, lav akıntıları şeklinde olup, kalınlıkları azdır. Bahçedam köyü civarında ise, daha kalın lav akıntıları şeklindedir. Litolojik olarak daha çok bazaltik bileşimde kayaçlar ile, yer yer diyabaz, spilit, bazalt; yer yer de andezit, traktandezit türü kayaçları içermektedir. Daykların kalınlıkları genel olarak 1 m'den 6 m'ye, hatta 150-200 m'ye kadar değişen boyutlardadır. Ayrıca bu birim içerisinde, Bahçedam köyünün yaklaşık 1 km kuzeybatısında ve Etyemezler mahallesinin (K39-b1) kuzeyinde olmak üzere iki lokasyonda, yaklaşık 150-200 m'lik yayılma sahip tüflü-marnlı seviyeler gözlenmiştir.

İnce kesit düzeyinde bazaltlar, yarı camsı bir hamur içerisinde plajiyoklaz ve piroksen fenokristalleri içeren bir mineraloji sunarlar. Aynı mineralojik bileşimde olan spilit ve diyabazlardaki karbonatlaşma, kloritleşme ve silisleşme gibi bozunmalar ile dokusal farklılıklar, bazatlardan ayırt edici unsurlardır.

Bahçedam volkaniti, Maestrichtyen yaşı sedimanter kayaçlar içerisinde ve bazan bunlar üzerinde lav akıntıları şeklinde yer almaktır ve yine Maestrichtyen yaşı Kavakdere formasyonu ile örtülmektedir (Şekil-2). Bu nedenle birimin yaşı Maestrichtyen olarak kabul edilmektedir.

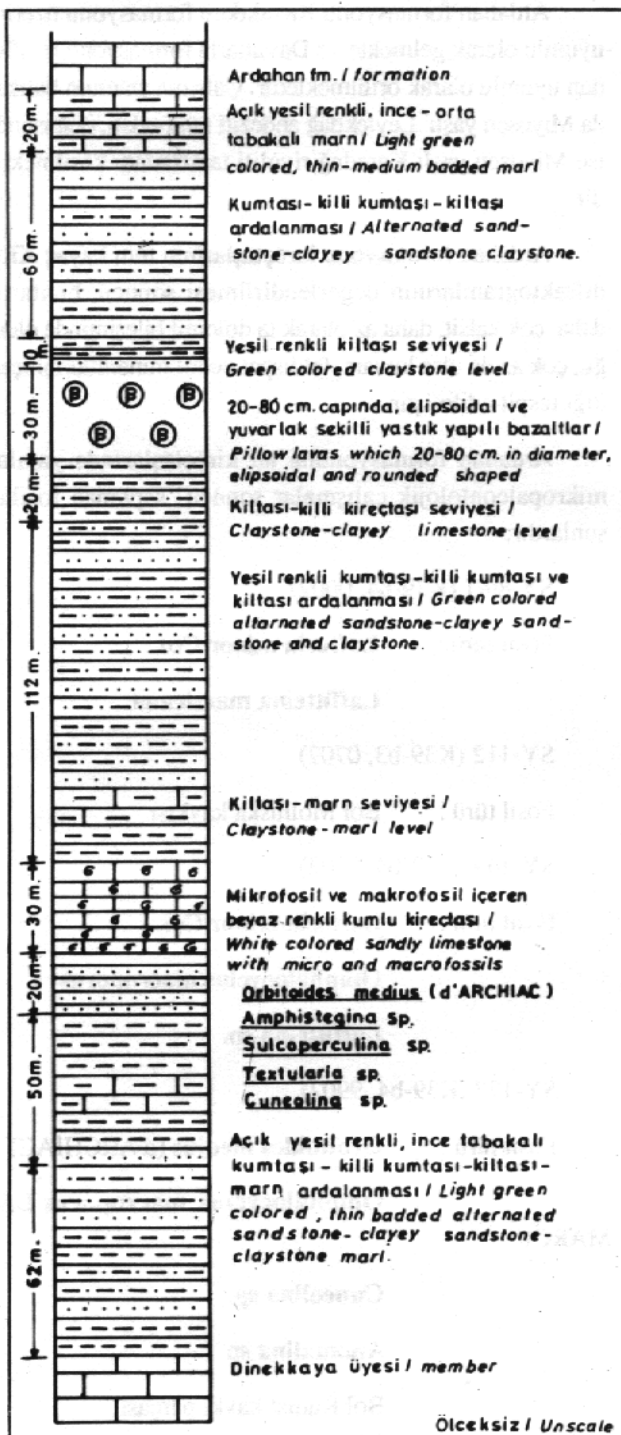
Bazik bileşimli kayaclardan oluşan Bahçedam volkaniti Paleosen yaşı Hasançelebi granitoyidi tarafından kesilecek bu granitoyid etrafında yaygın bir kontakt metasomatik zonun oluşmasına da olanak sağlamıştır (Şekil-3).

### Kavakdere Formasyonu

Çalışma alanının ortasında, Ardahan köyünün güneyinde batıdan-doğuya akan Kavakdere boyunca ve çalışma alanının güneyinde Sarıkız köyünden (K39-b4)- Hekimhan'in doğusuna kadar uzanan alanda yüzeylenmektedir. En iyi gözlediği yer Kavakdere vadisi olduğu için, Kavakdere formasyonu olarak isimlendirilmiştir. Bu birim, önceki çalışmalarla koyu gri, yeşilimsi renkli, kıltaşı-marn litolojisine sahip ve fliş karekterinde olan karmaşık bir seri olarak tanımlanmıştır (İzdar ve Ünlü, 1977).

Kavakdere formasyonunun tip kesit yeri olan, Kavak-

HEKİMHAN-HASANÇELEBİ YÖRESİNİN JEOLOJİSİ dere'de ölçülen kesit kalınlığı yaklaşık 415 m (Şekil-6) bulunmuştur. Kavakdere formasyonunun kalınlığı farklı lokasyonlarda farklılık sunmaktadır. En kalın gözlendiği yer Kavakdere içerisindeidir. Özellikle çalışma alanının batısında Çatak, Ören, Kandil, Kaleboğaz mahalleleri (K39-b4) civarında oldukça incelmektedir. Bu birimlerde tabaka kalınlıkları 1-10 cm arasında değişmektedir ve egemen tabaka konumu KB doğrultulu, KD eğimlidir.



Şekil-6 Kavakdere formasyonunun Kavakdere içerisinde ölçülen tip kesiti

Fig.-6 Type section of the Kavakdere formation determined in the Kavakdere valley.

Kavakdere formasyonu sarımsı, boz renkli, yer yer yeşil renkli kumtaşı-kıltıtaşı-siltası-marn ardalanması ve yer yer de kireçtaşları ara bantları içeren bir litolojiye sahiptir. Bu birim içerisinde ayrıca, yastık yapılı volkanikler yer almaktadır. Bunlar, 10-15 cm'den 1.5-2 m çapına kadar değişen boyutlarda, az çok yuvarlak veya elipsoidal, koyu yeşil renkli, çok ince taneli, bazaltik bileşimli kayaçlardır. Bu tip yastık yapısı gösteren bazaltik kayaçlar, özellikle Kavakdere içerisinde, Ardahan köyü yolu üzerinde ve Hacilar köyünün kuzeydoğusunda Baycağızın dere içerisinde gözlemlenmiştir. Bu lokasyonlarda soğan kabuğu şeklinde bozuma gösteren marnlar içerisinde bazaltik kayaçlar yer almaktadır. Kavakdere formasyonu içerisinde tüflü (zeolithli) seviyelerde izlenmektedir.

Kavakdere formasyonu yer yer Buluddere üyesi kayaçları üzerine, yer yer de Dinekkaya üyesine ait kireçtaşları üzerine uyumlu olarak gelirken; Ardahan formasyonu kireçtaşları tarafından da uyumlu olarak örtülmektedir.

Kavakdere formasyonu kilitaşlarından kil ayırmaya yöntemiyle elde edilen kil fraksiyonunun, XRD difraktogramlarının değerlendirilmesi sonucu, kayaç örneklerinin bir kısmının simektit-klorit-kaolinit-illit mineralleri topluluğuna, bir kısmının da klorit-simektit-illit ve illit-klorit karışık tabakalı kil mineralleri topluluğuna sahip olduğu tesbit edilmiştir (Yılmaz ve Boztuğ, 1991b). Kireçtaşlarının tüm kayaç XRD difraktogramlarının değerlendirilmesi sonucu, bunların, kalsitten olduğu, çok az miktarda da feldispat ile kil mineralleri içerdikleri görülmüştür. Bu kireçtaşları çalkantılı, sağlam bir ortamı karakterize eden sparitik çimentolu kayaçlardır.

Kavakdere formasyonu içerisinde ara seviyeler halinde gözlenen kireçtaşlarındaki mikropaleontolojik çalışmalar Maestrichtiyen yaşıını vermektedir.

SY-343/1 (K39-b3, 0601)

Fosil türü : *Orbitoides medius* (d'ARCIAC)

*Amphistegina* sp.

*Sulcoperculina* sp.

*Textularia* sp.

SY-353 (K39-b1, 0105)

Fosil türü : *Orbitoides medius* (d'ARCIAC)

Bol kavaklı kırıntı

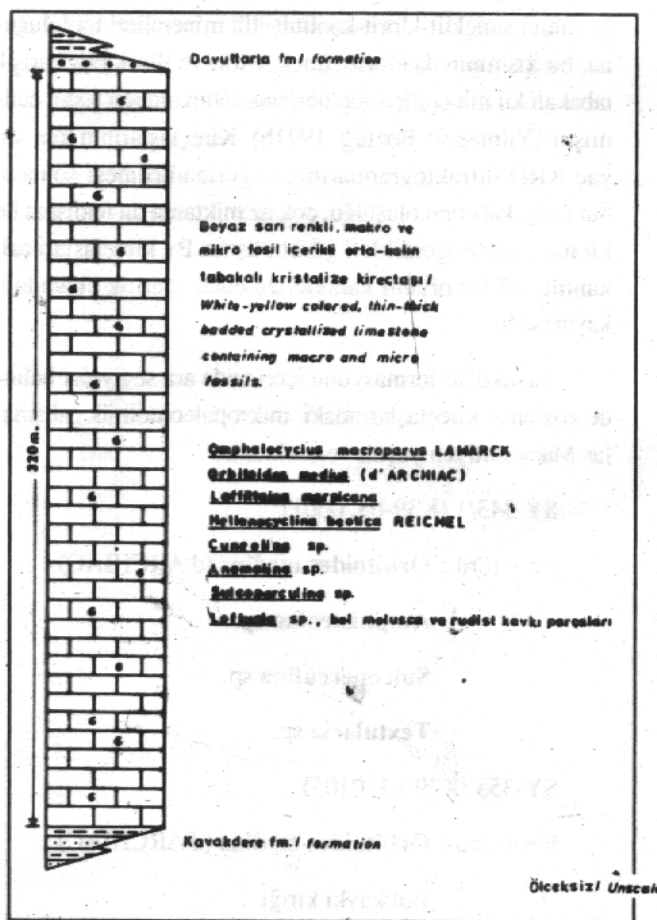
SY-257 (K39-b1, 9902)

Fosil türü : Cuneolina sp.  
 Bol kavkı kırıkları (Molluska, Rudist)  
 Yaş : Maestriyen  
 İnceleyen : N.İnan (C.Ü., Sivas)

### Ardahan Formasyonu

Çalışma alanının orta kesiminde, batıda Ardahan köyü (K39-b4), doğuda Zorbehan dağı (K39-b3) ve güneybatıda Gedikağızı, Kandil, Ören mahalleleri civarında yüzeylenmektedir. Önceki çalışmalarla Zorbehan Kireçtaşı olarak adlandırılan (İzdar ve Ünlü, 1977) birim, bu çalışmada Ardahan formasyonu olarak isimlendirilmiştir.

Tip kesiti Ardahan köyü içerisinde ölçülen bu formasyonun kalınlığı yaklaşık 320 m'dir (Şekil-7). Genel olarak çok kalın tabakaldan oluşan, hatta arazide özellikle Ardahan köyü civarında masif karakter sergileyen formasyon oldukça yüksek, sert görünümlü bir topografsyaya sahiptir.



**Şekil-7 Ardahan formasyonunun Ardahan köyü içinde ölçülen tip kesiti**  
**Fig.-7 Type section of the Ardahan formation determined in the Ardahan village.**

**YILMAZ, BOZTUĞ, ÖZTÜRK**  
 Ardahan formasyonu sarımsı, grimsi beyaz renkli, kalın tabaklı, yer yer masif, bol kırıklı ve çatlaklı, makrofossil bakımından oldukça fakir, fosil kavkıları ve mikrofossil bakımından oldukça zengin kireçtaşlarından oluşmaktadır. Bu kireçtaşları bazı lokasyonlarda çört ile beraber breşik seviyeler de içermektedir.

Ardahan formasyonu Kavaklıdere formasyonu üzerine uyumlu olarak gelmekte ve Davutlarla formasyonu tarafından uyumlu olarak örtülmektedir. Çalışma alanının batusunda Miyosen yaşı Leylekdağ andezitii tarafından, doğusunda ise Miyosen yaşı Karadağ riyoliti tarafından kesilmektedir.

Ardahan formasyonu kireçtaşlarının tüm kayaç XRD diffraktogramlarının değerlendirilmesi sonucu, bunların, daha çok kalsit, daha az olarak ta dolomit bileşiminde olduğu, çok az da olsa kuvars, feldispat ve kil minerallerini içerdiği tespit edilmiştir.

Ardahan formasyonuna ait kireçtaşlarında yapılan mikropaleontolojik çalışmalar sonucu saptanan fosiller şunlardır;

SY-89/1 (K39-b4, 0002)

Fosil türü : **Loftusia minor Cox**

**Laffitteina marsicana**

SY-112 (K39-b3, 0702)

Fosil türü : **Bol Molluska kavkı**

SY-169 (K39-b4, 9902)

Fosil türü : **Loftusia minor Cox**

**Omphalocyclus macroporus**

**Laffitteina sp.**

SY-177 (K39-b4, 9902)

Fosil türü : **Orbitoides medius (d'ARCHIAC)**

**Omphalocyclus macroporus LAMARCK**

**Cuneolina sp.**

**Anomalina sp.**

**Bol Rudist kavkı parçası**

SY-256/1 (K39-b1, 9903)

Fosil türü : **Orbitoides medius (d'ARCHIAC)**

**Hellenocyclina beotica REICHEL**

**Sirtina orbitoidiformis BRONNIMANN**

**Sulcoperculina sp.**

SY-622 (K39-b4, 9502)

Fosil türü : **Omphalocyclus macroporus LAMARK**

**Laffitteina sp.**

SY-625 (K39-b4, 9602)

Fosil türü : **Loftusia minor COX**

**Omphalocyclus macroporus LAMARK**

Yaş : Üst Maestrihiyen

İnceleyen : N.İnan (C.Ü., Sivas)

Ardahan formasyonu da tespit edilen bu fosil bulgularına göre, birimin yaşı Üst Maestrihiyen'dir.

#### Davuttarla Formasyonu

İnceleme alanının batı ucunda, Leylekdağ'ın hemen doğusunda Kurtsiyeği ve Davuttarla tepelerinde, çalışma alanının güneyinde Gırıcıklar mahallesi (K39-b4) çevresinde yüzeylenen Davuttarla formasyonu oldukça geniş alanda yayılım göstermektedir. Önceki çalışmalarında, Üst Kretase'de gözlenen kireçtaşlı litolojisindeki kayaçların Eosen'e kadar olan devamı şeklinde değerlendirilen (İzdar ve Ünlü, 1977) birim, bu çalışmada Davuttarla formasyonu olarak isimlendirilmiştir.

Kalınlığı yaklaşık 300 m civarında olan Davuttarla formasyonu, kumtaşı-kıltası-killi kireçtaşları ardanlanması ve özellikle üst kesimlerde kireçtaşlı litolojisinde gözlenmektedir. Tabakalı şekilde gözlenen bu birimler, yaklaşık 10-15 cm kalınlığında kumtaşı-kıltası, 1-2 m kalındığında tebeşir görüntümlü kireçtaşlı tabakalarının ardanlanması şeklindedir. Özellikle yüksek tepelerde masif görüntümlü kireçtaşları gözlenirken, dere ve yol yarmalarında kumtaşı-kıltası-killi kireçtaşları ardanması şeklindeki litoloji gözlenmektedir.

Davuttarla formasyonu kireçtaşlarında yapılan mikropaleontolojik çalışmalar sonucunda şu fosiller tanımlanmıştır;

SY-554 (K39-b4, 9597)

Fosil türü : **Eorupertia magna CALVEZ**

**Rotalia trochidiformis LAMARK**

**Alveolina sp.**

**Anomalina sp.**

Yaş : Orta Eosen (Lütesiyen)

SY-591 (K39-b4, 9603)

Fosil türü : **Discocyclina seunesi DOUVILLE**

**Nummulites sp.**

**Operculina sp.**

**Sphaerogypsina sp.**

Yaş : Lütesiyen

SY-592 (K39-b4, 9603)

Fosil türü : **Alveolina cucumiformis HOTTINGER**

**Eorupertia magna CALVEZ**

**Orbitolites sp.**

**Periloculina sp.**

Yaş : İllerdiyen (Üst Paleosen)

SY-618 (K39-b4, 9404)

Fosil türü : **Rotalia trochidiformis LAMARK**

**Daviesina sp.**

Yaş : Orta-Üst Paleosen

SY-642 (K39-b4, 9597)

Fosil türü : **Idalina sinjarica GRIMSDALE**

**Biloculina sp.**

**Triloculina sp.**

Yaş : Orta-Üst Paleosen

İnceleyen : N.İnan (C.Ü., Sivas)

Tanımlanan bu fosil türlerine göre, Davuttarla formasyonunun yaşı, Paleosen-Eosen olarak kabul edilmiştir. Ayrıca, bu birim içerisinde bol Nummulit'li kumtaşlarının yanı sıra, killi kireçtaşlarında Pecten türü makrofosiller de gözlenmiştir.

#### HASANÇELEBİ GRANİTOYIDI

İnceleme alanının kuzeyinde, Hasançelebinin güneybatisında Yüceşafak, Büyükkelitinkuz, Kale tepeler (K39-b1) gibi arazinin yüksek kesimlerinde yüzeylenen Hasançelebi granitoyidi, bölgenin en karakteristik magmatik faaliyetidir.

yetidir. Küçük bir alanda yüzeylenen bu birim, daha çok damar kayaçları şeklinde diğer birimler içerisinde gözlenmektedir. Özellikle bu granitoyidin kenar zonunda gelişen kontakt metasomatik birim içerisinde çok fazla bulunan damar kayaçları, Bahçedam volkaniti içerisine de sokulum yapmıştır.

Hasançelebi granitoyidi, siyenit, kuvars-siyenit, granit ve altere granitoyidler ile felsik ve mafik damar kayaçlarından oluşmaktadır. Siyenit, granit türü kayaçlar el örneği düzeyinde, açık pembe renklerde, tüm kristalli, tanesel yapılı, bileşenleri gözle ayırt edilebilen kayaçlardır. Tanınabilen bileşenleri 0.5 mm-7-8 mm boyutuna kadar değişen feldispatlar; pembe renkli, düzgün yüzeyli, camsı parlaklıktı ortoklaz ile gri renkli camsı parlaklık gösteren plajiyoklaz mineralerleri; düzgün olmayan, çıktılu yüzeylere sahip, mat görünümlü, gri renkli, sertliği fazla olan kuvars mineralerleri; pulsu, siyah, parlak, yaprağımsı biyotit, yeşil renkli amfibol ve/veya piroksen mineralerinden oluşmaktadır. Damar kayaçları ise, aplit, biyotit-pegmatit, lamprofırı (minet, kersantit), piroksen/amfibol-fels türü kayaçlardır. Bunlardan aplit ve siyenit-aplitler, ince taneli, pembe renkli, tuzuk, mafik görünümlü kayaçlardır. Pegmatitlerden biyotit-pegmatit, iri taneli biyotit pulları içeren altere damar kayaçlarından oluşmaktadır. Lamprofırı ise, mafik görünümlü, siyah, yeşil, yeşilimsi siyah renklerde, çok ince taneli, bileşenleri ancak ince kesit düzeyinde tanınan kayaçlardır. Hornblend-fels, piroksen-fels türü kayaçlar ise biraz daha iri taneli piroksen ve hornblend mineraleriyle tanınan kayaçlardır. Hasançelebi granitoyidi kayaçları son derece altere olmuş yüzekler halindedir.

Önceki çalışmalar tarafından Paleosen yaşı (İzdar ve Ünlü, 1977) kabul edilen Hasançelebi granitoyidinin sokulum yaşılarındaki tek veri, Üst Kretase yaşı Bahçedam volkanitini sıcak dokanakla keserek, bir kontakt metasomatik zon oluşturmuştur.

## KONUKDERE METASOMATİK BİRİMİ

İnceleme alanının kuzeyinde, Hasançelebi granitoyidinin sokulum yaptığı Bahçedam volkanitinden itibaren gelişen ve geniş bir yayılma sahip olan birim, en iyi şekilde Hasançelebi İstasyonu'nun güneyinde, özellikle Konukdere mahallesi (K39-b2) çevresinde karakteristik olduğu için ilk defa bu çalışmada Konukdere metasomatik birimi ismiyle haritalanmış ve Konukdere mahallesinden batıda Karakuz'un güneyine kadar doğu-batı uzanımlı olarak göstermektedir.

Konukdere metasomatik biriminin karakteristik litolo-

jisı skapolit-fels'lerden oluşmaktadır. Ayrıca, bu birim içerisinde daha önce Hasançelebi granitoyidinin eşdeğeri olarak bahsedilen damar kayaçları, çok yaygın olarak gözlenmektedir. Skapolit-fels türü kayaçlarda skapolit mirenalleri, işnsal (radyal) dizilikli olup, 2-3 mm boyutunda iğnemsi kristallerden, 15-30 cm boyutunda çubugumsu kristallerden oluşmaktadır. Pembe renkli, kolay kırılabilen, bozulmanın gözlendiği (killeşme), yer yer yeşil renkli minerallerle karışmış halde görülen skapolit çubukları el örneği düzeyinde tanımlanabilen tek mineraldir. Özellikle yol yarmlarında skapolit-fels türü kayaçlarda bu özellikler yaygın olarak gözlenmektedir. Pembemsi, yeşilimsi, grimsi bozunma toprağı gösteren skapolit-fels kayaçları kalınlıkları 0.5 m'den 2-3 m'ye, hatta bazen 10-15 m'ye varan felsik ve mafik bileşimli daykları içermektedirler. Bunlar yaklaşık D-B uzanımlı ve genelde dik konumludur.

Konukdere metasomatik birimi Paleosen yaşı olan Hasançelebi granitoyidi ile eşzamanlı olarak oluşmuştur. Kuzeyde granitoyidler ile olası sınırlara, güneyde ise Kulluncak ofiyolitli karışığı içindeki Karadere ultramafiti ile bindirmeli bir sınıra sahiptir.

## YAMADAĞ VOLCANİTİ

İnceleme alanında heterojen bir dağılıma sahip olan Yamadağ volkaniti, riyolitik, andezitik ve bazaltik bileşimde kayaçlardan oluşmaktadır. Hasançelebi'nin kuzeyinde oldukça yüksek dağ silsilelerini oluşturan Yamadağ'ın genç volkanik ürünleri, Hekimhan ve çevresinin jeolojisinde önemli bir yer tutmaktadır. Yamadağ volkanitinin çalışma alanında yüzeylenen kesimleri Miyosen yaşı Karadağ riyoliti, Miyosen yaşı Leylekdağ andezitii ve Miyo-Pliyosen yaşı Koçasar bazaltı olarak, haritalanabilir üç ayrı birim halinde yüzeylenmektedir.

## Karadağ Riyoliti

Yılmaz (1991) tarafından, Paleosen yaşı Hasançelebi granitoyidinin volkanik-subvolkanik eşdeğeri olarak Karadağ volkaniti adı altında tanımlanan birimin, aslında, çalışma alanının kuzeyinde Yamadağ bölgesindeki Miyosen yaşı Köyü riyolitinin (A.Uçurum ve H.Yalçın, Sözlü görüşme, C.Ü., Sivas) eşdeğeri olduğu, yerinde yapılan tartışmalar ile kabul edilmiştir.

Çalışma alanının doğusunda Karadağ'da (K39-b3),

HEKİMHAN-HASANÇELEBİ YÖRESİNİN JEOLOJİSİ kuzeyinde Hasançelebi'nin güneybatisında Kamber tepe-Den-Karagiüney tepe, Taştepe, Küçüktaş tepe, Yoncalıçat tepe, Kevenlikuz tepe ve Sali tepeye (K39-b1) kadar, yaklaşık doğu batı uzanımlı bir doğrultuda yüzeylemektedir. Çalışma alanının güneydoğusunda ise Çulhalı köyü ve çevresinde yüzeylemektedir.

Son derece altere olmuş ve yaygın demir mineralizasyonu içeren Karadağ riyoliti, riyolit, trakiandezit ve trakit türü kayaçlardan oluşan bir litolojiye sahiptir. Karadağ riyolitine ait kayaçların en önemli özelliği, yer yer demir oksitli zonları içermesidir. Bu zonlar, kayaçlar içerisinde saçılımlı (dissemine), stockwork tipi damarlar ve sıvamalar şeklinde gözlenmektedir. Bu cevherleşmeden dolayı kayaçların ilkisel görünümleri bozunmuş ve yer yer tanınamayacak şekilde alterasyona uğramışlardır. Riyolitlerde killeşme ve demir mineralizasyonları çok fazla olduğundan, el örneği ve ince kesit düzeyinde tanımlanamamaktadır. Riyolite oranla trakit ve traki-andezit türü kayaçlar daha az altere olduğundan, bunlar, el örneği düzeyinde ince taneli, grimsi, pembe ve sarımsı renklerde görülmektedir. Mineralojik bileşim olarak, ince taneli kristaller ve volkan camından oluşan bir hamur maddesi içerisinde iri plajiyoklaz ve sanidin fenokristalleri ayırt edilmektedir. Amigdaloidal boşluklarda gelişmiş karbonatlaşma şeklinde bozunma olabileceği düşünülen, 3-8 mm çapında yuvarlak-clipsoidal oluşumlar gözlenmektedir.

### **Leylekdağ Andeziti**

Yamadağ'ın genç volkanitlerinden olan Leylekdağ andeziti, çalışma alanının batısında Leylekdağ (K39-b1) ve çevresinde; Sarıkız köyünün batısında Mercimek tepe (K39-b4); Kuluncak ilçesinin güneydoğusunda geniş alanlarda yayılım göstermektedir. Çalışma alanındaki en yüksek tepeyi oluşturan Leylekdağ (2052 m) bir volkan konisi şeklinde ve tamamen andezit litolojisinde olduğundan, birim, Leylekdağ andeziti olarak isimlendirilmiştir.

Leylekdağ andeziti, el örneği düzeyinde çok temiz görenümlüdür. Gri renkli ve ince taneli bir hamur içerisinde siyah renkli, prizmatik, altıgen biçimli hornblend mineralleri, levhamsı biyotit pulları ve plajiyoklaz fenokristalleri porfirik bir doku oluşturmaktadır. Bu andezitler içerisinde kalınlığı 1 m'den-20 m'ye kadar değişen ve Yamadağ volkanitinin en genç ürünü olan Koçasar bazaltuna ait dayklar gözlen-

mektedir. Ayrıca, Leylekdağ'ın kuzey ve batı kesimlerinde Yamadağ volkanizmasının ilk evre ürünlerini olan piroklastik kayaçlar da gözlenmektedir. Andezitik tüfler yer yer tabaka, yer yer de masif küteler halinde yüzeylemektedir. El örneği düzeyinde hafif, boşluklu bir yapıda, beyazımsı, sarımsı renklerdedir.

Leylekdağ andeziti, Paleosen-Eosen yaşılı sedimanter kayaçlar içerisinde, onları keser halde ve Üst Kretase yaşılı birimler içerisinde de lav akıntıları şeklinde gözlenmektedir. Eosen'den daha genç olabilen bu birimin yaşı çalışma alanının yakın civarında yapılan çalışmalara göre (Bozkaya ve Yalçın, 1991), Orta-Üst Miyosen olarak kabul edilmiştir. Leylekdağ andeziti, Davutlarla formasyonunu keserek yüzeylemiş ve kendisinden daha genç birim olan Ciritbelen formasyonu tarafından uyumsuz olarak örtülmüştür. Bu formasyon içerisinde de Leylekdağ andezitinin çakılları gözlenmektedir.

### **Koçasar Bazaltı**

Yamadağ volkanitinin en genç birimi olan, bazaltik bileşimindeki kayaçlar, çalışma alanının kuzeyinde Koçasar tepe (K39-b2) civarında gözlenmektedir. Bu birim ilk kez bu çalışmada Koçasar bazaltu olarak isimlendirilmiştir.

Bazaltik bileşimdeki kayaçlar yeşilimsi, siyah renkli, içerisinde gri renkli plajiyoklaz fenokristalleri bulunan bir hamurdan oluşan, porfirik bir dokuya sahiptirler. Ince kesit düzeyinde de kristal ve volkan camından oluşan bir hamur içerisinde iri plajiyoklaz, piroksen (öjit) minerallerinin bulunması ile porfirik doku gösteren kayaçlar olarak tanımlanmıştır. Koçasar bazaltını karakterize eden dayklar, Leylekdağ andeziti içerisinde görülmektedir. Ayrıca, bu bazaltik kayaçların kenarlarında oldukça kalın yüzlek veren piroklastik kayaçlar da gözlenmektedir. Koçasar bazaltının ilk ürünleri olabileceği düşünülen bu piroklastik kayaçlar arazide masif, siyah renkli görenümlü olup, bileşenleri kum boyutundan-çakıl boyutuna hatta blok boyutuna kadar değişmektedir.

Orta-Üst Miyosen yaşılı (Bozkaya ve Yalçın, 1991) Leylekdağ andezitini kesen ve bu birimden daha genç olan Koçasar bazaltının Miyo-Pliyosen yaşılı olduğu kabul edilmektedir.

## Ciritbelen Formasyonu

Ciritbelen formasyonu, Hasançelebi-Hekimhan ve Karakuz bölgesinin jeolojisinde pekişmiş birimler içerisinde en genç birim olarak kabul edilmektedir. Karakuz'un güneyinde Ciritbelen, Maksutlar, Kamatlar, Çöpler mahalleleri (K39-b1) ile Leylekdağının kuzeybatısında yüzeylenen bu birim Ciritbelen formasyonu olarak adlandırılmıştır. Yaklaşık yatay konumlu tabakalardan oluşan birimin yayılımı çok geniş, kalınlığı ise yayılımına göre çok incidir.

Litolojik olarak daha çok konglomeratik bir seviye ile başlayıp, kumtaşı-kiltaşı ardalaması şeklinde devam etmektedir. Yer yer sarımsı beyaz renkli kireçtaşlarını ara seviyeler halinde içermektedir. Çalışma alanında tüm birimlerin çakıllarını içeren konglomeralar; kırmızı renkli kumlu bir bağlayıcı malzeme ile bağlanmaktadır. Birim, kum boyutundan-çakıl boyutuna kadar değişen, az çok yuvarlak, çok az da elipsoidal bileşenleri içeren gevşek dokulu özelliğe sahiptir. Çakılları volkanik (andezit, bazalt vb.), sedimanter kayaç parçaları (Nummilit'li kireçtaşı, kumtaşı, kiltaşı vb.), derinlik kayaç parçaları (siyenit, granit vb.) ve ultramafik kayaç parçalarından oluşmaktadır.

Orta-Üst Miyosen yaşlı Leylekdağ andeziti ve Miyosen-Pliyosen yaşlı Koçasar bazaltu çakıllarını içermesi bakımından daha önceki çalışmalarında da benimsenen (İzdar ve Ünlü, 1977) Pliyosen yaşı bu çalışmada da benimsenmiştir.

## Kuvaterner Oluşuk

İnceleme alanındaki Kuvaterner oluşuklar bölgenin en büyük vadisini oluşturan Uludere vadisi ve daha küçük olan Buldudere vadisi içerisinde gözlenmektedir. Burada tüm birimlerin çakıl-kum-kil-silt-boyutunda malzemelerini içermektedir. Kuvaterner yaşlı bu pekişmemiş alüvyon, kum, çakıl işletmeleri şeklinde de değerlendirilmektedir.

## TEKTONİK

Çalışma alanının başlica yapısal jeolojik unsurları Üst-Kretase-Pliyosen yaş aralığına sahip çeşitli birimlerini etkileyen kıvrımlar, faylar ve uyumsuzluklardan oluşmaktadır. Bölgedeki litolojinin çok sık değişmesi ve değişik litolojilerdeki birimlerin fiziksel ve tektonik olaylara karşı gösterdikleri mukavemetin değişken olması, bu alandaki tektonik yapıların karmaşık olmasına neden olmuştur.

## Kıvrımlar

Çalışma alanında yaklaşık D-B doğrultusunda birbirine paralel olarak bulunan kıvrım eksenleri Üst Kretase'den-Pliyosen'e kadar olan tüm birimleri etkilemiştir (Şekil-2). Bölgenin en yaşlı birimi olan Kuluncak ofiyolitli karışığına ait birimlerin bindirme faylı düzlemleri ile paralellik sunan kıvrım eksenleri K-G yönlü sıkışmanın ürünü olabilecekleri, buna göre bindirme fayları ile kıvrımların zaman konum açısından ilişkili oldukları düşünülmektedir. İnceleme alanının en genç birimi olan Pliyosen yaşlı Ciritbelen formasyonu içerisinde gözlenen kıvrımlar ile inceleme alanının orta ve doğu kesimlerinde gözlenen Üst Kretase-Paleosen yaşlı birimler içerisinde gözlenen kıvrımlar uyumluluk ve devamlılık sunmaktadır. Buna göre en genç birim olan Pliyosen yaşlı Ciritbelen formasyonu da kıvrımlanmaya uğradığına göre K-G yönlü sıkıştırma ve D-B doğrultulu kıvrım eksenleri Pliyosen'den genç olaylardır.

İnceleme alanında en iyi gözlenen ve daha önceki çalışmalarında (İzdar, 1963) tanımlanan Dinekkaya antiklinali, çekirdeğinde Maestrichtiyen öncesi yaşlı Kuluncak ofiyolitli karışığına ait mafik volkanik kayaçların ve kanatlarında ise Maestrichtiyen yaşlı sedimanter kayaçların bulunmasıyla oluşmuştur. Bu kıvrının paralelinde Ardahan formasyonu içerisinde yine D-B uzanımlı senkinal eksen, buna paralel aynı birim içerisinde uzanan antikinal ve senkinal eksenleri ve bunlara da paralel D-B uzanımlı Maestrichtiyen öncesinden-Pliyosen'e kadar tüm birimleri etkileyen bir antikinal eksen, Karakışık mahallesinden-Ciritbelen mahallesine kadar uzanmaktadır (Şekil-2). Diğer küçük çaplı kıvrımlar, özellikle Ciritbelen formasyonu içerisinde gözlenen antikinal ve senkinal eksenleri büyük çapta görülen kıvrım eksenlerine paralellik sunmaktadır. Buna göre, Pliyosen yaşlı en genç birimde dahi kıvrım eksenlerinin yaşlı birimlerdekilerle paralellik sunması, bunların aynı zaman aralığında olduğunu, bu zamanın da Pliyosen'den sonra olduğu gözlemler sonucu anlaşılmıştır. Ayrıca, tüm bu kıvrım eksenleri daha çok sedimanter kayaçları etkilerken, Maestrichtiyen öncesi yaşlı magmatik kayaçlar ise, kıvrım eksenlerinin yer yer merkezini oluşturur şeklinde gözlenmektedir.

## Faylar

**Ters-bindirme fayları :** İnceleme alanında kıvrım eksenlerine paralel olarak uzanan, önemli bir yapı elemanı da

**HEKİMHAN-HASANÇELEBİ YÖRESİNİN JEOLOJİSİ** bindirme faylarıdır. Çalışma alanındaki bindirmeler yaklaşık D-B uzanımlı olup, kuzyeden-güneye doğru sırasıyla; Karakuz-Deveci bindirme zonu, Ardahan ters fay zonu ve bunlara paralel olarak uzanan küçük çaplı bindirmeler sayılabilir (Şekil-2).

Karakuz-Deveci bindirmesi, güneyden-kuzeye doğru olup, Kuluncak ofiyolitli karışığına ait Karadere ultramafitin Konukdere metasomatik birimi ve Hasançelebi granitoyidi üzerine itilmesi şeklinde gelişmiştir. D-B uzanımlı yaklaşık 20 km'lik bir zon halindeki bu bindirme, birimler arasındaki en göze çarpıcı tektonik sınır ilişkisini oluşturmaktadır. Ultramafik kayaçlar ile metasomatikkayaçlar arasındaki bindirme fayına ait kataklastik deformasyon izleri, özellikle ultramafiklerde gözlenmektedir. Hasançelebi-Hekimhan Devlet Karayolunda, Konukdere mahallesinin doğusunda yapılan gözlemede, bindirme fayının görüldüğü sınırdı ultramafik kayaçlar içerisinde K75D/60 GD konumlu şıtzozite düzlemleri görülmüştür. Sünümlü deformasyon gösteren şıtzozite düzlemleri belirgin olup, yeşil ve siyah renkli serpantinleşmiş ultramafik kayaçlarda yerini kırılgan deformasyona bırakmaktadır. Yani, fay zonundan serpantinleşmiş ultramafikler içeresine doğru ilerledikçe fay zonuna yakın kesimlerde kataklastik deformasyon sonucu neomineralizasyon, rekristalizasyon gibi olaylar gelişirken, iç kesimlere doğru kataklastik deformasyon sadece kırılgan deformasyon şeklinde gelişmiştir. Ayrıca, fay hattı boyunca Karadere'nin güneyinde Hansivri tepe civarında da sünümlü deformasyon ile gelişmiş olan ve K60D/60 GD konumlu şıtzozite düzlemleri gözlenmektedir.

Çalışma alanının güneyinde, Ardahan köyü kuzeyinde gözlenen ve Karakuz-Deveci bindirme fayına yaklaşık paralel ters fay ise; Kuluncak ofiyolitli karışığına ait Körburun vokalitinin, Ardahan formasyonu kireçtaşları üzerine kuzyeden-güneye doğru itilmesi ile gelişen Ardahan ters fayıdır. Bu ters fay boyunca, kayaçlarda ufalanma, parçalanma ve mineralizasyon olayları gelişmiştir. Bu fayın konumu yaklaşık K70B/60 KD'dur.

Arazi gözlemleri sonucu, bindirme faylarından etkilenen en genç birimin Pliyosen yaşı Ciritbelen formasyonu olduğu saptanmıştır. Kuluncak ofiyolitli karışığına ait serpantinleşmiş ultramafitlerin Ciritbelen formasyonu üzerine itildiği lokasyon, Karakuzdağlarının güneyindeki Ciritbelen mahallesinin batısında gözlenmektedir. Bu sınırdı gelişen ters fayın konumu da K70B/65 KD'dır.

**Normal faylar:** Çalışma alanında K-G yönlü sıkışmanın yarattığı D-B tansiyon rejiminin ürünü olarak ortaya

cıkan tektonik olaylar ise, yaklaşık K-G yönlü faylardır. Bunlardan en önemlisi, arazinin güneyinde Kirizli mahallesinin 1 km kadar kuzeydoğusundaki Tavşan tepe fayı olup, yaklaşık 2 km uzunluğa sahiptir. Fayın konumu K15B/40GB'dir (Şekil-2).

**Oblik faylar :** İnceleme alanının kuzeybatisında, birbirine paralel olarak uzanan iki faydan biri olan Karakuz dağıının doğu uzantısında yer alan Ayıkoyağı fayı, oblik bir fay olup, doğrultu bileşeni düşey bileşenine göre çok büyütür. Fay K25D/50GD konumludur. Bu faya paralel diğer bir fay ise, Karakuz'un güneydoğusunda Maksutlar mahallesinde ultramafik kayaçlar içerisinde gözlenen Maksutlar fayı, yaklaşık 1 km uzanımlı olup, düşey bileşeni kütük oblik faydır. Çalışma alanının güneyinde, Yayladam köyünün batısında gözlenen Yayladam fayı da doğrultu bileşeni büyük, K70B doğrultulu ve fay düzlemi yaklaşık dik olan oblik bir faydır. Diğer bir oblik fay ise, Hekimhan ilçesinin kuzeyinde Gazlı tepede ve onun hemen güneyinde gözlenen oblik faylardır. Doğrultu bileşeni daha büyük olan bu fayların fay düzlemleri birbirine paraleldir. Sol yanal atımlı Gazlı tepe fayının doğrultusu da K50B olup, yaklaşık 200 m'lik bir doğrultu atıma sahiptir.

Çalışma alanında D-B doğrultulu kıvrım eksenleri, yaklaşık K-G doğrultulu normal faylar, KB-GD doğrultulu oblik faylar, D-B doğrultulu bindirme-ters faylar, K-G yönlü bir sıkışmanın ürünleri olarak yorumlanmıştır. D-B doğrultulu kıvrım eksenlerini, yine aynı doğrultulu bindirme-ters faylar, yaklaşık K-G doğrultulu normal (çekim) fayları ve KB-GD yönlü oblik fayları bir deformasyon elipsoidine yerleştirildiğinde, maksimum sıkışma yönünün K-G yönlü olduğu görülmektedir. D-B doğrultusunda ise çekim faylarını oluşturan tansiyon gerilmeleri izlenmektedir.

#### Uyumsuzluklar

Çalışma alanında en göze çarpan uyumsuzluk, temeli oluşturan Maestrichtiyen öncesi yaşa sahip Kuluncak ofiyolitli karışığına ait birimler ile Uludere formasyonu arasında gözlenmektedir. Alttaki birimin üzerine gelen çakıltı-kumtaşı gibi kayaçlar Kuluncak ofiyolitli karışığına ait birimlerin çakıllarından oluşmaktadır. Sedimanter kayaçlarda gözlenen diğer bir uyumsuzluk, çalışma alanının kuzeybatisında Ciritbelen mahellesi civarında gözlenen Pliyosen yaşı Ciritbelen formasyonu ile Paleosen-Eosen yaşı Da-vuttarla formasyonu arasındaki uyumsuzluktur.

Magmatik kayaçlar arasındaki uyumsuzluklar ise, Maestrichtiyen yaşlı sedimanter birimler içerisinde gözlenen Bahçedam volkaniti ile sedimanter kayaçlar arasındaki;

Paleosen yaşlı Hasançelebi granitoyidi ile aynı yaş aralığına sahip, Konukdere metasomatik birimi arasındaki Yamadağ volkaniti ile Davuttarla formasyonu arasındaki uyumsuzluklardan oluşmaktadır.

## JEOLOJİK EVRİM

İnceleme alanında yüzeylenen allokon birim özelliğini taşıyan Kuluncak ofiyolitli karışığı, çalışma alanında temeli oluşturan birimdir. Maestrihtien öncesi bir yerleşme yaşına sahip olan bu birim, Poisson (1986) tarafından tanımlanan Kuzey Torid Okyanusunun kalıntıları olarak değerlendirilmektedir (Yılmaz, 1991). Kuluncak ofiyolitli karışığı üzerine uyumsuz olarak gelen ve taban konglomera birimi ile başlayıp, kumtaşı-kıtaşı-killi kireçtaşları ve kireçtaşları litolojisi ile devam eden, Maestrihtien yaşlı Uludere formasyonu Buldudere üyesi sıg bir ortamda başlayıp, gitikçe derinleşen denizel bir ortamı karakterize etmektedir. Bu dönemde killi kireçtaşları, kıtaşı-kumtaşı-marn litolojisi havzının orta kesimlerinde çökelirken; havzanın güneyine doğru gidildikçe sığlaşan kesimlerde ise pelajik kireçtaşları özelliğindeki kimyasal sedimentasyonun ürünü karbonatlı kayalar çökelmiştir. Filişimsi özellikli ve Maestrihtien yaşlı Kavakdere formasyonu, derin denizel koşulları göstermektedir. Kavakdere formasyonunun çökeliminden sonra, deniz oldukça sığlamıştır. Bu sırada Üst Maestrihtien yaşlı Ardahan formasyonu sıg, çalkantılı, enerjisi yüksek ortamları karakterize eden karbonat çökelimi şeklinde gelişmiştir. Ardahan formasyonu üzerine daha sonra tekrar kırıntılı sedimentasyon temsil eden Paleosen-Eosen yaşlı Davuttarla formasyonu gelmektedir.

Bölgemin magmatik oluşuklarına gelince, bunların Bahçedam volkaniti (Maestrihtien), Hasançelebi granitoyidi (Paleosen, İzdard ve Ünlü, 1977), Karadağ riyoliti (Miyosen), Leylekdağ andeziti (Miyosen) ve Koçasar bazaltı (Miyo-Pliyosen) gibi birimlerden oluşu görülmektedir. Yılmaz, 1991 tarafından ileri sürüldüğüne göre, Bahçedam volkaniti kuzeye dalarak yitime uğrayan Kuzey Torid Okyanusunun (Poisson, 1986) oluşturduğu toleyitik karakterli yay volkanizmasının ürünüdür. Felsik, I-tipi karakterli Hasançelebi granitoyidinin ise, Paleosen'de çarpışmanın başlangıcındaki kısmi erimelerin oluşturduğu magma ile meydana geldiği düşünülmektedir (Yılmaz, 1991). Neojen döneminde, çarpışmanın ileri evrelerinde ise Karadağ riyoliti ve Leylekdağ andezitinin, çarpışmanın son dönemlerine doğru ise Koçasar bazaltının oluşu ileri sürülmektedir.

## SONUÇLAR VE TARTIŞMA

1. Hekimhan-Hasançelebi yörensinin 1/25.000 ölçekli jeoloji haritası yapılmış, sedimanter birimlerden şeritmetre-pusula yardımıyla ölçülu tip kesitler çıkarılmıştır.

2. Çalışma alanında temeli oluşturan ve önceki çalışmalarında Kuluncak ofiyoliti olarak isimlendirilen Kuluncak ofiyolitli karışığı ilk kez bu çalışmada, karışık düzeyinde tanımlanmış ve haritalanabilir ölçekte, birbirleriyle tektonik dokanaklı (bloklar halinde) beş birime ayrılmıştır. Bu birimler, Karadere ultramafiti, Güvenç lisfeniti, Körburun volkaniti, Maltepe gabrosu ve Gündeğcikdere radyoları idir.

3. Kuluncak ofiyolitli karışığı üzerine uyumsuz olarak Maestrihtien yaşlı taban konglomerası ile başlayan kumtaşı-kıtaşı-marn-kireçtaşları litolojisinde devam eden Uludere formasyonu Buldudere üyesi gelmektedir. Uludere formasyonu içinde tanımlanan diğer birimler ise, kireçtaşları litolojisine sahip Dinekkaya üyesi ve bazik bileşimindeki Bahçedam volkanitidir.

4. Hekimhan grubu içerisinde Uludere formasyonundan başka Maestrihtien yaşlı Kavakdere formasyonu, Üst Maestrihtien yaşlı Ardahan formasyonu, Paleosen-Eosen yaşlı Davuttarla formasyonları tanımlanmış olup, bunlar birbirleriyle uyumlu dokanaklar oluşturmaktadırlar.

5. Bölgede magmatik faaliyetlerin bir diğerı Paleosen yaşlı Hasançelebi granitoyidi olarak tanımlanmış birimdir. Bu granitoyidin kontağındaki metasomatik zon kayaçları ilk kez bu çalışmada Konukdere metasomatik birimi adı altında litostratigrafi birimi olarak tanımlanmıştır.

6. Bölgenin en genç magmatik aktivitesini oluşturan, Miyosen-Pliyosen yaşlı Yamadağ volkaniti, kendi arasında alttan-üste doğru, Karadağ riyoliti, Leylekdağ andeziti ve Koçasar bazaltı olmak üzere üç ayrı birime ayrılmıştır.

7. İnceleme alanında en genç sedimanter birim olarak, Pliyosen yaşlı Ciritbelen formasyonu tanımlanmıştır.

8. Bölgenin tektoniğinde D-B doğrultulu kıvrım eksenleri, bunlara yaklaşık paralel bindirme-ters faylar ile K-G yönlü normal faylar önemli yer tutmaktadır. Bu yapısal elemanların zaman-konum içinde birbirleriyle ilişkili oldukları ve K-G yönlü sıkışmalarla meydana geldikleri ileri sürülebilmektedir.

## HEKİMHAN-HASANÇELEBİ YÖRESİNİN JEOLOJİSİ

9. Hekimhan-Hasançelebi yörenesinin jeolojik evriminin, Kuzey Torid Okyanusunun jeolojik evrimi ile yakından ilişkili olduğu sonucuna varılmıştır. Buna göre, yörenedeki Kuluncak ofiyolitli karışığı, bu okyanus kabuğunun bir kalıntı olarak değerlendirilmekte ve Bahçedam volkanitinin de bu okyanusun oluşturduğu yay volkanizması ile ilgili olabileceği düşünülmektedir. Hasançelebi granitoyidinin, dalma-batmanın son evrelerine doğru gelişen kabuk kalınlaşması ile, buna karşılık, Yamadağ volkanitinin ise, çarpması ile ilgili jenezlere sahip olabilecekleri ileri sürülebilmektedir.

### KATKI BELİRTME

Yazarlar, çalışmaların gerçekleştirilemesinde maddi katkılarından dolayı, Cumhuriyet Üniv. Araştırma Fonuna; arazi çalışmaları sırasında lojistik destek gördüğü TDÇİ Hekimhan Madenleri Müessesesi Müdürlüğüne; Paleontolojik çalışmaların gerçekleştirilemesini sağlayan Dr. N. İnan (C.U., Sivas) ve Dr. A. Poliesson'a (Üniv. Paris Sud., Fransa) içten teşekkür ederler.

### DEĞİNİLEN BELGELER

- Andel Van, Tj.H., 1958, Origin and classification of Crete ceous, Paleocene and Eocene sandstones of Western Venezuela; A.A.P.G.Bull., 42, 734-763.
- Ayan, T. ve Bulut, C., 1964, Balaban-Yazılıhan-Kurşunlu ve Levent Bucakları (Malatya) arasındaki alanın genel jeolojisi: M.T.A. Dergisi 62, 58-71.
- Baykal, F., 1966, Türkiye Jeoloji Haritası Sivas Paftası: M.T.A. Yayıncı.
- Bingöl, E., 1974, Magmatik Kayaçlar Petrolojisi; M.T.A. Enst. Eğitim Sergisi, 9, Ankara.
- Blumenthal, M.M., 1938, Die Hauptzüge des Baues der Schichtfolge und der Erzführung im Gebiet von Hasançelebi-Hekimhan (vil. Malatya): Unveröffentl. Ber. M.T.A. Arch.
- Bozkaya, Ö., 1991, Hekimhan Güneyi (KB Malatya) Üst Kretase-Tersiyer yaşı Sedimanter İstifin Mineralojik-petrografik ve Jeokimyasal İncelenmesi: C.U. Fen Bil. Enstitüsü, Yüksek Lisans Tezi, Sivas, 227s (Yayınlanmamış).
- Bozkaya, Ö. ve Yalçın, H., 1991, Hekimhan (KB Malatya) yörenesinin Kretase-Tersiyer Yaşı Litostratigrafik Birimleri ve Tektoniği: Suat Erk Jeoloji Sempo-

yumu, A.Ü.F.F. Jeoloji Müh.Bölümü, Ankara, Bildiri Özleri, s. 34-35.

- Chaput, E., 1936, Voyages d'études géologiques, géomorphologiques en Turquie, Men. d'Inst. François d'Archéologie de Stamboul, I.
- Compton, R.R., 1967, Manuel of field geology: John Wiley and sons inc. New York, London.
- Folk, R.L., 1974, The natural history of crystalline calcium carbonate: Effect of magnesium content and salinity: J.Sediment.Petrol., 44, 40-53.
- Fresh, Fr., 1912, Über den Gebirgsbau des Tauros in seiner Bedeutung für die Beziehungen zuden Sitzungsber Pdeuss. Akad.Wiss., Phys.Math..
- Gattinger, T., 1957, Revision der geologischen Karten Malatya 79/1-79/4, Unveröffentl., Ber.M.T.A..
- İzdar, E., 1963, Doğu Hekimhan-Hasançelebi (Doğu Anatolu) bölgesinin jeolojik yapısı, magmatizma ve cihaz yatakları, M.T.A. Yayınları, No:112, Ankara.
- İzdar, E. ve Ünlü, T., 1977, Hekimhan-Hasançelebi-Kuluncak Bölgesinin Jeolojisi: Ege Bölgesi Jeolojisi VI Kolloquium, Dokuz Eylül Üniv., İzmir, 303-329s.
- Jacobson, H.S., Özdemir, S., Kendir, Z. ve Önder, O., 1970, Hekimhan-Hasançelebi Demir Sahasının Jeolojisi ve Maden Yatakları, M.T.A. Maden Dairesi Arşivi, No:1042.
- Locher, Th., 1959, Geologische Untersuchungen bezüglich Erdölmöglichkeiten und Revision in der geologischen Karten im Gebiete von Gürün (Sivas)-Hekimhan (Malatya): Yayınlanmamış rapor, M.T.A. Arşivi.
- Mohr, N.V. 1961, Karatuz Demir Yatakları Arama Programı Neticelerine ait rapor, M.T.A. Maden Etüd Dairesi Arşivi.
- Özer, T. ve Kuşçu, A.E., 1982, Malatya-Hekimhan Deveci Demir Yatağı Jeoloji ve Rezerv Raporu, M.T.A. Arşivi.
- Poisson, A., 1986, The Anatolian Micro-continental The Eastern Mediterranean context: The Neo-Tethysian Oceanic Throughs, Sciences de la Terre, Mémoire, 47, 311-328.

- Sincan, M., 1980, Malatya-Hekimhan Zorbehân Dağı Dolomit Ön Etüd Raporu, M.T.A. Enst. Endüstriyel Hammaddeler Dairesi.

Travis, R.B., 1970, Nomenclature for Sedimentary Rocks, A.A.P.G.Bull., 54, 1095-1107.

Yılmaz, S., 1991, Hekimhan-Hasançelebi (KB Malatya) Yöresi Jeolojisi ve Magmatitlerinin Mineralojik-Petrografik ve Jeokimyasal İncelenmesi: C.Ü.Fen Bil. Enstitüsü, Yüksek Lisans Tezi, 256s, Sivas.

Yılmaz, S. ve Boztuğ, D., 1991a, Petrology of the Hasançelebi Syenitic Pluton from the "Central-Eastern Anatolian Alkaline Province", Hekimhan-Malatya District, Turkey, EUG VI. Terra Abstracts, Vol.3, N:1, Strasbourg, p.426.

Yılmaz, S. ve Boztuğ, D., 1991b, Hekimhan-Hasançelebi (KB Malatya) Yöresindeki Kuluncak Ofiyolitli Karışığı Üzerinde Çökelen Üst Kretase Klastiklerinin Kil Mineralojisi: Mahmut Sayın Kil Mineralleri Sempozyum Bildiriler Kitabı (Baskıda), Adana..

## BOLU MASİFİ ÖRTÜ KAYAÇLARINDA DİYAJENETİK VE ÇOK DÜŞÜK DERECELİ METAMORFİK KİL MINERALLERİNİN MINERALOJİSİ VE JEOKİMYASI

Mineralogy and geochemistry of diagenetic and very low grade metamorphic clay minerals in the cover rocks of Bolu massive

Hüseyin YALÇIN, Cumhuriyet Üniversitesi, Jeoloji Müh. Bölümü, Sivas

Orhan CERİT, Cumhuriyet Üniversitesi, Çevre Müh.Bölümü, Sivas

**ÖZ :** Bolu Masifi kristalin kayaçları üzerinde Kambriyen-Alt Devoniyen yaşı epimetamorfik, Orta Devoniyen yaşı ankimetamorfik ve Üst Kretase-Paleojen yaşı sedimanter kayaçlar bulunmaktadır. Kambro-Ordovizyen yaşı metaklastiklerin egemen kil mineralleri, diyabantit türü trioktaedral kloritler ve sudoit türü di-trioktaedral kloritlerdir. Ordo-Silüren yaşı metaklastiklerde ve Devoniyen yaşı sleyt/fillit ve dolomitik kireçtaşlarında illit en bol bulunan kil mineralidir. Üst Kretase yaşı epiklastik kayaçlarda 14S-14C, Kretase-Paleojen yaşı epiklastik-piroklastik ve karbonat kayaçlarında simektitler (montmorillonit, Al-Fe saponit ve Fe baydelit) karakteristik kil minerallerini teslim etmektedir.

Kıl minerallerinin bu kronostratigrafik dağılımları, Üst Kretase-Paleojen'de yüzeyel çözelti kimyası, Paleozoyik'de gömülme ile ilişkili basınç-sıcaklık koşulları tarafından denetlenmiştir.

**ABSTRACT :** Epimetamorphic rocks of Cambrian-Lower Devonian age, anchimetamorphic of Middle Devonian age and sedimentary series of Upper Cretaceous-Paleogene age are found on the crystalline rocks of Bolu Massive. The dominant clay minerals of Cambro-Ordovician metaclastics are both diabantite type of trioctahedral chlorites and sudoite type of di-trioctahedral chlorites. Illite is found as the most abundant clay mineral in the Ordo-Silurian metaclastics and Devonian slate/phyllite and dolomitic limestones. The 14S-14C mixed-layer in the epiclastic rocks of Upper Cretaceous age, and smectites (montmorillonite, Al-Fe saponite and Fe beidellite) in the epiclastic-pyroclastic and carbonate rocks of Cretaceous-Paleogene age represent the characteristic clay minerals.

These chronostratigraphic distributions of clay minerals were controlled by the surface solution chemistry in the Cretaceous-Paleogene time and by the pressure-temperature conditions in relation to burial in the Paleozoic time.

### GİRİŞ

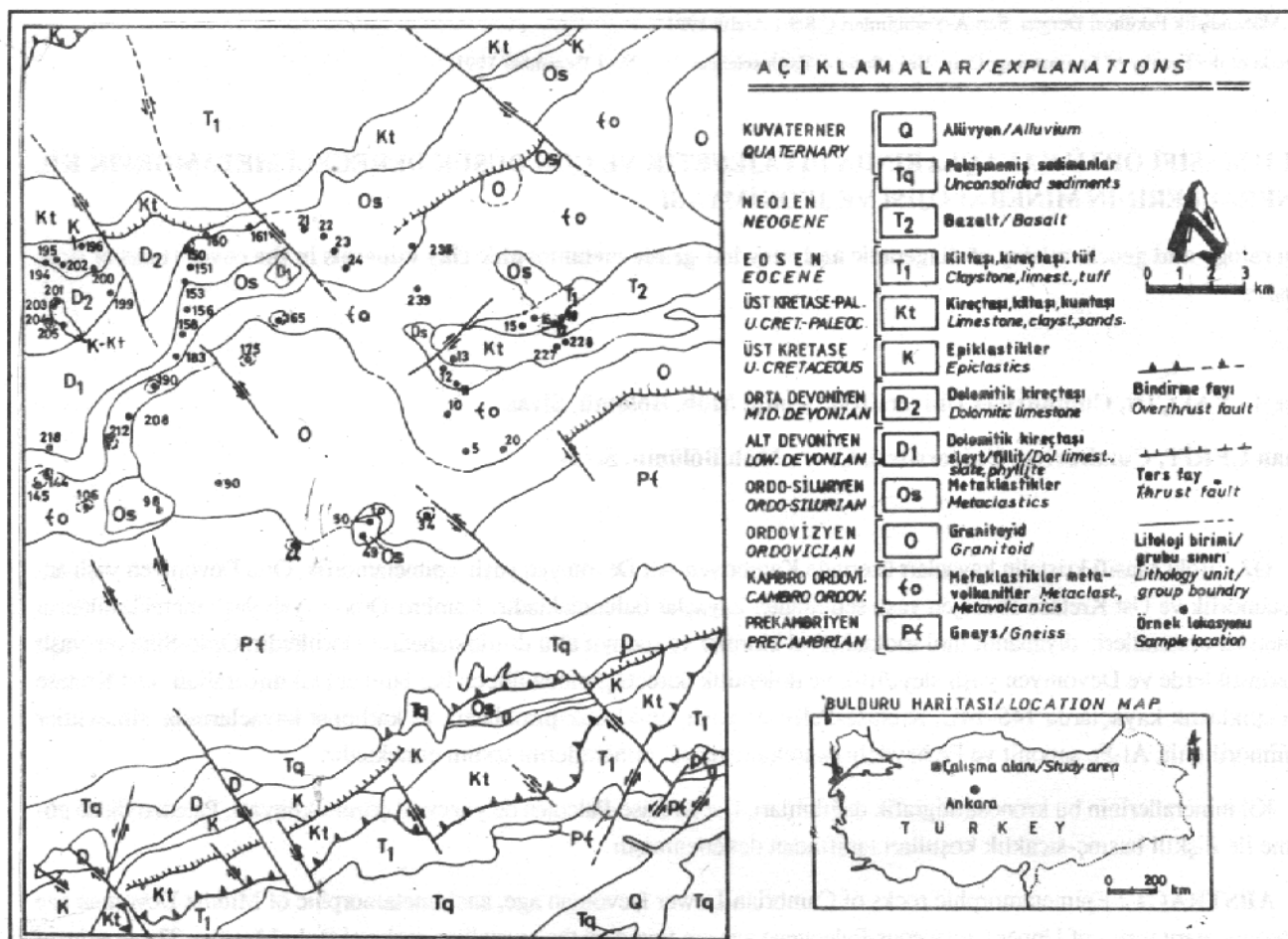
Çalışma alanı, Bolu il merkezinin yakın kuzeyinde, Bolu, Yığılca ve Yedigöller arasında kalan 1/25.000 ölçekli Bolu G28 a1-a2-a3 ve a4 topografik pastalarıyla sınırlandırılmış, yaklaşık  $600 \text{ km}^2$  lik bir alanı kapsamaktadır.

Bu çalışmanın amacı, Prekambriyen yaşı kristalin kayaçların temeli oluşturduğu Bolu Masifi'nde, Paleozoyik ve Kretase-Tersiyer yaşı örtü kayaçlarının diyajenez-ankimetamorfizma ve epimetamorfizma koşullarının kil mineralojisi ile araştırılmasıdır. Bu temel amaç doğrultusunda kil minerallerinin kökeni, kimyasal bileşimleri, gömülmeye bağlı dönüşümleri, kaynak kayaç-kıl mineral türleri arasındaki ilişkileri ve kronostratigrafik dağılımları incelenmiştir.

### CALIŞMA YÖNTEMLERİ

Kambro-Ordovizyen'den Eosen'e kadar değişik yaşıları temsil eden çok sayıdaki kayaç örneklerinin öncelikle ince-kesit petrografisi ile dokusal özellikleri ve mineralojik bileşimleri belirlenmiştir. Bunlardan 60 kayaç örneğinin 2 mikrondon küçük kil fraksiyonu, H.Ü. Jeoloji Mühendisliği Bölümü Kil Ayırımı Laboratuvarı'nda ayırt edilerek Philips marka PW 1140 model X-ışınları difraktometresinde (XRD), değişik koşullardaki (normal, fırınlı, etilen glikollü) d(001) yansımaları yardımıyla tanımlanmıştır.

Monomineralli kil boyu bileşenlerin ana element kimyasal bileşimi C.Ü. Jeoloji Mühendisliği Bölümü Kayaç Kimyası Laboratuvarı'ndaki Perkin-Elmer 2380 model Atomik Absorpsiyon Spektrofotometresi (AAS) ve Carl



Şekil 1 : İnceleme alanının basitleştirilmiş yerbelduru, jeoloji ve örnekleme haritası (Cerit, 1990)

Figure1 : Simplified location, geology and sample map of study area (From Cerit, 1990).

Zeiss-Jena Spekol 11 model Mor-Ötesi Görünür Bölge Spektrofotometresi (UV-VIS) ile saptanmıştır. % oksit cinsinden Al, Fe, Mn, Mg, Ca, Na, K elementleri AAS de, Si, Ti, P elementleri UV-VİS de belirlenmiştir. Ateşte kayıp ise 110 °C de bir gece ettiğlenmiş örneğin 1000 °C deki % ağırlık biçiminde eksilen miktarı olarak hesaplanmıştır.

### İNCELEME ALANININ JEOLOJİSİ

İnceleme alanında Prekambriyen-Kuvaterner arasında on üç birim tanımlanmıştır (Cerit, 1990). Bu çalışmada, söz konusu birimler yaş ve litoloji özelliklerine göre gruplandırılmış ve değerlendirilmiştir (Şekil-1). Bolu Masifi kristalin kayaçlarının temeli oluşturduğu çalışma alanında epimetamorfik ve sedimenter kayaç gruplarının da örtü birimlerini temsil ettiği bir dizilim bulunmaktadır. Bu birimlerin genel özellikleri yaşından gence doğru aşağıdaki gibi belirlenmiştir.

Prekambriyen, yüksek dereceli metamorfik kayaç-

lar (gneays) ile temsil edilmektedir. Bu birim üzerinde Kambro-Ordovizyen yaşlı epimetamorfik ve kontakt metamorfik kayaçlar (metadetritik ve metavolkanit) geniş bir alanda yüzeylenmektedir. Ordovizyen yaşlı granitoidler (granit, granodiorit ve eşdeğer damar kayaçları) her iki birimi de kesmektedir. Bu birimler üzerinde uyumsuzlukla yer alan Ordo-Siliuryen yaşlı metadetritikler (metakumtaşı ve meta-konglomera), Alt Devoniyen yaşlı yer yer dolomitli olan siley/filitler ile örtülmekte, Mesozoyik-Öncesi istif Orta Devoniyen yaşlı masif-kristalize dolomitik kireçtaşları ile son bulmaktadır.

Üst Kretase'ye kadar büyük bir sedimentasyon boşluğunun gözlendiği çalışma alanındaki istif, Üst Kretase yaşlı çoğulukla filiç fasiyesindeki epiklastik kayaçlar ve yer yer bunlarla arakatkılı bazaltik tuf ve aglomeralar ile devam etmektedir. Üst Kretase -Paleosen yaşlı birim ise iki farklı fasiyeste gözlenmektedir. İnceleme alanının güney kesiminde marm, kireçtaş, kiltası ve kısmen kumtaşları ile temsil edilen birim, orta-kuzey kesiminde ise kireç-

şı ve yer yer dolomit ve/veya dolomitik kireçtaşlarından oluşmaktadır. Yörede bazaltik aglomera, tuf ve kilitaşından oluşan Alt Eosen yaşlı kayaçlar üzerinde Orta Eosen yaşlı kireçtaşı, kumtaşı, konglomera ve kilitaşları yer almaktadır.

Tüm bu birimleri Neojen ve Kuvarterner yaşlı pekişmemiş sedimanlar örtmekte olup Prekamriyen yaşlı kayaçlar ile birlikte çalışmanın kapsamı dışında bırakılmışlardır.

Kuzey Anadolu Fay (KAF) Zonunun yakın kuzeyinde yer alan çalışma alanı, bu zonun karakteristik tektonik özelliklerini taşımaktadır. Çok geniş bir yaşı aralığında çok farklı mekanik özelliklere sahip kayaç birimlerinin, bu bölgede söz konusu zaman aralığında gelişen tüm orogenik fazlardan etkilenmiş olması, özellikle Mesozoyik ve öncesi yaşlı birimlerin karmaşık bir iç yapı kazanmalarına neden olmuştur.

## PETROGRAFI VE KİL MİNERALOJİSİ

İnceleme alanında değişik yaşlardaki kayaçların optik mikroskopik mineralojik bileşimleri ve petrografik özellikleri, ayrıca XRD incelemeleri ile ortaya konulan kil boyu bileşenleri (Çizelge-1) aşağıdaki gibi belirlenmiştir.

**Kambro-Ordovizyen :** Birimin litolojilerini meta-kumtaşları (genellikle subarkoz, yer yer grovak ve kuvars-kumtaşı), kuvarsitler ve metavolkanitler temsil etmektedir. Meta-kumtaşları bolluk sırasına göre kuvars, plajiyoklaz, kayaç parçacıkları (genellikle gnays), ortoklaz, klorit, epidot, muskovit/serisit, bazen hornblend, biyotit, turmalin, kalsit, titanit ve opak mineraller içermektedir. Klastik dokunun belirgin olduğu bu kayaçlarda, yer yer gözlenen yönlenmeyi muskovit/serisit ve klorit meydana getirmektedir. Meta-kumtaşlarının kil boyu bileşenleri ise klorit veya klorit+illit beraberliği oluşturmaktadır (Çizelge-1).

Kambro-Ordovizyen'de gözlenen diğer kayaç türlerinden kuvarsitler, kuvars porfiroblastlarının yanı sıra yer yer plajiyoklaz, klorit, epidot ve pirit içermektedir. Metavolkanitler ise çoğunlukla silisifiye ve zayıf akma dokulu meta-bazalt, meta-andezit ve meta-riyolitlerden oluşmaktadır. Kayaç türlerine göre, içerdikleri açık renkli (kuvars, plajiyoklaz, alkali feldispat) ve koyu renkli minerallerin (hornblend, biyotit, piroksen) miktarları da değişmektedir.

**Ordovizyen :** Gerek klastik taneler gerekse bozunma ürünleri (killeşme, serisitleşme, kloritleşme) açısından daha genç sedimanter birimlere kaynak kayaç oluşturmazı ne-

denile, çalışma alanında yer alan granitoidler bu çalışma kapsamında incelenmişlerdir. Bu kayaçların mineralojik bileşimlerine bağlı olarak feldispatça zengin oldukları illitin, koyu renkli minerallerce zengin olan kayaçlarda ise 14S-14C ve kloritin egemen bozunma ürünlerini oluşturduğu belirlenmiştir (Çizelge-1). Bu yörede, açık renkli bileşenlerin egemen olduğu granit-granodiorit türü kayaçların yaygın olması nedeniyle, illitin en bol bulunan kil minerali olması beklenmelidir.

**Ordo-Silüren :** Birimin egemen litolojisini oluşturan meta-kumtaşları, genellikle meta-grovak, yer yer de meta-kuvars kumtaşı bileşiminde olup yönlenme belirginidir. Meta-kumtaşlarının ana bileşenlerini kayaç parçacıkları (granitoid ve gnays), kuvars, ortoklaz, plajiyoklaz ve serisit/muskovit oluşturmaktadır. Ayrıca epidot, kalsit, piroksen, hornblend ve apatit de gözlenmektedir. Bu kayaçlarda illit egemen kil mineralleridir (Çizelge-1). Bu minerale daha küçük yüzdeye sahip klorit de yer yer eşlik etmektedir. Illitin bu birimdeki bolluğu, kil dönüşümlerinin yanı sıra çoğulukla granitoidlerden klastik malzeme almasından kaynaklanmaktadır.

**Devoniyen :** Alt Devoniyen'de sleyt ve/veya fillitler, Orta Devoniyen'de dolomitik kireçtaşları yer almaktadır. Çok düşük dereceli metamorfik kayaçlarda ana bileşenleri serisit (yer yer muskovit büyülüğünde), kuvars, kalsit ve dolomit, tali bileşenleri klorit, plajiyoklaz, epidot ve opak mineraller oluşturmaktadır. Tipik granoblastik doku ve yönlenmenin iyi gelişmediği rekristalize sparitik dolomitik kireçtaşları; kalsit, dolomit, fosil kavkı parçaları, az miktarlarda serisit, klorit, bazen kuvars ve opak mineral içerirler. Devoniyen'in kil fraksiyonunda illit+klorit beraberliği gözleme olup illit miktarı klorite göre daha fazladır. Özellikle Alt Devoniyen'de klorit miktarı, Orta Devoniyen'e göre kısmen artmaktadır (Çizelge-1).

**Üst Kretase :** Birimin egemen litolojisi olan kumtaşlarının bağlayıcı malzemesini subarkozlarda genellikle sparisit kalsit cimento, subgrovaklarda kil matriksi oluşturmaktadır. Kumtaşlarının ana bileşenleri, kuvars, kayaç parçacıkları (granitik ve kuvarsit), ortoklaz, plajiyoklaz, fosil kavkı parçaları, glokonit ve kloritdir. Tali bileşenler epidot, muskovit/serisit, biyotit, hornblend, turmalin, zirkon ve apatitdir. Üst Kretase yaşlı kayaçların kil boyu bileşeni ise illit+klorit+14S-14C parajenezi temsil etmektedir. Üst Kretase volkanizmasına ait bazaltik bileşimli kristal tüflerde 14S-14C, granitik bileşenli grovak türü kumtaşlarında ise illit egemen kil minerali konumundadır (Çizelge-1).

Ornek No	S	I	C	10I-14S	14S-14C	I(002)/(001)	CI	SR
<b>Eosen</b>								
83-146	100	-	-	-	-	-	-	-
83-153	100	-	-	-	-	-	-	-
83-305	100	-	-	-	-	-	-	-
85-15	30	40	30	-	E	0.53	5.75	2.50
85-16	E	100	E	-	E	0.17	4.00	3.40
85-17a	100	-	-	-	E	-	-	-
85-17b	100	-	-	-	-	-	-	-
85-18	100	-	-	-	-	-	-	-
<b>Üst Kretase-Paleosen</b>								
83-74	100	-	-	-	-	-	-	-
83-599	100	-	-	-	-	-	-	-
85-13a	40	40	20	-	E	0.65	6.00	6.60
85-203	30	50	20	-	E	0.38	4.00	4.50
85-205	30	40	30	-	E	0.55	4.75	3.20
85-227a	60	30	10	-	E	0.75	5.00	2.60
85-228	50	40	10	-	E	0.40	4.00	3.60
<b>Üst Kretase</b>								
83-327b	100	-	-	-	-	-	-	-
85-194c	-	50	50	E	-	0.62	4.50	3.10
85-195	-	40	20	-	40	0.32	3.75	4.60
85-196	-	100	E	-	-	0.36	3.75	5.60
85-200a	-	30	10	-	60	0.43	4.00	6.80
85-200b	-	20	10	-	70	-	-	-
85-201	-	40	30	-	30	0.60	5.50	2.80
85-202	-	E	E	-	100	-	-	-
<b>Orta Devoniyen</b>								
85-160	-	80	20	-	-	0.55	5.00	3.50
85-161	-	70	30	-	-	0.70	5.00	3.30
85-199	-	80	20	-	-	0.33	4.75	7.30
<b>Alt Devoniyen</b>								
85-106	-	80	20	E	-	0.34	3.25	11.10
85-144	-	60	40	-	-	0.40	3.00	7.90
85-145	-	60	40	-	-	0.47	2.75	8.80
85-151	-	70	30	-	-	0.32	3.00	13.80
85-153b	-	70	30	-	-	0.34	3.25	11.10
85-204	-	60	40	-	-	0.44	3.25	6.40
85-212	-	70	30	-	-	0.41	2.75	5.70
85-218	-	70	30	-	-	0.37	3.50	6.10
<b>Ordo-Siluryen</b>								
85-11b	-	100	E	-	-	0.27	3.00	11.00
85-12a	-	90	10	-	-	0.36	3.00	14.10
85-21	-	70	30	-	-	0.39	2.75	8.20
85-22	-	80	20	-	-	0.30	3.50	7.60
85-23	-	90	10	-	-	0.33	3.00	10.60
85-24	-	90	10	-	-	0.37	3.00	10.40
85-49	-	60	40	E	-	-	-	-
85-50	-	100	-	-	-	0.26	2.50	9.90
85-98a	-	100	-	-	E	0.29	3.00	13.30
85-156	-	100	E	-	-	0.25	3.00	10.30
85-158	-	90	10	-	-	0.39	3.00	10.50
85-183	-	100	E	-	-	0.26	2.75	9.70
85-236b	-	100	E	-	-	0.25	2.25	11.50
<b>Ordovizyen</b>								
85-90	-	90	10	-	-	-	-	-
85-150	-	E	E	-	100	-	-	-
85-165	-	-	E	-	100	-	-	-
85-190	-	60	40	-	E	-	-	-
<b>Kambriyen-Ordovizyen</b>								
85-5	-	-	100	-	-	-	-	-
85-10	-	-	100	-	-	-	-	-
85-11a	-	-	100	-	-	-	-	-
85-20	-	E	100	-	-	-	-	-
85-34	-	E	100	-	-	-	-	-
85-44b	-	10	90	-	-	-	-	-
85-175	-	20	80	-	E	-	-	-
85-208	-	60	40	-	-	0.34	2.75	11.20
85-239a	-	-	100	-	-	-	-	-

S: Simektit, I: Illit, C: Klorit, CI: Kristalinite indeksi, SR: Keskinlik Oranı, E: Eser Miktarı (% 5'den az)

S:Smectite, I:Illite, C:Chlorite, CR:Cristallinity index, SR:Sharpness Ratio, E: Trace amount (< % 5)

**Çizelge 1. Kil minerallerinin yarı-nicel yüzdeleri, illitterin kristalinite indeksi ve keskinlik oranı**

**Table 1.Semi-quantitative percentages of clay minerals, crystallinity index and sharpness ratio of illites**

**Üst Kretase-Paleosen :**Birimin ana litolojilerinden karbonat kayaçları, biyomikrit ve mikrosparit özelliğindedir. Bu kayaçlarda kalsit ve dolomitin yanı sıra kuvars, kal-sedon, muskovit ve plajiyoklazlara ender de olsa rastlanmaktadır. Bu birim içerisinde özellikle dolomitce zengin olan seviyelerin Paleosen yaşınu vermeleri, ayırtlanmamış Üst Kretase-Paleosen serilerinde olası Kretase-Paleosen sınırlını belirleyebileceğini düşünülmektedir. Kuvars-kumtaşları başlıca kuvars, muskovit, biyotit ve glokonit içermektedir. Bağlayıcı malzemesi spariksit çimentonun oluşturduğu bu kayaçlarda plajiyoklaz, ortoklaz, klorit, opak mineral ve zirkon tali bileşenleri temsil etmektedir. Birimin kil fraksiyonunu simektit+illit+klorit beraberliği oluşturmaktadır (Çizelge-1). Üst Kretase yaşı kayaçlar ile karşılaşıldığında, filiste bir örnek dışında hiç simektit gözlenmemesine karşın, bu birimde simektit, kil fraksiyonunun ana bileşenlerinden birisini temsil etmektedir.

**Eosen :** Alt Eosen'de yaygın olan volkanosedimanter kayaçlardan andezitik bileşimli kristal tüfler, feldispat (çögünlukla plajiyoklaz), hornblend, feldispatoyid, kısmen ojit, litik tüfler ise andezitik kayaç parçacıkları, plajiyoklaz ve biyotit içermektedir. Tüflerle arakatkılı pirojenik kiltashalarının bağlayıcı malzemesindeki volkan camının killeşmesi sonucu bütünüyle simektit ile temsil edilen kil mineralleri meydana gelmiştir (Çizelge-1).

Orta Eosen'in karbonat kayaçları biyomikrit özelliğinde olup ender olarak muskovit, kuvars-feldispat ve biyotit içerirler. Grovak ve subgrovak olarak adlandırılan kumtaşları, kayaç parçacıkları (metamorfik; granitik), kuvars, plajiyoklaz, ortoklaz, harnblend, klorit, serisit, opak mineral, ender olarak da epidot, piroksen ve apatit gibi hafif ve ağır bileşenlerden oluşmuştur. Kumtaşlarında belirlenen kil mineralleri ise simektit, illit ve klorittir (Çizelge-1).

## KİL MİNERALLERİNİN JEOKİMYASI

Değişik yaşlara sahip kayaçlardan elde edilen kil minerallerinin ana element kimyasal analiz sonuçları ve yapısal formülleri Çizelge-2'de verilmiştir. Yapısal formüllerin hesaplanmasında simektit ve illitler için 11, 14S-14C için 12.5, kloritler için 14 oksijen bazı esas alınmıştır. Kil minerallerinin adlandırılmasında çeşitli araştırmacılar (Caillère ve Hénin, 1963; Weaver ve Pollard, 1973; Brindley ve Brown, 1980) tarafından önerilen sınıflama ve adlamalar kullanılmıştır. Aşağıda bu kil minerallerinin jeokimyasal özellikleri ayrı ayrı ele alınarak irdelenmiştir.

**Simektit :** Üst Kretase ve Üst Kretase-Paleosen'de dioktahedral, Eosen'de dioktahedral ve trioktahedral simektitler bulunmaktadır (Çizelge-2). Eosen yaşı ve volkanojenik malzeme ile ilişkili sadece bir örnek (85-305) dioktahedral karekterdedir. Tetraedrik sübstiyonun hemen hemen hiç olmadığı Üst Kretase ve Kretase-Paleosen yaşı simektitler tipik montmorillonit bileşimindedir. Eosen yaşı trioktahedral simektitlerde tetrahedral Si-Al ve oktaedral Al-Fe-Mg sübstiyonu yaygın olup, bunlar Al-Fe saponit olarak adlandırılmıştır. Fe baydelit bileşimindeki Eosen yaşı dioktahedral simektitlerin tetraedrik boşluklarında Si ve Al, oktaedrik boşluklarında Al ve Fe egemen katyonlardır. Diğer taraftan, yapraklararası katyonları, bolluk sırasına göre dioktahedral simektitlerde K ve Ca, trioktahedral olanlarda ise Na ve Ca temsil etmektedir.

**14S-14C Karışık-Katmanlı :** Jeolojik yaşlara göre, bu tür kil minerallerinin ana element kimyası karşılaştırıldığında, Paleozoyik yaşı olanların  $\text{SiO}_2$ 'ce daha fakir,  $\text{Fe}_2\text{O}_3$  bakımından daha zengin oldukları görülebilir (Çizelge-2). Ayrıca, Üst Kretase yaşı 14S-14C'lerde toplam oktaedrik katyon miktarı da düşüktür (3.17-3.41). Bu durum, klorit tabakalarının trioktaedrik, simektit tabakalarının dioktaedrik bileşimde olmasından kaynaklanabilir. Yine elde edilen değerler, 14S-14C'lerde simektitlerin şismelerinin 16-16.5 A'ya kadar çıkması bu görüşü doğrulamaktadır.

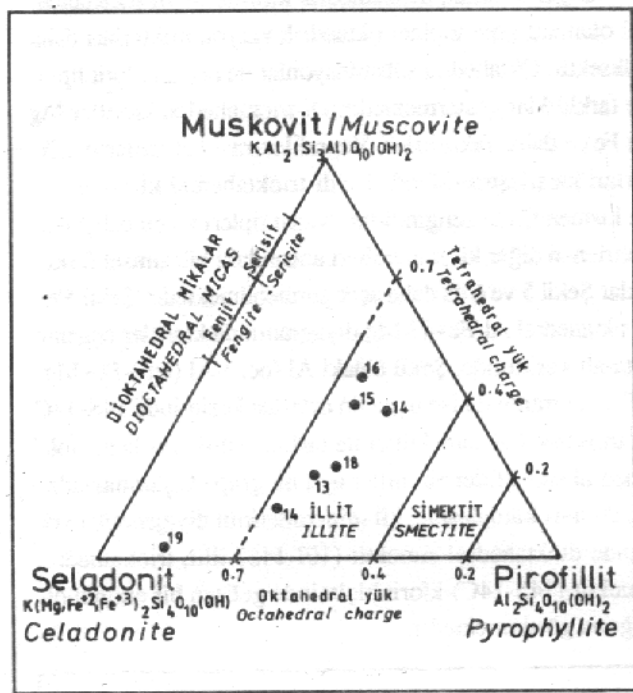
**İllit :** Dioktahedral karekterdeki bu kil minerallerinin kimyasal bileşimleri ve yapısal formülleri yaşlara göre farklılıklar göstermektedir (Çizelge-2). Örneğin tetrahedral Si-Al sübstiyonu Eosen yaşı illite ömensiz iken, diğer yaşı birimlerinkinde belirgindir. Yine Eosen yaşı illite oktaedral Al ve toplam oktaedral katyon miktarı, diğerlerine göre daha düşüktür. Bu değişimler üçgensel diyagramlarda daha açık görülmektedir. Hower ve Mowatt'ın (1966) diyagramında (Şekil-2), illitlerden yüksek oktaedral tabaka yüküne sahip Eosen yaşı olanı seladonit köşesine yakın yerlerken, diğerleri açık illitik mineraller bölgesinde, dioktahedral mika-illit çizgisine paralel uzanmaktadır. Bu veri, illitlerin muskovitin kil boyu bileşenini temsil etmediği veya muskovitlerin potasyum kaybu ile açık illit bileşimine ulaşıklarını göstermektedir. Ayrıca, illitlerin toplam yaprak yüklerinin düşüklüğü (0.67-0.79), bunların ideal muskovit bileşiminde olmadıklarına işaret etmektedir. Biliindiği gibi, teorik olarak toplam yaprak yükü illitlerde yaklaşık 0.75, muskovitte ise 1.00'dır. Weaver ve Pollard (1973), illitlerin muskovitlerden daha az  $\text{K}_2\text{O}$ , daha çok  $\text{SiO}_2$ ,  $\text{MgO}$  ve  $\text{H}_2\text{O}$  içerdiklerini belirtmektedir. Bu bulguların işliğinde, toplam yaprak yükü ve K içerikleri, diğer illitlere göre daha

SINERGIET										KLORIT															
O.Kre.	O.Kre.-Palleonen			Eosin			Orbitziken			O.Kre.	Ortho-Silicaten			O.Kre.			Eosin			Kubro-Orbitziken					
	1	2	3	4	5	6	7	8	9		10	11	12	13	14	15	16	17	18	19	20	21	22	23	24
83-3270	83-74	83-599	85-17a	85-17b	85-18	83-146	83-153	83-305	85-165	85-202	85-150	85-202	85-11b	85-50	85-156	85-183	85-236b	85-1%	85-16	85-5	85-10	85-11a	85-20	85-34	85-23%
Si	62.06	60.34	59.65	55.16	57.90	50.39	51.24	53.39	54.55	42.28	41.09	52.09	59.34	60.86	54.78	54.08	56.00	58.28	60.98	34.24	41.94	37.23	44.29	45.22	32.82
Ti	0.53	0.47	0.50	0.40	0.41	0.47	0.33	1.15	0.77	0.91	1.59	0.76	0.54	0.54	0.74	0.51	1.38	0.58	1.07	1.19	1.82	0.55	1.37	1.35	0.53
Al	18.96	19.29	16.39	13.96	14.24	13.68	16.12	17.28	19.84	16.05	14.80	16.28	21.30	20.86	21.40	23.58	23.47	21.75	15.43	19.09	19.69	19.30	19.64	19.76	19.86
Fe	5.77	3.85	7.31	12.78	11.90	14.69	11.16	11.16	8.85	17.83	19.12	9.44	4.37	3.96	7.02	5.80	5.67	4.30	6.78	20.84	15.58	18.79	13.55	13.34	19.27
Mn	0.05	0.05	0.06	0.06	0.10	0.14	0.06	0.23	0.04	0.06	0.05	0.06	0.02	0.04	0.05	0.03	0.03	0.32	0.49	0.60	0.08	0.46	0.50	0.50	
Ni	2.45	2.10	1.62	8.61	7.25	11.10	6.00	4.00	2.95	8.11	11.55	10.13	2.95	2.95	1.91	2.91	2.38	2.54	13.28	9.82	11.79	7.38	8.80	16.88	
Ca	1.24	1.47	1.47	0.28	1.07	2.05	1.98	1.11	0.87	1.94	0.44	1.16	0.02	0.18	0.22	0.01	0.04	0.01	0.94	0.08	0.63	0.01	0.83	0.77	0.40
Na	0.61	0.24	0.25	1.21	1.15	1.21	1.12	0.99	0.25	1.66	0.56	2.30	2.17	1.92	0.66	0.58	1.02	1.34	1.49	1.40	2.81	1.15	2.27	3.13	0.51
K	1.96	2.55	2.89	1.35	1.41	0.54	1.00	1.73	2.00	1.30	2.13	0.75	5.65	7.65	8.72	6.33	6.36	6.45	0.11	0.21	0.27	0.34	0.15	0.25	
P	0.09	0.07	0.99	0.13	0.28	0.11	0.04	0.06	0.13	0.25	0.13	0.05	0.06	0.03	0.06	0.03	0.06	0.03	0.06	0.17	0.11	0.19	0.27	0.10	0.16
A.K.	6.27	7.87	8.30	5.24	4.89	4.41	10.60	9.17	10.04	5.90	8.16	6.15	3.08	2.89	4.66	4.17	3.90	3.68	3.58	7.64	5.43	8.68	9.09	6.04	8.87
Total	99.99	98.30	98.73	99.18	99.62	98.95	100.23	100.10	100.24	100.14	99.64	99.27	98.84	98.96	100.22	100.45	99.68	98.74	99.30	98.46	98.53	98.56	99.11	99.12	99.99
<b>Tetrahedral</b>																									
Si	3.97	3.96	4.00	3.67	3.76	3.40	3.58	3.65	3.70	3.56	3.37	3.97	3.79	3.88	3.61	3.55	3.63	3.76	3.97	3.21	3.72	3.47	3.98	3.95	3.06
Al	0.03	0.02	-	0.33	0.22	0.60	0.42	0.35	0.30	0.44	0.63	0.03	0.21	0.12	0.39	0.45	0.37	0.22	0.03	0.79	0.28	0.53	0.02	0.05	0.94
Ti	0.03	0.02	-	0.33	0.22	0.60	0.42	0.35	0.30	0.44	0.63	0.03	0.21	0.12	0.39	0.45	0.37	0.22	0.03	0.79	0.28	0.53	0.02	0.05	0.94
Fe	0.28	0.19	0.37	0.64	0.54	0.75	0.59	0.57	0.45	1.06	1.18	0.54	0.21	0.19	0.35	0.29	0.28	0.21	0.38	1.47	1.04	1.32	0.92	0.88	1.35
Mn	-	-	-	-	-	-	0.01	-	-	0.02	-	-	-	-	-	-	-	-	-	-	-	-	-	-	
Ni	0.23	0.21	0.18	0.85	0.71	1.07	0.62	0.41	0.22	0.95	1.33	1.15	0.26	0.17	0.29	0.28	0.16	0.23	0.25	1.64	0.03	0.04	0.05	0.01	0.03
TOK	1.94	1.90	1.88	2.27	2.14	2.35	2.16	2.08	2.00	3.20	3.41	3.17	1.90	1.84	1.95	1.97	1.93	1.91	1.70	4.53	4.28	4.50	4.00	4.00	4.66
OY	0.38	0.49	0.51	0.02	0.27	-	0.12	0.11	0.18	0.32	-	0.61	0.53	0.62	0.40	0.37	0.30	0.47	0.86	-	0.36	0.01	0.84	0.56	0.01
<b>Tetrahedral areas</b>																									
Hg	-	-	-	-	-	-	-	-	-	-	-	-	-	-	-	-	-	-	-	-	-	-	-	-	
Ca	0.00	0.10	0.11	0.02	0.15	0.07	0.15	0.09	0.07	0.16	0.04	0.09	-	-	-	-	-	-	-	-	-	-	-	-	-
K	0.00	0.03	0.03	0.16	0.15	0.16	0.15	0.13	0.03	0.25	0.09	0.34	0.27	0.24	0.08	0.07	0.13	0.17	0.19	0.25	0.14	0.14	0.06	0.04	
P	0.16	0.22	0.25	0.11	0.12	0.05	0.09	0.15	0.17	0.13	0.22	0.07	0.46	0.47	0.53	0.54	0.01	0.01	0.01	-	-	-	-	-	-
YAY	0.41	0.45	0.55	0.36	0.51	0.62	0.54	0.46	0.48	0.75	0.65	0.64	0.73	0.73	0.76	0.80	0.70	0.70	0.87	0.75	0.67	0.57	0.56	0.54	
YAY	0.40	0.49	0.51	0.35	0.49	0.60	0.54	0.46	0.46	0.76	0.63	0.64	0.74	0.74	0.79	0.67	0.69	0.69	0.70	0.74	0.79	0.67	0.64	0.54	

A.A.K.:Alegre kayağı (1000 c), TY:Tetrahedral yit, TAK:Topaktı oktaedral yit, YAV:Yavratlar arası yit, TTT:Topaktı ve rarak yitk

**Cizelge 2.: Kıl mineralerinin kimyasal bileşimleri ve yapısal formülleri**  
**Table 2: Chemical compositions and structural formulas of clay minerals**

yüksek olan Ordo-Silüren yaşlı illitlerin, ideal muskovit bileşimine daha yakın oldukları ifade edilebilir.

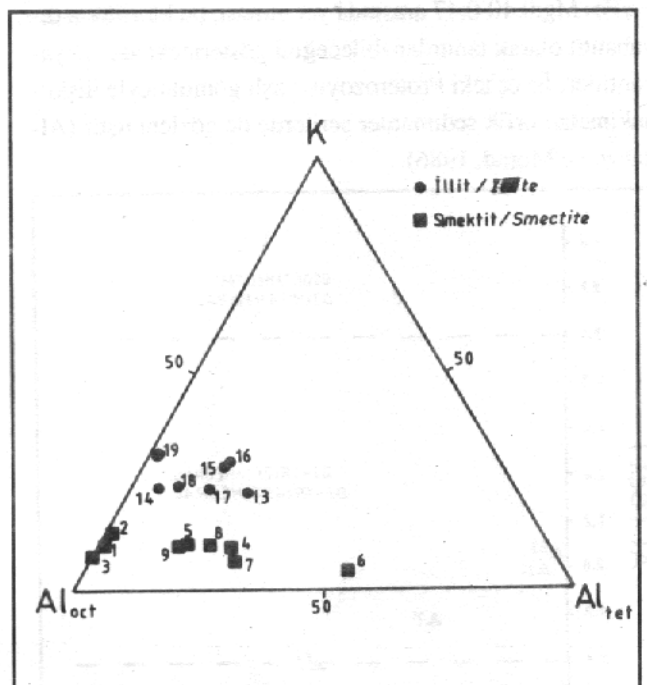


**Şekil 2:** İllitlerin muskovit-seladonit-pirofillit üçgen diyagramında bileşimsel değişimleri.

**Figure 2:** Compositional variations of the illites on the muscovite-celadonite-phrophyllite triangle diagram.

K-Al(tet.)-Al(oct.) diyagramında (Şekil-3), illitler simektitlerin bulunduğu oktaedral Al köşesine yakın bir dağılım göstermektedir. Şöyle ki; illitler, gömülmeye bağlı olarak P-T koşullarının artmasıyla, simektitlerin transformasyonları sonucu gelişmiş olmalıdır. Ancak, kristalin kayaçlardan taşınan illitlerde bu ortamda, pozitif transformasyona uğramış olmalıdırlar. Seladonit köşesinde yer alan Eosen yaşı illitin kimyasal bileşiminin tipik seladonit için verilen değerlerden (Weaver ve Pollard, 1973) kısmen farklılık göstermesi, kil franksiyonunda XRD ile belirlenen eser miktarda simektit ve kloritin yanı sıra, optik mikroskop ile belirlenen serisitin varlığından kaynaklanmalıdır. İncekesit çalışmalarında çok az miktarda epiklastik bileşenlerin de gözleendiği seladonitli andezitik tüslerde bozunmuş feldispatoyid minerallerine (lösit, nefelin) rastlanılması; seladonitin, K'ca zengin bir mineralden türemiş olabileceğiğini göstermektedir.

Eosen'deki andezitik volkanizmanın bozunma ürünlerinin simektit (Alt Eosen) veya illit (Orta Eosen) biçiminde belirgin farklılık göstermesi, bu zaman aralığında volkanizmanın mineralojik-kimyasal karakterinin de değiştiğine



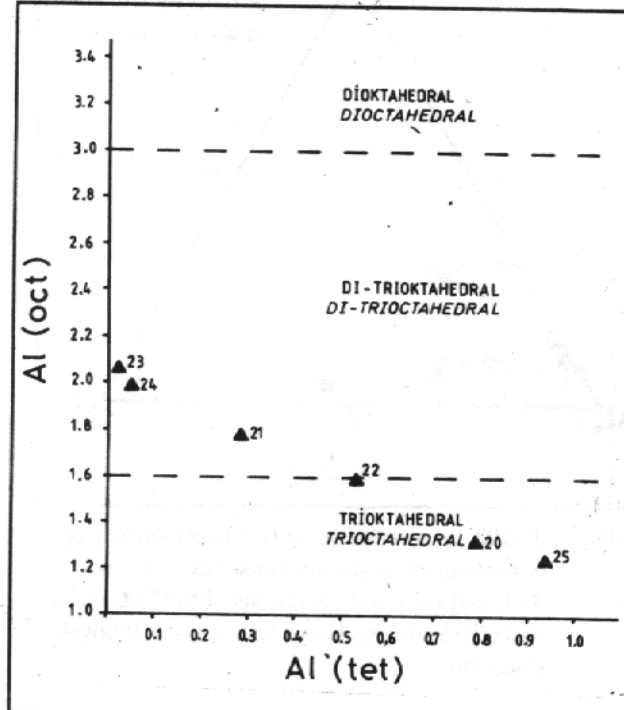
**Şekil 3 : İllit ve simektitlerin K-Al(tet)-Al(oct) üçgen diyagramında bileşimsel değişimleri.**

**Figure 3:** Compositional variations of the illites and smectites on the K-Al(tet)-Al(oct) triangle diagram

**Klorit** : Kambro-Ordovizyen yaşlı meta-kumtaşlarının egemen kil minerali olan kloritlerin ana element bileşimleri değişiklikler sunmaktadır (Çizelge-2). Bunlardan tetraedrik Al sübstansiyonunun yüksek (0.53-0.94), oktaedrik Al sübstansiyonunun düşük olduğu üç klorit örneği (20, 22 ve 25 sıra nolu) trioktaedral bileşimdedir. Bunun tersine, Al'un tetraedrik sübstansiyonunun düşük (0.02-0.28), oktaedrik sübstansiyonun ise yüksek olduğu diğer üç örnek ise di-trioktaedral bileşimine sahiptir. Bu çalışmada dioktaedral kloritlerin varlığı gözlenmemiştir. Kloritler arasındaki bu yapısal farklılıklar, Aldahan ve Morad'ın (1986) önerdiği diyagramda belirgin bir biçimde ayırtedilebilmektedir (Şekil-4). Diyagramda gözlendiği gibi tetrahedral Al-oktaedral Al arasında negatif bir korelasyon bulunmaktadır. Bu yönelik, kontakt metamorfik ve/veya gömülmeye bağlı epimetamorfik zonlanma ile ilişkili olabilir.

Foster (1962) sınıflaması esas alındığında, inceleme alanındaki triktahedral kloritler, diyabantit olarak adlandırılabilir. Bu araştırcıya göre diyabantitlerde tetrahedral  $\text{Si}:3.10-3.40$ , oktaedral  $\text{Fe}/(\text{Fe}+\text{Mg}):0.25-0.75$  arasında değişmektedir. İncelenen Kambro-Ordovizyen yaşı triktahedral kloritlerde tetrahedral  $\text{Si}:3.10-3.40$ , oktaedral  $\text{Fe}/(\text{Fe}+\text{Mg}):0.25-0.75$  arasında değişmektedir. İncelenen Kambro-Ordovizyen yaşı triktahedral kloritlerde tetrahedral  $\text{Si}:3.10-3.40$ , oktaedral  $\text{Fe}/(\text{Fe}+\text{Mg}):0.25-0.75$  arasında değişmektedir.

hedral kloritlerde tetrahedral Si: 3.06-3.47, oktaedral Fe/Fe+Mg:0.40-0.47 arasında yer alması, bu kloritlerin di-yabantit olarak tanımlanabileceğini göstermektedir. Di-yabantitler, İsveç'teki Proterozoyik yaşı gömülmeyeyle ilişkili ankimetamorfik sedimanter serilerde de gözlenmiştir (Al-dahan ve Morad, 1986).



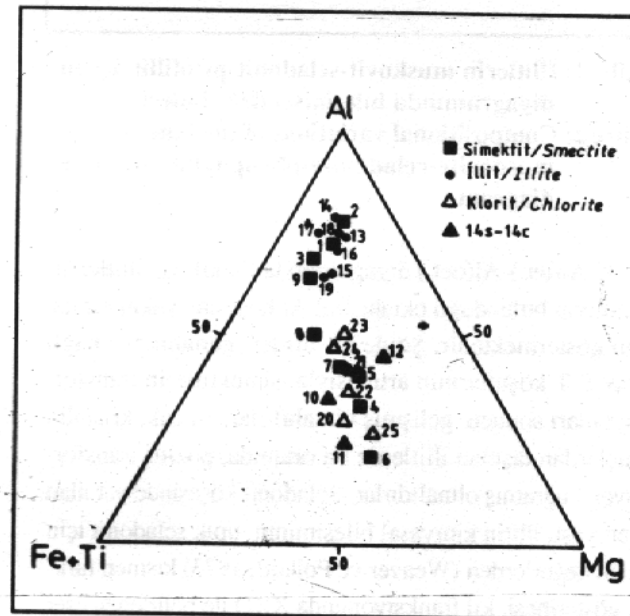
**Sekil 4 : Kloritlerin Al(oct)-Al(tet) diyagramında sınıflandırılması**

**Figure 4 : Classification of the chlorites on the Al(oct)-Al(tet) diagram**

Bilindiği gibi, di-trioctahedral kloritlerde 2:1 tabakası (mika tabakası) trioctahedral bileşiminde olup Li içermeyenleri sudoyit olarak tanımlanmaktadır (Brindley ve Brown, 1980). Bu tanımlama kapsamında inceleme alanında belirlenen di-trioctahedral kloritler sudoyit olarak adlandırılmıştır. Bu mineralin değişik araştırmacılarca metalik cevher yataklarındaki ince taneli killerde bulunduğu belirtimketedir (Bailey ve Tyler, 1960; Hayashi ve Oinuma, 1964). Sudoyitlerin kayaç oluşturan bir mineral olduğu ise ilk defa Franceschelli ve diğ. (1989) tarafından Kuzey Apeninlerde (İtalya) meta-siltaşı ve meta-psamitlerde saptanmıştır. Araştırmacılar, bu mineralin düşük dereceli metamorfizmada belirli fasiyesi (alt yeşil sist) belirlemede ayırt ettiğini ifade etmektedirler. İnceleme alanında Prekambriyen temel üzerinde yer alan Kambro-Ordovizyen yaşı meta-klastiklerde sudoyitlerin gözlenmesi, bu birimin kontakt metamorfizma etkilerinin yanı sıra, gömülmeye bağlı düşük dereceli progresif metamorfizmeye uğradığının

diğer bir kanıtı olarak değerlendirilmiştir.

Diğer taraftan, trioctahedral kloritlerin, di-trioctahedral olanlara göre toplam oktaedrik katyon miktarları daha yüksektir. Oktaedral sübsitusyonlar da her iki klorit tipinde farklılıklar göstermektedir. Di-trioctahedral kloritler Mg ve Fe'ce daha fazlardır. Yapraklararası katyonların miktarları karşılaştırıldığında ise di-trioctahedral kloritler, Na ve kısmen Ca'ca zengindirler. Klorit tipleri ve bu çalışmada belirlenen diğer kil mineralleri arasındaki bileşimsel farklılıklar Şekil 5 ve 6'da daha açık görülebilmektedir. Şekil 5'teki oktaedral Al-Fe+Ti-Mg diyagramında kloritler üçgenin orta-alt kesiminde, Şekil 6'daki Al (oct.)-Al (tet.)-Fe+Mg+Ti diyagramında ise üçgenin orta-üst kesiminde 14S-14C ve trioctahedral simektitler ile birlikte kümelenirken, dioctahedral simektitler ve illitler ayrı bir grup oluşturmaktadır. Bu iki ayrı kümeleşme, kil minerallerinin diyajenetik evriminde dioctahedral simektit-(10I-14S)-illit, trioctahedral simektit-(14S-14C)-klorit biçiminde gelişen bir etkinin olduğunu göstermektedir.

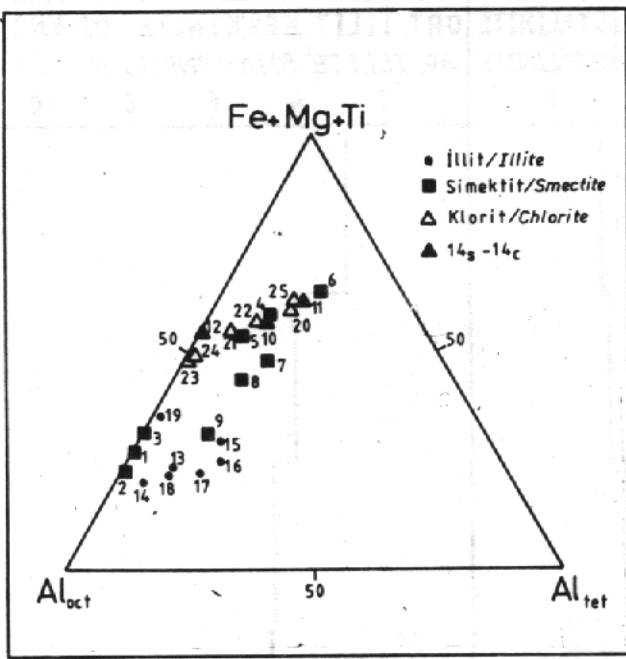


**Sekil 5 : Kil minerallerinin Al-Fe+Ti-Mg üçgen diyagramında oktaedral bileşimlerinin değişimleri**

**Figure 5 : Octahedral compositional variations of the clay minerals on the Al-Fe+Ti-Mg triangle diagram**

## ILLİTLERİN KRİSTALİNİTESİ

Bilindiği gibi, illitlerde  $d(001)$  yansımmasına karşılık gelen  $10 \text{ \AA}$  daki pikin yarı-yüksekliğindeki genişliği (mm) kristalinité olarak tanımlanmaktadır (Dunoyer De Segonzan, 1970). Yine aynı araştırmacı, kristalinité indeksi (CI) ile 5

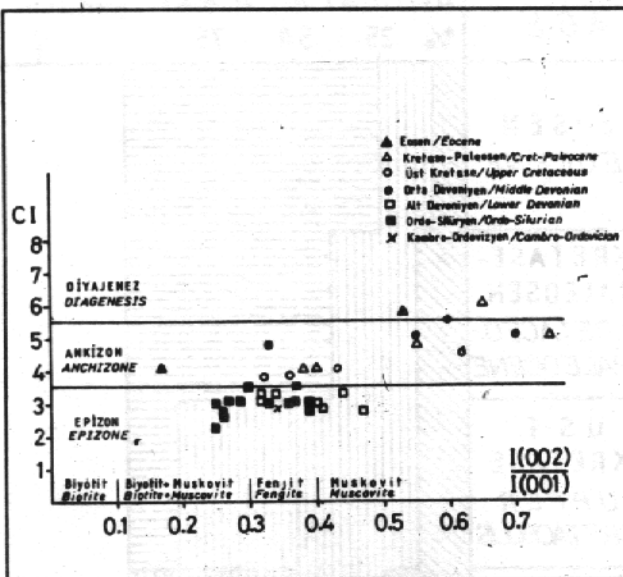


**Şekil 6 : Kil minerallerinin Fe+Mg+Ti-Al (oct)-Al(tet) üçgen diyagramında bileşimsel değişimleri**

Figure 6 : Compositional variations of clay minerals on the Fe+Mg+Ti-Al(oct)-Al(tet) triangle diagram

$\text{A}^+$  ve  $10 \text{ \AA}$  daki sırasıyla  $d(002)$  ve  $d(001)$  yansımalarının şiddet oranları ( $d(002)/d(001)$ ) arasındaki ilişkiden gidilerek diyajenez-ankimetamorfizma-epimetamorfizma zonlarının belirlenebileceğini ortaya koymuştur. İnceleme alanında tanımlanan illitlerin XRD difraktogramlarından itibaren ölçülen kristalinitdeğerleri ve şiddet oranları (Çizelge-1), yukarıdaki araştırıcının geliştirdiği diyagramda kullanılmıştır (Şekil-7). Diyagramdan görüleceği üzere Üst Kretase-Tersiyer yaşı birimlere ait illitler diyajenez-ankizon bölgesinde, Paleozoyik yaşı birimlerden Orta Devoniyen'in illitleri ankizon; Alt Devoniyen, Ordo-Silüren ve Kambro-Ordovizyen illitleri epizon bölgesinde yer almaktadır. Üst Kretase-Tersiyer yaşı illitlerin kristalinitelerinin farklılığı, bu minerallerin detritik, transformasyon ve diyajenetik gibi farklı süreçlerin ürünleri olduğu biçiminde yorumlanmıştır. Buna karşın Paleozoyik yaşı birimlerde üssten alta doğru kristalinitenin düzenli artışı, gömülümeyle ilişkili P-T koşullarının artmasından ileri gelmektedir. Diyajenetik zonda mineralojiden bağımsız olarak bütün polimorfik değişimlerin bulunabileceği ve kristalinitenin değişken olabileceği; ancak epizonda ise litolojiden bağımsız olarak 2M yapısının egemen, kristalinitenin yüksek ve yeknesak olduğu Du nayer De Segonzac (1970) tarafından da ifade edilmektedir.

dir.



**Şekil 7 : İllitlerde kristalinite indeksi ve şiddet oranları arasındaki ilişkiler**

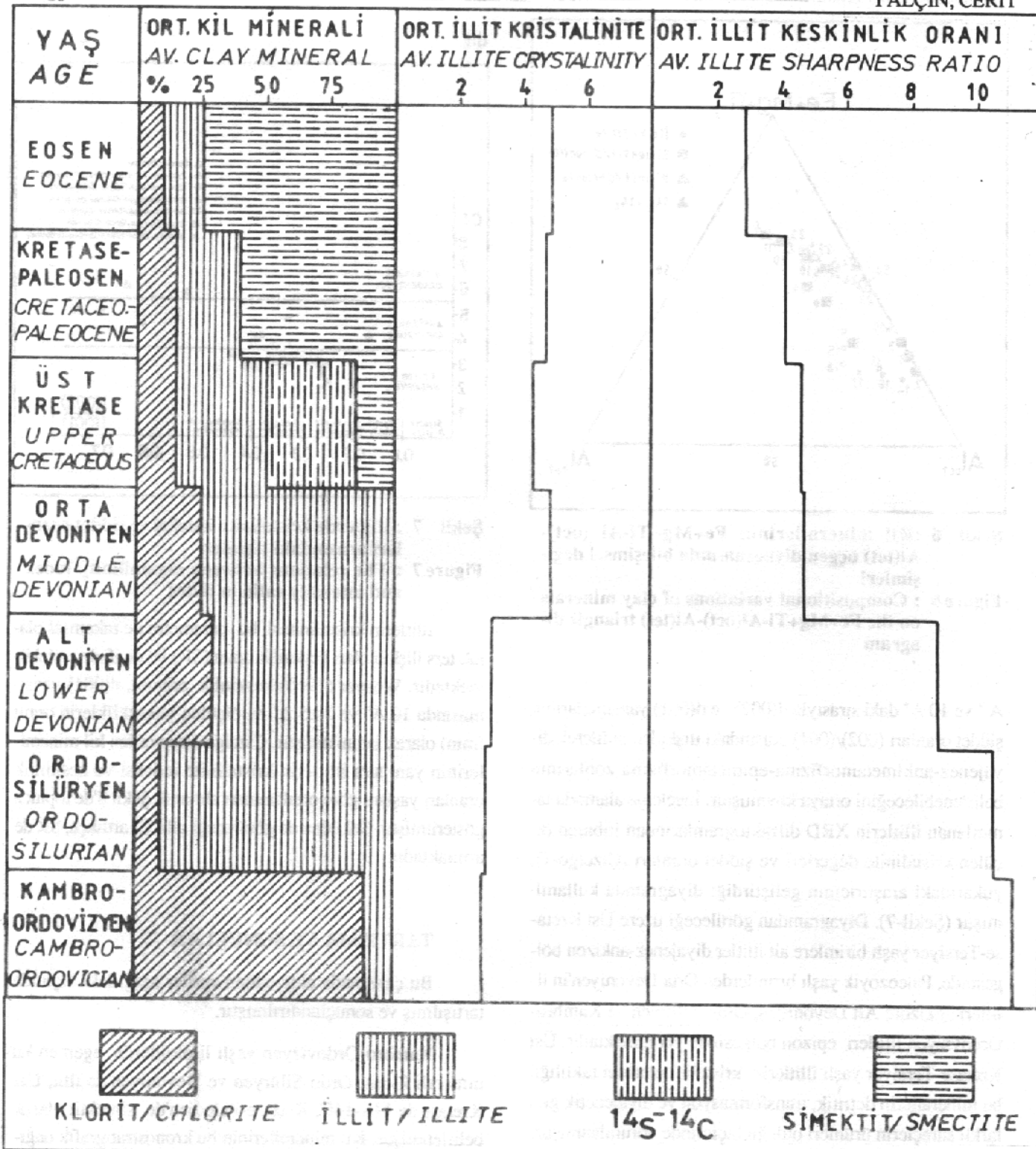
Figure 7 : The relations between crystallinity index and intensity ratio in illites

İllitlerin kristalinitesi, bu parametre ile rakamsal olarak ters ilişkili olan keskinlik oranı (SR) ile de ifade edilebilir. Weaver (1960) keskinlik oranını,  $d(001)$  yansımada  $10 \text{ \AA}$  ve  $10.5 \text{ \AA}$  da ölçülen yüksekliklerin oranı (mm) olarak tanımlamıştır. Çizelge 1'de verilen kil mineralerinin yanı sıra illitlerin kristalinitdeğeri ve keskinlik oranları yaşlara göre ortalamaları alınarak Şekil 8'de topluca gösterilmiştir. Şekilden de görüleceği gibi CI arttıkça, SR de artmaktadır.

## TARTIŞMA VE SONUÇLAR

Bu çalışmada elde edilen veriler aşağıdaki biçimde tartışılmış ve sonuçlandırılmıştır.

Kambro-Ordovizyen yaşı litolojilerde egemen kil minerali klorit, Ordo-Silüren ve Devoniyen'de illit, Üst Kretase'de 14S-14C, Kretase-Paleojen'de simektit olarak belirlenmiştir. Kil mineralerinin bu kronostratigrafik dağılımları ve transformasyonları göz önüne alındığında, Üst Kretase-Paleojen'in düşük dereceli diyajenez (sig gömülme), Orta Devoniyen'in yüksek dereceli diyajenez/ankimetamorfizma (derin gömülme) ve Kambriyen-Alt Devoniyen'in düşük dereceli metamorfizma koşullarına sahip oldukları belirlenmiştir. Diğer bir ifadeyle Üst Kretase-Paleojen yaşı kil mineraleri klastik sedimentasyon ve yüzeysel çözelti kimyasının, Paleozoyik yaşı kil mineraleri ise baş-



Şekil 8 : Kıl minerallerinin kronostratigrafik dağılımları

Figure 8 : Chronostratigraphic distributions of clay minerals

langıça detritik dahi olsalar P-T koşullarının etkilerini taşımaktadırlar. Üst Kretase'den itibaren bölgenin önemli bir gömülmenin etkisinde kalmadığı görüşü, Bolu kuzeydoğusunda daha önce de ortaya konulmuştur (Yalçın ve diğ., 1987).

Üst Kretase ve Üst Kretase-Paleosen yaşı dioktaedral bileşimli simektitler; montmorillonit, Eosen yaşı trioktaedrik olanlar Al-Fe saponit, dioktaedrik simektitler ise Fe-baydelit türü kil mineralleri olarak tanımlanmıştır. Bunlardan volkanojenik malzeme ile ilişkili simektitler,

volkanik camın killeşmesi sonucunda oluşmuşlardır. Üst Kretase-Paleosen yaşı diğer simektitler ile birlikte illit, klorit ve 14S-14C mineralleri de klastik kökenlidir. Illitlerden sadece Palcozayık yaşı olanlar idal muskovit bileşimine yakın kimyasal özellikler taşımaktayken genç birimdekiler açık illit (K kaybı) bileşimindedirler. Çalışma alanında volkanogenik malzemede bozunma sonucu farklı türde kil minerallerinin oluşumunun, kayaç türü, dolayısıyla mineralojik-kimyasal bileşim ve bağlayıcı malzeme/kristal oranı tarafından denetleneceği ortaya konulmuştur. Bu alanda, bağlayıcı malzeme/kristal oranı yüksek, açık renkli minerallerin egemen olduğu kalkalkali volkanik kayaçlarda ve bunların piroklastik eşdeğerlerinde simektit, buna karşın bağlayıcı malzemenin düşük, feldispatoid ve alkali feldispat içeren alkali volkanik ve piroklastik kayaçlarda seladonit veya illit gelişmektedir. Koyu renkli minerallerin egemen olduğu magmatik kayaçlarda ise klorit veya 14S-14C türlü kil minerallerine dönüşüm olabilmektedir.

Kambro-Ordovizyen yaşı litolojilerdeki kloritler, trioktaedral ve di-trioktaedral olmak üzere iki farklı tip ile temsil edilmektedir. Bunlardan trioktaedral kloritler diyabantit, di-trioktaedral kloritler sudoyit bileşimindedir. Bu minerallerden sudoyit düşük dereceli metamorfik kayaçlarında bu çalışma kapsamında Türkiye'de ilk defa tanımlanmıştır. Kontakt ve/veya epimetamorfizmaya bağlı olarak di-trioktaedral klorit biçiminde bir dikey ve/veya yanal değişim bulunmaktadır.

Bolu masifi çevresinde Üst Kretase-Paleosen yaşı serilerde gözlenen dolomit minerali, Paleosen'in tabanını karekterize edebilir. Ülkemizdeki konkordan serilerde Kretase-Tersiyer sınırının paleontolojik yöntemlerle belirlenmesinin yetersiz kaldığı durumlarda, Mg bakımından zengin kil ve/veya karbonat minerallerinin kullanılmasının yararlı olacağı ifade edilmektedir (Yalçın ve diğ., 1987; Bayhan ve Yalçın, 1990; Bozkaya ve Yalçın, 1991; Yalçın ve İnan, 1991).

## TEŞEKKÜR

Bu araştırmmanın hazırlanmasında görüş ve eleştirileri ile değerli katkılarında bulunan Prof.Dr.Baysal Batman'a (H.Ü.), arazi ve laboratuvar çalışmalarına verdikleri destekten dolayı M.T.A. Genel Müdürlüğü ve Hacettepe Üniversitesi Jeoloji Mühendisliği Bölümü'ne, kimyasal analizlerin yapılmasındaki yardımları için Uzman Kimya Mühendisi Fatma Yalçın ve Ümit Şengül'e (C.Ü.) teşekkür ederiz.

## DEĞİNİLEN BELGELER

- Aldahan, A.A., Morad, S., 1986. Mineralogy and chemistry of diagenetic clay minerals in Proterozoic sandstones from Sweden, Amer.J. Sci., 286, 29-80.
- Bailey, S.W., Tyler, S.A., 1960. Clay minerals associated with the Lake Superior iron ores. Econ. Geol., 55, 150-175.
- Bayhan, E., Yalçın, H., 1990. Burdur Gölü çevresindeki Üst Kretase-Tersiyer yaşı sedimanter istifin tüm kayaç ve kil mineralojisi. M.T.A. Derg., 111, 73-87.
- Bozkaya, Ö., Yalçın, H., 1991. An approach to Upper Cretaceous-Tertiary transition by using clay and carbonate mineralogy, Malatya-Hekimhan province, Eastern Turkey. 7th Euroclay Conference, Dresden, 26-30 August, Proceedings v.1, p.141-146.
- Brindley, G.W., Brown, G., 1980. Crystal structures of clay minerals and their X-ray identification. Mineralogical Society, London, 495 p.
- Caillère, S., Hénin, S., 1963. Minéralogie des Argiles. Masson et Cie, Paris, 355p.
- Cerit, O., 1990. Bolu Masifinin jeolojik ve tektonik incelenmesi. H.Ü.Fen Bilimleri Enst., Ankara, Doktora Tezi, 217 s. (yayınlanmamış).
- Dunoyer De Segonzac, G., 1970. The transformation of clay minerals during diagenesis and low-grade metamorphism: A review. Sedimentology, 15, 281-346.
- Foster, M.D., 1962. Interpretation of the composition of the chlorites. U.S.Geo. Survey Prof.Paper, 414-A, 33p.
- Franceschelli, M., Mellini, M., Memmi, I., Ricci, C.A., 1989. Sudoite, a rock forming mineral in Verrucano of the Northern Apennines (Italy) and the sudoite-chloritoid-pyrophyllite assemblage in prograde metamorphism. Contrib. Mineral. Petrol., 101, 274-279.
- Hayashi, H., Oinuma, K., 1964. Aluminian chlorite from Kamikata mine, Japan. Clays and Clay Min., 18, 285-306.
- Hower, J., Mowatt, T.C., 1966. The mineralogy of illites and mixed-layer illite-montmorillonite. Amer.

Min., 51, 825-854.

- Weaver, C.E., 1960. Possible uses of clay minerals in search for oil. AAPG Bull., 44, 1505-1518.

Weaver, C.E., Pollard, L.D., 1973. The chemistry of Clay Minerals. Elsevier, Developments in Sedimentology 15, 213 p.

Yalçın, H., İnan, N., 1991. Tecer formasyonunda (Sivas) Kretase-Tersiyer geçişine paleontolojik, mineralojik ve jeokimyasal yaklaşımalar. Türkiye Jeoloji Bülteni (Incelemede).

Yalçın, H., Cerit, O., Sezen, T.F., Batman, B., 1987. Mengen-Pazarköy yörenesinin kil mineralojisi (Bolu KD). III. Ulusal Kil Semp., ODTÜ, Ankara, 21-27 Eylül, Bildiriler Kitabı, s.83-98.

## KIRKA BASENİNDE DİYAJENETİK SİLİKAT VE KARBONAT MİNERALLERİNİN İNCELENMESİ

Investigation of diagenetic silicate and carbonate minerals in the Kirka basin

Hüseyin YALÇIN, Cumhuriyet Üniversitesi, Jeoloji Müh. Bölümü, Sivas

M.Niyazj GÜNDÖĞDU, Hacettepe Üniversitesi, Jeoloji Müh. Bölümü, Beytepe-Ankara

Nicole LIEWIG, CNRS-CGS, Strasbourg, France

**ÖZ :** Borat içeren Neogen yaşı Kırka gölgesel baseninde gerçekleştirilen bu çalışmada, sedimenter birimlerde gözlenen bazı neoformasyon minerallerinin dağılımları ve oluşumları araştırılmıştır. Piroklastik ve kimyasal sedimentasyon süreçlerinin etkisi ile gelişen diyajenetik silikat mineralleri; kil, klinoptiolit/höylandit, filipsit, kuvars, opal-CT ve K-feldispat, karbonat mineralleri ise yaygın olarak kalsit, dolomit ve stronşyonit'tir. Bu minerallerin oluşumunu sağlayan elementlerden Si, Al, K, Na ve Sr volkanogenik ve hidrotermal, Ca ve Mg genellikle yüzeysel taşınma ile ilgili detritik kaynaklı katyonlardır. Karaören formasyonu tüflerinde kil, klinoptiolit/höylandit, filipsit ve K-feldispat, Sarıkaya formasyonu karbonat kayaçlarında ise kalsit, kalsit+dolomit, dolomit biçiminde yanal ve düşey mineralojik zonlanmalar ortaya çıkmıştır.

**ABSTRACT :** In this study, which is made in Kirka lacustrine basin with borate of Neogene age, the distributions and formations of some neoformation minerals within the sedimentary units have been investigated. Diagenetical minerals, which are developed with an effect of pyroclastic and chemical sedimentation processes, silicate minerals are clay, clinoptilolite/heulandite, phillipsite, quartz, opal-CT, K-feldspar; carbonate minerals are calcite, dolomite, strontianite in common. The elements, which were contributed to formation of these minerals, Si, Al, K, Na and Sr are volcanicogenic and hydrothermal origin, Ca and Mg are generally detrital originated cations related to surfical transportation. Lateral and vertical mineralogical zonings have come into existence, such as clay, clinoptilolite/heulandite, phillipsite and K-feldspar within the tufts of Karaören formation and calcite, calcite+dolomite, dolomitic within the carbonate rocks of Sarıkaya formation.

### GİRİŞ

İnceleme alanı, Kuzyeybatı Anadolu'da Eskişehir'in 60 km güneyinde işletilen borat yataklarının bulunduğu Kırka kasabası çevresinde yer almaktır (Şekil-1) ve J24 b1-b2-b3-b4-c1-c2, J25 a1-a4-d1 topografik pastaları içinde kalmaktadır ( $535 \text{ km}^2$ ).

Kırka baseninde şimdide kadar çeşitli çalışmalar yapılmış ve borat yatağının jeolojisi, mineralojisi ve kökeni (Inan et al., 1973; Baysal, 1972; Sunder, 1980; Gök ve diğ., 1980; Yalçın, 1989/1990; Yalçın ve Baysal, 1992), kil mineralojisi (Ataman ve Baysal, 1978; Yalçın et al., 1989), volkanik ürünlerin jeokronolojisi ve jeokimyası (Sunder, 1982; Yalçın ve diğ., 1988) konusunda önemli bilgiler elde edilmiştir. Ancak, tüm volkanosedimanter basını kapsayan, borat dışındaki minerallerin de oluşumunu, diyajenetik, mineralojik ve jeokimyasal evrimlerini ortaya koyacak bir çalışma yapılmamıştır. Bu eksikliği gidermek amacıyla, Kırka bas-

ninde killi-karbonatlı-tüflü kayaçlardan oluşan sedimenter birimler (Şekil-2) üzerinde çalışmalar yoğunlaştırılmıştır.

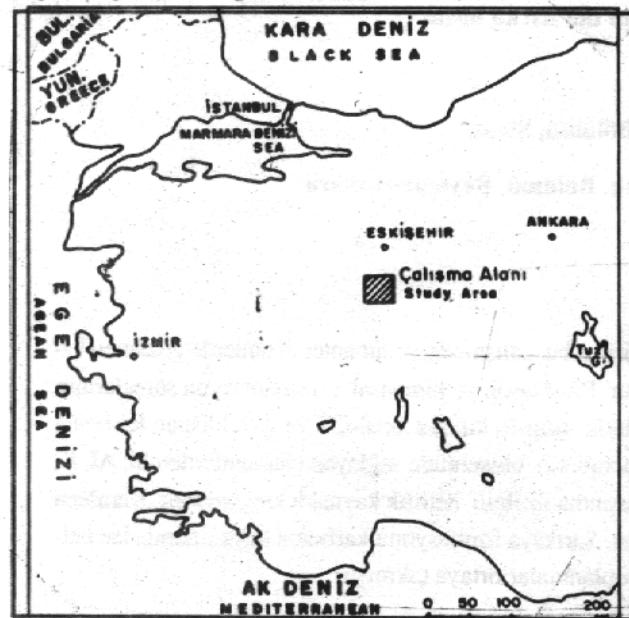
### MATERİYAL VE YÖNTEM

Volkanosedimanter istifi oluşturan kayaçlardaki minerallerin dağılımlarına, oluşumlarına ve diyajenetik evrimlerine açıklık getirmek amacıyla optik mikroskopi (OM), X-ışınları Difraksiyonu tüm kayaç (XRD-TK) ve Taramalı Elektron Mikroskop (SEM) incelemeleri yapılmıştır.

OM incelemeleri, H.Ü. Jeoloji Mühendisliği Bölümünde hazırlanan kayaç (yayın olarak piroklastik, karbonat, silis ve volkanik kayaçlar) ve mineral (borat) incekesitleri üzerinde Leitz marka binoküler, alttan aydınlatmalı mikroskopla yapılmıştır. Bu yöntem ile kayaçların dokuları ile onları oluşturan mineraller ve olası değişimler tanımlanmış ve böylece adlandırılabilirleri mümkün olmuştur.

X-ışınları tüm kayaç çözümlemeleri, H.Ü. Jeoloji Mü-

hendisliği Bölümü'nde Philips PW 1140 model difrakto-metrede gerçekleştirilmiştir. İnceleme alanındaki kayaçların büyük çoğunluğunun submikroskobik olması nedeniyle oldukça sık kullanılan bu yöntem ile kayaçlardaki bileşenler tanımlanmış (A.S.T.M., 1972) ve yarı nicek yüzdeleri hesaplanmıştır (Gündoğdu ve Yılmaz, 1983).



Şekil 1 : Çalışma alanının bulduru haritası  
Figure 1 : The location map of study area

SEM incelemeleri, Strasbourg Jeoloji Enstitüsü'nde (Fransa) JEOL JSM-840 tip, 40.000 büyütülmeli mikroskopta gerçekleştirilmiştir. Bu yöntem ile XRD'de belirlenen submikroskobik minerallerin şekil, biçim ve boyut gibi morfolojik özellikleri, olasılık mineral dönüşümleri ve diğer bileşenlerle olan dokusal ilişkiler belirlenmiştir.

SISTEM / SYS	SERİ / SERIES	FORM. / FM	OKAL. / A. TH	Kayaç Türü Lithology	ACIKLAMALAR EXPLANATIONS
NEOJEN / NEOGENE	A MIYOSEN / L. MIYOCENE	D-U MİY / MİY-MİD	PL/PL	Alüvyon / Alluvium	
MIYOSEN ÖNCESİ / PRE-	A MIYOSEN / L. MIYOCENE	D-U MİY / MİY-MİD	PL/PL	Resedimente tüp-tufit Reworked tuff-tuffit	
		?	100	Olivin-bazalt / Olivine-basalt	
			?	Borat merkezli kilitası/marn-Dolomit-Dolomitik kireçtaşı-Cörtlü kireçtaşı	
			230	Claystone/marl with borate lens-e-dolomite-dolomitic limestone-Cherty limestone	
	KARAOREN	SARIKAYA	200	Karbonat-kırıntılı kayaç arakatlı tüp / Tuff intercalated with carbonate-detrital rocks	
	IDRİSYİ KARAOREN		?	Andezit-Riyolit-Vulkanik bres Andesite-Rhyolite-Volcanic breccia	
			?	Kireçtaşı / Limestone Sist / Schist	

Şekil 2 : Kırka baseninin basitleştirilmiş dikme kesiti (Ölçeksız)

Figure 2 : Simplified stratigraphic column of the Kırka basin (Not to scale)

## SEDİMANTER BİRİMLERİN MİNERALOJİK-PETROGRAFİK ÖZELLİKLERİ

### Karaören Formasyonu

Piroklastik ve karbonat kayaçlarında gerçekleştirilen OM (94 adet) ve XRD-TK (306 adet) incelemeleri birimin değişik silikat (klinoptilotit, filipsit, kuvars, opal-CT, K-feldispat, plajiyoklaz, biyotit, hornblend, kil mineralleri, muskovit), karbonat (kalsit, dolomit, eser miktarda aragonit), jips ve demir oksit minerallerinin yanı sıra kayaç parçacıkları içerdikleri belirlenmiştir.

Karasal ve gölgesel fasyesteki piroklastik kayaçlar, vitroklastik-porfirik dokuya sahiptir. Plajiyoklaz (anortit içeriği=%35-45), kuvars, sanidin, biyotit ve nadiren de hornblend pirojenik mineralleri temsil eden fenokristallerdir. Kayacın hamurunu ise toz boyutundaki (1/16 mm'den küçük; Schmid, 1981) volkanik cam kıymıkları ile pomzalar ve feldispat mikrolitleri oluşturmaktadır. Gerek karasal, gerekse basenin güney ve orta kesimindeki piroklastik kayaçlar, Schmid (1981)'in sınıflamasına göre camsı kül tüf, kuzeydeki kristal kül tüf olarak adlandırılmıştır. Tüfler, tanımlanabilen bileşenlerine ve modal çözümlerine göre (Kuvars=%25-40, Alkali Feldispat=%20-35, Plajiyoklaz=%30-60) riyolit-riyodasit bileşimindedir (Streckeisen, 1967, 1979).

Ayrıca, gölgesel fasyesteki camsı kül tüflerinde, ince uzun lifsi dokudaki, yer yer bükmüş gözenekli pomza kıymıkları bol miktarda bulunmaktadır. Kahverengi-siyah bağlayıcı malzemede ve pomzalarda killeşme-opaklaşma, otienik kuvars-kalsedon oluşumları gelişmiştir. Pirojenik kuvarslarda çözünme-yeniden kristalleşme ve/veya kenarlarından itibaren mikrokristalin büyümeye ve yiğisimlar içinde silis neoformasyonlarına da sık sık rastlanmaktadır.

Basenin kenar kesimlerindeki volkanosedimanter kayaçlarda; andezit, riyolit ve kireçtaşı parçacıkları ile muskovit, klorit, epidot ve zirkon gibi detritik mineraller bulunmaktadır. Epiklastik-piroklastik malzeme oranına ve tane boyuna göre bu piroklastik-epiklastik karışım kayaçlarına (tüflü) kumtaşı adı verilmiştir (Schmid, 1981). % 25'den az piroklastik malzeme içeren epiklastik sedimanter kayaçlarda kuvars-feldispat-kayaç parçacıkları yüzdesine göre grovak veya kayaç parçacıkları kumtaşı olarak adlandırılmıştır (Andel, 1958; Travis, 1970). Tüp ve tüflerde gerek bağlayıcı malzemede, gerekse gözeneklerde çökmiş sparitik karbonat çimentoğun oranı önemli miktara ulaşmakta, yer yer de volkanogenik ürünlerin toplam yüzdesini

geçmektedir. Bu tür kayaçlar da karbonatlı camsı veya kristal kül tüf biçiminde tanımlanmıştır.

Piroklastik kayaçlarda, ince ve iri taneli volkanik mazemenin ve/veya karbonatlı seviyelerin ardalanmasından meydana gelen mikrolaminasyon ile ince ve iri kristallerin basit ve çoklu tekrarlanması ile ortaya çıkan mikroderecelenme/mikro dikey tane boylanması, sulu ortamda gelişmiş tüfleri, karasal eşdeğerlerinden ayırt etmede önemli bir ölübü oluşturmaktadır.

Tüflerle arakatkılı yer yer de ardalanmalı karbonat kayaçlarının OM incelemeleri, kalsit'in egemen olduğu kayaçların sparitük (sparit, mikrosparit, dolomitli sparit, çörtülü sparit, oosparit), dolomitin ana mineral olduğu kayaçlarda ise mikritik (dolomikrit) bünyeli (Folk, 1968) olduğunu göstermiştir. Karbonat kayaçlarında pirojenik ve detritik mineraller (kuvars, plajiyoklaz, sanidin, biyotit, muskovit, opak mineral) ile bağlayıcı malzemede mikrokristalin kuvars/kalsedon oluşumları gözlenmektedir.

Karbonat kayaçlarda allokemi temsil eden oolitler yer yer pizolit büyülüğüne (çapı 2 mm'den büyük, Blatt, 1982) ulaşmaktadır. Yuvarlak-küresel oolit-pizolitler, konsantrik iç yapıya sahip olup merkezinde mineral, fosil veya herhangi bir bileşen bulunmamaktadır. Bu gözlemler ile Pray ve Estaban'ın (1977) çalışmaları, bu tür oluşumların hipersalin (tuzlu) ortamlarda inorganik olarak oluşabileceğini göstermektedir.

Tüflerde belirlenen minerallerden killer (simektit), volkanik cam kıymıkları üzerinde gelişmiş, ince levhamsı partiküller halindedir (Levhा 1,A). Tüflerdeki klinoptilolit kristalleri, 5-20 mikron uzunlığında 1-2 mikron kalınlığında olup tipik monoklinik simetriye sahiptir (Levhा 1,B). Klihoptilolitler ile birlikte bulunan 1 mikronondan küçük opal-CT sperülitleri, 10-15 mikron çapında yumaklar oluşturmaktadır (Levhा 1,C). SEM mikrofotoğraflarında görüldüğü gibi, klinoptilolit cam üzerinde gelişirken, opal-CT gözeneklerde büyümüştür. Bu veriler, ilk oluşan mineralerin klinoptilolit olduğunu, opal-CT'nin ise daha sonra oluştuğunu vurgulamaktadır. Diğer zeolit minerallerinden filipsit, 10-15 mikron uzunlığında, 3-5 mikron kalınlığında olup rozetler oluşturmaktadır (Levhा 1,D). Ayrıca bu mineraller c-eksenine paralel dilimin yüzeyleri boyunca ve bu eksene dik çatlaklar içermektedir. Birçok psöyo-ortorombik filipsitler için tipik olan bu kırılmalar sonucu kristaller daha küçük parçalara ayrılmıştır. İnceleme alanındaki tüflerde gözlenen diğer bir neoformasyon minerali de K-feldispat'tır. Monoklinik simetriye sahip bu mineral 5-15 mik-

ron uzunlığında ve yaklaşık 5 mikron kalınlığındadır (Levhा 2,A). K-feldispat ile birlikte bulunan opal-CT yumaklarının birbirleriyle birleşerek 50 mikrondan daha büyük iri yumaklar oluşturduğu dikkati çekmektedir (Levhा 2,B). Bu iki mineral arasındaki dokusal ilişkiler, opal-CT'nin en son oluşan mineral olduğuna işaret etmektedir. Başka bir örnekte yapılan SEM incelemelerinde ise K-feldispatın volkanik cam üzerinde büyüğü gözlenmiştir (Levhा 2,C). Aynı fotoğrafın ayrıntılı görünümü (Levhा 2,D), K-feldispatların yanındaki simektitlerin bağlayıcı malzemeyi oluşturdugu göstermektedir. Bu gözlemler, simektitin K-feldispattan önce olduğunu ortaya koymaktadır.

Basenin güneydoğusundaki hidrotermal kaolinit yatağından alınan örneklerin SEM incelemelerine göre, bu fasiyesteki kuvars mineralleri, yaklaşık 10 mikron büyülüüğünde olup yüzeylerindeki koordinasyon çizgileri ve poligonel üçlü-nokta dokusu belirgindir (Levhा 3,A). Kayacın gözeneklerinde ise kuvarsla birlikte psöyo-hekzagonal levhalar biçiminde, büyülüğu 1-20 mikron, kalınlığı 1 mikrondan küçük koalinitler bulunmaktadır. Öte yandan, karbonatlı tüflerin boşluklarında ve/veya bağlayıcı malzemesindeki kalsit mineralleri 10 mikrondan büyük olup tipik trigonal simetrisi ile kolayca tanınabilmektedir (Levhा 3,B). Diğer karbonat minerallerinden dolomit karbonat kayaçlarında 1-5 mikron büyülüğünde, yarı özçekilli kristaller halinde gözlenmektedir (Levhा 3,C). XRD-TK çözümleme ile kristalinitelerinin de kötü olduğu belirlenen bu dolomitlerin bütün yüzeylerinin gelişmemiş olması, söz konusu mineralin ideal kimyasal bileşime ulaşmamış olmasından kaynaklanmaktadır. Gerçekte jeokimyasal incelemeler bu mineralin Mg/Ca oranının 1'den oldukça küçük olduğunu göstermiştir (Yalçın, 1988).

### Sarıkaya Formasyonu

Bu litostratigrafik birimin killi-karbonat-silisli-tıflü kayaçlarında yapılan OM (55 adet) ve XRD-TK (355 adet) incelemelerine göre karbonat (kalsit, dolomit, stronsiyonit, aragonit, manyezit), silis (opal-A, opal-CT, kuvars), feldispat (plajiyoklaz, K-feldispat), kil, biyotit, hormblend ve değişik borat minerallerinin (Yalçın ve Baysal, 1992) varlığı saptanmıştır.

Birimin ana litolojisini oluşturan karbonat kayaçlarının adlandırılmasında, bunların dokusal özelliklerinin yanı sıra XRD-TK bileşimleri de göz önünde tutulmuş ve aşağıdaki genellemenin yapılmasına olanak sağlanmıştır. Boratların da yer aldığı killi-karbonatlı zon mikritik (dolomitik mikrit, dolomikrit, çörtülü dolomikrit), bu zonun alt ve üst

kesimlerinde yer alan dolomitik kireçtaşı ve kireçtaşlarının sırasıyla dismikritik (dolomitik dismikrit, çörtlü dolodismikrit) ve sparitik (sparit, mikrosparit, dolomitik mikrosparit, dolomitik sparit, çörtlü sparit, çörtlü mikrosparit) özellikleidir. Diğer bir ifadeyle, karbonat kayaçları alttan üste doğru sparit-dolomitik dismikrit-dolomikrit-dolomitik dismikrit-sparit şeklinde petrografik zonlanma göstermektedir. Belirlenen bu karbonat dağılımının, ortamın kimyasal bileşimi ( $Mg/Ca$  oranı), evaporasyon (borat oluşumu) ve tektonik hareketler (sinsedimanter faylanmalar) tarafından denetlendiği düşünülmektedir (Yalçın, 1988).

Karbonat kayaçlarındaki silis oluşumlarının ana minerallerini kolloyidal jel dokusuna sahip opal-A ve opal-CT ile mikrokristalin kuvars oluşturmaktak olup minerallerde yapısal-dokusal bir geçişin var olduğu gözlenmiştir. Killi-karbonatlı kayaçlarla arakatkılı camsı kül tüfler riyodasit bileşiminde olup plajiyoklaz, kuvars, sanidin, biyotit ve hornblend içermektedir.

Karbonat kayaçlarının esas minerallerinden olan kalsit, özkekili romboedrik kristal topluluklarından oluşmaktadır (Levha 3,D). Oldukça düzgün yüzeylere sahip kalsit minerallerinin büyüklükleri 2-10 mikron arasında değişmektedir. Karbonat minerallerinden Mg içeriği ile kristal morfolojileri arasındaki ilişkileri inceleyen Folk (1974), yüksek Mg-kalsitlerin lıfsı, düşük Mg-kalsitlerin çok yüzeysi biçimde geliştiğini, bunlardan lıfsı kalsitlerin yavaş, özkekili olanların ise hızlı olarak büyütüklerini belirtmektedir. İnceleme alanındaki kalsitlerin düşük Mg içerikleri (Yalçın, 1988), yukarıdaki araştırcının görüşlerini doğrulamaktadır.

Diğer karbonat minerallerinden dolomit, kalsite göre daha küçük (1-5 mikron) olup özkekili, romboedrik krisller olarak bulunmaktadır (Levha 4,A). Bu tür ince romboedrik dolomitlerin oldukça sulu çözeltilerden yavaş kristalizasyon sonucunda oluştuğu belirtilmektedir (Folk ve Land, 1975). Dolomitlerdeki iri kristal değişimlerinin ise yüzeye yakın koşullarda, tuzlu ortamlarda gelişikleri Folk ve Seidlecka (1974) ile Weaver (1975) tarafından ifade edilmiştir.

Boratlı seviyede killi-karbonatlı kayaçlarla arakatkılı olarak bulunan tüflerin bağlayıcı malzemesinde K-feldispat ve simektitlerin birlikte bulundukları gözlenmektedir. Kayaçtaki pomzaların ilksel lıfsı dokusu korunmuş olup liflerin kenarları birbirine paraleldir (Levha 4,B). Aynı kayacın detay görünümü (Levha 4,C), özellikle 5-10 mikron büyükliğindeki K-feldispatların tanınmasını kolaylaştırmaktadır.

dir.

Karbonatlarla ardalanmalı çörtlü seviyelerdeki kuvars, özkekili ve iyi gelişmiş yüzeylere sahip olup tane büyülüklükleri 20 mikronu geçmektedir. Kuvarsın kristal yüzeylerindeki keskin kırılmalar ve koordinasyon çizgiler ile poligonal üçlü nokta dokusu (Le Roux ve Lackson, 1978) belirgin ve tipiktir (Levha 4,D).

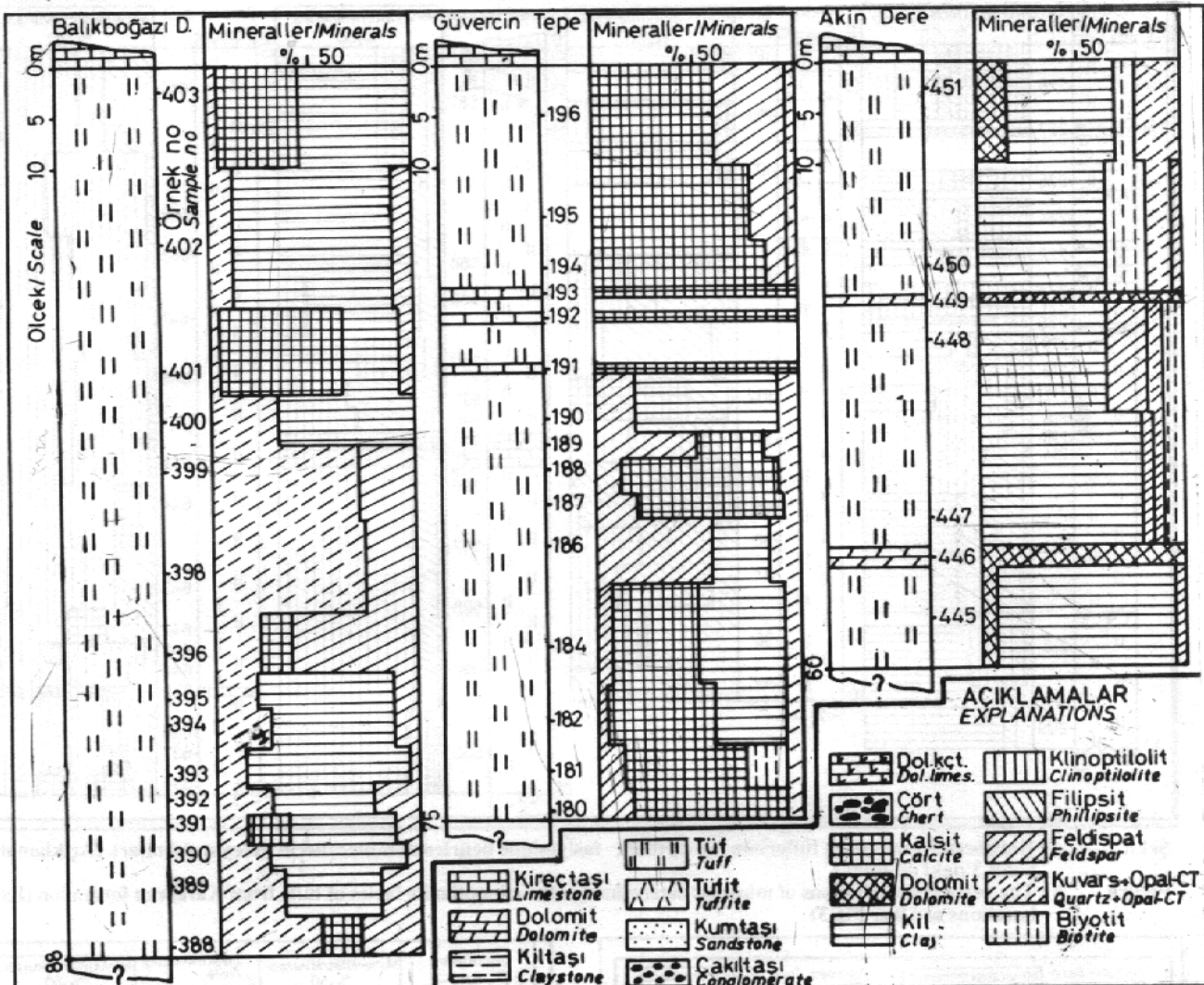
### Fetiye Formasyonu

Dokusal özellikleri ve türedikleri kayaç grupları gözönüne alınarak resedimente camsı veya kristal kül tüf-tüfit olarak adlandırılan birimin pirolastik kayaçlarında OM (11 adet) ve XRD-TK (20 adet) çözümlemelerine göre, volkanogenik (kuvars, plajiyoklaz, sanidin, biyotit, hornblend) detritik (muskovit, klorit) ve neoform mineraler (kil, opal-CT, klinoptilolit) ile kayaç parçacıkları (andezit, riolit, bazalt, sist, gnays, kireçtaşı, çört) önemli miktarda bulunmaktadır. Kayacın bağlayıcı malzemesini karbonat çimento ile cam kıymıkları ve pomzalar oluşturmaktadır.

### NEOFORMASYON MİNERALLERİNİN DAĞILIMI

#### Karaören Formasyonu

Birimin dikey yöndeki değişimlerini belirlemek amacıyla 10 ölçülen kesitte ve 1 sondaja ait dikme kesitte ana minerallerin dağılımları incelenmiştir. Basenin kenar kesimlerini temsil eden volkanik cam-kil zonunda kalsit, kil mineraler, opal A/CT, kuvars en bol bulunan mineralerdir (Şekil 3). Karbonatlı tüf seviyelerinde karbonat/piroblast oranına göre pirojenik ve neoform mineralerin miktarı değişmektedir. Basenin merkezi kesimlerine doğru gelişen klinoptilolit zonunda (Şekil 4), kil mineralerinin zeolitleşmenin gelişmediği tüflerde bol olarak bulunmaktadır. Klinoptilolit ile kil mineralerleri arasında bolluk bakımından gözlenen bu negatif ilişkiye birçok araştırıcı (Sheppard ve Gude, 1968; Papke, 1972; Surdam ve Parker, 1972; Boles ve Surdam, 1979; Gündoğdu, 1982, Yalçın ve Gündoğdu, 1985) da işaret etmektedir. Kuvars, opal-CT ve feldispatın miktarı havzanın merkezi ve kuzey kesiminde, biyotit yüzdesi ise bölgenin kuzeybatısında nisbeten artmaktadır. Bir Na-zeolit minerali olan filipsitin bulunduğu zonda, tüflerde kil ve feldispat, karbonat kayaçlarında dolomit önemli olmaktadır (Şekil 5). Basenin kuzeyini temsil eden K-feldispat fasiyinde ise, kuvars, opal-CT, kil ve dolomit egemen mineralerleri oluşturmaktadır (Şekil 6).



**Şekil 3 : Karaören formasyonu tüflerinin volkanik cam-kıl fasiyesinde belirlenen minerallerin dikey dağılımları**

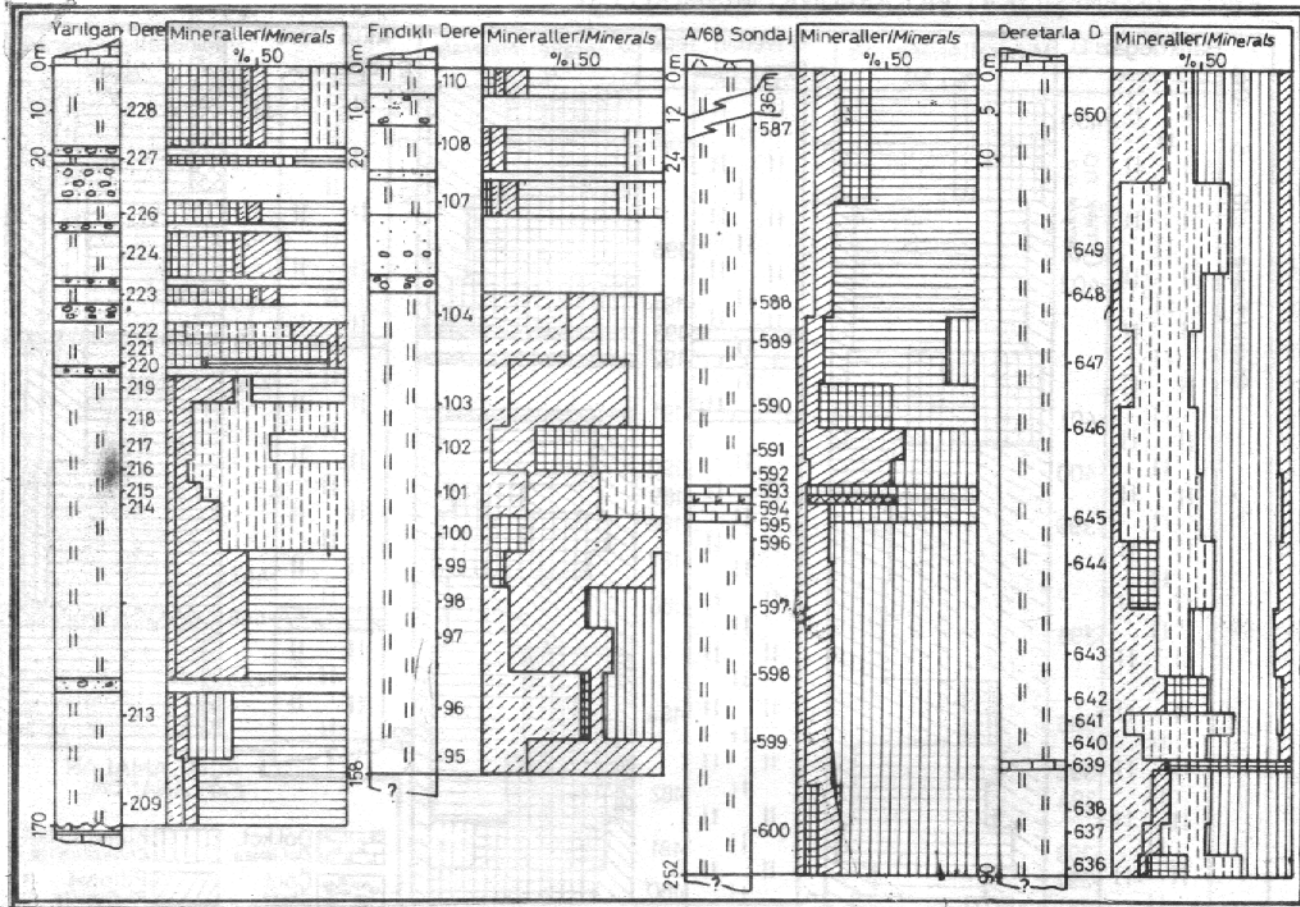
**Figure 3 : The vertical distributions of minerals determined in the volcanic glass-clay facies of tuffs from Karaören formation**

Tüflerde gelişen bu neoformasyon mineralleri kabaca basenin güneyinden kuzeyine doğru kil mineraleri-klinop tilolit/höylandit-filipsit-K-feldispat biçiminde yanal ve alansal bir dağılım göstermektedir (Şekil 7). Bu zonlanma, kenar kesimlerinden derin fasiyelere doğru pH ve tuzluluk ve/veya alkalinitenin artması ve buna bağlı olarak Si/Al oranının azalmasından ileri gelmekte olup bu dağılımı deneleyen koşullar ve zeolitleşme olayı birçok araştıracı tarafından tartışılmıştır (Hay, 1966; Mariner ve Surdam, 1970; Surdam ve Parker, 1972; Sheppard ve Gude, 1973; Surdam ve Eugster, 1976; Surdam, 1977; Ataman, 1977; Surdam ve Sheppard, 1978; Ataman ve Gündoğdu, 1982; Gündoğdu, 1982; Yalçın ve Gündoğdu, 1987). Diyajenetik fasiyelerin konsantrik olmayan bu dağılımı, basendeki ana beslenme yönünün her dönemde güneyden, buna karşın doğu ve batıdaki beslenmelerin ise tali öneme sahip olduğuna işaret et-

mektedir. Fasiyes sınırlarının temel ve taban kayaçlarının dokunaklarını keser durumda olması ve sedimentolojik gözlemler (Yalçın, 1989/1990), bugörüşü desteklemektedir.

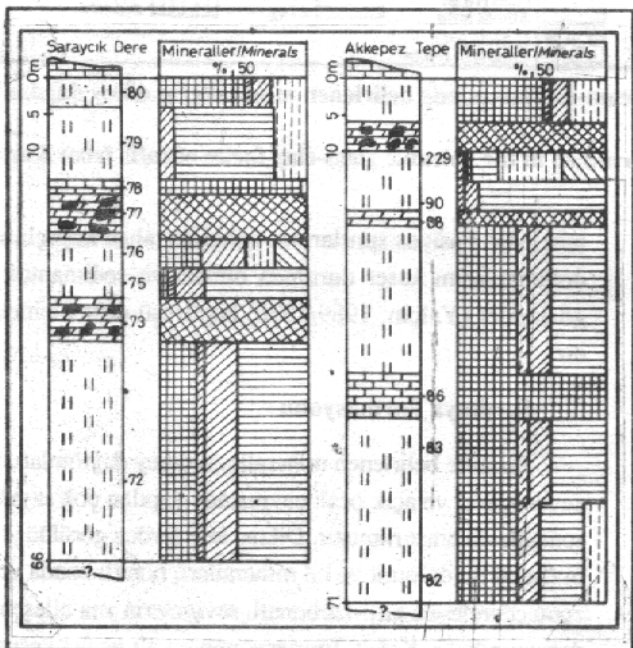
#### Sarıkaya Formasyonu

Birimde belirlenen minerallerin dikey dağılımları, yüzey kesitleri ve açık ocak çevresinde yapılan çok sayıdaki sondajlarda araştırılmıştır. Dikme kesitlerden görüldüğü gibi (Şekil 8), dolomit ve kil mineraleri, boratlı zonda ve bu zonu çevreleyen killi-karbonatlı seviyelerin ana bileşenleri durumundadır. Kalsit, formasyonun en alt ve üst kesimlerinde baskın mineraldir. Kuvars ve opal-CT, çortlü; feldispat ve biyotit tüflü düzeylere bağımlılık göstermeye ve boratlı zonda düşük miktarlarda izlenmektedir. Belirlenen minerallerden karbonatlar, gerek düşey, gerekse havzannı



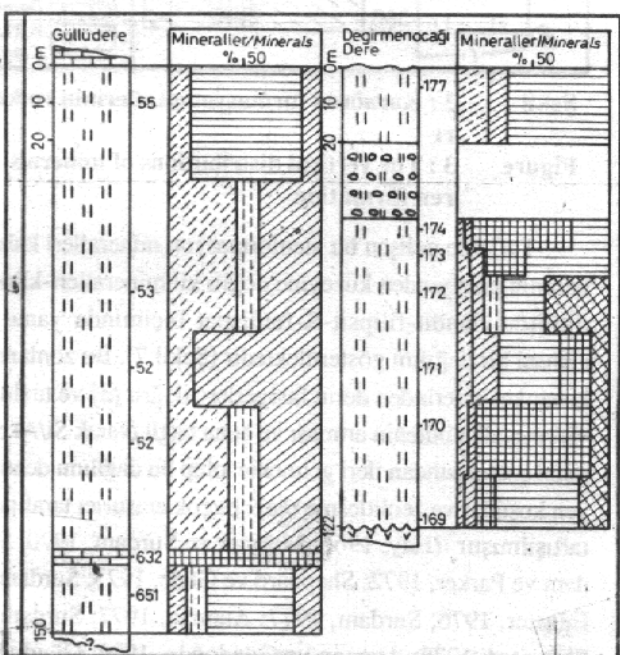
**Şekil 4 :** Karaören formasyonu tüplerinin klinoptilolit fasıyesinde belirlenen minerallerin dikey dağılımları. (Açıklamalar Şekil 3'deki gibidir)

**Figure 4 :** The vertical distributions of minerals determined in the clinoptilolite facies of tuffs from Karaören formation (Explanations are like Fig 3)



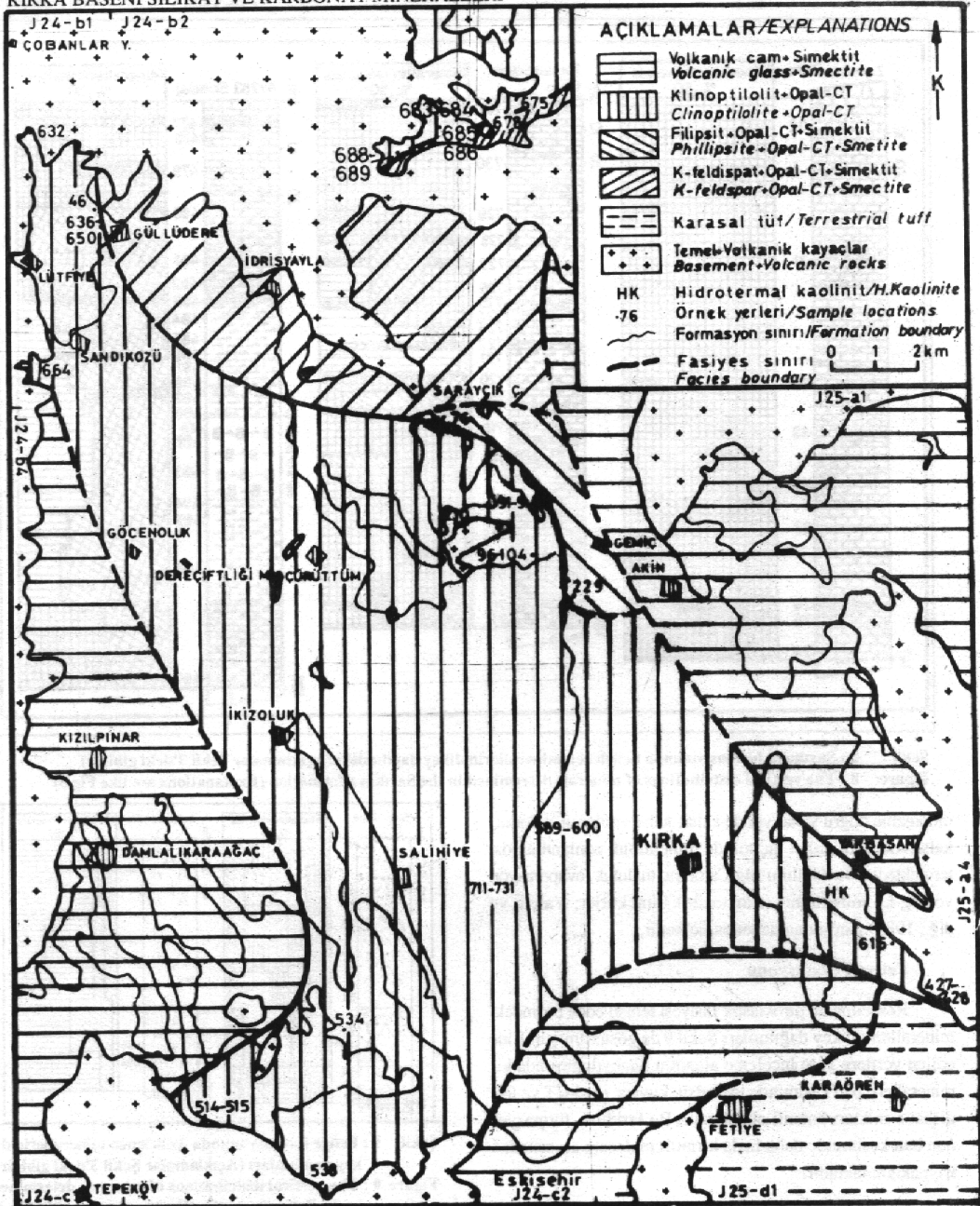
**Şekil 5 :** Karaören formasyonu tüplerinin filipsit fasıyesinde belirlenen minerallerin dikey dağılımları (Açıklamalar Şekil 3'deki gibidir)

**Figure 5 :** The vertical distributions of minerals determined in the phillipsite facies of tuffs from Karaören formation (Explanations are like Fig 3)

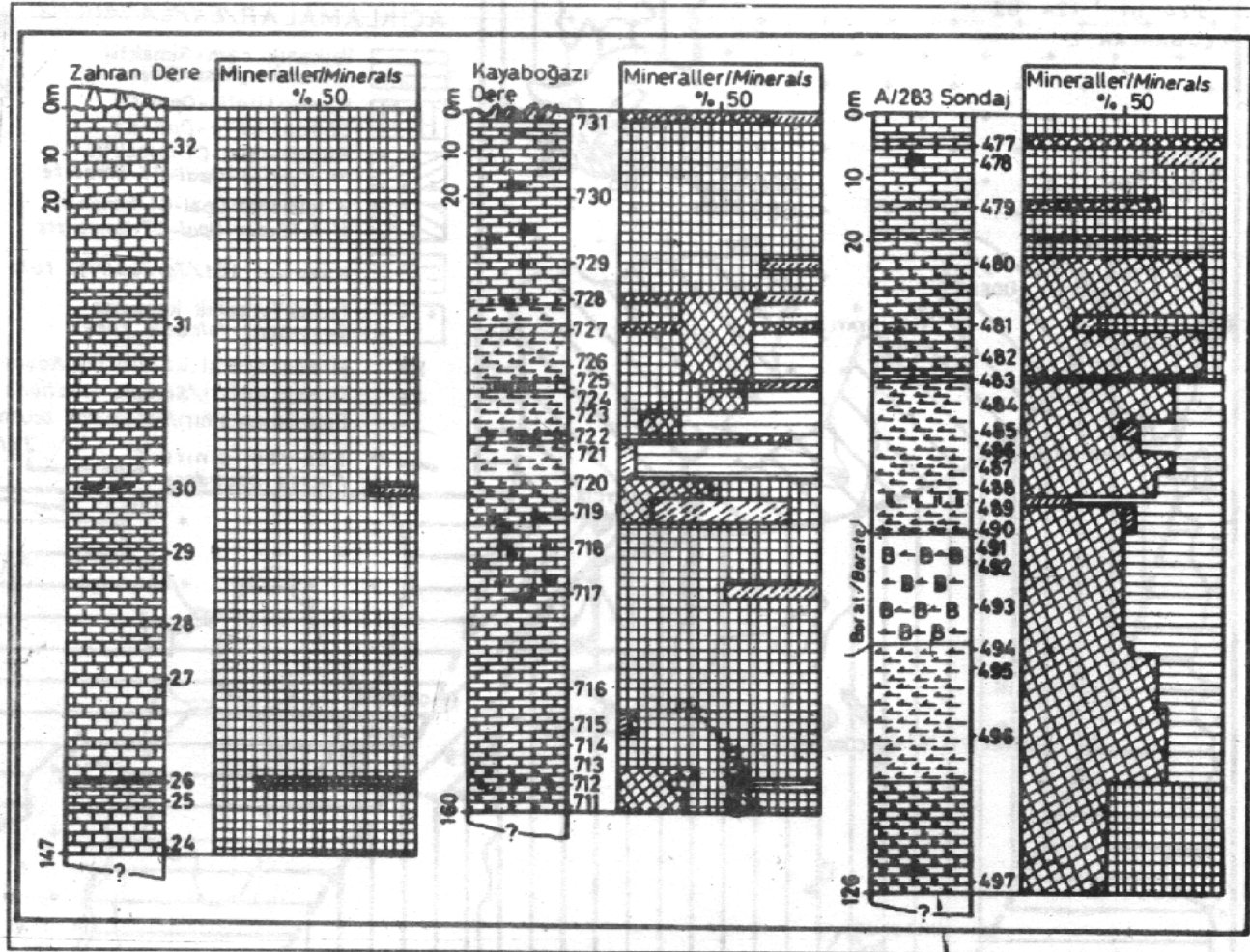


**Şekil 6 :** Karaören formasyonu tüplerinin K-feldspat fasıyesinde belirlenen minerallerin dikey dağılımları (Açıklamalar Şekil 3'deki gibidir)

**Figure 6 :** The vertical distributions of minerals determined in the K-feldspar facies of tuffs from Karaören formation (Explanations are like Fig 3)



Şekil 7 : Karaören formasyonu tüflerinde gelişen diyajenetik silikat minerallerinin bölgesel dağılımları  
Figure 7 : The regional distributions of diagenetic silicate minerals developed in the tuffs of Karaören forma-  
tion



**Şekil 8 : Sarıkaya formasyonunda belirlenen minerallerin dikey dağılımları (Açıklamalar Şekil 3'deki gibidir)**  
**Figure 8 : The vertical distributions of minerals determined in the Sarıkaya formation (Explanations are like Fig 3)**

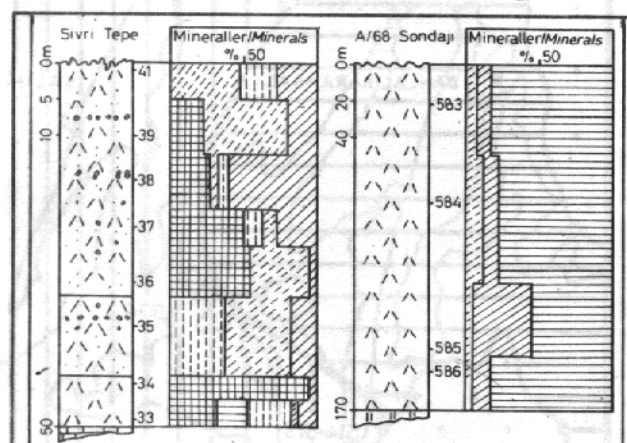
merkezine doğru yanal yönde kalsit-kalsit+dolomit-dolomit+kalsit+dolomit-kalsit biçiminde mineralojik zonlanma göstermektedir. Bu dağılımı Mg/Ca oranı, tuzluluk, evaporasyon ve Mg-kil mineralleri (trioctaedrik simektitler; Yalçın ve diğ., 1988) tarafından denetlenmektedir.

#### Fetiye Formasyonu

Resedimente piroklastik fasiyesi temsil eden birimdeki minerallerin dikey dağılımları Şekil 9'da gösterilmiştir. Elde edilen verilere göre inceleme alanının güneydoğusunda kil mineralleri, batı kesiminde ise kalsit, kuvars, opal-CT ve feldispatın miktarı önemli olmaktadır. Bu farklılık, formasyonun batı kesiminde daha fazla kıritılı malzeme almasından kaynaklanmaktadır.

#### TARTIŞMA VE SONUÇLAR

Mineralojik bulguların ışığında Kırka basenindeki neformasyon minerallerinin oluşumları aşağıda tartışılmıştır. Karaören formasyonunda, volkanojenik ve daha az etkin olan



**Şekil 9 : Fetiye formasyonunda belirlenen minerallerin dikey dağılımları (Açıklamalar Şekil 3'deki gibidir)**  
**Figure 9 : The vertical distributions of minerals determined in the Fetiye formation(Explanations are like Fig 3)**

detrítik ürünlerin katılımı ile birimdeki minerallerin oluşumu gerçekleşmiştir. Piroklastik malzemenin diyajenezindeki ilk aşama bu malzemenin hidrolizi ve kil minerallerine (diokta-

edrik simektit) dönüşümüdür. Volkanik camın ilerleyen çözünmesi ile klinoptilolit/höylandit, Na'ca zengin ortamlarda filipsit, K miktarının arttığı kesimlerde K-feldispat oluşmuştur. Bu minerallerin neoformasyonundan artan silis ise opal-A/CT ve kuvarsın oluşumunda kullanılmıştır. Kirka basenindeki piroklastik kayaçlarda belirlenen volkanik camın % oksit cinsinde ortalama kimyasal bileşimine bakıldığındır ( $\text{SiO}_2=65$ ,  $\text{Al}_2\text{O}_3=15$ ,  $\text{MgO}=3$ ,  $\text{Fe}_2\text{O}_3=3$ ,  $\text{TiO}_2=1$ ,  $\text{CaO}=3$ ,  $\text{Na}_2\text{O}=2$ ,  $\text{K}_2\text{O}=7$ ; Yalçın, 1988), belirlenen minerallerin bu kimyaya sahip bir çözeltiden itibaren oluşabileceği görüldür.

Sarıkaya formasyonundaki minerallerin oluşumu için kimyasal girdiler, Karaören formasyonuna göre karmaşıklıklar göstermekte olup volkanojenik, hidrotermal ve detritik kökenli olmak üzere üç tür kaynakla ilgilidir. Volkanik camın hidrolizinden aşağı çıkan katyonlar, Karaören formasyonunda olduğu gibi silikat minerallerini oluşturmuştur. Ca çevredeki karbonat kayaçlarından, Mg ultramafik kayaçlardan taşınarak göl suyuna karışmıştır. Bu bölgedeki volkanizmanın hidrotermal evresine ait çözeltiler ise B, Na, Sr ve Li'un kaynağını oluşturmaktadır. Gerek yüzeysel, gerekse hidrotermal kökenli bu katyonlardan Ca ve Mg, kalsit, dolomit ve yer yer de manyezitin, Sr stronsonitonitin oluşumunu sağlamıştır. Havzaya dışardan taşınan Ca ve Mg karbonatlarının yanısıra, B ile birlikte boratların kimyasal çökelmesine neden olmuştur. Diğer katyonlardan Li ise simektitlerin kimyasına katkıda bulunmuştur.

Kirka baseninde, piroklastik sedimentasyon sırasında diyajenik silikat mineralleri oluşumlarına göre simektit-zeolit-K-feldispat-opal-A/CT-kuvars biçiminde bir evrim göstermişlerdir. Kimyasal sedimentasyon sırasında ise kil ve/veya karbonat-silis mineralleri biçiminde bir sıra izlemişlerdir.

## TEŞEKKÜR

Bu çalışma, Hacettepe Üniversitesi Jeoloji Mühendisliği Bölümü ve Araştırma Fonu Başkanlığı ile Fransa Hükümetinin maddi, Etibank'ın lojistik desteği ile gerçekleştirilmiş olup adı geçen kuruluşlara, çalışmanın çeşitli aşamalarındaki katkılarından dolayı Prof.Dr. Orhan Baysal'a (YÖK) ve Doç.Dr. Hasan Bayhan'a (H.Ü.), elektron mikroskop incelemeleri sırasında emekleri için Philippe Karcher'e (CNRS, Strasbourg) sonsuz teşekkür borçluyuz.

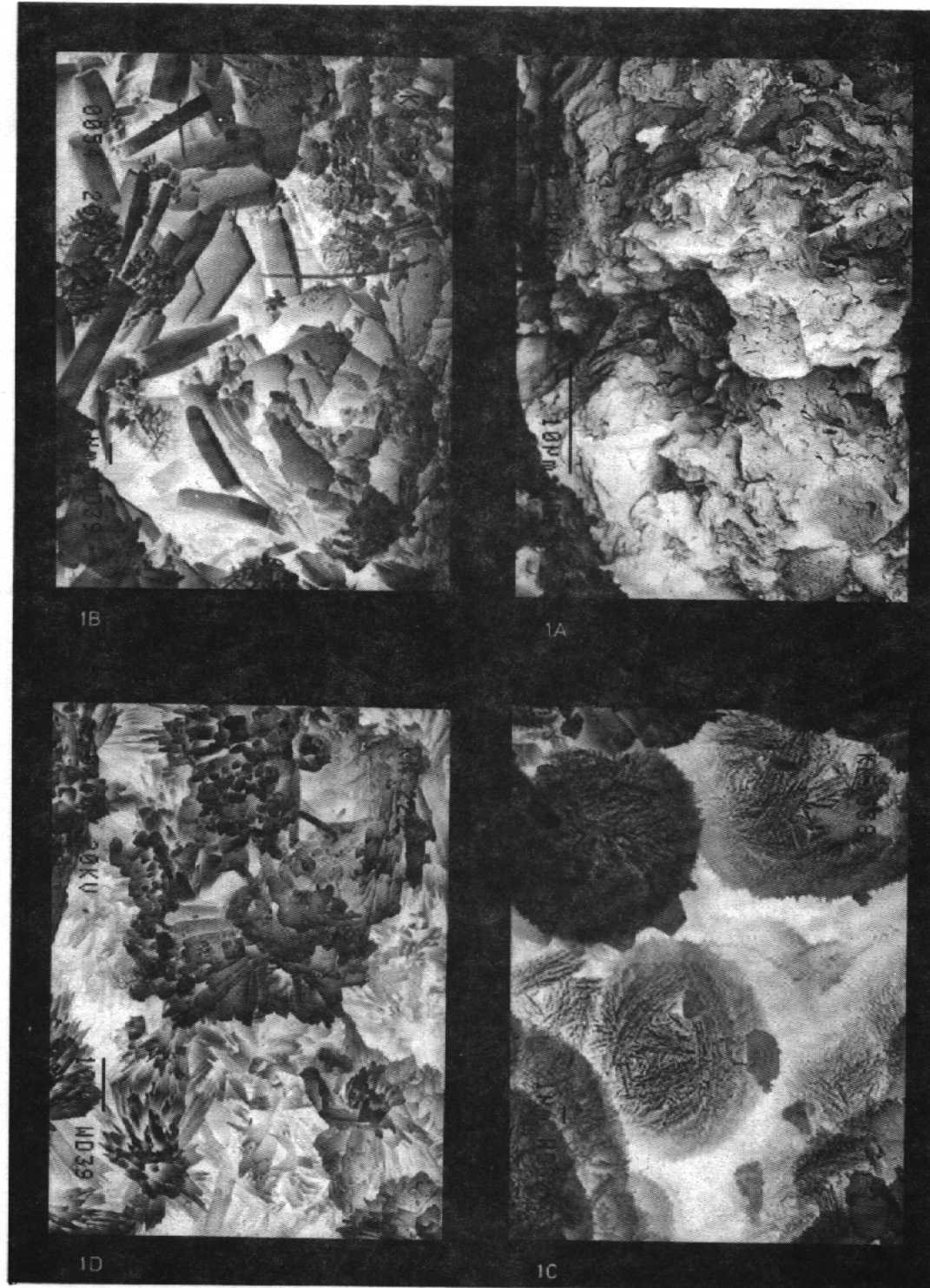
## KAYNAKLAR

- Andel, Van Tj, H., 1958, Origin and classification of Cretaceous, Paleocene and Eocene sandstones of Western Venezuela, A.A.P.G. Bull., 42, 734-763.
- A.S.T.M., 1972, Inorganic index to the powder diffraction file: Joint Committee on Powder Diffraction Standards, Pennsylvania, 1432 p.
- Ataman, G., 1977, Batı Anadolu zeolit oluşumları. H.Ü. Yerbilimleri, 3, 85-95.
- Ataman, G., Baysal, O., 1978, Clay mineralogy of Turkish borate deposits. Chem. Geol., 22, 233-247.
- Ataman, G., Gündoğdu, M.N., 1982, Analcimic zones in the Tertiary of Anatolia and their geological positions. Sediment. Geol. 31, 89-99.
- Baysal, O., 1972, Sarıkaya (Kirka) borat yataklarının mineralojik ve Jenetik İncelenmesi. H.Ü. Doç. Tezi, Ankara, 157 s.
- Blatt, H., 1982, Sedimentary Petrology. W.H. Freeman and Co., 564 p.
- Boles, J.R., Surdam, R.C., 1979, Diagenesis of volcanogenic sediments in a Tertiary saline lake: Wagon Bed Formation, Wyoming. Amer. J. Sci., 279, 832-853.
- Folk, R.L., 1968, Petrology of Sedimentary Rocks. Hemphill's, Austin-Texas, 170 p.
- Folk, R.L., 1974, The natural history of crystalline calcium carbonate: Effect of magnesium content and salinity. J. Sediment. Petrol., 44, 40-53.
- Folk, R.L., Land, L.S., 1975, Mg/Ca ratio and salinity: Two controls over crystallization of dolomite, A.A.P.G. Bull., 53, 60-68.
- Folk, R.L., Siedlecka, A., 1974, The schizophaline environment. Sediment. Geol., 11, 1-15.
- Gök, S., Çakır, A., Dündar, A., 1980, Kirka civarında boratlı Neojen'in stratigrafisi, petrografisi ve teknotiği. Türkiye Jeol. Kong.Bült., 2, 53-62.
- Gündoğdu, M.N., 1982, Neojen yaşı Bigadiç sedimanter baseninin jeolojik, mineralojik ve jeokimyasal incelenmesi. Doktora tezi, H.Ü. Fen Bil. Enst., Beytepe, Ankara, 386 s. (Yayınlanmamış).
- Gündoğdu, M.N., Yılmaz, O., 1983, Kil mineralojisi yöntemleri. I. Ulusal Kil Sempozyumu Bildirileri, Ç.Ü., Adana, 319-330.
- Hay, R.L., 1966, Zeolites and zeolitic reactions in sedimentary rocks. Geol. Soc. Amer. Spec. Paper, 85, 130 p.
- İnan, K., Dunham, A.C., Esson, J., 1973, The mineralogy

- geochemistry and origin of the Kırka borate deposit, Eskişehir province, Turkey. Inst. Min. Met., 82, 114-123.
- Le Roux, J., Jackson, M.L., 1978, Scanning electron microscopy of quartz in Precambrian cherts and dolomites from Southern Africa. *Clays and Clay Min.*, 26, 160-168.
- Mariner, R.H., Surdam, R.C., 1970, Alkalinity and formation of zeolites in saline alkaline lakes. *Science*, 170, 977-980.
- Papke, K.G., 1972, Erionite and other associated zeolites in Nevada. *Nevada Bur. Mines and Geol. Bull.*, 79, 32 p.
- Pray, L.C., Estaban, M., 1977, Upper Guadalupean facies, Permian reef complex, Guadalupe Mountains, West Texas and New Mexico. *S.E.P.M. Publ.*, 77-16, 79-118.
- Schmid, R., 1981, Descriptive nomenclature and classification of pyroclastic deposits and fragments: Recommendations of the IUGS Subcommission on the Systematics of Igneous Rocks. *Geology*, 9, 41-43.
- Sheppard, R.A., Gude, A.J. 3rd., 1968, Distribution and genesis of authigenic silicate minerals in tuffs of Pleistocene Lake Tecope, Inyo Country, California. U.S. Geol. Survey Prof. Paper, 547, 38 p..
- Sheppard, R.A., Gude, A.J. 3rd., 1973, Zeolites and associated authigenic silicate minerals in tuffaceous rocks of the Big Sandy Formation, Mohave Country, Arizona. U.S. Geol. Survey Prof. Paper, 830, 36 p.
- Streckeisen, A., 1967, Classification and nomenclature of igneous rocks. *N.Jb. Mineral. Abh.*, 107, 144-240.
- Streckeisen, A., 1979, Classification of volcanic rocks, lamprophyres, carbonatites and melilitic rocks: Recommendations and suggestions of the IUGS Subcommission on the systematics of ingeous rocks. *Geology*, 7, 331-335.
- Sunder, M., 1980, Sarıkaya (Kırka-Eskişehir) borat yataklarının jeokimyası. *Türkiye Jeol. Kong. Bült.*, 2, 19-34.
- Sunder, M., 1982, Kırka (Eskişehir) çevresinin jeolojisi ve Sarıkaya borat yataklarının oluşumu. *TÜBİTAK VII. Bilim Kong. Tebliğleri*, 105-117.
- Surdam, R.C., Zeolites in closed hydrologic systems. In *Mineralogy and Geology of Natural Zeolites*, F.A. Mumpton (Ed.), Min.Soc.Amer. *Reviews in Mineralogy*, 4, 65-89.
- Surdam, R.C., Eugster, H.P., 1976, Mineral reactions in the sedimentary deposits of the Lake Magadi region, Kenya. *Geol.Soc. Amer. Bull.* 87, 1739-1752.
- Surdam, R.C., Parker, R.B., 1972, Authigenic alumunosilicate minerals in the tuffaceous rocks of Green River Formation, Wyoming. *Geol.Soc.Amer.Bull.*, 83, 689-700.
- Surdam, R.C., Sheppard, R.A., 1978, Zeolites in saline alkaline lake deposits. In *Natural Zeolites, Occurrence, Properties, Use*, L.B.Sand, F.A.Mumpton (Eds.), Pergamon Press, New York, 145-175.
- Travis, R.B., 1970, Nomenclature for sedimentary rocks. *A.A.P.G. Bull.*, 54, 1095-1107.
- Weaver, C.E., 1975, Construction of limpid dolomite. *Geology*, 3, 425-428.
- Yalçın, H., 1988, Kırka (Eskişehir) yoresi volkanosedimanter oluşumlarının mineralojik-petrografik ve jeokimyasal incelenmesi. Doktora Tezi, H.Ü.Fen. Bil. Enst., Beytepe, Ankara, 209 s.
- Yalçın, H., 1989/ 1990, Neojen yaşı Kırka (Eskişehir) volkanosedimanter gölsel baseninin stratigrafik ve tektonik özellikleri. C.Ü. Yerbilimleri, 6-7, 1-2, 165-181.
- Yalçın, H., Baysal, O., 1992, Kırka (Seyitgazi-Eskişehir) borat yataklarının jeolojik konumu, dağılımı ve oluşumu. *MTA Derg.*, 113 (Baskıda).
- Yalçın, H., Gündoğdu, M.N., 1985, Emet gölsel Neojen baseninin kil mineralojisi. II. Ulusal Kil. Semp., H.Ü. Beytepe, Ankara, 24-27 Eylül, Bildiriler (Editörler: M.N.Gündoğdu ve H.Aksoy), s. 155-170.
- Yalçın, H., Gündoğdu, M.N., 1987, Neojen yaşı Emet gölssel volkanosedimanter baseninin mineralojik-petrografik incelenmesi: Neoformasyon minerallerinin oluşumu ve dağılımı. *Yerbilimleri*, 14, 45-61.
- Yalçın, H., Liewing, N., Bayhan, H., Gündoğdu, M.N., 1988, Kırka (Seyitgazi-Eskişehir) yoresi volkanik-volkanosedimanter kayaçların jeokronolojisi ve je-

okimyası. Hacettepe Üniversitesi'nde Yerbilimlerinin 20. Yılı Semp. 24-27 Ekim, H.Ü.Müh.Fak., Beytepe, Ankara, Bildiri Özleri, s.56.

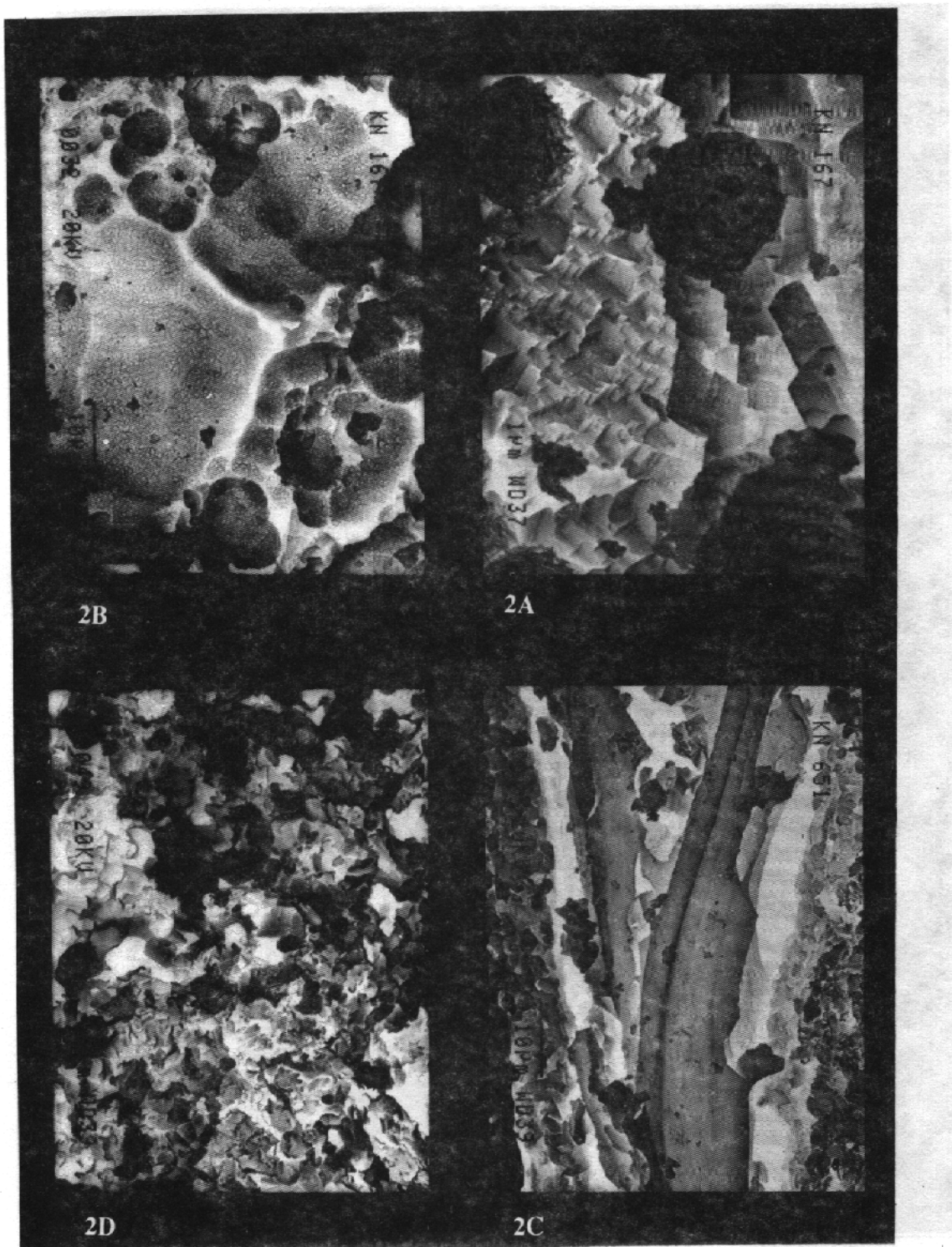
Yalçın, H., Gündoğdu, M.N., Liewig, N., 1989, Relationships between smectite and carbonate minerals in the Kirka volcanosedimentary lacustrine basin, Eskişehir, Turkey. IXth International Clay Conference (AIPEA), Strasbourg, August 28-September 2, Abstracts, p. 437.



Levha 1

Plate 1

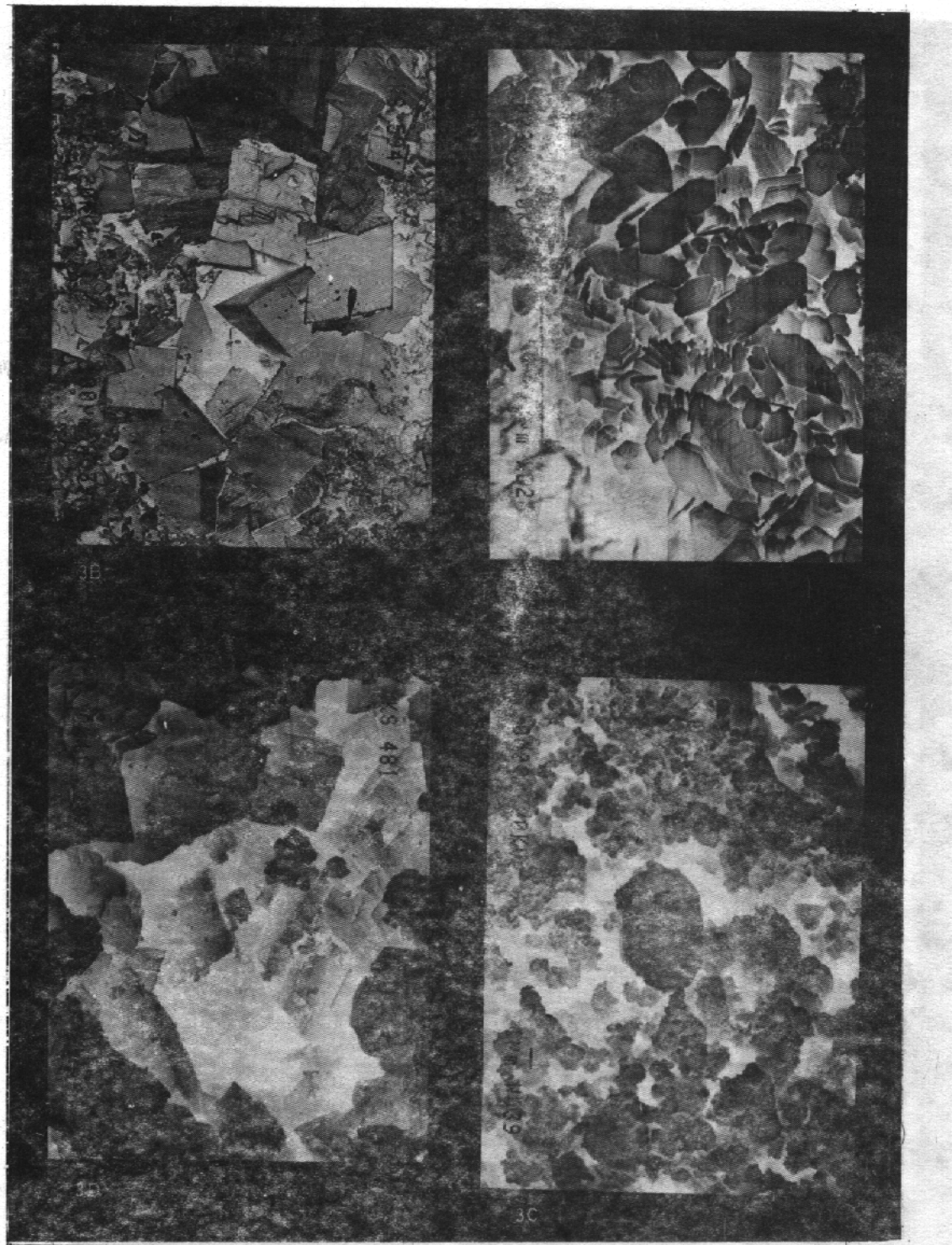
- A. **Volkanik cam ve simektit/Volcanic glass and smectite**
- B. **Monoklinik klinoptilolit ve iğnemsi opal-CT/Monoclinic clinoptilolite and acicular opal-CT**
- C. **Opal-CT yumakları ve levhamsı klinoptilolit/Opal-CT like ball of wool and tabular clinoptilolite**
- D. **Levhamsı-prizmatik filipsit/Tabular-prismatic phillipsite**



Levha 2

Plate 2

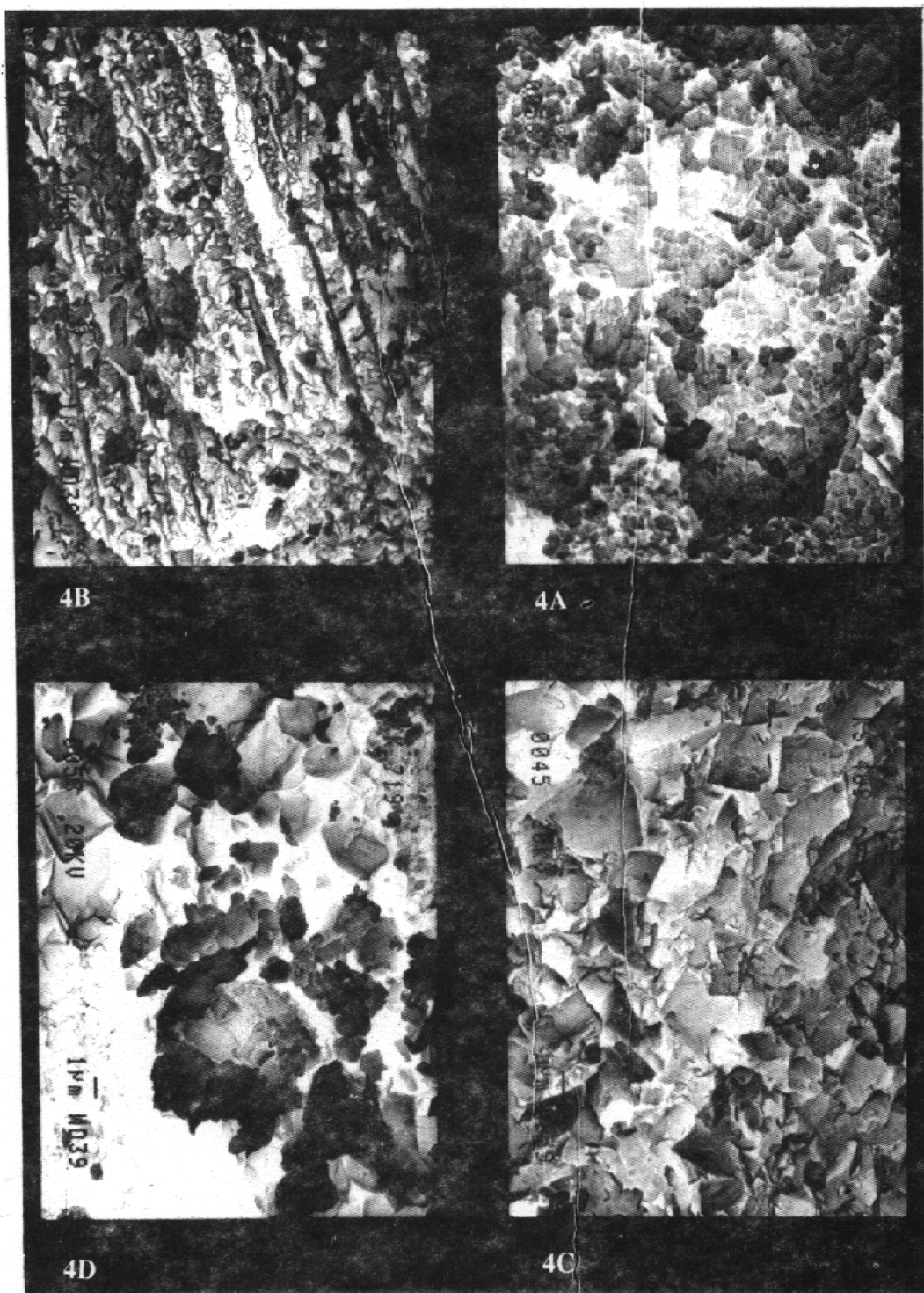
- A. Prizmatik-K-feldispat ve opal-CT/Prismatic K-feldspar and opal-CT
- B. Birleşik opal-CT yumakları ve K-feldispat/United opal-CT like ball of wool and K-feldspar
- C. Volkanik vam üzerinde K-feldispat oluşumu/The formation of K-feldspar on volcanic glass
- D. K-feldispat ve simektit partikülleri/K-feldspar and smectite particles



Levha 3

Plate 3

- A. Hidrotermal kaolinit ve kuvars/Hydrothermal kaolinite and quartz
- B. Tüflerin gözeneklerinde gelişmiş kalsit/ Calcite developed in the pores of tuffs
- C. Yarı özsekilli dolomit/ Subhedral dolomite
- D. Romboedrik kalsit/ Rombohedral calcite



Levha 4

Plate 4

- A. Özgekilli ideal dolomit/ Euhedral ideal dolomite
- B. Lifsi pomza ve simektit/ Fiberous pumice and smectite
- C. K-feldispat ve simektit/ K-feldspar and smectite
- D. Kuvars, dolomit ve kalsit/ Quartz, dolomite and calcite

## LEVENT (AKÇADAĞ-MALATYA) KUZEYBATISININ STRATİGRAFİK ÖZELLİKLERİ

The Stratigraphy Characters of NW Levent (Akçadağ-Malatya)

Orhan ÖZCELİK Cumhuriyet Üniversitesi, Jeoloji Mühendisliği Bölümü, SİVAS

Mehmet ALTUNSOY Cumhuriyet Üniversitesi, Jeoloji Mühendisliği Bölümü, SİVAS

**ÖZ :** Levent (Akçadağ-Malatya) kuzeybatı yöreninin stratigrafik özelliklerini açıklamayı amaçlayan bu çalışmada Mesozoyik ve Senozoyik yaşılı birimler incelenmiştir.

Bunlardan, Mesozoyik yaşılı birimleri Üst Jurasik-Alt Kretase yaşılı Horasançal formasyonu ve Üst Kretase yaşılı İlica ofiyoliti ile Ulupınar formasyonu oluşturur. Senozoyik ise, Eosen yaşılı Tohma formasyonu, Oligo-Miyosen yaşılı Çavuş formasyonu, Pliyosen yaşılı Göktepe formasyonu ve Kuvaterner yaşılı alüvyonlardan oluşmaktadır.

İlica ofiyoliti ile Ulupınar formasyonu, Ulupınar formasyonu ile Tohma formasyonu, Tohma formasyonu ile Çavuş formasyonu, Çavuş formasyonu ile Göktepe formasyonu, Göktepe formasyonu ile alüvyon arasında uyumsuzluk düzlemleri bulunmuş olup, bu formasyonların litolojik değişimleri bir şekil ile gösterilmiştir.

**ABSTRACT :** The aim of this study is to explain the stratigraphic characteristics of the Levent (Akçadağ-Malatya) region. In the present area, the Mesozoic and Cenozoic rock units have been studied.

The Mesozoic is represented by the Horasançal formation of Upper Jurassic-Lower Cretaceous, Upper Cretaceous İlica ophiolites and Ulupınar formation. On the other hand; The Cenozoic rock units outcropped in the area containing the Eocene Tohma, Oligo-Miocene Çavuş, Pliocene Göktepe formations and Quaternary alluvial deposits.

The unconformities have been detected in between İlica ophiolites and Ulupınar formation, the Ulupınar and Tohma, Tohma and Çavuş, Çavuş and Göktepe, Göktepe formation and alluvial deposits. The lithological changes of the formations are indicated in a figure.

### GİRİŞ

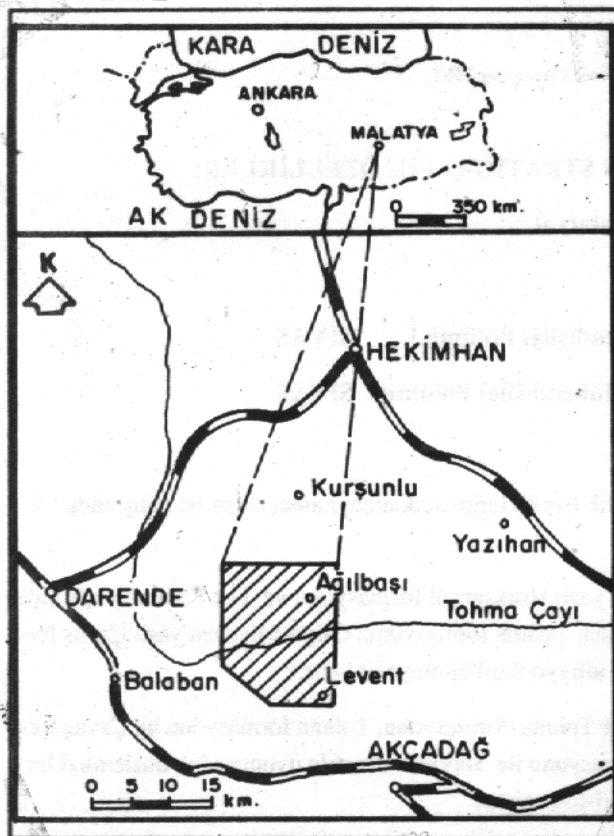
Bu çalışma, Levent (Malatya) kuzeybatisında yaklaşık 370 km<sup>2</sup> lik bir alanda yüzeysel Mesozoyik ve Senozoyik yaşılı birimlerin stratigrafisini açıklamayı amaçlar (Şekil-1).

Doğu Toroslarda Torid tektonik kuşağı içerisinde yer alan inceleme bölgesinde ilk ayrıntılı çalışma Ayan (1961) tarafından yapılmış ve bölgenin petrol olanakları üzerinde durulmuştur.

Ayan ve Bulut (1964), bölgenin genel jeolojik özelliklerini incelemiştir. İlker (1970), bölgede genel jeolojik özellikler üzerinde durmuş ve petrol olanakları açısından değerlendirme yapmıştır. Akkuş (1971), formasyon adla-

ması yaparak havzaya "Darende-Balaban Havzası" adını vermiştir. Karacabey-Öztemür (1980), paleontolojik amaçlı çalışmada yeni rudist cinsleri tanımlamış, Örçen (1986) ise Medik-Ebreme yöresindeki sedimanter istifin biyostratigrafik ve paleontolojik özelliklerini belirlemiştir. Özcelik, Meriç ve Özer (1990)'de bölgenin güneybatı kısmında yaptıkları çalışmada Üst Kretase-Eosen sedimanter istifinin stratigrafik özelliklerini ortaya koymuştur.

İnceleme alanındaki stratigrafik özelliklerin belirlenmesi amacıyla öncelikle bölgenin 1/25 000 ölçekli jeoloji haritası yapılmıştır. Mesozoyik ve Senozoyik yaşılı sedimanter istiflerden ölçülü kesitler alınarak derlenen örneklerin makro ve mikro fosil içeriklerine göre Üst Jurasik ile Pliyosen yaşı aralığında oluşan formasyonlar belirlenmiştir.



**Şekil 1: İnceleme alanının yer bulduru haritası**  
Figure 1 : Location map of the investigation area.

## STRATIGRAFİ

İnceleme alanı Üst Jurasik-Alt Kretase, Üst Kretase, Orta Eosen, Üst Oligosen-Alt Miyosen, Pliyosen ve Kuvarterner serilerine ait litostratigrafi birimlerini kapsamaktadır (Şekil 2,3,4).

### Horasançal formasyonu (JKrh)

Bölgelin temelini oluşturan formasyonun adlaması Kurtman (1978) tarafından yapılmıştır. Başkaya, Karapınar ve Kötükale yerleşim yerleri ile Ciciomer tepe yörelerinde izlenir. Büyük bir yükseltimle alanda yüzeylenen ve kireçtaşlarından oluşan formasyonun diğer birimlerle dokanakları genellikle faylıdır.

Formasyonun taban sınırı inceleme alanında gözleme miştir. Altta açık gri, beyazimsi, orta ve kalın katmanlı kireçtaşları bulunmaktadır. Mikritik özellikteki kireçtaşları sıkışma izleri taşır ve oldukça düzensiz eklemlerle kesilmiştir. Formasyonun üst düzeylerinde ise dolomitleşme görülür. Yer yer çört nodüllerinin izlendiği bu bölgeler katmansız, beyaz ve pembemsi kireçtaşlarından oluşur. Üst düzeyleri oluşturan kireçtaşları bol eklemlidir, eklemler kalsit dolguludur.

Horasançal formasyonu; inceleme alanının büyük bir bölümünde Ulupınar formasyonu, İlca köyü kuzeyinde İlca ofiyoliti, alanımız doğusunda ise Tohma formasyonu ile Çavuş formasyonu tarafından açısal uyumsuzlukla örtülmektedir.

Tabanının gözlenmemesi ve düzgün bir istif sunması nedeniyle ölçüülü stratigrafik kesitin alınmadığı bu formasyonun, inceleme alanındaki en fazla kalınlığı 850 m dir.

Birimin değişik yerlerinden alınan örneklerde;

**Valvuninella jurassica HENSON**

**Clypeina jurassica FAVRE**

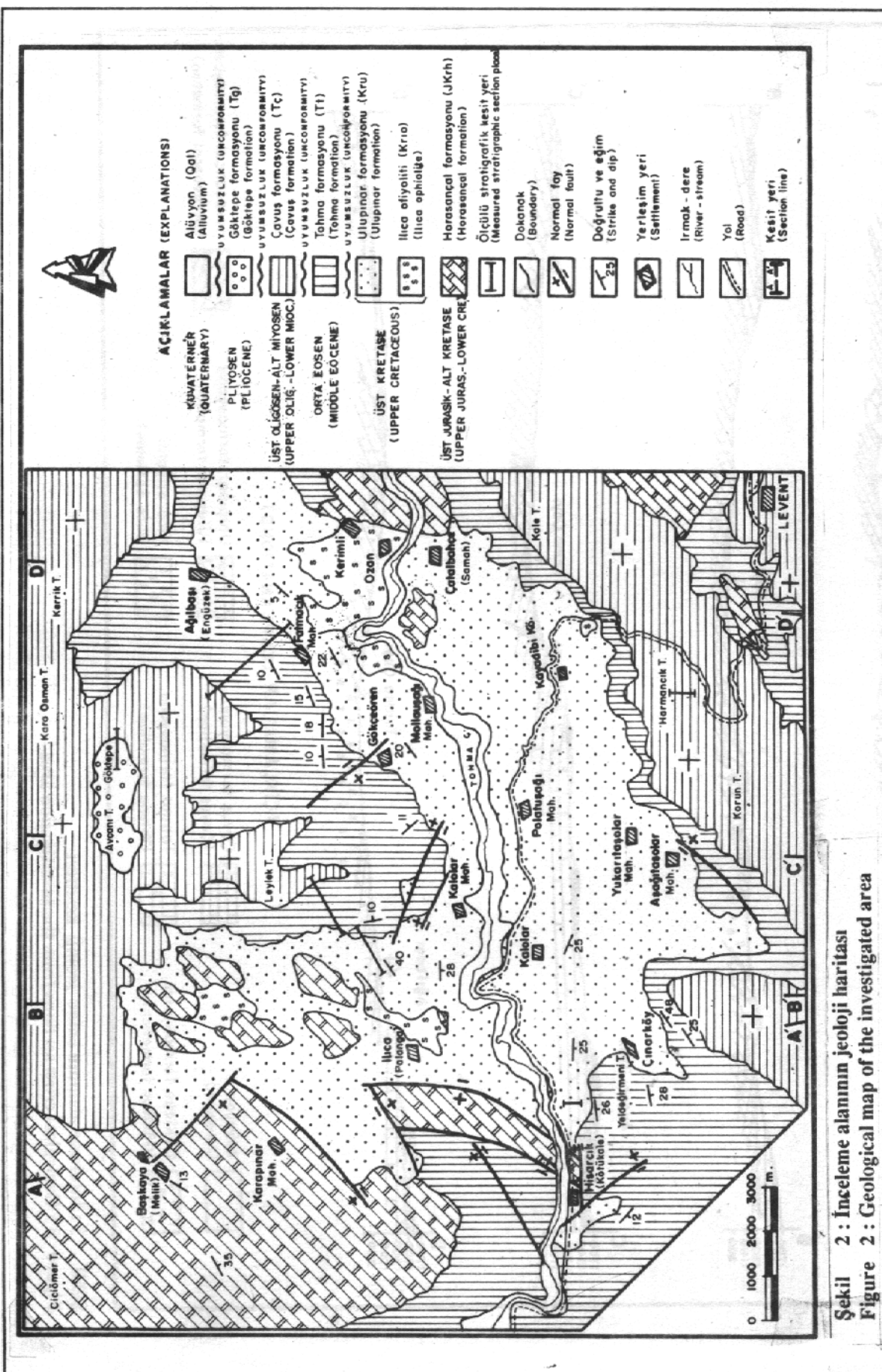
gibi türler tanımlanmıştır. Bu fosil içeriği nedeniyle formasyona Üst Jurasik-Alt Kretase yaşı verilmiştir. Mikrofaunanın yaşam ortamı ve çökel özellikleri birimin kıydan uzak, duraylı ve sağlam bir denizel ortamda olduğunu ortaya koyar.

### Ilca ofiyoliti (Krio)

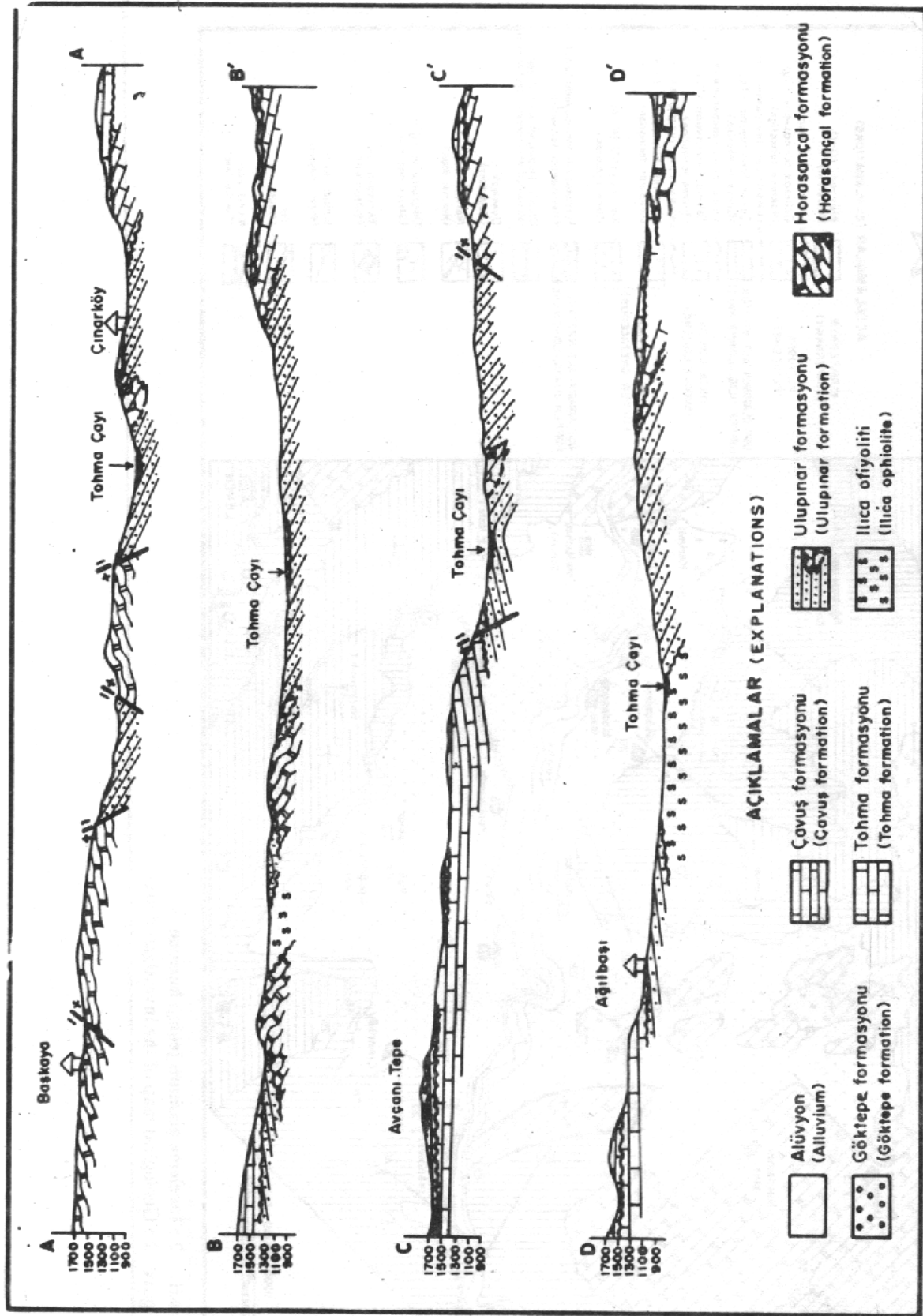
Ilca, Mollauşağı, Kerimli ve Ozan yörelerinde yüzeylenen Ilca ofiyoliti inceleme alanında ultramafiklerden oluşur. Ultramafik kayaçlar serpentinleşmiş piroksenitlerle, tümüyle serpentinitlerden meydana gelmiştir. Siyah, yeşil ve bunların tonları ile bazan bordo renkli olup, kayma yüzeyleri nedeniyle parlak bir görüntüye sahiptir. Yer yer eklem dolgusu olarak kalsit damarları bulunur.

Birim, Ilca yerleşim yeri dolayında en karakteristik şekliyle izlendiği için Ilca ofiyoliti olarak adlandırılmıştır. Ilca ve Mollauşağı yörelerinden alınan örneklerin mikroskopik incelemelerinde kayacın kataklazma izleri gösteren holokristalin taneli dokulu serpentinleşmiş klinopiroksenit olduğu görülmüştür. Klinopiroksenitler genellikle yarı özçekilli, prizmatik biçimli olup, serpentinleşmişlerdir. Serpentinlerin yeşil renkleri ve levhamsı şekilleri nedeniyle antigorit olabileceği düşünülür.

Ilca ofiyoliti aşınmaya elverişli litolojisinden dolayı düşük topografyalarda yer alır. İnceleme alanında Horasançal formasyonu üzerinde gözlenmesi ve konumu nedeniyle Maestrihtiyen öncesi-Alt Kretase sonrası yaş konağına sahip olduğu düşünülmektedir. Bölgedeki ofiyolitler üzerinde yapılan önceki çalışmalarda da bu birime Üst Kretase yaşı verilmiştir (Brinkman, 1968; Dewey ve diğ., 1973).



**Sekil 2 : İnceleme alanının jeoloji haritası**  
**Figure 2 : Geological map of the investigated area**



**Sekil 3 : İnceleme alanının enine jeoloji kesitleri**  
**Figure 3 : Geological cross sections from the investigation area**

AÇIKLAMALAR (EXPLANATIONS)						
LITOLOJİ (LITHOLOGY)			PALEONTOLOJİ (PALEONTOLOGY)			
MESOZOYİK (MESOZOIC)	SENOZOYİK (SENOZOIC)	ÜST SİSTEM (ERATHEM)	KUVATERİNİ (QUATERNARY)	SİSTEM (SYSTEM)	SERİ (SERIE)	KAT (STAGE)
JURASİK - KRETASE (JURASSIC - CRETACEOUS)			TERTİYER (TERTIARY)			
ÜST KRETASE (UPPER CRETACEOUS)			EOSEN (OLIGOCEN-MİTO) (EOCENE)			
MAESTRİTİYEN (MAASTRICHTIAN)			LÜTESİYEN (LUTETIAN)			
HORASANCAL (JKrh)	İlaca Oğulları	850	TOHMA (Tk)	GÖK ÇİFTLİK TIPİ GÖK ÇİFTLİK TIPİ	FORMASYON (FORMATION)	KALINLIK (THICKNESS) m
<b>Alüvyon (Alluvium)</b>						
Çakıltaşı - kumtaşlı - killi kireçtaşı ve kireçtaşı .(Conglomerate - sandstone - clayey limestone - limestone)						
Killi kireçtaşı ve kireçtaşı (Clayey limestone and limestone)						
Orta - kalın katmanlı kumtaşlı ve çakıltaşlı .(Medium to thick bedded sandstone and conglomerate)						
<b>Gri ve yeşil renkli kumu marn, kumtaşlı ara kataklı marn. (Grey and green coloured sandy marl and sandstone inter bedded with marl)</b>						
<b>Kalın katmanlı rudistli kireçtaşı (Thick bedded rudists limestone)</b>						
Gri ve yeşil renkli kötü boyanmış çakıltaşlı .(Grey and green coloured weakly graded conglomerate)						
<b>Serpantinit ve altere pyroksenit (Serpentinite and alteration pyroxenite)</b>						
<b>Gri renkli kireçtaşı .(Grey coloured limestone)</b>						
<b>Lepidocyclina (Eulepidina)dilatata (MICHELOTTE)</b>						
<b>Lepidocyclina (Eulepidina) formosa SCHLUMBERGER</b>						
<b>Miogypsina gradipustulus COLE</b>						
<b>Amphistegina cf. lessoni d'ORBIGNY</b>						
<b>Gypsina globosa REUSS</b>						
<b>Lockhartia cf. conditi (NUTTALL)</b>						
<b>Nummulites sp.</b>						
<b>Alveolina sp.</b>						
<b>Orbitolites sp.</b>						
<b>Globotruncana lapparenti (BROTZEN)</b>						
<b>Globotruncana cf. arca (CUSHMAN)</b>						
<b>Rosita fornicata (PLUMMER)</b>						
<b>Rosita cf. plicata (WHITE)</b>						
<b>Orbitoides cf. caucasicus BOGDANOVICH</b>						
<b>Orbitoides apiculatus SCHLUMBERGER</b>						
<b>Balabonia densicostata KARACABEY - ÖZTEMÜR</b>						
<b>Branislevia cf. orientalis ÖZER</b>						
<b>Velvetinella jurassica HENSON</b>						
<b>Clypeina Jurassica FAVRE</b>						

Şekil 4 : İnceleme alanının genelleştirilmiş stratigraphik kesiti  
 Figure 4 : Generalized stratigraphic section of the investigated area

### Ulupınar formasyonu (Kru)

Çakıltaşı, kumtaşı ve kumtaşı katkılı marnlardan oluşan birimin adlanması Akkuş (1971) tarafından yapılmıştır. İnceleme alanını doğu-batı doğrultusunda kesen Tohma Çayı boyunca, Kötükale, İlica, Kalolar, Polatlısağı, Mollauşağı ve Samah yörelerinde yüzeylenir. Horasançal formasyonu ile İlica ofiyoliti üzerine açısal uyumsuzlukla gelir.

Formasyonu oluşturan kayaçlar sırasıyla şu özellikleri gösterir;

Tabanda; alacalı kırmızı, gri-yeşilimsi renkli, yarı köşeli-yarı yuvarlak, kötü boyanmalı ve gevşek tutturılmış çakıltaşları bulunur. Çakıllar, 5-50 cm arasında değişen küçük ve iri blok tane boyalarını kapsayacak şekilde değişkenidir. Tabanda kalın katmanlıdır. Üst düzeylerde katman kalınlığı azalurken çakılların tane boyu da küçülür. Çakıllar Horasançal formasyonu ve İlica ofiyoliti ile komşu alanlarında yüzeylenen volkanoklastik birimlerden türemiştir. Çakıltaşlarını yeşil-gri renkli ince bir marn düzeyi izler. İnce-orta katmanlı ve yer yer toprağımsı görünümündedir. Üzerinde, Kurtini ve Kavikkaya Tepe yöresinde yüzeylenen bir kireç taşı düzeyi yer alır. Kurtini ölçüülü stratigrafik kesitinde (Şekil 5) görüldüğü gibi kısmen kalın katmanlı ve masif dumurdaki bol rudistli kireçtaşlarının Kurtini Tepedeki kalınlığı 80 m dir. Kurtini Tepe yöresinde 2-5 km, Kavikkaya Tepede ise 0.8 km yanal devamlılığı bulunmaktadır. Benzer litoloji inceleme alanı dışında da önceki çalışanlarca belirlenmiş olup "Tohma resifi" diye adlandırılmıştır (Akkuş, 1971). Kötü yılanmış biyospariterden oluşan resif, yanal geçiş noktalarında bjyomikrit karekterindedir. Resifal kireçtaşlarını yanal geçişle gri renkli ve kumtaşı bantları içeren kumlu marnlar izler.

İnce-orta katmanlı ve oldukça dağılgandır. Bu bandlar marn içerisinde tekrarlanmalı olup gri-yeşilimsi renkli ve 15-30 cm arasında değişen kalınlıktadır. Litikarenit olarak adlandırılabilceğimiz kumtaşının bileşenleri şu şekildedir; Tanelerin büyük bölümünü iri kum ve çakıl boyutundaki ofiyolitik kayaç parçaları oluşturur. Taneler köşeli olup, volkanik ve tortul kayaç parçaları daha azdır. % 4-6 oranında monokuvars taneleri belirlenmiştir ve bütün bu taneler kil bağlayıcı ile bağlanmıştır. Formasyonun üst düzeyleri ise kumlu marnlar ile devam eder.

Ulupınar formasyonunun kalınlığı Kurtini Tepe ölçüülü stratigrafik kesitinde 230 m (Şekil-5), Akçukur Mevkii-Leylek Tepe ölçüülü stratigrafik kesitinde 1425 m (Şekil-6), Burunkaya ölçüülü stratigrafik kesitinde 300 m (Şekil-7) olarak belirlenmiştir. Kurtini Tepe ölçüülü stratigrafik kesiti ile

toplunan kireçtaşları örneklerinde;

Balabania densicostata KARACABEY-ÖZTE-MÜR

Balabania acuticostata KARACABEY-ÖZTEMÜR

Branislava cf. orientalis ÖZER

Colveria variabilis KLINGHARDT

Joufia cappadociensis (COX) KARACABEY

rudist türleri ile

Orbitoides apiculatus SCHLUMBERGER

Orbitoides cf. caucasicus BOGDANOVICH

bentik foraminiferleri belirlenmiştir (Özcelik, Meriç ve Özer, 1990)

Ulupınar formasyonunun üst düzeylerinde ise;

Globotruncana cf. arca (CUSHMAN)

Globotruncana bulloides VOGLER

Globotruncanita stuartiformis (DALBIEZ)

Globotruncana falsostuarti SIGAL

Globotruncana cf. insignis CALNDOLFI

Globotruncana lapparenti (BROTZEN)

Rosita fornicata (PLUMMER)

Rosita cf. plicata (WHITE)

Pleurostomella cf. nitida MORROW

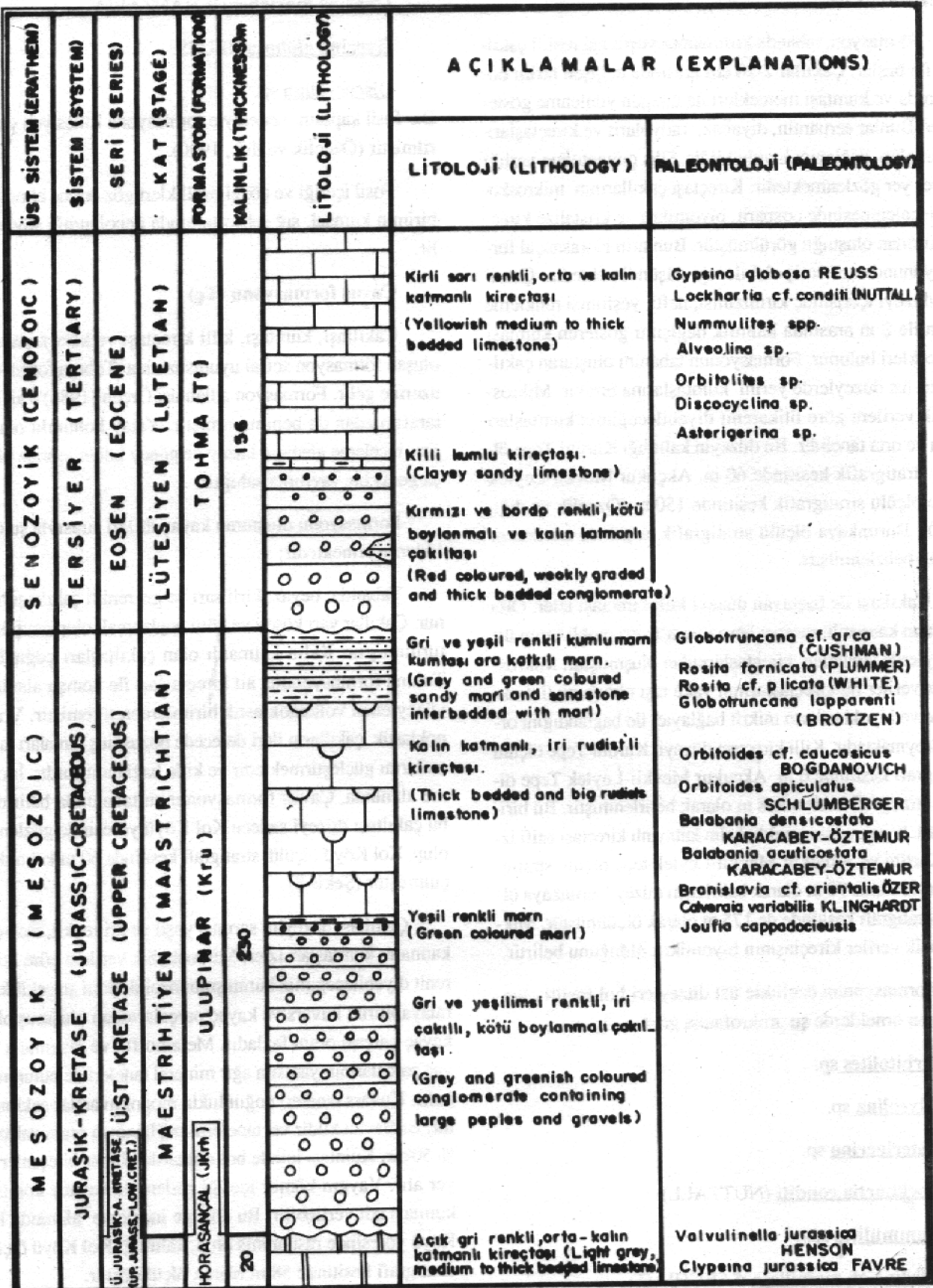
Pseudotextularia cf. elegans (RZEHAK)

gibi planktic foraminifer türleri tanımlanmıştır (Özcelik, Meriç ve Özer, 1990)

Bu mikro ve makro fosil içeriğine göre Ulupınar formasyonunun Maestrichtiyen yaşında olduğu sonucuna varılmıştır. Alt-Orta ve Üst Maestrichtiyen'in kesiksiz izlendiği formasyon, yukarıda bahsedilen fosil içeriği ve çökel özelikleri göz önüne alındığında sığ ve sıcak bir kıyı fasisi ile açık şelf fasisiyesini karekterize eder.

### Tohma formasyonu (Tt)

Çakıltaşı, kumtaşı, killi kireç taşı ve kireçtaşlarından oluşur. Açısal uyumsuzlukla Ulupınar formasyonu üzerine gelir. Formasyon adlaması Örçen (1986)'e ait olup, tarafından da kullanılmıştır. İnceleme alanında Kötükale, Çınarcık, Fatmacık, Ağılıbaşı yöreleri ile Levent kuzeybatı-



**Sekil 5: Kurtini Tepe ölçülu stratigrafik kesiti (Özçelik ve diğ., 1990)**

**Figure 5:** Measured stratigraphic section of the Kurtini Tepe (Özçelik et al., 1990)

sında yüzeylenir.

Formasyon, tabanda kırmızımsı-yeşilimsi renkli çakıltaşı ile başlar. Çakıllar 2-20 cm arasında değişen farklı boyutlarda ve kumtaşı mercekleri ile düzgün yönlenme göstergeler. Bunlar serpentin, diyabaz, radyolarit ve kireçtaşlarına ait olup bağlayıcı kumlu kildir. Silis cimentonun varlığı da yer yer gözlenmektedir. Kireçtaşçı çakıllarının mikroskopik incelenmesinde oosparit, biyomikrit ve kristalize kireçtaşlarındanoluştugu görülmüştür. Bunların Horasançal formasyonundan türemiş olabileceği düşünülmektedir. Çakıltaşı düzeyi içerisinde kırmızımsı, nefti, yeşilimsi renklerde 5 cm ile 2 m arasında kalınlık değişimini gösteren kumtaşı mercekleri bulunur. Formasyonun tabanını oluşturan çakıltaşları üst düzeylerde yerini kumtaşlarına bırakır. Mikroskopik verilere göre litikarenit diye biliceğimiz kumtaşları kaba ve orta tanelidir. Bu düzeyin kalınlığı Kurtini Tepe ölçüllü stratigrafik kesitinde 60 m, Akçukur Mevkii-Leylek Tepe ölçüllü stratigrafik kesitinde 150 m (Özçelik ve diğ., 1990). Burunkaya ölçüllü stratigrafik kesitinde ise 260 m olarak belirlenmiştir.

Çakıltaşı ile başlayan düzeyi killi kireçtaşları izler. Orta ve kalın katmanlı, sarımsı beyaz ve açık gri renkli birim üst düzeylerde tamamen kireçtaşlarından oluşmuştur. Mikroskopik veriler bu kireçtaşlarının vake taşı olduğunu, intraklastlar ve biyoklastların mikrit bağlayıcı ile bağlandığını ortaya koymaktadır. Killi kireçtaşları düzeyi Kurtini Tepe ölçüllü stratigrafi kesitinde 6 m, Akçukur Mevkii-Leylek Tepe ölçüllü stratigrafi kesitinde 8 m olarak belirlenmiştir. Bu birimi kırkı beyaz ve sarı renkli, kalın katmanlı kireçtaşları istifi izler. Kurtini ve Akçukur Mevkii-Leylek tepe ölçüllü stratigrafi kesitlerinde 90 m olarak belirlenen düzey Burunkaya ölçüllü stratigrafi kesitinde de 175 m olarak ölçülmüştür. Mikroskopik veriler kireçtaşının biyomikrit olduğunu belirtir.

Formasyonun özellikle üst düzeyleri bol fosilli olup, derlenen örneklerde şu mikrofauna gözlenmiştir;

Orbitolites sp.

Alveolina sp.

Asterigerina sp.

Lochkartia conditi (NUTTALL)

Nummulites spp.

Assilina cf. mamillata d'ARCHIAC

Operculina sp.

### Gypsina marianensis HANZAWA

### Gypsina globosa REUSS

### Discocyclina sp.

Bu fosil kapsamı nedeniyle formasyona Lütesiyen yaşı verilmiştir (Özçelik ve diğ., 1990).

Fosil içeriği ve çökel özelliklerini göz önüne alındığında birimin kumsal, sıçrış ortamında depolandığı söylenebilir.

### Çavuş formasyonu (Tç)

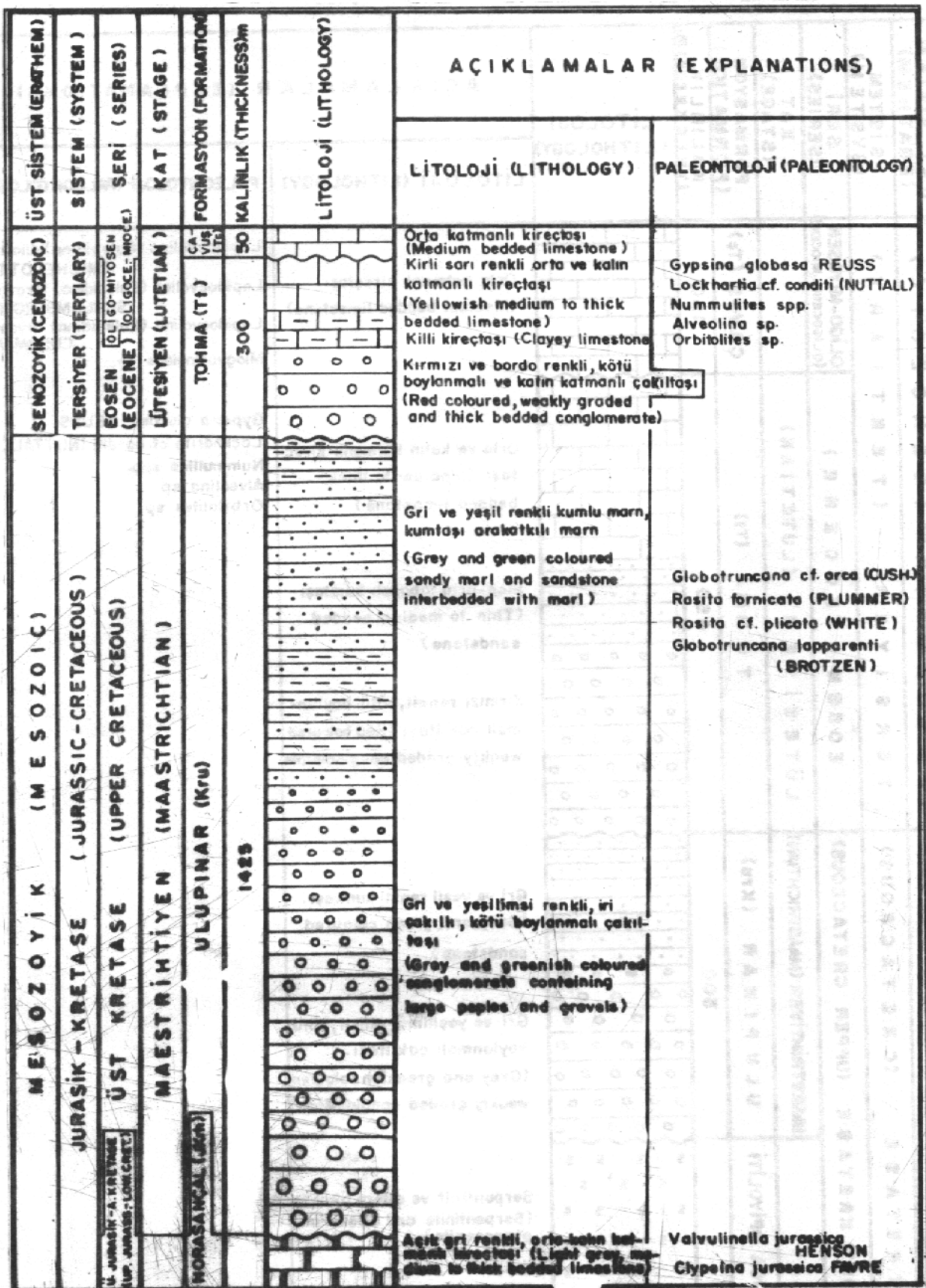
Çakıltaşı, kumtaşı, killi kireçtaşları ve kireçtaşlarından oluşan formasyon açısal uyumsuzlukla Tohma formasyonu üzerine gelir. Formasyon adlaması Örcen (1986)'e ait olup, tarafımızdan da benimsenmiştir. Yatay konumlu olan birim, inceleme alanının kuzey ve güney bölgelerinde oldukça geniş bir yayılıma sahiptir.

Formasyonu oluşturan kayaç türleri sırasıyla şu özellikleri içermektedir;

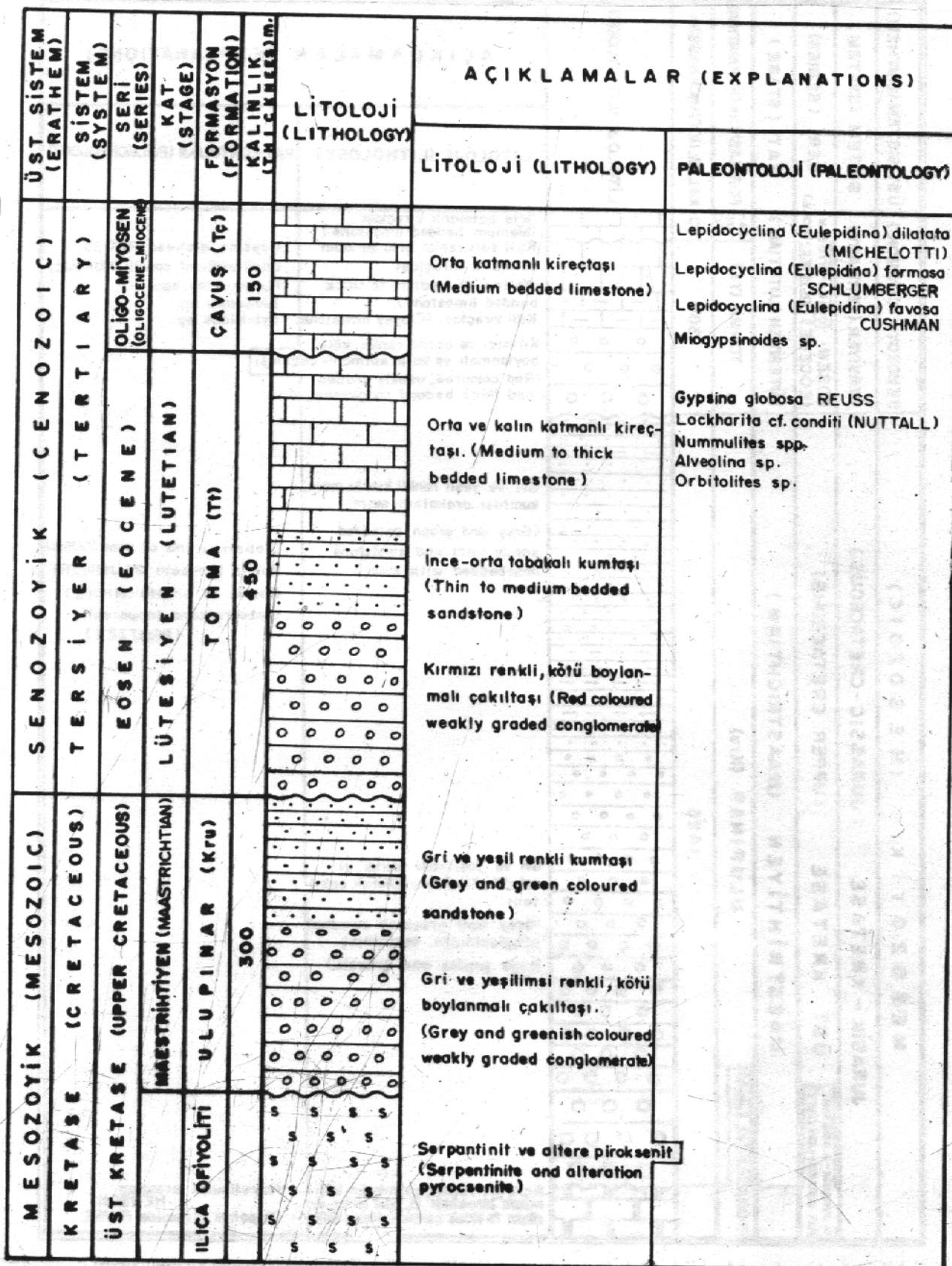
Tabanda; beyaz, kırkı sarı ve gri renkli çakıltaşı bulunur. Çakıllar yarı köşeli ve kötü boyanmalı olup gevşek tutturulmuştur. Kalın katmanlı olan çakıltaşları çoğunlukla Tohma formasyonuna ait kireçtaşları ile komşu alanlarda yüzeylenen volkanoklastik birimlerden türemiştir. Vulkanoklastik çakılların ileri derecede bozmuş olmaları tanımalarını güçlendirmektedir ve kille bağlanmışlardır. İnceleme alanında, Çavuş formasyonunun tabanında belirlenen bu çakıltaşı düzeyi sadece Kol Köyü yöresinde gözlenmiş olup, Kol Köyü ölçüllü stratigrafi kesitinde 60 m kalınlık ölçülmüştür (Şekil-8).

Çakıltaşı düzeyini sarımsı yeşil ve gri renkli, ince-orta katmanlı kumtaşları izler. Mikroskopik verilere göre litikarenit diye biliceğimiz kumtaşının özelliklerini şu şekilde sıralayabiliriz; kuvars ve kayaç parçalarından oluşmuş olup, kayaç parçası oranı fazladır. Metamorfik ve magmatik kayaç parçalarının yanısıra ağır mineral taneleri de bulunmaktadır. Kuvars taneleri çoğunlukla monokuvarslar şeklinde dir. Bağlayıcı kildir ve tanelerin bağlayıcıya oranı yaklaşık % 50'dir. Kumtaşı içinde bol miktarda kömür bileşenleride yer alır. Yaygın kömür içeriği nedeniyle kayaca kömürlü kumtaşı adı verilebilir. Bu düzeye inceleme alanında Kol Köyü yöresinde rastlanmış olup, kalınlığı Kol Köyü ölçüllü stratigrafi kesitinde 58 m olarak ölçülmüştür.

Kömürlü kumtaşını beyaz ve sarı renkli, kalın katmanlı kumtaşı düzeyi izler. Gevşek cimentolu ve dağılgan karekterdeki kumtaşlarının mikroskopik incelemelerinde litika-



**Şekil 6: Akçukur Mevkii-Leylek Tepe arasındaki ölçülu stratigrafik kesiti (Özçelik ve diğ., 1990)**  
**Figure 6 : Measured stratigraphic section between Akçukur Mevkii-Leylek Tepe (Özçelik et al., 1990)**



**Şekil 7:** Burunkaya ölçülu stratigrafik kesiti

**Figure 7: Measured stratigraphic section of the Burunkaya.**

renit olduğu ve şu özellikleri taşıdığı görülmüşür; Kuvars tancleri ince kum boyutundan iri kum boyutuna kadar değişkenlik gösterip, kayacın % 40'ını oluşturur. Kayacın diğer % 40'ını ise magmatik ve volkanik kökenli kayaç parçaları teşkil eder. Bol miktarda ağır mineral varlığı görülmektedir. Ayrıca, feldispat olarak ortzlara rastlanır. Kötü boyanmali olan bu kumtaşlarının kalınlığı Kol Köyü ölçüülü stratigrafi kesitinde 120 m olarak ölçülmüştür.

Çavuş formasyonu üstte kireçtaşları ile son bulur. Kireçtaşlarının alt düzeyleri killi olup, beyazımı sari ve orta katmanlıdır. Mikroskobik incelemelerde kireçtaşlarının biyomikrit olduğu ve şu özellikleri taşıdığı görülmüşür; kayaç oluşturan allokemlerin büyük bir oranda biyoklastlar olduğu ve bunların çoğunlukla foraminiferler, algler ve mollusk kavkı parçalarından oluştuğu gözlenmiştir. Bağlayıcı mikrittir. Killi düzeylerle birlikte kireçtaşının kalınlığı Akçukur Mevkii-Leylek Tepe ölçüülü stratigrafi kesitinde 50 m, Burunkaya ölçüülü stratigrafi kesitinde 150 m, Kol Köyü ölçüülü stratigrafi kesitinde de 92 m olarak ölçülmüştür.

Çavuş formasyonunun toplam kalınlığı Akçukur Mevkii-Leylek Tepe ölçüülü stratigrafi kesitinde 50 m, Burunkaya ölçüülü stratigrafi kesitinde 150 m, Kol Köyü ölçüülü stratigrafi kesitinde ise 330 m olarak belirlenmiştir.

Akçukur Mevkii-Leylek Tepe ölçüülü stratigrafi kesiti ve Burunkaya ölçüülü stratigrafi kesiti ile derlenen örneklerde;

Amhistegina sp.

Operculina complanata DEFRENCE

Miogypsinoides sp.

Lepidocyclina (Eulepidina) dilatata (MICHELOTTI)

Lepidocyclina (Eulepidina) favosa CUSHMAN

Lepidocyclina (Eulepidina) formosa SCHLUM-BERGER

bentik foraminiferleri belirlenerken formasyona Üst Oligosen-Alt Miyosen yaşı verilmiştir (Özçelik ve diğ., 1990).

Kol Köyü ölçüülü stratigrafi kesitinde alınan örneklerde;

Textularia sp.

Rotalia sp.

Astrotrillina sp.

Amhistegina cf. lessoni d'ORBIGNY

Amhistegina sp.

Miogypsin gradipustulus COLE

Miogypsin irregularis (MICHELOTTI)

Miogypsinoides sp.

gibi mikrofauna saptanarak birime Akitaniyen-Burdigalian yaşı verilmiştir.

Bu veriler ışığında formasyonun genel yaş aralığı Üst Oligosen-Alt Miyosen'dir. Yine, fauna ve çökel özellikleri formasyonun kıyı ve sıç şelf ortamında çökeldiğini göstermektedir.

**Göktepe formasyonu (Tg)**

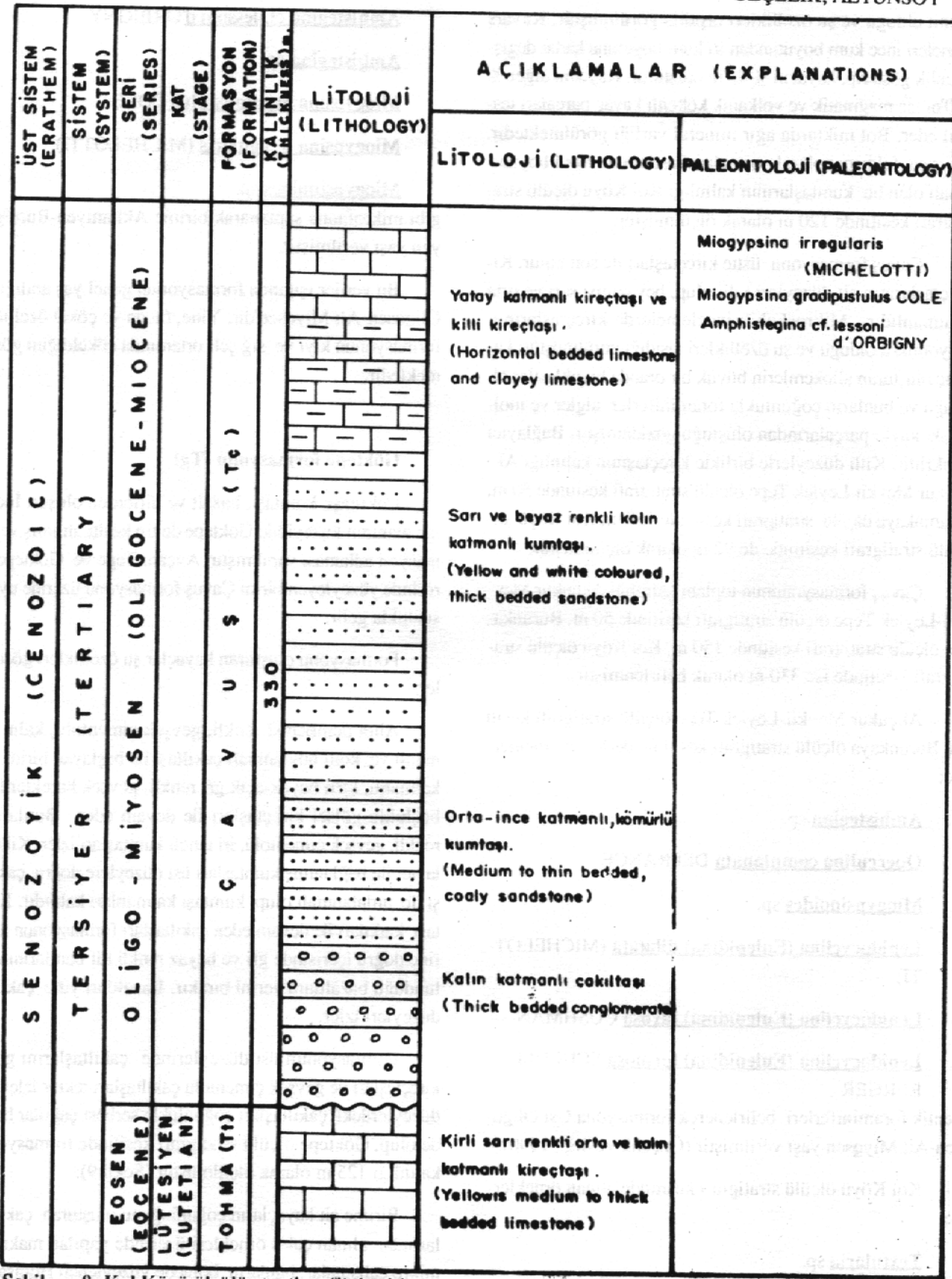
Çakıtaşı, kumtaşı, bazalt ve tüflerden oluşur. İnceleme alanının kuzeyinde Göktepe'de tip kesiti alınmış ve formasyon adlaması yapılmıştır. Avçanı Tepe ve Göktepe yöresinde yüzeyleyen birim Çavuş formasyonu üzerine uymuslukla gelir.

Formasyonu oluşturan kayaçlar şu özellikleri gösterirler;

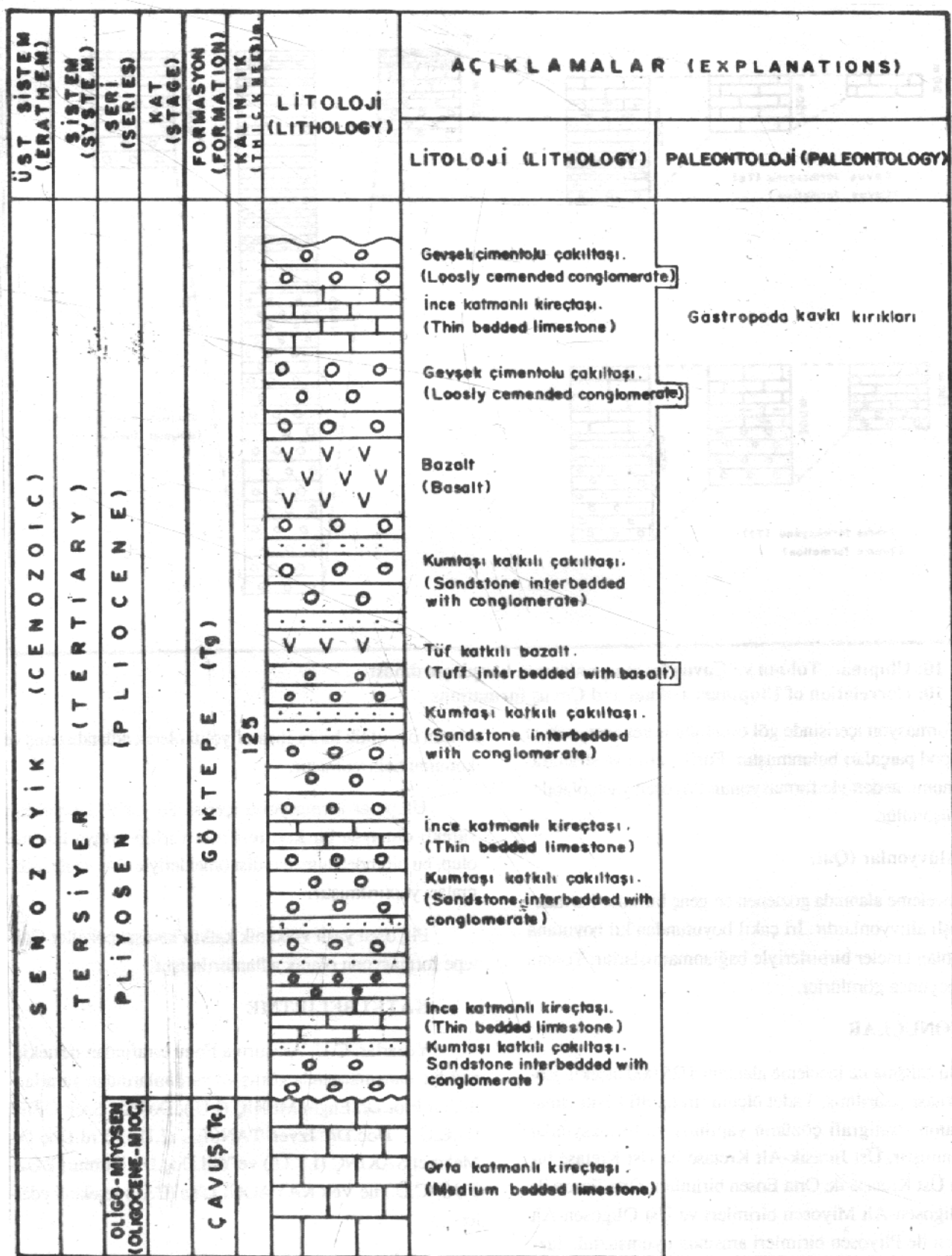
Altta pembemsi renkli, gevşek çimentolu, kalın katmanlı ve kötü boyanmalı çakıtaşı ile başlayan birim ince katmanlı, kirli beyaz-acık gri renkli, gevşek karekterde ve boşluklu gölsel kireçtaşları ile devam eder. Bunları gri renkli, gevşek çimentolu, iri taneli kumtaşları izler. Kil bağlayıcı ile bağlanmış kumtaşları üst düzeylere doğru çakıtaşı ile ardalanmalı olup, kumtaşı katmanları kalındır. Kumtaşı katıkları ile devam eden çakıtaşları formasyonun üstlerine doğru içerisinde gri ve beyaz renkli tuf bantlarının bulunduğu bazaltlara yerini bırakır. Bazaltları yine çakıtaşı düzeyleri izler.

Formasyonun üst düzeylerinde çakıtaşlarını gölsel kireçtaşları ve gevşek çimentolu çakıtaşları tekrar izler. Üst düzeylerdeki çakıtaşları çoğunlukla serbest çakıllar halinde olup, Göktepe ölçüülü stratigrafi kesitinde formasyonun kalınlığı 125 m olarak ölçülmüştür (Şekil 9).

Birime ait kayaçların çoğunluğunu oluşturan çakıtaşlarından alınan çakıl örnekleri üzerinde yapılan makro ve mikro çalışmalar, bunların bölgede yüzeylenen Horasançal formasyonu, İlca ofiyoliti, Ulupınar formasyonu, Tohma formasyonu ve Çavuş formasyonuna ait çakıllar oduğu sonucunu vermiştir.

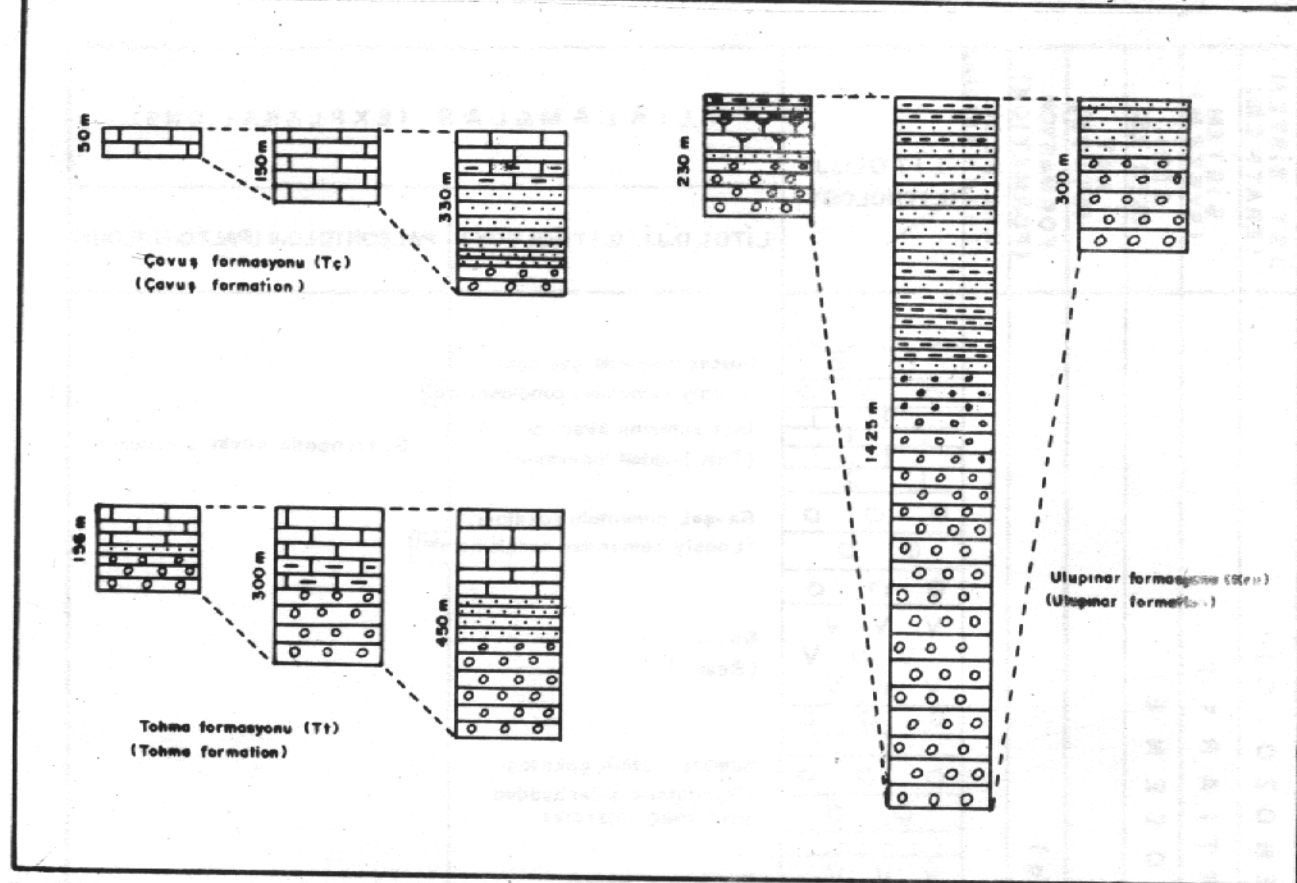


**Şekil 8: Kol Köyü ölçülü stratigrafik kesiti**  
**Figure 8: Measured stratigraphic section of Kof Koyu**



Şekil 9: Göktepe ölçülü stratigrafiği kesiti.

Figure 9: Measured stratigraphic section of Göktepe



**Şekil 10: Ulupınar, Tohma ve Çavuş formasyonlarının karşılaştırılması**  
**Figure 10: Correlation of Ulupınar, Tohma and Çavuş formations**

Formasyon içerisinde göl ortamına işaret eden tatlı su gastropod parçaları bulunmuştur. Fosil içeriği ve stratigrafik konumu nedeniyle formasyonun Pliyosen yaşı olabileceği düşünüldür.

#### Alüvyonlar (Qal)

İnceleme alanında gözlenen en genç birimler Kuvaterne yaşılı alüvyonlardır. İri çakıl boyutundan kil boyutuna kadar olan taneler birbirleriyle bağlanmamışlardır. Tohma Çayı boyunca görülürler.

#### SONUÇLAR

Bu çalışma ile inceleme alanının 1/25 000 ölçekli jeoloji haritası çizarılmış, 3 adet ölçülu stratigrafi kesiti alınarak alanın stratigrafi çözümü yapılmış ve formasyonlar ayırtlanmıştır. Üst Jurasik-Alt Kretase ile Üst Kretase birimleri Üst Kretase ile Orta Eosen birimleri, Orta Eosen ile Üst Oligosen-Alt Miyosen birimleri ve Üst Oligosen-Alt Miyosen ile Pliyosen birimleri arasında uyumsuzluk düzlemleri belirlenmiştir. Ölçülü stratigrafi kesitlerinin formasyonlara göre karşılaştırılması yapılmıştır (Şekil 10).

İnceleme alanında serpentinleşmiş piroksenitlerden

oluşan ofiyolitik birim İlha ofiyoliti olarak adlandırılmış ve konumu belirlenmiştir.

Ulupınar formasyonu içerisinde yanal devamlılığı sürekli olmayan bir kıyı resifinin varlığı ortaya konmuş olup, bu birimden alınan rudist örnekleriyle cins ve tür adlamaları yapılmıştır.

Pliyosen yaşılı volkanik katkılı karasal çökeller Göktepe formasyonu olarak adlandırılmıştır.

#### KATKI BELİRTME

Yazarlar, C.Ü. Araştırma Fonu tarafından desteklenen bu çalışmalarında görüş ve yardımlarından yararlandıkları Prof.Dr. Engin MERİÇ (İ.Ü.), Doç.Dr. Sacit ÖZER (D.E.Ü.), Doç.Dr. İzver TANSEL (İ.Ü.), Yrd.Doç.Dr. Mehmet SAKINÇ (İ.T.Ü.) ve Yrd.Doç.Dr. Durmuş BOZTUĞ (C.Ü.) ile Veli KAYAOĞLU'na (C.Ü.) teşekkür ederler.

#### DEĞİNİLEN KAYNAKLAR

Akkus, M.F., 1971, Darende-Balaban Havzasının (Malatya) jeolojik ve stratigrafik incelemesi:

M.T.A.Ens.Derg. 76, 1-60, Ankara.

Ayan, T., 1961, Malatya kuzeyindeki Hekimhan-Ebreme Köyü bölgesinin (K39-c3) detay jeolojisi ve petrol imkanları: M.T.A. Ens.Rap.No:4186, Ankara.

Ayan, T., ve Bulut, C., 1964, Balaban, Yazıhan, Kurşunlu ve Levent (Malatya) Bucakları arasındaki alanın genel jeolojisi: M.T.A.Ens.Derg., 62, 57-81, Ankara.

Bozkaya, Ö., 1991, Hekimhan güneyi (KB Malatya) Üst Kretase-Tersiyer yaşı sedimanter istifin mineralojik-petrografik ve jeokimyasal incelemesi: C.Ü.Fen Bilimleri Ens., Yük.Lisans Tezi, 227s, (Yayınlanmadı), Sivas.

Brinkmann, R., 1968, Einige geologische leitlinien von Anatolien: Geol. et Paleont., 2, Marburg.

Dewey, J.F., III Hiukar, W.C., Ryan, W.B.F., and Bonin, J., 1973, Pluto tectonics and the evolution of the Alpine system: Geol.Soc.Amer.Bull., 84, 3137-3180.

İlker, S., 1970, Darende dolayının jeolojisi ve petrol imkanları: T.P.A.O. Rap. No:499, Ankara.

Karacabey-Öztemür, N., 1980, Two new genera of Radiolitidae (Balabania n. gen., Kurtinia n. gen) from Turkey: T.J.K. Bülteni, C.23, S.1, 79-87, Ankara.

Örçen, S., 1986, Medik-Ebreme (Malatya) dolayının biyostratigrafisi ve paleontolojisi: M.T.A.Ens.Derg., S.105/106, 39-69, Ankara.

Özçelik, O., Meriç, E., ve Özer, S., 1990, Hisarcık-Esenbey (Balaban-Malatya) yöresi Üst Kretase-Eosen istifinin stratigrafik özellikleri: S.Ü.Müh.-Mim.Fak., Derg., C.5, S. 1-2, S.20-29, Konya.

## GÜNEY PİRENE HAVZASI (İSPANYA) VE TÜRKİYE PALEOSEN'İNE GENEL BİR BAKIŞ

### Generalized view of the Paleocene of south Pyrenean basin (Spain) and Turkey

Nurdan İNAN, Cumhuriyet Üniversitesi, Jeoloji Mühendisliği Bölümü, SİVAS

**ÖZ:** Güney Pirene Havzasının (İspanya) Paleosen tip ve yardımcı kesitlerinde Erken Paleosen'in, karasal ve laguner "Garumniyen" fasisiyle; Geç Paleosen'in, transgressif bir fazı işaret eden sağ denizel kireçtaşlarından oluşmuş İlerdiyen tortullarıyla temsil edildiği; Tanesiyen'de (Orta Paleosen) Alveolina (*Glomalveolina*) *primaeva*, Alveolina (*Glomalveolina*) *levis*; İlerdiyen'de (Geç Paleosen) Alveolina *cumiformis* ve Alveolina *ellipsoidalis* biyozonlarının tespit edildiği görülmüştür. Bu yüzleklерden alınan örnekler incelenerek, önemli biyozon oluşturan bentik foraminiferlerin sistematik tanımlaması yapılmıştır. Güney Pirene Havzasının (İspanya) paleontolojik ve stratigrafik verileri, Türkiye'deki Paleosen verileriyle karşılaştırılmış; Türkiye'deki çalışmalarında, kat ayrimında farklı metodların benimsendiği, bentik foraminiferlere göre biyozon ayrimının eksik olduğu gözlenmiştir.

**ABSTRACT:** According to the Paleocene type and reference sections of Southern Pyrenean Basin (Spain), Early Paleocene is characterized by the non-marine and lagunar sediments of "Garumian facies" but Late Paleocene is characterized by the transgressive shallow marine limestone of Ilerdian sediments. The biozons are pointed out as *Alveolina (Glomalveolina) primaeva*, *Alveolina (Glomalveolina) levis* in Thanetian and *Alveolina cumiformis*, *Alveolina ellipsoidalis* in Ilerdian. The systematic paleontology of these benthic foraminifera are also given in the above studies. All the paleontologic and stratigraphic from South Pyrenean Basin are compared with Turkish Paleocene. It is understood that the different methods have been used for building biozons in two countries and the biozonations are incomplete here in Turkey.

### GİRİŞ

Geç Krestase-Paleojen sınırında, biota'da genel bir değişimin olduğu, Mesozoyik'in birçok canlısının sönüp, Paleojen'le yepyeni bir canlı topluluğunun yaşamaya başladığı kabul edilir. Plantik foraminiferler bakımından, Geç Krestase-Paleojen sınırı, Globotruncanidea gibi foraminiferlerin kaybolması ve *Globigerina eugubina* ile *Globigerina fringa* gibi ufak, yeni morfotiplerin ortaya çıkmasıyla belirlenmiş; Paleosen'in planktonik foraminifer biyozoları kesintisiz olarak tespit edilmiştir (Pl-PS). Ancak, Geç Krestase-Paleojen sınırında Daniyen katını ve üstde İlerdiyen-Kuizyen sınırını temsil eden bentik foraminiferlerin tespit edilmemiş olması, Paleosen'in bentik foraminifer biyozonlarının kesintisiz olarak tespitinde problem sunar.

UNESCO destekli "IGCP 286 Early Paleogene Benthos" (Erken Paleojen Bentikleri) projesinin 5 yıllık çalışma programı çerçevesinde bu problemlere kalıcı çözümler getirilmesi amaçlanmış ve ilk çalışmalar, 15-21 Ekim 1990'da İspanya-Jaca'daki toplantırlarda yapılmış ve bu kapsamda Güney Pirene Havzasında Paleosen'in tip ve yardımcı kesit-

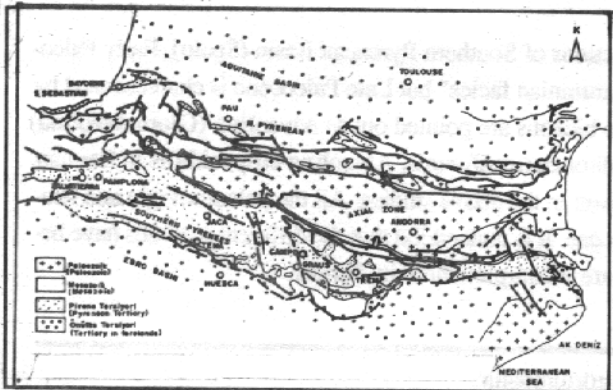
leri görülmüştür.

Bu çalışmada, Güney Pirene Havzasının (İspanya) Paleosen'i hakkında, "IGCP N.286 Arazi Notları" kitabından yapılan tercümenin özeti olan kısa bilgi verildikten sonra, tip ve yardımcı kesitlerden toplanan örneklerle göre, biyozon oluşturan bentik foraminiferlerin tanımlarının yapılması, Türkiye'deki Paleosen yüzleklерinde yapılmış çalışmaları toplayarak, bu verilerle karşılaştırılması ve böylece ilerde yapılacak çalışmalara yardımcı olunması amaçlanmıştır.

### GÜNEY PİRENE HAVZASINDA (İSPANYA) PALEOSEN

Güney Pirenelerde Paleosen tortullaşması, sıkışma rejiminin denetiminde gelişmiş ve şekillenme içeriğine göre, kuzyeden güneye doğru, 1- Hinterland (Art bölge), 2- Yarığın bindirmelere sahip, sırtta taşınmış havzalar, 3- Bindirme zonu önünde gelişmiş alüvyon yelpazeleri, 4- Devrik kıvrımlarla tanımlanan yanal rampalar, 5- Foreland havzaları olmak üzere beş ayrı yapısal katda incelenmiştir (IGCP 286, 1990).

Bölgelerde güneyden doğuya doğru, platformdan kara-sal ve lagüner fasiyese yanal geçiş gösteren Erken Paleosen tortulları, kırmızı ve alacalı renkli marnlar, şeyller, lakuştrin kireçtaşları, kumtaşları ve küçük boyutlu konglomeralarla temsil edilir (Şekil. 1-5). Karasal ve lagüner fasiyeler, Üst Kretase-Dano-Monsiyen ve Tanesiyen arasında görülür. Bu fasiyeler için "Garumniyen" terimi ilk kez Leymerie (1968) tarafından kullanılmış, daha sonra Mey ve diğerlerinin (1968) kullandığı "Trempl formasyonu" deyimi, "Garumniyen fasiyesi"nin eşdeğeri kabul edilmiştir. Güney Pireneler'de Trempl-Graus havzasında, daha çok, Alt İlerdiyen tortulları yüzlek verir. Havzanın güney kenarı, **Alveolina cucumiformis**, **Alveolina ellipsoidalis** ve **Alveolina mossoulensis** biyozonlarını içeren sağlam, platform tipi karbonatlarla; orta kısımları, altda biyoklastik tabakalar içeren mavi renkli şeyllerle, üstde ise, zengin **Turritella** içerikli siltli şeyllerle temsil edilir. Bu birimler, bataklık lagünü, körfez lagünü ve ön delta-ortamını karakterize ederler.

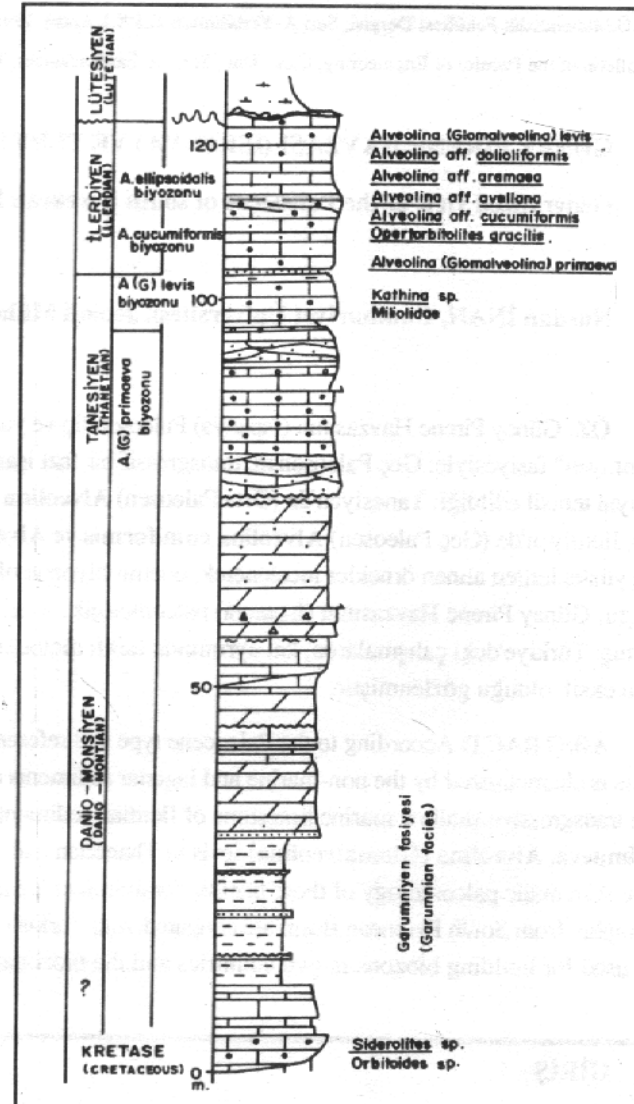


**Şekil 1:** Pirenelerin genelleştirilmiş jeolojik haritası (IGCP Projesi N 286, 1990)

**Figure 1:** Generalized geologic map of the Pyrenean chain (IGCP project N 286, 1990)

Trempl-Graus havzasının kuzeyinde, Alt İlerdiyen, lokal olarak Garumniyen fasiyesi (Trempl formasyonu) üzerinde uyumsuzlukla gelmekte ve iki seviyeden oluşmaktadır (Şekil. 2. 4. 5). Alt bölüm, lagüner ve sağlam körfez şeyllerile arakatkılı sağlam denizel kireçtaşlarıyla, üst bölüm ise, transgressif açık denizel şeyllerden oluşur. Benzer istif, Campo bölgesinde **Alveolina cucumiformis** ile **Alveolina ellipsoidalis** biyozonunu içeren kireçtaşlarıyla ve **Alveolina mossoulensis** biyozonunu içeren marnlarla temsil edilir (Şekil 3-4).

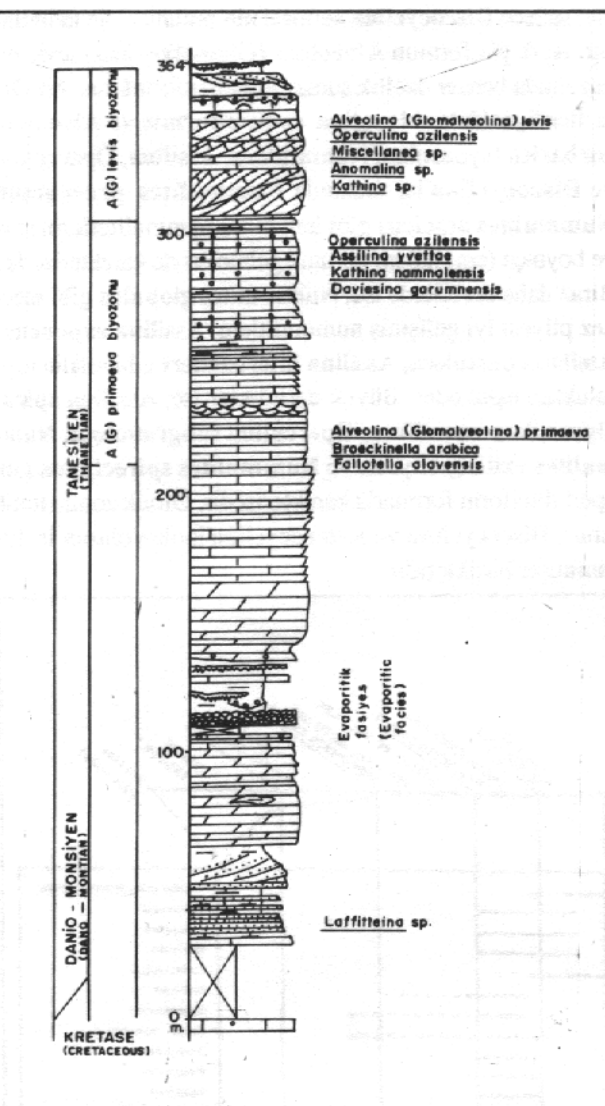
Güney Pirene Havzasının doğusunda, Erken Paleosen tortullarına Pedraforca bindirmesi ve Cadi napı olarak adlandırılan iki tektonik birim içinde rastlanır. Bu kesimde Erken Paleosen, Üst Maestrihiyen-Üst Tanesiyen yaş aralığında çokelmiş olan temel kıtasal, Lagüner bir imlerden o-



**Şekil 2:** Salvatierra dikme kesiti (IGCP projesi N 286, 1990)

**Figure 2:** Cross section of Salvatierra de Esca (IGCP project N 286, 1990)

luşmuş "Garumniyen fasiyesi" karakteristikdir. Birim, Alt Orta İlerdiyen yaşı sağlam denizel kireçtaşları ve marnlarla örtülü. Pedraforca bindirme zonunda, altda 130 m. kalınlıkta, ekonomik değere sahip linyit tabakaları içeren gri-sarı renkli marn ve lakuştrin kireçtaşı ardalanmalarını, Dinazor kemikleri içeren kum taşı seviyeleri, bu seviyeyide 40 m. kalınlıkta, **Charophyta** florası içeren lakuştrin kireçtaşları ve olasılıkla Tanesiyen yaşlı kırmızı renkli marn istifi izler. Garumniyen fasiyesi, Cadi napında daha ince olup, linyit tabakaları içermez. Bu napın, Alt İlerdiyen istifinde, sağlam platform biyoklastik kireçtaşı ve körfez gri marnları olmak üzere, birbirleriyle yanal geçişli iki ana fasiyes ayırdedilebilir.



**Şekil 3: Campo dikme kesiti (Alt kısım) (IGCP projesi N 286, 1990)**

**Figure 3: Cross section of Campo (Lower Part) (IGCP project N 286, 1990)**

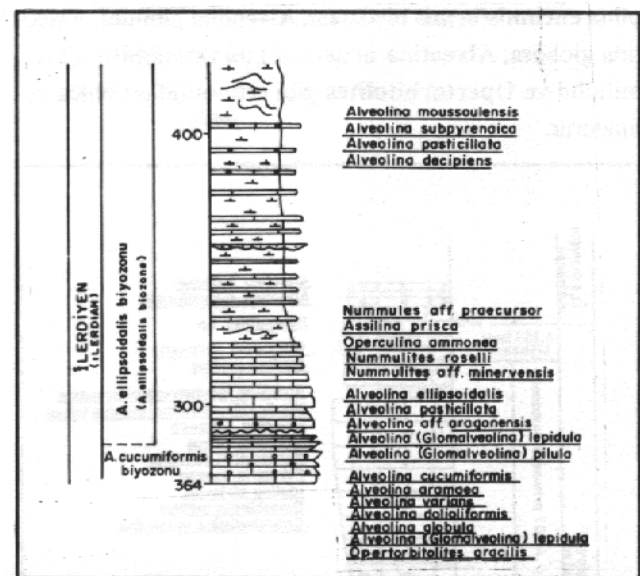
#### Bentik Foramineferlerin Dağılımı

Güney Pirine Havzasının Paleosen bentik foraminiferlerinin dağılımı detaylı olarak ortaya konmuştur (Şekil 6).

##### - Sınırlı platform

Karasal ve denizel tortullaşma arasında çok sık ve sınırlı koşullardaki depolanmalarda üç tipik topluluk tanımlanmıştır.

a- Garumniyen fasyesinin alt böltümlerinde lakustrin fasyes içinde arakatkılar halindeki midyeli siliklastik tabakalar (oyster) bulunur. Bu seviyelerde bol ostracod, rotaloidal formlar ve Laffitteina türleri yer alır (Dano-Monsi-



**Şekil 4: Campo dikme kesiti (Üst Kısım) (IGCP projesi N 286, 1990)**

**Figure 4: Cross section at Campa (upper part) (IGCP project N 286, 1990)**

yen).

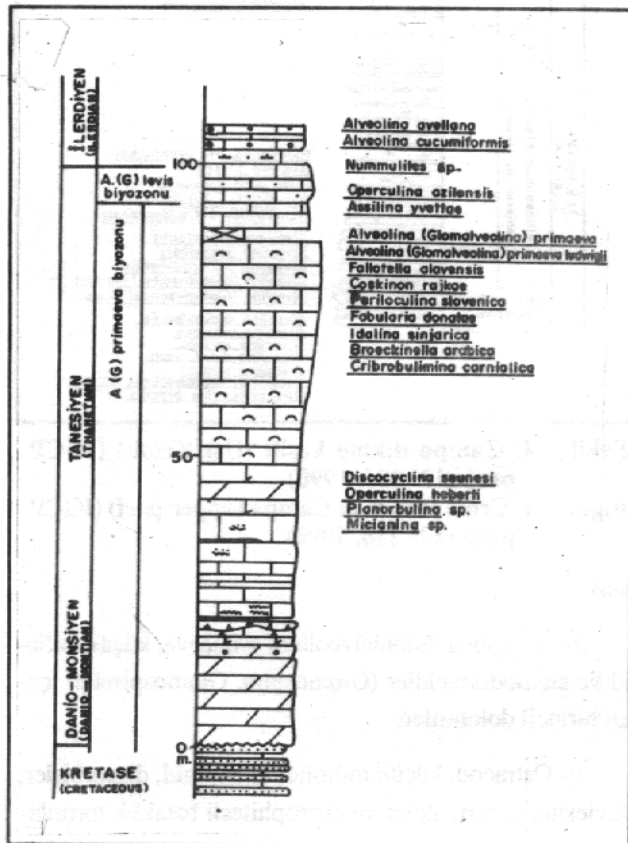
b- Alveolina (Glomalveolina) primaeva, küçük miliolid ve ammodiscacidlere (Glomospira, Glomospirella) içeren birincil dolomitler.

c- Ostracod, küçük miliolid, valvulinid, discorbisler, Daviesina türleri, algler ve charophitesli bataklık tortulları.

#### - Korunaklı platform

Korunaklı platformlarda, Dano-Monsiyan-Alt Tanesiyen'de, sadece tanımlanamayan rotaloidler (olasılıkla Kathina ve Miscellanea türleri) bulunmuştur. Orta Tanesiyen'de ise, Alveolina (Glomalveolina) primaeva biyozonunda çok zengin iri foraminiferler vardır. Bu biyozonda Alveolina (Glomalveolina) primaeva ve Alveolina (Glomalveolina) ludwigi, Idalina sinjarica, Periloculina slovenica, Fabularia donatae, Spirolina, Praerhapidionina, küçük orbitolitid ve miliolidler gibi porselen kabuklu, Broeckinella arabica, Fallotella alavensis, Cribrobulimina carniolica, valvulinidler gibi aglutine kabuklu foraminiferler bulunur. Üst Tanesiyen'de ise Alveolina (Glomalveolina) levis biyozonunda, kıyıya yakın yerlerde Alveolina (Glomalveolina) levis ve Miliolidae'ler, kıyıdan biraz uzakta Operorbitalites'in ilk temsilcileri ve Üst Tanesiyen-İlerdiyen temeli arasında yer alan, Alveolina aff. avellana, Alveolina aff. dolioliformis, Alveolina aff. cucumiformis, Alveolina aff. ellipsoidalis, Alveolina aff. aramaea gibi flaskülinizle alveolinlerdir. Alt İlerdiyen'de Alve-

olina cucumisformis biyozonu, Alveolina globula, Avleolina globosa, Alveolina aramaea gibi floskülöz türler, miliolid ve Operculitoides gibi orbitolitidleri bolca bulundurur.



**Şekil 5:** Tena dikme kesiti (IGCP projesi, N 286, 1990)

**Figure 5:** Cross section of Tena (IGCP project, N 286, 1990)

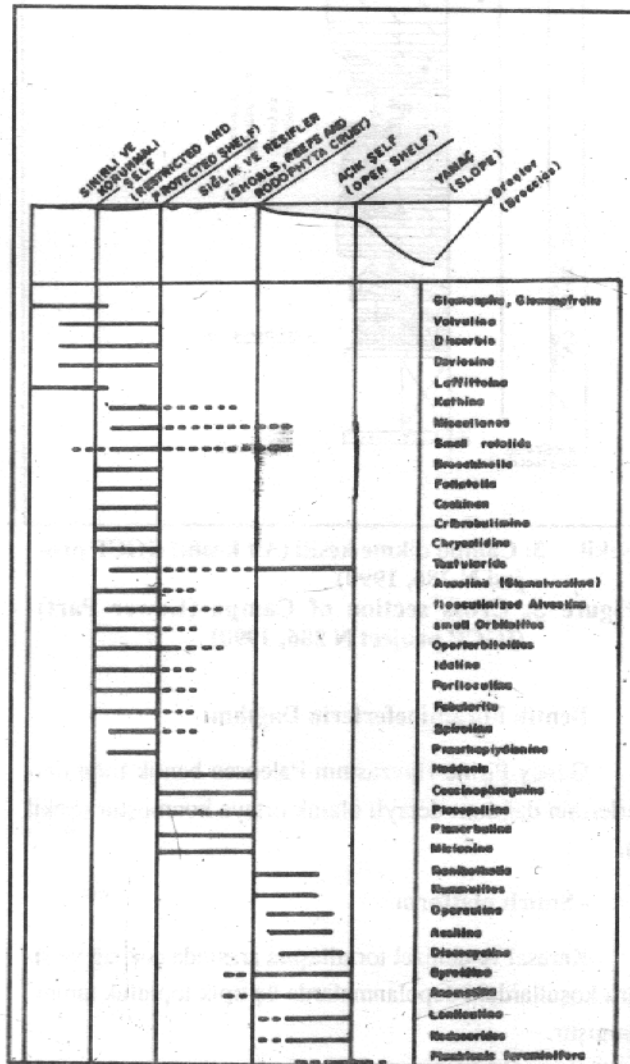
#### - Resif Ortamı

Bu ortamlar, rhodophytes, bryozoa ve alglerin oluşturduğu deniz tabanı kolonileriyle karakterizedir. Burada bol miktarda aglütine kabuk yapısındaki Haddonia, Coscinnophragma, Placopsisina, Planorbolina, Miciania cinslerinin türleri ve Miscellanea, Kathina türlerine benzeyen tanımlanmamış rotaloidal formlar gözlenir.

#### - Açık Platform

Açık platform, Dano-Monsiyen-Alt-Tanesiyen'de Gyroidina, Anomalina, Lenticulina ve nodosaridler gibi küçük bentik tiplerin yanısıra, planktik foraminiferler bulundurur. Açık platformun Alveolina (Glomalveolina) primaeva biyozonunda üç zon yer alır. I. zon Ranikothalia ve Operculina heberti gibi nummulitik formların, II. zon, Discocyclina seunesi ve birlikte bulunan formların, III. zon ise, sadece Discocyclina seunesi'nin bulunluğu ile tanımlanır. Açık platformun Alveolina (Glomalveolina) levius biyozonunda benzer özellik sunar. Açık platformların, Alt-Orta İllerdiyen'deki Alveolina cucumisformis ve Alveolina corbarica biyozonları, Nummulites, Assilina, Operculina ve Discocyclina'lar arasında Nummulites praecursor, Nummulites atacicus gibi lentiküler nummuliterlerin sayı ve boyutça (cm) hakim duruma gelmeleriyle karakterizedir. Biraz daha derinlerde ise, Nummulites globulus gibi merkez pilyesi iyi gelişmiş nummulitlere, Assilina exponens, Assilina pustulosa, Assilina luterbacheri gibi assilin topulukları eşlik eder. Büyüklük derinlikler ise, Assilina spira, Operculina canalifera, Operculina subgranulosa, Nummulites exilis gibi yassi ve Nummulites spirectypus gibi operküliniform formlarla karakterizedir. Öfotik zonun limit sınırı, Discocyclina ve Asterocydina'lardan oluşan iri foraminifer birlilikleridir.

ise, sadece Discocyclina seunesi'nin bulunluğu ile tanımlanır. Açık platformun Alveolina (Glomalveolina) levius biyozonunda benzer özellik sunar. Açık platformların, Alt-Orta İllerdiyen'deki Alveolina cucumisformis ve Alveolina corbarica biyozonları, Nummulites, Assilina, Operculina ve Discocyclina'lar arasında Nummulites praecursor, Nummulites atacicus gibi lentiküler nummuliterlerin sayı ve boyutça (cm) hakim duruma gelmeleriyle karakterizedir. Biraz daha derinlerde ise, Nummulites globulus gibi merkez pilyesi iyi gelişmiş nummulitlere, Assilina exponens, Assilina pustulosa, Assilina luterbacheri gibi assilin topulukları eşlik eder. Büyüklük derinlikler ise, Assilina spira, Operculina canalifera, Operculina subgranulosa, Nummulites exilis gibi yassi ve Nummulites spirectypus gibi operküliniform formlarla karakterizedir. Öfotik zonun limit sınırı, Discocyclina ve Asterocydina'lardan oluşan iri foraminifer birlilikleridir.



**Şekil 6:** Güney Pirene baseninin Paleosen bentik foraminifer dağılımı (IGCP N 286, 1990)

**Figure 6:** Distribution of some Paleocene benthic foraminifera in the South Pyrenan Basin (IGCP N 286, 1990)

### - Breşik Seviyeler

Bu seviyeler, dağınık depolanma ortamlarından gelen iri foraminiferleri içeren kırıntılarından oluşur. Büyük çoğunluğu korunaklı platformlardan türemiş olup, yersel erozyonları işaret ederler (IGCP N.286, 1990).

### SİSTEMATİK İNCELEME

Bu bölümde, Güney Pirene Havzasının değişik kesitlerinden yazar tarafından toplanmış olan örnekler incelenmiş ve bollukla rastlanan birkaç türün tanımı yapılmıştır.

**Familya ALVEOLINIDAE Ehrenberg, 1839**

**Cins ALVEOLINA d'Orbigny, 1826**

**Alt Cins GLOMALVEOLINA Reichel, 1937**

**Alveolina (Glomalveolina) primaeva Reichel, 1937**

(Levha I, Şekil 1-5)

1937 **Alveolina primaeva n.sp.**, Reichel, levha 9, şekil 4-5, metin içi şekil 15

1960 **Alveolina (Glomalveolina) primaeva Reichel, Hottinger**, levha 1, şekil 3-7

1976 **Alveolina (Glomalveolina) primaeva Reichel, Sirel**, levha 1, şekil 6-13

Porselen kalker kavkı küçük boyutda, sferik, hafifçe oval yada natuloid şekildedir. Ekvatoryal çapı 1,025-2,325 mm, eksenel çapı 0,675-2,250 mm kalınlığı, 0,6 -2 mm ölçülmüştür. Uzama indisi 0,6-0,9'dur. İlk loca çok küçütür. İlk locayı takiben bir yumaklanma (miliolin) devresi görülür. Bunu, 5-8 loca izler. Taban tabakasının kalınlığı ile, locacıkların yüksekliği hemen hemen birbirine eşittir.

**Alveolina (Glomaveolina) levis Hottinger, 1960**

(Levha I, Şekil 6-10)

1960 **Alveolina (Glomalveolina) levis n.sp.**, Hottinger, levha I, Şekil 11-14 metin içi şekil 11-14.

Kavkı, küçük boyutta, elipsoidal ve hafifçe uzamış elipsoidal şekildedir. Ekvatoryal çap 1-2,075 mm, eksenel çap 1,675-2,750 mm ve kalınlık 0,950-2,375 mm ölçülmüştür. Uzama indisi 1,3-1,6'dır. İlk locayı izleyen yumaklanma devresinden sonraki 4-8 turda, 16-26 loca bulunur. Septalar belirgin ve derindir. Taban tabakası incedir. Eksenel kesitlerde, taban tabakasının kalınlığı, ilk turlarda locacık yüksekliğinin 1/3 kadarken, son turlarda 1/6'ine kadar düşer.

Locacıklar iri dairesel kesitler verirler.

**Cins ALVEOLINA d'Orbigny, 1826**

**Alveolina cucumiformis Hottinger, 1960**

(Levha II, Şekil 1-5)

1960 **Alveolina cucumiformis n.sp.**, Hottinger, metin içi şekil 26, 29, no 1,1, şekil 71 c, 72, 73.

1965 **Alveolina cucumiformis Hottinger, Dizer**, levha 2, şekil 6.

1976 **Alveolina cucumiformis Hottinger, Sirel**, levha 2, şekil 1-4.

Porselen kalker kavkı uzamış fusiform yada oval şekildedir. Ekvatoryal çapı 1,625-2,750 mm, eksenel çapı 3,125-4,75 mm, kalınlığı 1-2,075 mm'dir. Uzama indisi 1,9 civarındadır. Septa derinliği az ve taban tabakası incedir. Taban tabakasının kalınlığı, locacık yüksekliğinden fazla değildir. Ancak, taban tabakasının kalınlaşması kutuplarda belirgindir. Locacıklar, bir locadan diğerine ardışıklı düzende, dairesel ve sıktır. İlk turlarda dairesel, son turlarda ise oval kesit verirler.

**Alveolina ellipsoidalis Schwager, 1883 (Levha II, Şekil 6-9)**

1983 **Alveolina ellipsoidalis n. sp.**, Schwager, levha 25, şekil 1-2.

1960 **Alveolina ellipsoidalis Schwager, Hottinger**, levha 2, şekil 1-8, metin içi şekil 20c, 33a, b.

1976 **Alveolina ellipsoidalis Schwager, Sirel**, levha 2, şekil 5-6, 8-11, levha 6, şekil 6.

Porselen kalker kavkı şıskin fusiform şekildedir. Ekvatoryal çap 0,8-2,05 mm, eksenel çap 1,1-2,6 mm ve kalınlık 1-1,425 mm ölçülmüştür. Uzama indisi, 1, 2-1,4'dür. Septa derinliği az ve taban tabakası çok incedir. İlk turlarda locacık yüksekliğinin 1/4'i ve son turlarda 1/3'i orandadır. Kutuplarda kalınlaşma göstermez. Locacıklar, bir locadan diğerine devamlı ve çok sayıdadır. İlk turlarda dairesel, son turlarda oval kesitler verirler.

**Alveolina avellana Hottinger, 1960**

(Levha II, şekil 10-11)

1960 **Alveolina avellana n.sp.**, Hottinger, levha 6, şekil 14-17, metin içi şekil 59.

1965 **Alveolina avellana Hottinger, Dizer**, levha 1,

şekil 1-2.

**1976 Alveolina avellana** Hottinger, Sirel, levha 2, şekil 7, 12-17, levha 4, şekil 7-8, levha 5, şekil 15.

Porselen kalker kavkı küremsi, ekvatorial çapı 2-2,750 mm, eksenel çapı, 1,8-2,75 mm ve kalınlığı 1,5-2,625 mm ölçülmüştür. Uzama indisi 0,9-1'dir. Septa derinliği az ve taban tabakası çok kalındır. İlk 2-2,5 turda locacık yüksekliğinin yaklaşık 3 katı iken, sonra gelen 3 turda 6-8 katına erişir. Taban tabakasının çok kalınlaştiği bu turlardan sonra, son 3-4 tur birden daralır ve taban tabakasının kalınlığı, loca yüksekliğinin 2 katına düşer.

#### **Alveolina pasticillata** Schwager, 1883

(Levha I, şekil 11-12)

**1883 Alveolina pasticillata n.sp.** Schwager, levha 26, şekil 2.

**1960 Alveolina pasticillata** Schwager, Hottinger, levha 4, şekil 26-33.

**1965 Alveolina pasticillata** Schwager, Dizer, levha I, Şekil 3.

**1976 Alveolina pasticillata** Schwager, Sirel, levha 3, şekil 14-17.

Kavkı küresel şekilde; ekvatorial çapı 1,875-2,2 mm, eksenel çapı 2-3,2 mm, uzama indisi 1,1-1,4'dür. Septa derinliği azdır. Taban tabakası, ilk locayı izleyen turlarda ani den kalınlaşır ve locacık yüksekliğinin 8-10 katına erişir.

### TÜRKİYE'DE PALEOSEN

Bu bölümde, Türkiye'deki Paleosen yüzleklerinde yapılmış çalışmalar derlenerek, genel bir değerlendirme yapılmıştır.

#### Alt ve Üst Sınırlar

Karadeniz kıyı dağları ve İç Anadolu'da Mesozoyik, Paleozoyik yaşı temel üzerine açılı uyumsuz olarak taban kongloremasıyla gelmekte, üstde Kretase tabakaları, çoğu kez, sürekli, dereceli yada uyumlu olarak Paleosen'e geçmektedir. Armutlu yarımadası (Bargu ve Sakınç, 1987), Hareke-Kurucadağ (Altunlı, 1968), Sakarya (Saner, 1978), Devrek, Bartın, Gebze, Akçakoca, Yenişehir, Bilecik, Göynük ve Kastamonu (Dizer, 1971, Dizer ve Meriç, 1980-81), Amasra-Bartın, Sinop (Coşkun, 1978, Ketin, 1983), Ereğli-Zonguldak (Baykal, 1974, Kaya ve diğr. 1986), Bolu (Kaya

ve Dizer, 1981-82), Yiğilca-Bolu (Görmüş, 1982, Kaya ve diğr., 1986), Göynük (Meriç ve Şengüler, 1986), Mengen-Bolu (Öztürk ve diğr., 1984, Cerit, 1984), Ballıdağ-Çangaldağ-Kastamonu (Aydın ve diğr., 1986), Daday-Devrekani-Kastamonu (Yılmaz, 1980), Ünye, Ordu, Reşadiye, Koyulhisar (Terlemez ve Yılmaz, 1980), Kelkit vadisi (Seymen, 1975), Tecer Dağları-Sivas (İnan ve İnan, 1987), Haymana (Sirel, 1975, Ünalan ve diğr., 1976, Toker, 1980, Sirel ve diğr., 1986, Meriç ve Tansel, 1987) ve Tuz gölü (Arikan, 1975, Uygun, 1981, Şahbaz, 1985) yörelerinde, Kretase/Tersiyer geçişinin bu özelliğini gözlüyoruz.

Geç Kretase-Paleosen devresinde, Doğu Karadeniz'de volkanik ve mağmatik faaliyetlerin etkin olduğunu, bununla birlikte tortullaşmanında devam ettiğini, volkanik materiyal içinde yer alan makro-mikro fosil içerikli kireçtaşı-marn seviyelerinden anlamaktayız. Bunun örnekleri, Tirebolu ve Rize (Rize formasyonu) yörelerinde belirlendir (Ketin, 1983, Korkmaz ve Gedik, 1988).

Toroslar ve Güneydoğu Anadolu'da, Paleozoyik'den Mesozoyik'e geçiş genellikle sürekli, Mesozoyik'den Senozoyik'e geçiş ise sürekli değildir; arada bir sedimentasyon boşluğu, bir aşınma evresi bulunmaktadır (Baykal, 1974, Ketin, 1983).

Bununda dışında, Türkiye'de, Maestrichtiyen sonu Laramyen orojenik fazının, Bornova-İzmir (Özer ve İrtım, 1982), Çünür-Isparta (Karaman ve diğr., 1988), Tuzgölü havzası (Oktay ve Dellaloğlu, 1987), Ereğli-Konya (Pampal ve Meriç, 1990), Abant-Yeniçağ (Öztürk ve diğr., 1984) ve Baskıl-Aydınlar-Elazığ (Turan, 1984) yörelerinde olduğu gibi, Kretase-Paleosen sınırlarında genel bir uyumsuzluk oluşturduğu söylenebilir.

Armutlu yarımadası (Bargu ve Sakınç, 1987) Sakarya bölgesi (Saner, 1978), Tecer ve Gürlevik Dağları-Sivas (İnan ve İnan, 1987, 1990) ve Şarkışla (Gökten, 1983) gibi bazı yüzleklerde, Paleosen sonu Anadolu orojenik fazı etkisiyle kıvrımlar olmuş ve Eosen, Paleosen üzerinde uyumsuzlukla yer almıştır. Adiyaman (Meriç, 1987, Meriç ve diğr., 1987), Adana-Saimbeyli (Tutkun, 1984) ve Haymana (Ünalan ve diğr., 1976, Toker, 1980, Sirel ve diğr., 1986) gibi bazı bölgelerde ise, Paleosen-Eosen geçiği uyumlu, derecelidir. Tekman-Karayazı, Muş-Hınıs havzalarında (Kurtman ve Akkuş, 1971), Eşil-Erzincan-Karhova-Bingöl yöresinde (Tutkun, 1986), Erzurum-Aşkale-Tortum yöresinde (İnan, 1988), Gürün-Sivas yöresinde (Kurtman, 1978) ve Fethiye'den Antalya'ya kadar olan bölgede (Martin, 1969) olduğu gibi bazı kesimlerde de, Alt-Orta Eosen, Tersi-

**Sekil 7 : Türkiye'de Polisten İllüstratiflere Ortak Sınır.**

Sekil 7 : Tühiyede Paleosen İlaçlarigrasının otl çalımları.

Lindnerhütte, mitten in der Bergwelt.

Wyomaazia  
(Disconformity)

57

110

Die Ergebnisse der Untersuchungen sind in Tabelle 1 zusammengefaßt.

卷之三

yer'den yaşlı formasyonları açısal uymazlıkla örtmiş ve Paleosen stratigrafik boşluğa karşılık gelmiştir. Bu durumu, Laramyen orojenik fazı sonucunda genel bir yükselmeye kara haline gelen bölgelerin, ancak büyük Eosen transgresyonuyla tekrar deniz etrafından işgal edilmesine bağlayabiliriz (Şekil 7).

### Biyo ve Kronostratigrafik Sonuçlar

Derin denizel ortamla temsil olunan Paleosen yüzleklерinde, Aya (İstanbul) yoresi (Tansel, 1989), Devrek ve Bartın (Dizer, 1971, Dizer ve Meriç, 1980-81), Kastamonu (Aydin ve diğr., 1986), Bornova-İzmir (Özer ve İrem, 1982), Bolu-Göynük (Meriç ve Şengüler, 1986), Yahşihan (Gökçen, 1977), Paşadağ-Aladağ (Tuzgölü kuzeyi) yoresi (Şahbaz ve Köksal, 1985), Şarkışla (Gökten, 1983) ve Adiyaman (Meriç, 1987, Meriç ve diğr., 1987) yorelerinde olduğu gibi, plankton foraminiferler, nannoplanktonlar ve ostrakodlara göre biyozon ayırimının genellikle iyi yapılmış olduğunu görürüz.

Neritik ortamla temsil olunan yüzleklерde, Yenişehir, Bilecik, Göynük ve Kastamonu yoreleri (Dizer ve Meriç, 1980-81), Haymana-Polatlı (Sirel, 1976, Gökçen, 1977, Sirel ve diğr. 1986) ve Adiyaman yoresindeki (Meriç, 1987, Meriç ve diğr. 1987) birkaç çalışmanın dışında, bentik foraminiferlere göre biyozon ayırimının eksik olduğunu görüyoruz.

Kelkit Vadisi (Seymen, 1975), Bolkardağı Birliği (Özgül, 1976), Bornova-İzmir (Yağmurlu, 1980) ve Tuzgölü Havzasında (Oktay ve Dellaloğlu, 1987) olduğu gibi, bazı çalışmalarında, yaşı vermenin, stratigrafik konuma göre yapıldığını; Ereğli-Zonguldak (Baykal, 1974), Daday-Devrekani (Yılmaz, 1980), Yiğilca (Görmüş, 1982) ve Mengen-Bolu (Cerit, 1984) yorelerinde olduğu gibi bazı çalışmalarında ise, kronostratigrafik birimlerin, Paleosen olarak seri bazında bırakıldığını, kat ayırimının yapılmadığını, böylece paleontolojik verilerin zorlanmadığını görüyoruz.

Türkiye'de yapılan çalışmalarla, Paleosen serisinin genellikle, Daniyen ve Monsiyan katlarının Alt, Tanesiyen katının Üst olarak belirtilmesiyle ikiye bölünerek incelendiğini saptıyordu. Daniyen katının kronostratigrafik konumunu tartışmalı olduğu dönemlere ait çalışmalarla (Dizer, 1968) Paleosen; Monsiyan katının Alt, Tanesiyen ve Sparasiyen katının Üst olarak belirtilmesiyle ikiye ayrılarak incelenmiştir. Ayrıca Daniyen katının Alt (Erken), Monsiyan katının Orta, Tanesiyen katının Üst (Geç) olarak belirtildiği çalışmalar (Toker, 1980, Şahbaz ve Köksal, 1985, Kaya ve diğr., 1986, Tansel, 1989) ve Paleosen Baş-Orta-Sonu

olarak belirtilen çalışmalar (Kaya ve Dizer, 1980-81) mevcuttur.

### KARŞILAŞTIRMA

Güney Pirene Havzasının (İspanya) Paleosen'inde, tabanda, karasal ve lagüner özellikteki Garumniyen fasiyesini, tavanda lagüner ve siğ denizel özellikteki seviyeler izler. Bu seviyelerde, bentik foraminiferlere göre, Tanesiyen'de, *Alveolina (Glomalveolina) primaeva* ile *Alveolina (Glomalveolina) levii*; İllerdiyen'de, *Alveolina cucumiformis* ile *Alveolina ellipsoidalis* biyozonları tesbit edilmiştir (Şekil 2-5). Bentik foraminifer içeriği, Güney Pireneler Paleosen'ine çok benzeyen Haymana-Polatlı havzasında, Kartal formasyonunun alt seviyeleri, Garumniyen fasiyesinin karşılığı olarak gösterilmiştir (Sirel, 1976, Sirel ve diğr., 1986). Sakarya (Demirkol, 1977, Saner, 1978) ve Gemlik-Bursa (İlhan, 1976) yorelerinde, Üst Kretase-Üst Tanesiyen arasında görülen karasal ve lagüner fasiyeler; Bolkardağı birligi (Özgül, 1976), Sason-Baykan grubunda (Özkaya, 1974) ve Anadolu'da (Malatya, Sivas, Tokat, Kastamonu yorelerinde olduğu gibi) yaygın olarak gözlenen kırmızı seriler, Garumniyen fasiyesinin karşılığı olabilir.

Güney Pirene Havzasının Paleosen tip ve yardımcı kesitlerinde *Alveolina* türlerinin egemen olduğunu görüyorum (Şekil 2-5). Türkiye'de benzer durum sadece, Haymana-Polatlı havzasında mevcutdur (Şekil 8). Türkiye Paleosen'inde, tabanda (Daniyo-Monsiyan) *Laffitteina* ve *Scandonea*; tavanda (Tanesiyen) *Miscellanea* ve *Discocyclina* türleri dikkat çekicidir.

İlk kez, 1971'de İtalya'da De Castro tarafından, Turoniyen-Maestrihiyen yaşında tesbit edilen *Scandonea* cinsi; Torosların, Sultan Dağları, Bey Dağları, Geyik Dağı ve Kırdağ kesimlerinde Üst Kretase yaşı tortullarda, Orta Anadolu'da ise Çaldağ kireçtaşının (Haymana-Polatlı) Daniyo-Monsiyan yaşı *Laffitteina bibensis* zonunda (Meriç, 1984, 1987), Tanesiyen'de ise, *Pseudolacazina oeztemueri* ve *Bolkarina aksarayı* ile birlikte bulunur. (Sirel ve diğr., 1986). Tecer formasyonunda da *Laffitteina mengaudi* ve *Orduina erki* ile birlikte Daniyo-Monsiyan yaşında gösterilmiştir (İnan, 1987, İnan ve İnan, 1987). *Laffitteina bibensis* Kuzeybatı Anadolu'da Gebze, Akçakoca, Devrek, Bartın hattında, Orta Paleosen'de ayırtedilmiştir (Dizer ve Meriç, 1980-81) Haymana Havzasında ise, bu zonun Daniyen'e indiği belirtilmiş (Meriç ve Tansel, 1987), bir başka çalışmada da, *Laffitteina mengaudi*, *Orduina aff. erki canica* biyozonu Monsiyan'de, *Laffitteina mengaudi*, *Scandonea aff. samnitica* biyozonu Alt Tanesiyen'de tesbit edil-

mişti (Sirel ve diğr., 1986).

Miscellanea miscella zonu, Tanesiyen yaşı plankton zonlarının karşılığı olarak gösterilmiştir (Meriç, 1987). Tanesiyen'in üst seviyelerinde Miscellanea aff. minuta zonu (Sirel ve diğr., 1986) ve Discocyclina scunesi zonu (Dizer ve Meriç, 1980-81) belirtilmiştir.

Mısır (Hottinger, 1960), İsviçre (Schaub, 1951), Yugoslavya (Drobne, 1979, Drobne ve Pavlovec, 1979) ve İspanya-Güney Pirenelerde yapılan tüm çalışmalarla (Colombo ve Caus, 1984, IGCP N. 286, 1990), Daniyo-Monsiyanın Alt, Tanesiyen'in Orta ve İlerdiyen'in Üst Paleosen olarak kullanıldığını, Türkiye'de ise, Haymana-Polatlı havzası (Sirel, 1976, Sirel ve diğr., 1986, Gökçen, 1977) ve Şarkışla yöresinde (Gökten, 1983) yapılan birkaç çalışma dışında İlerdiyen katının kullanılmadığını/yada stratigrafik boşluğa karşılık geldiğini görüyoruz (Şekil 8). Tanesiyen istifinin üzerinde transgressif bir fazı işaret eden, sig denizel kireçtaşlarıyla temsil olunan İlerdiyen katı, ilk kez Tremp kesitinde (Güney Pireneler-İspanya, Şekil 1), Hottinger ve Schaub (1960) tarafından tanıtılmıştır. Tüm Pirene silsilesinde de kolaylıkla izlenebilir. İtalya, İsviçre, Yugoslavya'da geniş yüzlekleri olduğu belirtilen (IGCP N. 286, 1990) bu katın, Türkiye'de de daha yaygın yüzleklerde tespiti beklenmelidir.

## KATKI BELİRTME

Yazar, IGCP N. 286 projesi çerçevesinde, UNESCO burslu olarak, İspanya-jaca toplantısına katılması sağlayan, proje başkanı Sayın Prof. Lukas HOTTINGER'e makalenin yazımı sırasında yapıçı eleştiri ve önerileri için, Sayın Prof. Dr. Engin MERİÇ'e teşekkür eder.

## DEĞİNİLEN BELGELER

Altunlu, E., 1968, İzmit-Hereke-Kurucadağ alanının jeoloji incelenmesi: M.T.A. Dergisi, 71, 1-26.

Altunlu, E., 1975, Orta Sakarya jeolojisi ve Bilecik Jurası: 50.Yıl Tebliğleri, M.T.A. Yayımları.

Arikan, Y., 1975, Tuz gölü havzasının jeolojisi ve petrol imkanları: M.T.A. Dergisi, 85, 17-37.

Aydın, M., Şahintürk, Ö., Serdar, H.S., Özçelik, Y., Akarsu, I., Üngör, A., Çokuğraş, R., Kasar, S., 1986, Ballıdağ-Çanğaldağı (Kastamonu) arasındaki bölgenin jeolojisi: T.J.K.Bül., 29/2, 1-17.

Barbu, S. ve Sakınç, M., 1987, Armutlu yarımadasında Krestase-Paleosen ilişkisi: T.J. Bülteni, 30/2, 41-

48.

- Baykal, F., 1974, Türkiye'de Kretase: Historik Jeoloji, 305-340.
- Bignot, G., 1987, Les Paléoenvironnements et les paléogeographies du bassin de Paris. Au Danien, d'après les foraminifères du mont aimé (Marne, France): Revue de Micropaleontologie, 30/3, 150-177.
- Cerit, O., 1984, Mengen (Bolu KD) yöreninin jeolojik incelemesi. I:Litostratigrafi birimleri: Yerbilimleri, Hac. Üniv. Yerbilimleri Ens. Bült., 11, 75-89.
- Colombo, F. ve Caus, E., 1984, El Terciario inferior marino (Ilerdien) del cap de salou (Tarragona, NE Espana): Revista Espanola de Micropaleontologia, 16, 367-380.
- Coşkun, B., 1978, Sinop-Ayancık dolaylarında çökeller ve paleoakıntılar: Türkiye Dördüncü Petrol Kongresi, 127-132.
- Demirkol, C., 1977, Üzümli-Tuzaklı (Bilecik) dolayının jeolojisi: T.J.K. Bülteni, 20/1, 9-16.
- Demirtaşlı, E., Bilgin, A.Z., Erenler, F., Işıkalar, S., Şanlı D.Y., Selim, M. ve Turhan, N., 1973, Bolkardağının jeolojisi: Cumhuriyetin 50. yılı Yerbilimleri Kongresi, Ankara, s.42-57.
- Dizer, A., 1965, Sur quelques alvolines de l'Eocene de Turquie: Revue de Micropaleontologie, 7/4, 265-279.
- Dizer, A., 1968, Etude Micropaléontologique du Nummulitique de Haymana (Turquie): Revue de Micropaleontologie, 11/1, 13-21.
- Dizer, A., 1971, La limite Crétacé -Tertiaire dans le bassin N.E. de la Turquie: Revue de Micropaleontologie, 14/5, 43-47.
- Dizer, A. ve Meriç, E., 1980-81, Kuzeybatı Anadolu'da Üst Kretase-Paleosen Biyostratigrafisi: M.T.A. Ens. Derg., 95/96, 149-164.
- Drobne, K., 1979, Paleogene and Eocene beds in Slovenia and Istria: 16 th European Micropaleontological colloquium, 49-61.
- Drobne, K., ve Pavlovec, R., 1979, Exursion K, Golez-Paleocene, Ilerdian, Cuisian: 16 th European Micropaleontological colloquium, 217-224.
- Ehrenberg, C., 1839, Die Infusionthierchen als vollkomme-

- ne Organismen: 547 p. atlas, 64 pl., Leipzig.
- Eroskay, S.O., 1965, Paşalar Boğazı-Gölpazarı sahasının jeolojisi: İ.Ü. Fen Fakültesi Mecmuası, 3-4.
- Gökçen, N., 1977, Irmak-Hacıbalı-Mahmutlar-Ankara-Yahışhan Üst Kretase-Paleojen istifisinin biyostratigrafik incelemesi: Yerbilimleri. H.Ü. Yerbilimleri Enstitüsü Yayın Organı, 3/1-2, 129-145.
- Gökçen, S.L., 1977, Ankara-Haymana güneyinin sedimentolojik incelemesi III: Bölge tortullaşma modeli ve paleocoğrafya: Yerbilimleri. H.Ü. Yerbilimleri Enstitüsü Yayın Organı, 3/1, 13-24.
- Gökten, E., 1983, Şarkışla (Sivas) güney-güneydoğusunun stratigrafisi ve jeolojik evrimi: T.J.K. Bülteni, 26/2, 167-177.
- Görmüş, S., 1982, Yığılca (Bolu KB) yörensinin stratigrafisi: Yerbilimleri Hac. Üniv. Yerbilimleri Ens. Bült., 9, 91-110.
- Hottinger, L., 1960, Rechercher sur les Alvéolines du Paléocène et de l'Eocene:Texte (I) et Atlas (II). Schweiz. Pal. Abh. (Mém. Suisses Pal.), 75/76, 135p., Basel.
- Hottinger, L. ve Schaub, H., 1960, Zur Stufeneinteilung des Paleocaens und des Eocaens. Einführung der Stufen Ilerdien und Biarritizien: Ecl. Geol. Hevl.53, 453-480.
- IGCP Project N.286, 1990, Early Paleogene Benthos, Introduction to the Early Paleogene of the South Pyrenean Basin. Field-Trip Guidebook: Instituto Tecnológico Geo Minero de España, First Meeting, Jaca (Spain).
- İnan, N. ve İnan S., 1990. Gürlevik kireçtaşlarının (Sivas) özellikleri ve önerilen yeni isim. Tecer Formasyonu: T.J. Bülteni,33/1, 51-56.
- İnan, S. ve İnan, N., 1987, Tecer kireçtaşı formasyonunun stratigrafik tanımlaması: C.Ü.Müh.Fak. Dergisi, 4/1, 13-23.
- İnan, S., 1988, Erzurum-Aşkale-Tortum yörensinin tektonik gelişimi: C.Ü.Müh.Fak. Dergisi, 5/1, 37-49.
- Karaman, E., Meriç, E. ve Tansel, İ., 1988, Çünür (İsparta) dolaylarında Kretase-Tersiyer geçisi: Akdeniz Univ., Isparta Müh.Fak.Derg., 4, 80-98.
- Kaya, O. ve Dizer, A., 1981-82, Bolu Kuzeyi Üst Kretase ve Paleojen kayalarının starigrafi ve yapısı: M.T.A. Ens. Derg., 97/98, 57-77.
- Kaya, O., Dizer, A., Tansel, İ. ve Özer, S., 1986, Yığılca (Bolu) alanı Üst Kretase ve Paleojenin stratigrafisi: M.T.A. Derg., 107, 13-33.
- Ketin, İ., 1983, Türkiye Jeolojisine Genel Bir Bakış: İ.T.Ü. Kütüphanesi, sayı 2259, 595 s.
- Korkmaz, S., ve Gedik, A., 1988, Rize-Fındıklı-Çamlıhemşin arasında kalan bölgenin jeolojisi ve petrol oluşumları: J.M.Dergisi, 32-33, 5-15.
- Kurtman, F., ve Akkuş, M.F., 1971, Doğu Anadolu'daki arabenler ve bunların petrol olanakları: M.T.A. Dergisi, 77.
- Kurtman, F., 1978, Gürün bölgesinin jeolojisi ve tektonik özellikleri: M.T.A. Dergisi, 91, 1-13.
- Leymerie, A., 1968, Récit d'une exploration géologique de la vallée du Segre: Bull. Soc. Géol. France, Tome 23, 550-551.
- Martin, C., 1969, Akseki kuzeyindeki bir kısım Toros'ların stratigrafik ve tektonik incelemesi: M.T.A. Dergisi, 72, 158-176.
- Meriç, E., 1984, Scandonea De Castro (1971)'nın Paleosen'deki varlığı hakkında: T.J.K. Bülteni, 27/1, 41-44.
- Meriç, E., 1987, Adiyaman yörensinin biyostratigrafik incelemesi: Yedinci Petrol Kongresi, 141-153.
- Meriç, E., ve Görür, N., 1979-80, Haymana-Polatlı havzasındaki Çaldağ kireçtaşının yaş konağı: M.T.A. Ens. Derg., 93/94, 137-141.
- Meriç, E., ve Özçelik, O., 1984, Yıldızdağ (Seydişehir-Konya) yörensinin jeolojisi: Akdeniz Univ. Müh.Fak. 3.Müh. Haftası, s.213-219.
- Meriç, E., ve Şengüler, İ., 1986, Göynük (Bolu, KB Anadolu) çevresinde Üst Kretase-Paleosen stratigrafisi üzerine yeni görüşler: J.M. Dergisi, 29, 61-64.
- Meriç, E. ve Tansel, İ., 1987, Haymana havzasında (Orta Anadolu) Laffitteina bibensis zonu'nun stratigrafik yayılımı: C.Ü.Müh.Fak. Dergisi, 4/1, 87-95.
- Meriç, E., Oktay, F.Y., Toker, V., Tansel, İ. ve Duru, M., 1987, Adiyaman yörensi Üst Kretase-Eosen istifisinin sedimanter jeolojisi ve biyostratigrafisi (foraminifer, nannoplankton, ostracod): T.J.K. Bülteni,

- 30/2,19-33.
- Mey, P.W.H., Nagtegeal, P.J.C., Robert, K.J. ve Hartvelet, J.J. A., 1986, Lithostratigraphic subdivision of posthercynian deposits in the southcentral Prenees, Leidse Geol. Mededel., 41,221-228.
- Norman, T., 1972, Ankara-Yahşihan bölgesinde Üst Kretase-Alt Tersiyer istifinin stratigrafisi: T.J.K. Bülteni, 15/2.
- Oktay, F.Y. ve Dellaloğlu, A.A., 1987, Tuzgölü havzası (Orta Anadolu) stratigrafisi üzerine yeni görüşler: Yedinci Petrol Kongresi, 312-321.
- Orbigny, A.D.d', 1826, Tableau méthodique de la classe des Céphalopodes: Ann.Sci.Nat., Paris, 1/7,1-306.
- Özer, S. ve İrtem, O., 1982, Işıklar-Altundağ (Bornova-İzmir) alanı Üst Kretase kireçtaşlarının jeolojik konumu, stratigrafisi ve fasiyes özelliklerini: T.J.K. Bülteni, 25/1,41-48.
- Özgül, N., 1976, Toroslar'ın bazı temel jeoloji özellikleri: T.J.K. Bülteni, 19/1,65-78.
- Özkaya, İ., 1974, Güneydoğu Anadolu Sason ve Baykan yörenin stratigrafisi: M.T.A. Dergisi, 17/1
- Öztürk, A., 1981, Homa-Akdağ (Denizli) yörenin stratigrafisi: T.J.K. Bült. 24/1.
- Öztürk, A., İnan, S. ve Tutkun, Z., 1984, Abant-Yeniçağ (Bolu) yörenin stratigrafisi: C.Ü.Müh.Fak. Derg.Yerbilimleri, 1/1,1-19.
- Pampal, S. ve Meriç, E., 1990, Ereğli (Konya) güneybatısındaki Tersiyer yaşı tortulların stratigrafisi: T.J. Bült., 33/2,39-45.
- Reichel, M., 1937, Etude sur les Alvéolines: Mem.Soc.Paleont. Suisse, Basel, 57-59,1-147.
- Saner, S., 1978, Orta Sakarya'daki Üst Kretase-Eosen çökelleme ilişkileri ve Anadolu'da petrol aramalarındaki önemi: Dördüncü Petrol Kongresi.
- Schaub, H., 1951, Statigraphie und Palontologie des Schlieren flysches mit besonderer Breucksichtigung der Paleocaenen und Untereoceenen Nummuliten und Assinen: Mem. Suisses Paléont. No.68.
- Schwager, P., 1883, Die foraminiferen aus den Eocaenablagerungen der libyschen wüste und Aegyptens: Palaeontographica, Kassel, 30,3f,6.,79-153.
- Seymen, İ., 1975, Kelkit vadisi kesiminde Kuzey Anadolu Fay Zonu'nun tektonik özelliği: Doktora Tezi, İ.T.Ü. Maden Fakültesi.
- Sirel, E., 1972, Paleosen'de Fabularia ve Kathina'ya ait yeni türlerin etüdü: T.J.K. Bülteni, 15/2.
- Sirel, E., 1976, Polatlı (GB Ankara) güneyinin stratigrafisi; T.J.K. Bült., 18/2
- Sirel, E., 1976, Polatlı (GB Ankara) güneyinde bulunan Alveolina, Nummulites, Ranikothalia ve Assilna cinslerinin bazı türlerinin sistematik incelemeleri: T.J.K. Bülteni, 19/2,89-103.
- Sirel, E., 1981, Bolkarina new genus (Foraminiferida) and some associated species from the Thanetian limestone (Central Turkey). Ecl. Geol. Helv., 74/1,75-95.
- Sirel, E., Dağer, Z. ve Sözeri, B., 1986, Some biostratigraphic and Paleographic observations on the Cretaceous/Tertiary boundary in the Haymana-Polatlı region (Central Turkey): Global Bio Events. Lecture Notes Earth Sciences, 8,385-396.
- Şahbaz, A. ve Köksoy, M., 1985, Paşadağ-Aladağ (Tuzgölü Kuzeyi) yöreni Paleojen yaşı tortul istifinin stratigrafik ve tektonik inceelenmesi: Yerbilimleri, Hac.Üniv.Yerbilimleri Uyg. ve Araştır. Bült., 12,1-17.
- Tansel, İ., 1989, Ağva (İstanbul) Yöresinde Geç Kretase-Paleosen sınırı ve Paleosen Biyostratigrafisi: T.P.J.D. Bülteni, 1/3,211-229.
- Terlemez, İ. ve Yılmaz, A., 1980, Ünye-Ordu-Koyulhisar-Reşadiye arasında kalan yörenin stratigrafisi: T.J.K. Bülteni, 23/2,179-192.
- Toker, V., 1980, Haymana Yöreni (GB Ankara) Nannoplankton biyostratigrafisi: T.J.K. Bült., 23/2, 165-169.
- Tuna, D., 1978, Altıncı Bölge lithostratigrafi birimleri adlanmasının açıklayıcı raporu: Dördüncü Petrol Kongresi.
- Turan, M., 1984, Baskıl-Aydınlar (Elazığ) yörenin stratigrafisi ve tektoniği. Doktor Tezi (Yayınlanmadı).
- Tutkun, Z., 1984, Saimbeyli (Adana) yörenin startigrafisi: C.Ü.Müh.Fak.Dergisi, 1/1,31-43.

Tutkun, Z.,1986, Eşil (Erzincan) ile Karlıova (Bingöl) arasındaki Kuzey Anadolu Fay Zonu'nun sistematığı:C.Ü.Müh.Fak.Dergisi,3/1,15-27.

Uygun, A.,1981, Tuzgölü Havzasının bir bölümünün jeofizik yorumu:M.T.A.Derg.,85,38-44.

Ünalan, G., Yüksel, V., Tekeli, T.,Gönenç, O.,Seyirt, Z. ve Hüseyin, S.,1976, Haymana-Polatlı yörensinin (GB Ankara) Üst Kretase-Alt Tersiyer stratigrafisi ve paleocoğrafik evrimi:T.J.K.Bült.,19/2, 115-168.

Yağmurlu, F.,1980, Bornova (İzmir) güneyi fliş topluluklarının jeolojisi:T.J.K.Bülteni,23/2,141-152.

Yılmaz, O.,1980, Daday-Devrekani masifi kuzeydoğu kesimi lithostratigrafi birimleri ve tektoniği:Yerbilimleri, Hac.Üniv.Yerb.Ens.Bült.,5-6,101-135.

**Levhə I****Alveolina (Glomalveolina) primaeva Reichel**

Şekil 1- Ekvatoryale parelək kesit, Tena 2.

Şekil 2- Ekvatoryal kesit, Tena 2.

Şekil 3-4- Eksenel kesitler, Tena 2.

Şekil 5- Eğik kesit, Tena 2.

**Alveolina (Glomalveolina) levis Hottinger**

Şekil 6-7- Eksenel kesitler, Salvatierra 5.

Şekil 8- Ekvatoryal kesit, Salvatierra 5.

Şekil 9-10- Ekvatoryale parelək kesitler, Salvatierra 5.

**Alveolina pasticillata Schwager**

Şekil 11-12- Eğik kesitler, Tena 2.

**Plate I****Alveolina (Glomalveolina) primaeva Reichel**

Figure 1- Section parallel to equatorial section, Tena 2.

Figure 2- Equatorial section, Tena 2.

Figure 3-4- Axial section, Tena 2.

Figure 5- Tangential section, Tena 2.

**Alveolina (Glomalveolina) levis Hottinger**

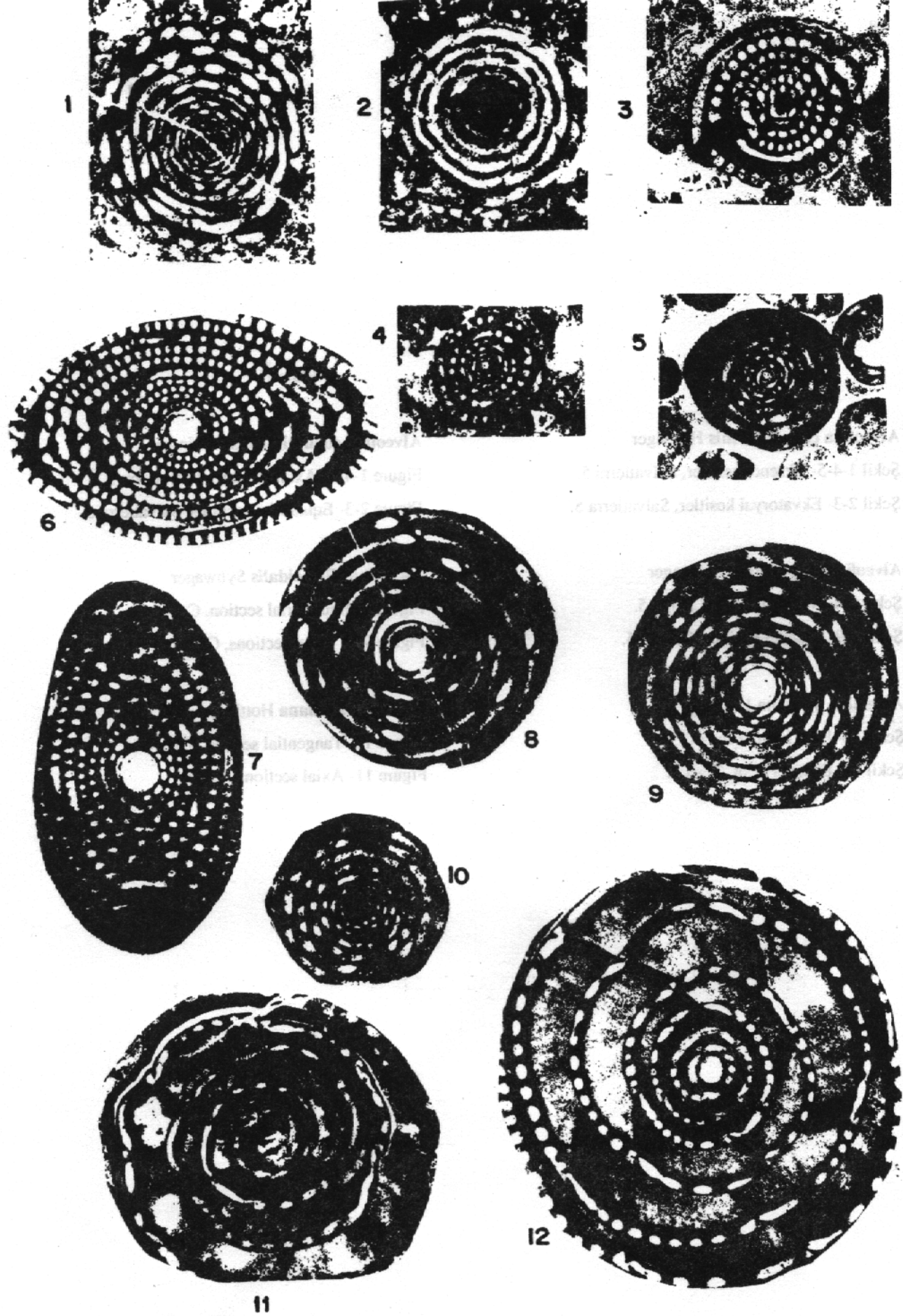
Figure 6-7- Axial sections, Salvatierra 5.

Figure 8- Equatorial section, Salvatierra 5.

Figure 9-10- Sections parallel to equatorial sections, Salvatierra 5.

**Alveolina pasticillata Schwager**

Figure 11-12- Tangential sections, Tena 2.



**Levhə II**

**Alveolina cucumiformis Hottinger**

Şekil 1-4-5- Eksenel kesitler, Salvatierra 5.

Şekil 2-3- Ekvatoryal kesitler, Salvatierra 5.

**Alveolina ellipsoidalis Schwager**

Şekil 6- Ekvatoryal kesit, Campo 5.

Şekil 7-9- Eksenel kesitler, Campo 5.

**Alveolina avellana Hottinger**

Şekil 10- Eğik kesit, Tena 4.

Şekil 11- Eksenel kesit, Tena 4.

**Plate II**

**Alveolina cucumiformis Hottinger**

Figure 1-4-5- Axial sections, Salvatierra 5.

Figure 2-3- Equatorial sections, Salvatierra 5.

**Alveolina ellipsoidalis Syhwager**

Figure 6- Equatorial section, Campo 5.

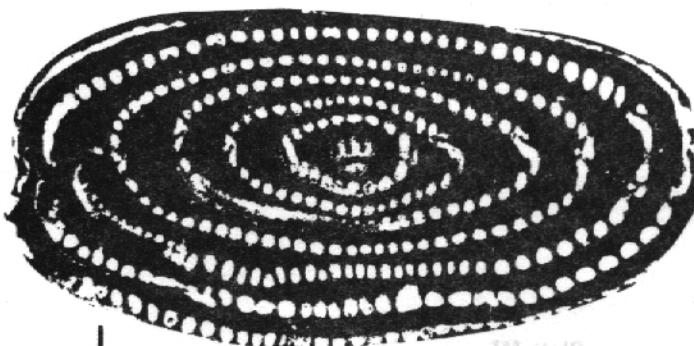
Figure 7-9- Axial sections, Campo 5.

**Alveolina avellana Hottinger**

Figure 10- Tangential section, Tena 4.

Figure 11- Axial section, Tena 4.

0.25 mm.



1

2

3

4

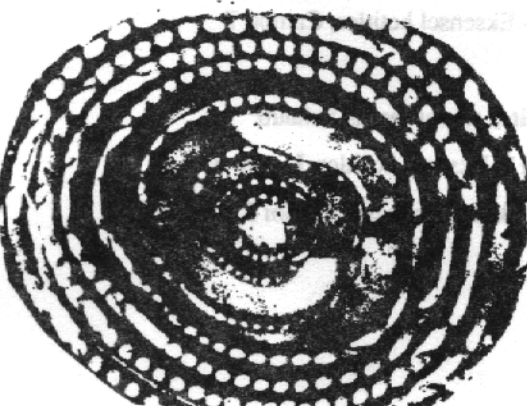
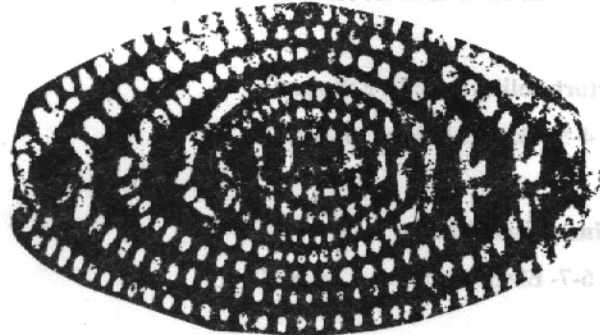
5

6

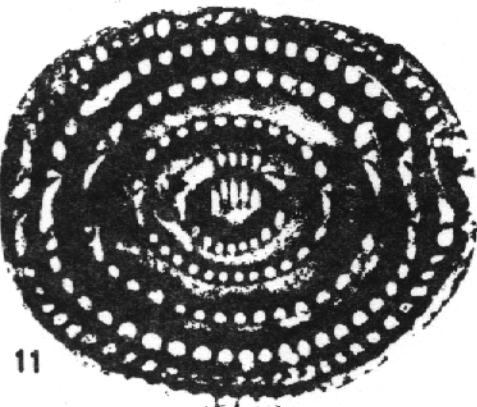
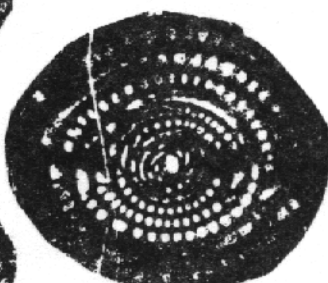
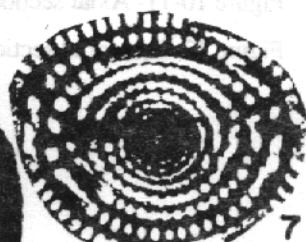
8

9

11



10



**Levhə III**

**Alveolina aff. aramaea Hottinger**

Şəkil 1-3- Eksenel kesitlər, Salvatierra 5.

**Opertorbitolites gracilis Lehmann**

Şəkil 4-5- Eksenel kesitlər, Salvatierra 5.

**Assilina prisca Schaub**

Şəkil 6-7- Eksenel kesitlər, Campo 7.

**Nummulites aff. praecursor de la Harpe**

Şəkil 8-9- Eksensel ketütlər, Campo 7

**Nummulites minervensis Schaub**

Şəkil 10-11- Eksenel kesitlər, Urrobi 5.

Şəkil 12- Ekvatoryal kesit, Urrobi 5.

**Plate III**

**Alveolina aff. aramaea Hottinger**

Figure 1-3- Axial sections, Salvatierra 5.

**Opertorbitolites gracilis Lehmann**

Figure 4-5- Axial sections, Salvatierra 5.

**Assilina prisca Schaub**

Figure 6-7- Axial sections, Campo 7.

**Nummulites aff. praecursor de la Harpe**

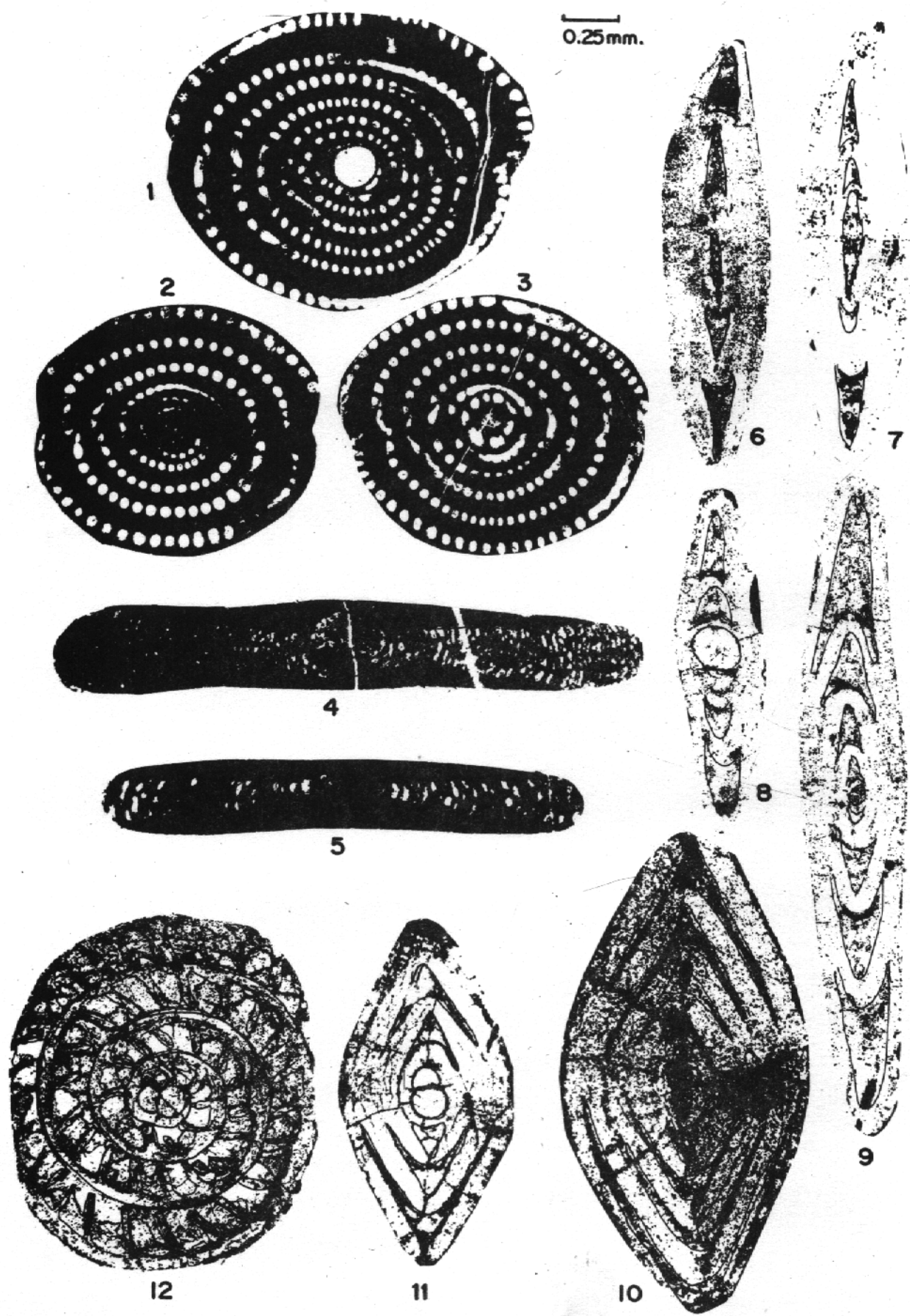
Figure 8-9- Axial sections, Campo 7.

**Nummulites minervensis Schaub**

Figure 10-11- Axial sections, Urrobi 5.

Figure 12-Equatorial section, Urrobi 5.

0.25 mm.



## KUŞDİLİ (KADIKÖY-İSTANBUL) KUVATERNER'İNİN SEDİMENTER JEOLOJİSİ VE PALEOEKOLOJİSİ

Sedimentary geology and palaeoecology of Kuşdili (Kadıköy-İstanbul) Quaternary

Engin MERİÇ İ.Ü. Jeoloji Müh. Böl., İstanbul

Fazlı Y. OKTAY İ.T.Ü., Jeoloji Müh.Böl., İstanbul

Mehmet SARKINÇ, İ.T.Ü., Jeoloji Müh.Böl., İstanbul

Dincer GÜLEN, İ.Ü., Biyoloji Böl., İstanbul

Volkan Ş. EDİGER, T.P.A.O., Araştırma Merkezi, Ankara

Nurettin MERİÇ, İ.Ü., Biyoloji Böl., İstanbul

Mehmet ÖZDOĞAN, İ.Ü., İlk Çağ Tarihi Böl., İstanbul.

**ÖZ :** İstanbul çevresinin önemli alüvyon çökelme alanlarından birisini teşkil eden Kuşdili Çayırlı'nda (Kadıköy-İstanbul) yapılan iki sondajdan elde edilen verilere göre; yöre Kuvatner'i birbirini izleyen üç ayrı evrede meydana gelen gravite faylanması sonucu gelişmiş üç ayrı sedimentasyon devresi şeklindedir. Kalınlıkları kendi aralarında farklı olan bu devresel çökeller, ortamsal açıdan genellikle karasal fasyelerle (akarsu) başlar ve havza tabanının çökelmesi koşut olarak, önce akarsu ağızı, sonra da, kısıtlı sıç denizel koşulları yansitan çökellerle son bulur.

İnceleme alanı tip mevkii olarak kabul edilerek bu çökeller tarafımızdan "Kuşdili Formasyonu" şeklinde adlandırılmıştır.

Akarsu fasyeslerinin üstünde izlenen çamurlar içinde, lagün tipi bir acısu ortamına açılan akarsu ağızı paleoekolojik koşullarını yansitan bir fauna ve flora mevcuttur. Devrelerin en üst kesimlerinde bu koşulların giderek yine kısıtlı sıç denizel koşullara geçtiği fosil içeriklerinin değerlendirilmesiyle anlaşılmıştır.

Üçüncü devrenin sıç denizel koşullarda çökeliş üst kesimi, fazla sayıda *Massilina secans* d'Orbigny'in bulunduğu bize, inceleme alanının Geç Holosen'de kumlu çamurdan yapılmış ve yosun örtüsü ile kaplı bir zemini olan, indirgeyici koşullarda ve düşük enerjili bir denizle kaplı bulunduğu göstermektedir.

**ABSTRACT :** In Kuşdili Alluvium (Kadıköy-İstanbul), the Quaternary deposits are formed by three successive sedimentary cycles developed within a trough formed by three successively occurred phases of gravity faulting. These cycles with varying thicknesses start with continental facies (fluviaatile), continue with rivermonth's muds, and end by shallow-marine muds.

The Quaternary sequence is designated here as "Kuşdili formation".

From the ecological point of view, fauna and flora of the muds above the continental facies of the cycles reflect the river-mount conditions opening into a clastic brackish-water environment. The uppermost parts indicate the protected, low-energy shallow-marine conditions.

Abundance of *Massilina secans* d'Orbigny within the shallow-marine of the third cycle indicates the sandy mud bottom conditions with a thick seaweed cover during the Late Holocene.

GİRİŞ

Kocaeli yarımadasında önemli alüvyal sahalardan birisi olan Kuşdili Çayırlı alüyyonları içinde TORNO Şirketi ve D.S.İ. tarafından açılmış iki sondajdan elde edilen verilere göre, yörenin Geç Kuvaterner'deki gelişimi yorumlanmaya çalışılmıştır.

Sondajlardan SK-1 Torna Şirketi tarafından Kalamış'ta SPT-1 ise, D.S.I. tarafından Fenerbahçe Stadı yanında açılmıştır (Şekil-1).



### **Şekil 1. Yer bulduru haritası**

**Figure 1.** Location map.

Çalışmalar sondaj koratlarının incelenmesi ve sedimentolojik tanımlamalar ile başlamış ve gerek duyulan derinliklerden çeşitli örnekler derlenmiştir. İkinci etapta örneklerin faunal ve floral içerikleri saptanmıştır. Sonuçta elde edilen bilgiler sedimentolojik ve paleontolojik açıdan yorumlanarak bölgenin Holosen'deki jeolojik evrimi aydınlatılmaya çalışılmıştır.

Ayrıca, bölge'de Fikirtepe yerleşim alanında önceki yıllarda saptanmış olan Neolitik Devir'e ilişkin bulgular da yöre paleocoğrafyasının yorumlanmasıında kullanılmıştır.

# **STATİGRAFİ-SEDİMANTER JEOLOJİ VE PALEOEKOLOJİ**

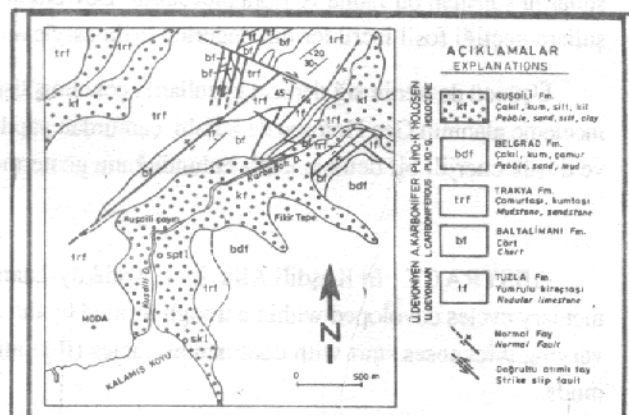
Araştırmaya konu olan alüvyal saha günümüzde Kalamış Koyu ve Kurbağlıdere mansabı ile sınırlı olup, Fenerbahçe Stadı'nın 100 m kuzeyine kadar, K-G yönlü uzanan ve yaklaşık 500 m genişlikli bir şerit oluşturmaktadır (Şekil-2). Sözkonusu alan, Söğütlüçeşme Gari'ndan kuzeydoğu'ya doğru gittikçe daralarak doğuya yönelir.

Yapılan çeşitli sondajlara göre; Kırbağlıdere manzabında alüvyon kalınlığı 38.5, Fenerbahçe Stadı batısında 24 m, Söğütlüçeşme Garı çevresinde ve Kırbağlıdere batısında ise 29.5 m kadardır (Tezcan ve diğ., 1974). Çökel kalınlığı memba tarafına doğru gittikçe azalarak Kozyatağı çevresinde 3-4 metreye kadar düşmektedir.

İstanbul çevresinde ilk kez ayrıntılı olarak Kuşdili Çayı'nda incelenen Holosen istifi, bu çalışmada "Kuşdili foramsiyon" olarak tarafımızdan ayırtlanmış ve adlanmıştır.

Yörede, temeli Paleozoyik istifinin Üst Devoniyen yaşı yumrulu kireçtaşları (Büyükada Fm., Kaya, 1971 ve 1973; Tuzla Fm., Önalan, 1982 ve 1989), Alt Karbonifer yaşı liditler (Baltalimanı Fm., Kaya, 1973) ve yine Alt Karbonifer yaşı şeyl-kumtaşı arası (Trakya Fm., Kaya, 1971 ve 1973) meydana getirmiştir.

Torno Kalamış SK-1 sondajından elde edilen verilere göre, bölgedeki genç gravite faylanmasıyla ilişkili oluşan havzada Holosen istifi genelde devresel gelişmiş olup, sarsımsı kahve-boz renkli kumlu çamurla başlar. Belirgin bir tabakalanma göstermeyen bu litoloji içinde yerel olarak, hemen hemen tümüyle köşeli ve orta-kaba kum boyutlu kuvards kumlarından oluşan mercekler ve ince çakılı zonlar izlenmiştir (Şekil-3). Üste doğru çamurun rengi yoğun organik madde içeriği nedeniyle yer yer siyahımsı griye dönmektedir. Özellikle bu kesimlerde ve bazı düzeylerde mollusk kavkı ve kavkı parçaları mevcuttur (Şekil-3). Ayrıca, tabanda yerel piritleşmiş kavkı ve pirit kristali parçaları da izlenmektedir.



**Sekil 2. Çalışma alanı jeolojî haritası**

Figure 2. Geological map of the studied area

Bu devre içinde çeşitli derinliklerden alınan örneklerde foraminiferlerden **Ammonia beccarii** (Linné), **Elphidium, crispum** (Linné), **E.tumidum** Natland, **Astrononion sidebottoomi** Cushman, Edwards, **Aubignyniana perlucida** (Heron-Allen-Earland); ostrakod'lardan ise, **Cyprideis**

*torosa* (Jones), *Cythereis* sp., *Carinocythereis* sp., *Loxoconcha* sp., *Xestoleberis* sp. ve vermesler gözlenmiş olup, istifin taban kesiminde 28. metreye kadar *Cyprideis torosa* (Jones) egemendir.

Özellikle 27. metrenin üstündeki siyah renkli çamurlar içinde, sığ denizel ortamı karakterize eden bir faunanın gözlenmiş olması (Şekil-3), geçiş koşullarından (acisu) sığ denizel ortama geçildiğini belgelemektedir. Birinci devre denizel killerle son bulmaktadır (Şekil-3).

Bu devrenin litolojik ve sedimentolojik özellikleri göz önüne alındığında, karasal çökelme ortamının oldukça düşük enerjili olduğu ve hızlı çökme sonucu bölgenin bir geçiş ortamı haline (acisu) dönüştüğü söylenebilir. İstif içinde yerel kum merceklerinin ve çakılı zonların bulunusu, tektonik etkinlikle fiziksel aşınmanın hızlandığını, bu nedenle, kara bölgesinde daha çok ve iri boyutlu terriyen kırmızı türediğini ve akarsularla ortama getirilip çökeltildiğini vurgulamaktadır. Çakılların killer içinde bulunduğu ortam enerjisi düşüklüğünü ve buna bağlı olarak, ortam içindeki yeniden işlenme olaylarının minimum düzeyde olduğunu göstermektedir.

İstifin alt kesiminde pirit kristal parçalarının, piritleşmiş fosil kırtınlarının ve zonlar şeklinde kömürleşmiş bitki parçalarının varlığı, çökelme ortamının kimyasal açıdan zaman zaman indirgeyici hale dönüştüğünü ortaya koymaktadır. Devre içinde yerel organik madde fazlalığı nedeniyle rengin siyaha dönüşmüş olması da bu görüşü kuvvetlendirmektedir.

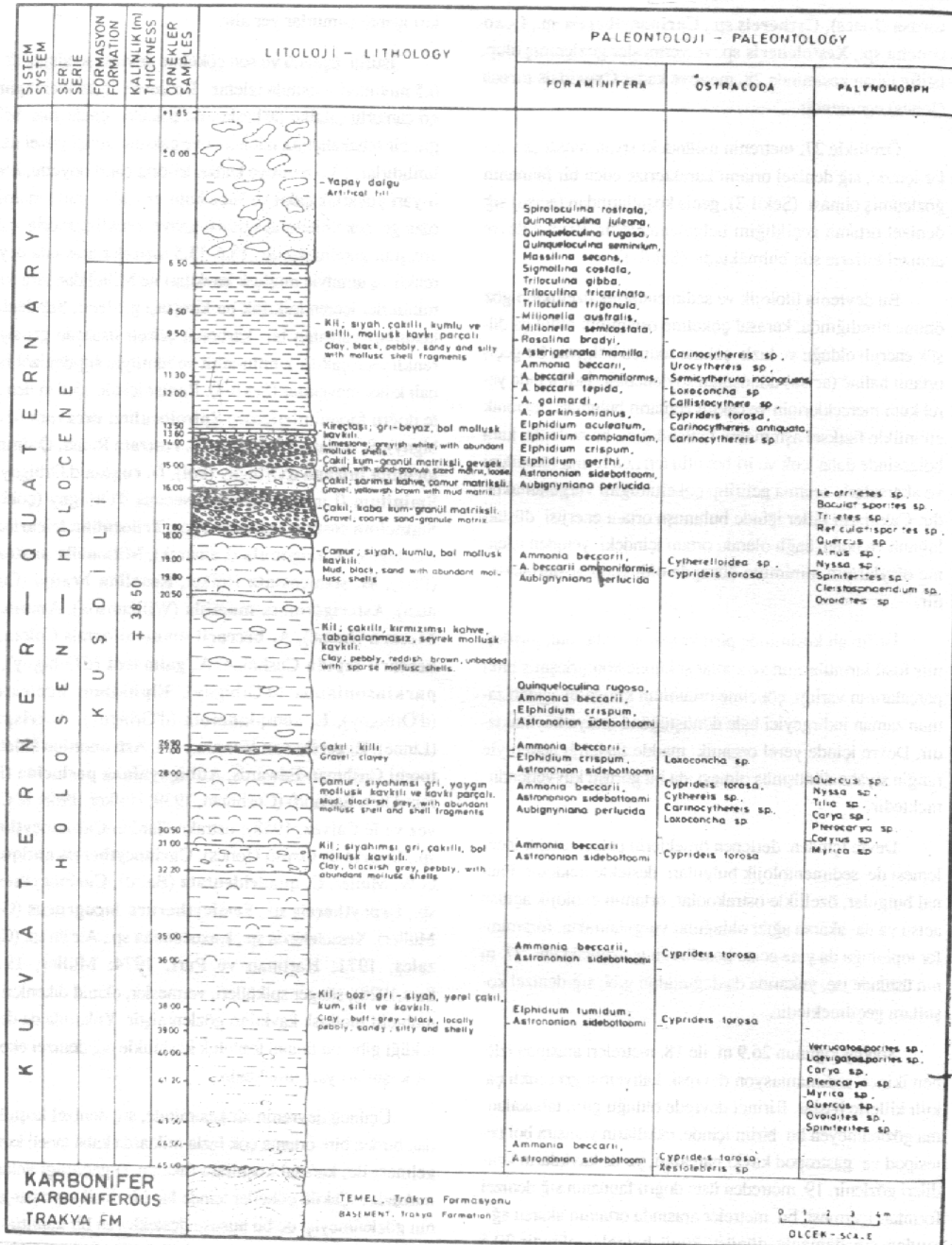
Devre içinden derlenen örneklerin paleontolojik incelemesi de sedimentolojik bulguları desteklemektedir. Faunal bulgular, özellikle ostrakodlar, ortamın ekolojik açıdan acisu ya da akarsu ağızı olduğunu vurgulamakta, foraminifer topluluğu da yine acisu koşullarını yansımaktadır. 27. mının üstünde ise, yukarıda da dephinildiği gibi, sığ-denizel koşullara geçilmektedir.

Sondaj logunun 26.9 m. ile 18. metreleri arasında izlenen ikinci sedimentasyon devresi, kahvemsi gri renkli çakılı killerle başlar. Birinci devrede olduğu gibi, tabakalanma gözlenmeyen bu birim içinde, çakılların yanısıra bol pelesipod ve gastropod kavkı parçaları, ya da kavıkların kendileri gözlenir. 19. metreden üste doğru faunanın sığ denizel formları içermesi, bu metreler arasında ortamın akarsu ağızından sığ denize dönüştüğünü belgelemektedir. 20.5 metreden baylayarak devre içinde üste doğru siyah renkli kumlu ve bol pelesipod ile gastropod kavıkları ya da parça-

ları içeren çamurlar yer alır.

İstifin üçüncü ve son çökelme devresi sondajın 18 ile 6.5 metreleri arasında izlenir. Bu devre de kahverengimsi gri çamurlu çakıllar ile başlar. Bu çökeller içinde yine belirgin bir tabakalanma izlenmez ve çakıllar gelişen güzel dağılmışlardır. 13.6 metreye kadar, iri-orta çakıl boyutlu, köşeli-yarı yuvarlak çakıl ve kaba kum-graniül boyutlu matriksi olan gevşek ünitelerle sarılmış kahve renkli çamurlu çakıl ardışımları geçilmektedir. 13.6-13.5 metreler arasında beyaz renkli ve tümüyle mollusk kavkıları ile Miliolidae türü foraminiferler içeren mikritik bir kireçtaşısı gözlenir. Sığ-denizel koşulları yansitan bu karbonat çökeli üstünde gri-siyah renkli ince çakılı-kumlu-siltli ve tümüyle sığ-denizel faunalı killer mevcuttur (Şekil-3). Bunlar içinde 13.5 m den üste doğru foraminiferlerden *Spiroloculina excavata* (d'Orbigny), *S. ornata* d'Orbigny, , *S. rostrata* Reuss, *Quinqueloculina juleana* d'Orbigny (bol), *D. rugosa* d'Orbigny, *Q. Sminium* (Linné) *Massilina secans* d'Orbigny (çok bol) *Sigmolina costata* Schlumberger, *Triloculina tricarinata* d'Orbigny, *T. trigonula* (Lamarck), *Milionella australis* (Parr), *M. semicostata* Hofker, *Rosalina bradyi* (Cushman), *Asterigerinata mamilla* (Williamson), *Ammonia beccarii* (Linné), *A. beccarii ammoniformis* Colom, *A. beccarii tepida* Cushman, *A. gaimardi* (d'Orbigny), *A. parkinsonianus* (d'Orbigny), *Elphidium aculeatum* (d'Orbigny), *E. complanatum* (d'Orbigny), *E. crispum* (Linné), *E. gerthi* van Voorthuysen, *Astrononion sidebottoomi* Cushman-Edwards, *Aubignyniana perlucida* (Heron-Allen-Earland) (Cushman, 1939; Hofker, 1968; le Calvez ve le Calvez, 1958); ostrakod'lardan *Callistocythere* sp., *Cyprideis torosa* (Jones), *Carinocythereis antiquata* G.W. Müller, *C. quadridentata* (Baird), *Carinocythereis* sp., *Urocythereis* sp., *Semicytherura incogruens* (G.W. Müller), *Xestoleberis* sp., *Loxoconcha* sp., *Aurila* sp. (Gonzales, 1971; Hartman ve Puri, 1974; Müller, 1912; Sars, 1928), sünger spikilleri, vermesler, ekinid dikenleri ve muhtelif mollusk kavkıları gözlenmiştir. Yukarıda da dephinildiği gibi, bu faunal topluluk kesinlikle sığ denizel ekolojik koşulları yansımaktadır.

Üçüncü devrenin alt kesiminde, sığ denizel koşullardan birden bire ortama çok fazla miktarda kaba taneli kırmızı gelmesi ile, karasal koşullara (akarsu ?) geçildiği anlaşılmaktadır. Çakılı çökeller içinde hiç bir fosil veya parçasının gözlenmemesi de bu hususu destekleyen bir kanıttır. Bu durum, bölgedeki ani bir iklim değişikliğinden çok tektonik ile daha kolay açıklanabilir. Bölgede hızlı bir faylanma periyodu sonunda kaynak alanda büyük miktarlara erişen kırmızı



**Sekil 3. Torno SK-1 sondajının sedimenter jeolojisi ve paleontolojik değerlendirmesi**  
**Figure 3. Sedimentary geology and paleontological evaluation of the Torno SK-1 well.**

oluşumu ve bunların havza içindeki akarsu ile hızla taşıınıp kıyıya yığılması işlevleriyle önce bir regresyon, sonra faylanma sonucu çökmeye koştur deniz basması ile Kalamış ve çevresinin sığ denizel hale dönüşümü söz konusudur. 13.6 metreden sonra istif içinde sığ-denizel ekolojik koşulları yansitan faunanın varlığı bu yorumu destekleyici diğer bir kanıttır.

Birinci ve ikinci devrelerin değişik düzeylerinden alınan akarsu örneklerinin palinolojik analizi sonuçlarına göre, istifin altında çok az palinomorf ve bozulmuş organik madde içeren bir zon bulunmaktadır. Bu zon muhtemelen oksitleyici ve yüksek enerjili sığ denizel ya da nehirsel bir çökelse ortamını karakterize etmektedir. Onun üzerine gelen zon, az miktarda dinoflagellat ile bol oranda iyi korunmuş diğer polinomorf ve karasal kökenli organik madde içermektedir (Şekil-3). Böyle bir topluluk genellikle indirgeyici karasal geçiş ortamlarında gelişmektedir (Tschudy, 1969). Daha sonra, tamamen karasal olduğu düşünülen (muhtemelen bataklık) çökeller, yer yer fosilsiz zonlarla birlikte bulunmaktadır. En üst zon ise, yoğun karasal etki altındaki, indirgeyici ve düşük enerjili denizel (muhtemelen lagün ya da körfez) bir ortamda çökelmıştır. Bu sonuçlar genelde diğer paleontolojik bulgularla uyuşmaktadır.

D.S.İ. tarafından Kurbağalıdere üzerindeki Yoğurtçu köprüsü kuzeyinde, Fenerbahçe stadının hemen batısında ve Kurbağaliderenin doğu kenarında yapılmış olan SPT-1 sondajında, Paleozoyik temel üzerinde 24 m gevşek alüvyal tortul kesilmiştir (Şekil-4).

Bu sondajda kesilen istif te Torno SK-1 sondajında olduğu gibi genelde üç ayrı devre şeklindedir. Birinci devre Paleozoyik üzerinde yerleşimsi kahverenkli çakılı killerle başlar. Çakıllar plastik kil içinde yüzey durumlu ve gelişigüzel dağılmış olarak izlenir. Karbonatlarda başka bir tabakanma özelliği izlenmemiştir. Litoloji 23.2. ile 22.7 metreler arasında kömürleşmiş yoğun bitki parçalı kumlu çamur şeklindedir.

Bu devre içinden alınan örneklerde herhangi bir foraminifer ile ostrakoda rastlanılmamıştır.

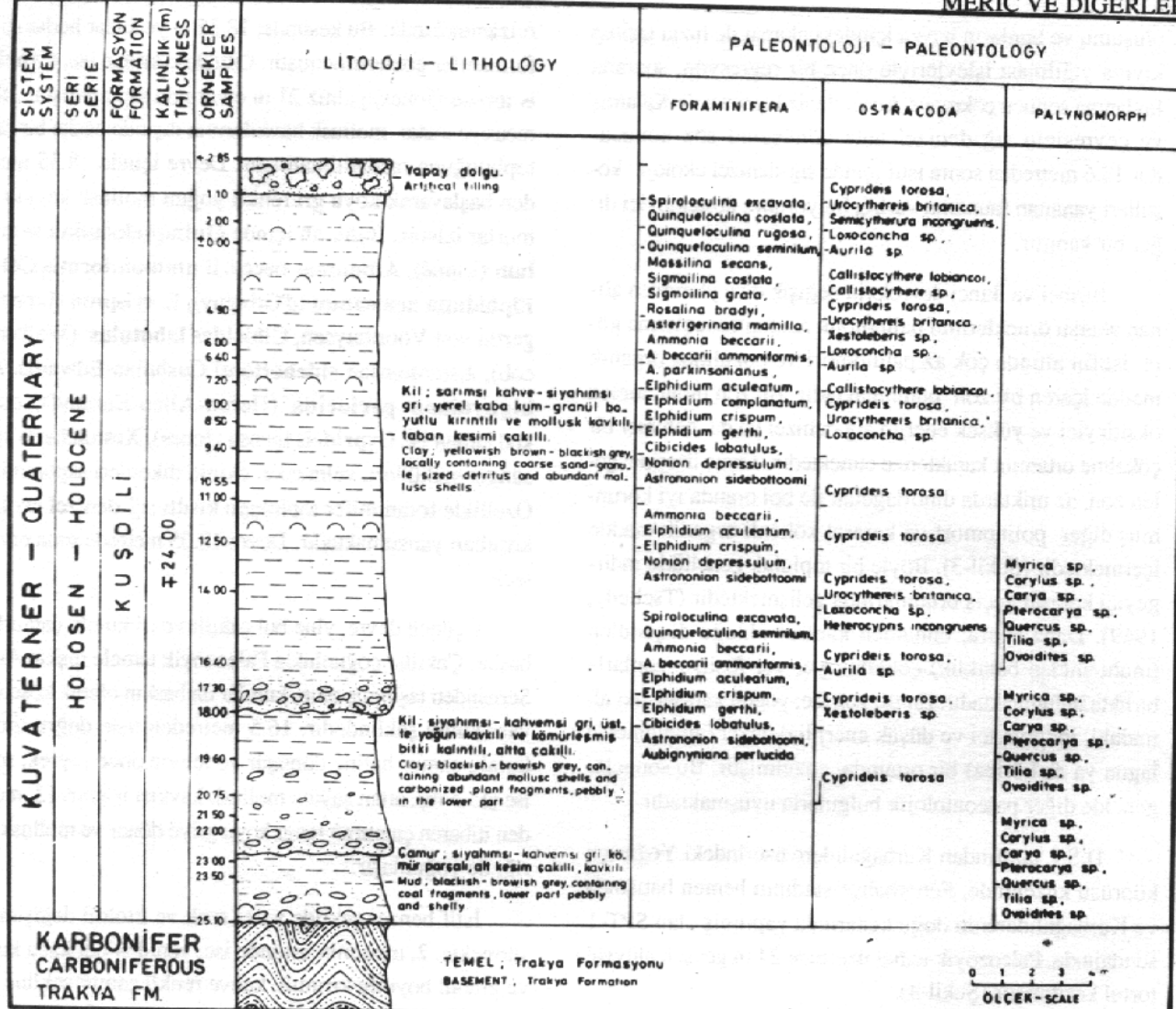
İkinci devrede 22.7 metreden başlayarak 18.05 metreye kadar devam eder. Alt kesimi çakıl ve kumlardan ibaret olup, genelde kırmızımsı kahve renkli ve çamurludur. Bu kesimde yine belirgin bir tabakalaşma gözlenmemiştir. Üste doğru, çakıllar kaybolmakta ve istif yeşilimsi kahve renkli, yerel limonite boyanmış, seyrek ince çakılı ve kumlu killere dönüştürmektedir. Bu çamurların içinde alta seyrek ve küçük, üste doğru ise (18.8 m), bol ve iri mollusk kavkıla-

rı izlenmektedir. Bu kesimde; 18.35 m ye kadar herhangi bir foraminfer gözlenmemiştir. Ostrakod'lardan ise, *Cyprideis torosa* (Jones) yalnız 21 m civarında saptanmıştır. 18.35 metreye kadar mollusk kavkılarının dışında başka bir canlı topluluğuna rastlanılmamıştır. Devre içinde 18.35 metreden başlayarak koyu gri renkli yoğun mollusk kavaklı çamurlar izlenir. Bunların içinde *Quinqueloculina seminulum* (Linné), *Ammonia beccarii ammoniformis* Colom, *Elphidium aculeatum* (d'Orbigny), *E. crispum* (Linné), *E. gerthi* von Voorthuysen, *Cibicides lobotulus* (Walker-Jacob), *Astronion sidebottomi* Cushman-Edwards, *Aubignyniana perlucida* (Heron-Allen-Earland); ostrakod'lardan ise *Cyprideis torosa* (Jones), *Xestoleberis* sp. ve sünger spikülleri, vemesler, ekinid dikenleri saptanmıştır. Özellikle foraminifer topluluğu kısıtlı sığ-denizel ekolojik koşulları yansımaktadır. Devre 18.05 metrede sona ermektedir.

Üçüncü devre, yine bol çakılı ve iri kumlu çamurlarla başlar. Çakıllar çoğunlukla Paleozoyik temele ilişkin Arkoz Serisinden taşınmış olup, kumlar da baskın olarak köşeli kuvardan kumu şeklindedir. 16.5 metreden üste doğru litoloji kumlu çamur haline dönüşür ve içinde önce seyrek, sonra ise (15.5 m), artan sayıda mollusk kavkıları izlenir. 13. metreden itibaren çamurun rengi koyu griye döner ve mollusk içeriği de yoğunlaşır.

İstif benzer şekilde yerel renk ve litoloji değişimi ile sürmekte, 2. metrenin üstünde ise, yeniden bol kaba kumlu ve granül boyutlu kıritılı, kahve renkli çamur şecline gelmektedir.

Bu devreden alınan örneklerin paleontolojik analizleri ile 16.8 metreden baylayarak bölgeye sığ denizel ekolojik koşulların egemen olduğu söylenebilir. Foraminiferlerden *Spiroloculina excavata* (d'Orbigny), *Quinqueloculina costata* d'Orbigny, *Q. rugosa* d'Orbigny, *Q. seminulum* (Linné), *Massilina secans* d'Orbigny, *Sigmoilina costata* Schlumberger, *S. grata* Termquem, *Rosalina bradyi* (Cushman), *Asterigerinvata mamilla* (Williamson), *Ammonia beccarii* (Linné), *A. beccarii ammoniformis* Colom, *A. parkinsonianus* (d'Orbigny), *Elphidium aculeatum* (d'Orbigny), *E. complanatum* (d'Orbigny), *E. crispum* (Linné), *E. gerthi* von Voorthuysen, *Cibicides lobatulus* (Walker-Jacob), *Nonion depressulum* (Walker-Jacob), *Astronion sidebottomi* Cushman-Edwards (Cusmann, 1939; Hofker, 1968; le Calvez ve le Calvez, 1958), ostrakod'lardan *Callistocythere lobiancoi* (Gonzales), *Callistocythere* sp., *Cyprideis torose* (Jones), *Urocythereis britanica* Brady, *Smictherura incongruens* (G.W. Müller), *Xestoleberis*



Şekil 4. DSİ SPT-1 sondajının sedimenter jeolojisi ve paleontolojik değerlendirmesi  
Figure 4. Sedimentary geology and paleontological evaluation of the DSİ SPT-1 well.

sp., Loxoconcha sp., Aurila sp., Heterocypris incongruens (Ramdohr) (Gonzales, 1971; Hartman ve Puri, 1974; Müller, 1912; Sars, 1928), stünger spikfülleri, vermesler, ekinid dikenleri ve molluskler gibi organizma toplulukları ile temsil edilen kısıtlı denizel fauna istifte yukarı doğru belirginleşip egemen hale gelmektedir (Şekil-4).

### FİKİRTEPE KÜLTÜRÜ

Marmara Bölgesinin en eski çanak çömlekli kültürlerinden biri olan Fikirtepe Kültürü adını, ilk buluntu yeri olan İstanbul Kadıköy yakınındaki Fikirtepe'sinden almıştır. Bu kültür ile ilgili ilk araştırmalar bu yüzyılın başlarında Arne ve Janse tarafından gerçekleştirilmiştir, daha sonra, 1952-1954 yılları arasında K. Bitel ile H. Çambel'in kazaları, 1961 yılında Ş.A. Kansu, 1968 yılından sonra da M. Özdoğan'ın çalışmaları ile devam etmiştir (Özdoğan,

1983)

Bu kültürde ait bilinen en önemli merkezler, İstanbul Fikirtepe'nin dışında, Pendik, Tuzla, İçerenköy, İznik-Hüyük, Orhangazi-Ilkpınar, Yenişehir-Menteşe, Eskişehir-Demircihöyük, Gelibolu-Kaynarca ve Kirkclare-Bulgarkaynağı'dır (Özdoğan, 1987).

Fikirtepe kültürünün avcı-toplayıcı-balıkcı yaşam geleneğine sahip yerel toplulukların, olasılıklı Anadolu etkisi ile evcil hayvan, tarım bitkileri, çanak çömlek yapımı ve kullanımı gibi, Neolitik adı verilen ilk üretim ekonomisinin bazı öğelerini aldıları ve bu bölgenin koşullarına uygun bir yaşam biçimini geliştirdikleri anlaşılmaktadır. Pendik ve Fikirtepe kazalarından anlaşıldığı kadar ile, bu kültürün Marmara kıyılarında yaygın olan yerleşimleri, yuvarlak ya da söbe planlı, duvarları dal örgü şeklinde olan

basit kulübelerde oturmakta, yaşamlarını daha çok avcılık, balıkçılık ve toplayıcılığa dayanmakla birlikte, sınırlı bir tarım ve hayvan besiciliği de yapmaktadır. Ele geçen buluntular özellikle deniz yumuşakçalarının yoğun olarak tüketildiğini de göstermektedir.

Fikirtepe kültürünün kültür tarihi açısından en büyük önemi, bugünkü uygarlığın temellerini oluşturan üretim öğelerinin Anadolu'dan Balkanlara aktarılmasında bir köprü görevi görmüş olmasından kaynaklanmaktadır. Bu kültürün mutlak tarihlenmesi oldukça tartışmalı bir konu olmakla birlikte, yaklaşık olarak M.Ö. 5.000 yıllarına ait olduğunu gösteren veriler giderek artmaktadır.

### OMURGALI HAYVAN KALINTILARI

1950'li yıllarda Fikirtepe'sinde yapılan kazılarda birçok balık, sürüngen, kuş ve memeli kalıntıları bulunmuştur (Boessneck ve Driesch, 1979). Balık kalıntılarından *Merluccius merluccius* (Linné)-Berlâm Balığı, *Dicentrarchus labrax* (Linné)-Levrek Balığı, *Sparus aurata* Linné-Çipura balığı, *Argyrosomus regius* (Asso)-Sarıağaz Balığı, *Mugil* sp.-Kefal Balığı, *Thunnus thynnus* (Linné)-Orkinos Balığı gibi 6 cins ve 5 tür deniz balığı ile *Aşpius aspius* (Linné)-Kocağız Balığı, *Leucisus cephalus* (Linné)-Tatliskefali, *Rutilus frisii* (Nordmann)-Levgit Balığı, *Silurus glanis* Linné-Yayın Balığı, *Esox lucius* Linné-Turna Balığı, *Stizostedion lucioperca* (Linné)-Sudak Balığı gibi 6 cins ve tür tatlusu balığı belirlenmiştir. Bulunan balık kemikleri kısmen iyi korunmuşlarsa da, bulunan memeli hayvan kalıntılarına oranla, kaybolan balık kemiği parçaları oldukça fazladır. Küçük boyutlu balık kalıntılarının korunma şansı az olduğundan olsa gerek, kazılarda elde edilen örnekler çoğunlukla büyük balıklara aittir.

Boessneck ve Driesch (1979) tarafından saptanan balık türlerinden deniz balıkları günümüzde Türkiye'nin tüm denizlerinde bulunan balıklardır (Hurcau ve Monod, 1973; Fischer ve diğ., 1987). Tatlusu balıklarından Levgit balığı, güncel olarak İstanbul civarında Terkos Gölü ve İznik Gölü'nden bilinmektedir (Geldiay ve Balık, 1988). Tatlusu balıklarından diğerlerinin İstanbul ve civarında yaşadıkları bilinen akarsu ve göller şunlardır: Tatliskefali Polenezköyü, Göksu, Sapanca Gölü, İznik Gölü; Kocağız Balığı Sapanca Gölü, Sakarya Havzası; Yayın Balığı Sapanca Gölü, Sakarya Nehri, İznik Gölü, Terkos Gölü; Turna Balığı Sapanca Gölü, Terkos Gölü, Küçükçekmece Gölü; Sudak Balığı Terkos Gölü ve Küçükçekmece Gölü (Battalgil, 1941; Kosswig ve Battalgil, 1943; Meriç, 1986; Geldiay ve Balık, 1988). Günümüzden yaklaşık 7000 yıl önce Fikirtepe'nde

yaşamış olan Neolitik Dönem insanların küçük balıklara oranla büyük balıkları daha fazla tercih ettileri anlaşılmaktadır.

Bu verilerin ışığında, Kalamış Körfezi kıyılarının o dönemde daha içerde olduğu veya yörede Çekmece gölleri tipinde bir gölün yeraldiği ve balık avlama işinin Fikirtepe yakınında gerçekleştirildiği düşünülebilir. Ayrıca körfezin dip kesimlerinde bataklık ortamının var olduğu fikri de ileri sürtilebilir. Kazılardan elde edilen omurgalı kalıntılarından çögünün balıklara ait olması, diğer ev hayvani kalıntılarının ise % 7 civarında bulunması, Fikirtepe'nin denize yakın bir yerleşim yeri olması ile ilişkili olabilir. Ayrıca, evcil olan memelilerden et gereksiniminin % 55.8'i öküzgillerden, % 33'ü koyun ve keçilerden sağlanmaktadır (Boessneck ve Driesch, 1979).

Balık kalıntılarından başka sürüngenlerden *Testudo graeca ibera* Pallas-Adi Tosbağa, kuşlardan *Cygnus olor* (Gmelin)-Sessiz Kuğu, memelilerden *Dama dama* (Linné)-Alageyik, *Cervus elaphus* Linné-Kızılgeyik, Ulugeyik, *Capreolus capreolus* (Linné)-Karaca, *Bos taurus* Linné-Öküz-İnek, *Ovis aries* Linné-Koyun, *Vulpes vulpes* (Linné)-Tilki, *Martes foina* (Erxleben)-Kaya Sansarı, *Felis sylvestris* Schreber-Yaban Kedisi, *Ursus arctos* Linné-Bazayı kalıntılarında gözlenmiştir (Grassé, 1955; Huş, 1974; Başoğlu ve Baran, 1977; Boessneck ve Driesch, 1979; Baran ve Yılmaz, 1984).

Günümüzden 7000 yıl önce, *Dama dama*, *Cervus elaphus*, *Capreolus capreolus*, *Felis sylvestris* gibi hayvanların, Fikirtepe civarında varolması gereken ormanlarda yaşadıkları ve Neolitik dönem insanları tarafından avlanıkları ortaya çıkmaktadır.

### SONUÇLAR VE TARTIŞMA

Kuşdili Çayıru Kuvatnerinde yapılmış olan iki sondajdan elde edilen verilere göre; bölgede 3 evrede gelişen gravite faylanmalarıyla oluşan graben türü bir çöküntü alanı içinde, üç devre şeklinde bir sedimentasyon olduğu saptanmıştır. Ortamsal açıdan, bu devrelerin genellikle karasal (akarsu) fasyelerle başladığı, zaman içinde, çökmeye koşut olarak, önce akarsu ağızı (geniş), sonra sıç-denizel koşullarda geliştiği söylenebilir. Devrelerin alt kesimlerindeki karasal çökellerin üstündeki çamurlarla, genellikle indirgeyici kimyasal koşullarda bir akarsu ağızı paleoekolojik koşullarını yansitan bir fauna ve flora gözlenmiştir. Devrelerin en üst kesimlerinde ise, bu ekolojik ortam giderek sıç-denizel koşullara geçmektedir.

Özellikle son devrenin (3. devre) denizel kesiminde saptanmış olan formlar, bu teknik etkinlikle koşut gelişmiş olan Haliç ağızı ve çevresi içindeki faunal toplulukla fazla bir benzerlik göstermemektedir. İstanbul Boğazı'nın açılması olayının neden olduğu paleoekolojik koşulların mesafe olarak çok yakın olan bölgemizde izlenmeyiği, Kalamış Koyu ve çevresinde o zamanda farklı kimyasal koşullar nedeniyle değişik bir ekolojik ortamın varlığını işaret etmektedir.

Kuştili Çayı ile İstanbul Boğazı (Marmara girişi) ve Haliç ağızı sığdenizel ortamı simgeleyen foraminifer topluluğu yönünden karşılaşıldığında cins ve türler açısından iki bölge arasındaki farklılık belirgindir. Kuştili sondajlarında 3. devrede gözlenen *Spiroloculina ornata* d'Orbigny, *Quionqueloculina juleana* d'Orbigny, *Q. rugosa* d'Orbigny, *Q. seminulum* (Linné), *Massilina secans* d'Orbigny, *Triloculina tricarinata* d'Orbigny, *T. trigonula* (Lamarck), *Rosalina bradyi* Cushman ve *Asterigerineta mammilla* (Williamson) topluluğuna Haliç ağızı sondajlarında üst düzeylerde rastlanılmıştır. Ancak, Haliç'te gözlenen foraminifer topluluğu içinde yer alan *Textulariidae*, *Lagenidea*, *Boiviniidae*, *Buliminidae*, *Uvigerinidae* ve *Planorbulinidae*'ye ilişkin çeşitli cins ve türler (Meriç ve diğ., 1989) ise, Kuştili sondajlarındaki denizel düzeylerde gözlenmemiştir (Şekil 3 ve 4). Bu farklılıklar büyük olasılıkla iki bölge arasında dip özelliği, tuzluluk, ısı ve pH değişikliklerinden kaynaklanmaktadır. Örneğin; Haliç bölgesinde yerleşen foraminifer topluluğu sıg deniz (açık denize bakan kesiimi) ekolojik koşullarını yansımaktadır. Eski Kalamış Koyu ise, Holosen'de olasılıkla açık denizden korunmuş bir ortam özelliğindedir. *Massilina secans* d'Orbigny'in bu yörede çok fazla gözlenmiş olması, ortam zemininin kumlu çamurdan oluştuğunu ve yüzeyinin yaygın yosun örtüsü ile kaplı bulunduğu, ayrıca enerjinin de düşük olduğunu göstermektedir (Murray, 1973).

Bunun dışında, Fikirtepe çevresinde yapılan kazılarda bulunmuş olan 6 cins ve tür tatlısu balığı kalınları, yerleşme alanı yakınılarında bir gölün varlığını vurgulamaktadır. Bu durum da bize günümüzden yaklaşık 7000 yıl önce Kuştili Çayı çevresinin bugünkü Büyük ve Küçük Çekmece göllerine benzer bir göl alanı olalibecğini belirtmektedir.

#### KATKI BELİRTME

Yazarlar, sondaj örneklerinin sağılanmasında büyük katkıları olan Jeoloji Müh. Aytaç Diğış'a (Torno-İstanbul), Jeoloji Müh. Engin Atalay'a (D.S.İ., 14. Şb., İstanbul), Je-

loji Mühendisleri Mümin Göçmen, Mehmet Göral, Özkan Aksel ve Nedim Özhan'a (D.S.İ. Bölge Md.İlügü, Bursa) ve jeolojik harita materyalini sağlayan Prof.Dr. Ahmet Ercan'a (İ.T.Ü.) içtenlikle teşekkür ederler.

#### KAYNAKLAR

- Baran, İ. ve Yılmaz, İ., 1984, Ornitoloji dersleri, İzmir.
- Başoğlu, M. ve Baran, İ., 1977, Türkiye sürüngenleri. Kısım I. Kaplumbağa ve Kertenkele'ler. İzmir.
- Battalgil, F., 1941, Les poissons des eaux douces de la Turquie İst.Üniv. Fen Fak. Mecm., B. 6 (1-2), 170-186.
- Boessneck, J. ve Driesch, A., 1979, Die tierknochenfunde aus der Neolithischen siedlung auf dem Fikirtepe bei Kadıköy am Marmarameer. Aus dem Institut für Palaeoanatomie, Domestikationsforschung und Geschichte der Tiermedizin der Universität München. 1-81.
- Cushman, J. A., 1939, A monographi of the foraminiferal family Nonionidae. Geol. Sur. Prof.Pap., 191, 1-100
- Fischer, W., Bouchot, M.L. ve Schneider, M., 1987, Fiches FAO d'identification des espèces pour les besoins de la peche. (Revision 1). Méditerranée et Mer Noire. Zone de Heche 37, Vol. II, Vertebres. Roma, FAO, 761-1530.
- Geldiay, R. ve Balık, S., 1988, Türkiye tatlısu balıkları. İzmir.
- Gonzales, B.J.P., 1971, Die Ostracoden des Küstenbereiches von Naxos (Griechenland) und ihre lebensbereiche. Mitt.Hamburrg. Zool.Mus.Inst. Band 67, 255-326.
- Grassé, P.P., 1955, Traité de Zoologie. XVII (Première fascicule). Mammifères. Paris.
- Hartman, G. ve Puri, H., 1974, Summary of Neontological and Paleontological classification of Ostracoda. Mitt. Hamburg Zool.Mus.Inst. 70, 7-73.
- Hofker, J., 1968, Foraminiferen aus dem Golf von Neapel. Paläont. Zeicht., 34 (3/4), 233-262.
- Hureau, J. C. ve Monod, T., 1973, Check-list of the fishes of the north-eastern Atlantic and of the Mediterranean. 1. UNESCO, Paris.

- Muş, S., 1974, Av hayvanları ve avcılık. I.Ü. Orman Fak. Yayıni, 202.
- Kaya, O., 1971, İstanbul'un Karbonifer stratigrafisi. T.J.K. Bült., 14 (2), 143-199.
- Kaya, O., 1973, Paleozoic of Istanbul. Ege Üniv. Fen Fak. Kitapları Serisi, 40, 1143.
- Kosswig, C. ve Battalgil, F., 1943, Türkiye tatlusu balıklarının zoogeografik ehemniyeti. Türk Fiz. Tabii İlimler Sosy. Yıllık Bild. Arşivi 2 (8), 18-31.
- Le Calvez, J. ve Le Calvez, Y., 1958, Répartition des foraminifères dans la baie de Villefranche. I. Miliolidae. Inst. Oceanogram. Monaco. Ann. n. sér. 35, 160-230.
- Meriç, E., 1989, Ed. Altunsaçlı, S., Çetin, O., Derman, S., Ediger, V.Ş., Gürüm, A.H., Gülen, D., Kubanç, C., Meriç, E., Ögelman, Y., Özdoğan, M., Özer, A.M., Sakınç, M., Şengüler, İ., Taner, G., Toker, V., Ünsal, İ. ve Yılmaz, Y., Güney Boğaziçi ve Haliç'in Holosen (Güncül) tortulları (YAYINDA).
- Meriç, N., 1986, Fisches encountered in Küçükçekmece Lake, İstanbul. İst. Üniv. Fen Fak. Mecm., B, 51, 33-39.
- Murray, J.W., 1973, Distribution and ecology of living benthic foraminiferids. Heinemann Educational Books, 1-272.
- Müller, G.W., 1912, Ostracoda. Das Tierreich 31, 1-434.
- Önalan, M., 1982, Pendik bölgesi ile adaların jeolojisi ve sedimenter özellikleri. Basılmamış Doçentlik Tezi, 156 s., Yerbilimleri Fak. Jeoloji Böl., İstanbul.
- Önalan, M., 1989, Formation of nodular limestones in Devonian sequence of Istanbul (YAYINDA).
- Özdoğan, M., 1983, Pendik, A Neolithic site of Fikirtepe Culutre in the Marmara Region. Festschrift für K. Bittel, Mainz, 401-411.
- Özdoğan, M., 1987, 1986 yılı Trakya ve Marmara Bölgesi Araştırmaları. V. Araştırma Sonuçları Toplantısı II, 157-170.
- Sars, G.O., 1928, Ostracoda. An account of the Crustacea of Norway, Bergen, 9, 1-227.
- Tezcan, S., Durgunoğlu, T., İpek, M. ve Durgunoğlu, T., 1974, İstanbul-Söğütlü Çeşme istasyon tesisleri projesi. Jeoteknik ve dinamik etüt. Basılmamış rapor. Boğaziçi Üniv. Döner Sermaye İşletmesi, İstanbul.
- Tschudy, R.H., 1969, Relationship of Palynomorphs to Sedimentation, in: Tschudy, R.H. ve Scott, R.A. (Editörler), Aspect of Palynology, 79-96.

## AYAMAMA (BAKIRKÖY-İSTANBUL) KUVATERNER İSTİFİNİN SEDİMENTER JEOLOJİSİ VE PALEOEKOLOJİSİ

### Sedimentary geology and palaeoecology of Ayamama (Bakırköy-İstanbul) Quaternary sequence

Engin MERİÇ, İ. Ü. , Jeoloji Müh. Böl., İstanbul.

Fazlı Y. OKTAY, İ. T.Ü. , Jeoloji Müh. Böl., İstanbul.

Mehmet SAKINÇ, İ. T. Ü. , Jeoloji Müh. Böl., İstanbul.

Dincer GÜLEN, İ.Ü., Biyoloji Böl., Beyazıt-İstanbul.

Aynur İNAL, M.T.A., Jeoloji Etüdleri Dairesi, Ankara.

**ÖZ :** Bakırköy (İstanbul) batusında yer alan Ayamama Havzası yörede Geç Kuvaterner'den günümüze kadar egemen olan tansiyonel tektonik rejim içinde, kuzeybatı-güneydoğu yönünde gelişmiş normal fayın doğu bloğunun çökmesi ile oluşmuş ve zaman içinde tek bir çökel devresi şeklinde kırıntılar ile doldurulmuştur.

Havza istifi genelde gri-siyah renkli kil ve çamurlardan yapılmıştır. İçinde farklı yer ve konumda, kalınlıkları ve yanal süreklilikleri değişken ve taban kesimleri genelde çakılı kum üniteleri bulunur. Sondajlardan derlenen örneklerden, istif içinde foraminifer, ostrakod ve mollusk (pelesipod, gastropod) cins ve türleri ile temsil edilen bir fauna saptanmıştır. Bu faunal topluluk, ekolojik açıdan lagün-bataklık koşullarının egemen olduğu bir ortamın özelliklerini yansıtmaktadır. İstif içinde, özellikle SPT-1 ve 3 sondajlarında iki ayrı düzeyde gözlenen yoğun jips oluşumları, Geç Kuvaterner'de yörenin iki kez yoğun buharlaşma dönemi geçirdiğini açıklamaktadır.

**ABSTRACT :** Late Quaternary Ayamama basin situated to the west of Bakırköy (İstanbul) had developed as a result of a normal fault lying in the northwest-southeast direction under the tansional tectonic regime which have been effecting the region from Holocene onwards. This basin was filled by various clastics as a single sedimentary cycle in the same period.

The basin-fill, in general, is formed by grey-black clooured clays and muds. In this sequence, several sand lenses varying in width and length, having pebbly zones at the bases and occuring at locally and stratigraphically different levels are present.

The faunal association of foraminifera, ostracoda and mollusca (pelecypoda, gastropoda) was determined in the samples taken from the cores. From the ecological point of view, this faunal association reflects the various properties of an environment inwhich swamp-lagunal conditions reign.

Two wide-spread diagenetically grown gypsum crystal zones detected in the bore-holes SPT-1 and 3 indicate that the region was twice subjected intense evaporation during Holocene under the dry and hot climatical conditions.

#### GİRİŞ

Aymama havzası İstanbul'un Trakya kesiminde Genç Kuvaterner istifinin yaygın geliştiği depolanma alanları içinde en önemlilerinden birisini teşkil eder. (Şekil 1).

Bu havzayı günümüzde akaçlayan Halkalı deresinin ıslahı ve derenin açıldığı kesimde bulunan bataklık alanların

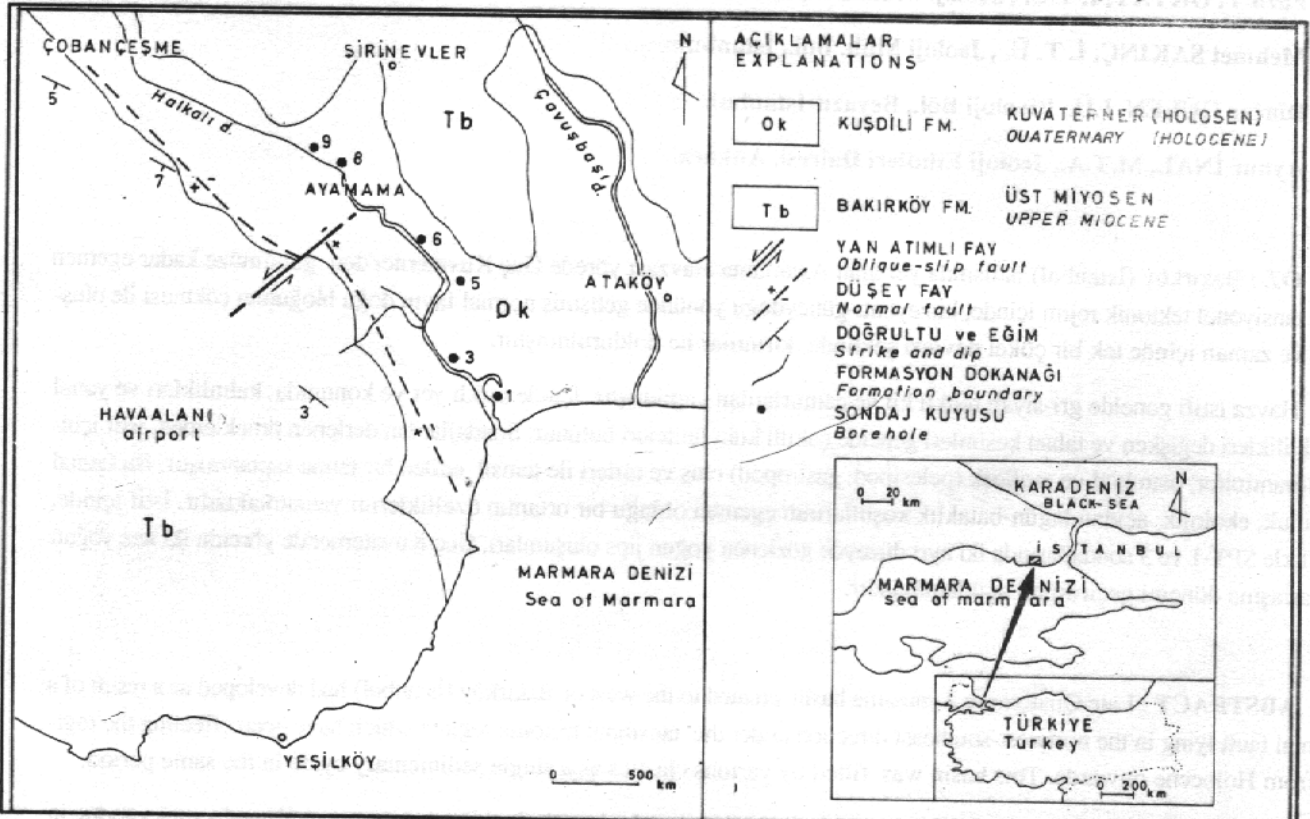
imara konu olabilecek şekele getirilmesi amacıyla D.S.İ. tarafından yapılmış karotlu sondajların incelenmesiyle, havza olasılıkla Geç Kuvaterner sırasında depolanmış bir istif kesilmiştir. Üst Miyosen yaşı Bakırköy Formasyonuna ait marn-kıl-Mactra'lı kireçtaşları arası üzerine uyumsuz olarak gelen bu istif, kalınlığı genelde güneyden kuzeye doğru azalan bir kama şeklindedir.

Bölgelerde D.S.I. tarafından Halkalı deresi boyunca yapılmış olan 15 sondajdan elde edilen karotların incelenme- siyle, bu sondajlardan SPT 1-8 arasında genç istifin kesildiği, SPT-9 da ise, güncel alüvyonun doğrudan Bakırköy Formasyonu üzerine oturduğu saptanmıştır (Şekil-1).

İstifin sedimanter jeolojisi sondaj karotlarının ayrıntılı tanımlamaları ve deneşirtilmesine dayandırılmış, paleontolojik ve ekolojik yorumlar için de sondajdan 57 adet ömek alınarak faunal içerikleri incelenmiştir.

Bu temel üzerinde, tansiyonel tektoniğe bağlı gelişen havzada çökelen Genç Kuvatner istif kalınlığı Güncel Alüvyon dışında SPT-1 sondajında 13 m, SPT-3 sondajında 23.8 m, SPT-5 sondajında 20 m, SPT-6 sondajında 6.2 m ve SPT-8 sondajında 1.3 m olup, SPT-9 sondajında ise Güncel Alüvyon doğrudan temel üzerine oturmaktadır.

İstif kalınlığındaki ani değişimler havza taban topografyasının normal faylanma etkisinde gelişmesi nedeniyle meydana geldiği yörede yapılan saha çalışmaları sırasında



Şekil 1 : Çalışma alanının jeoloji haritası  
Figure 1 : Geological map of the studied area

## STRATİGRAFİ

Ayamama havzası batıda, Atatürk Hava Limanı tesis ve pistlerinin üzerinde yer aldığı ve Bakırköy Formasyonundan yapılmış yükselti, kuzeyde E-5 karayolu, doğuda ise, yine kısmen Bakırköy Formasyonu ile kaplı ve Ataköy'ün üzerinde kurulduğu yükselti ile sınırlıdır. Havza güneyde Çavuşbaşı deresi alüvyon düzluğu ile birleşmekte ve Marmara Denizi ile sınırlanmaktadır (Şekil 1).

Yörede tarafımızdan yürütülen jeoloji çalışmalarına ve sondaj verilerine göre, havza temeli, İstanbul çevresinde yüzyeyen Üst Miyosen (Sarmasiyen) yaşılı çökel devresinin en üst birimi olan kireçtaşlı-marn-kıl ardışımından yapılmış Bakırköy Formasyonu'ndan oluşmuştur.

saptanmıştır.

SPT-1 sondajında istif temel üzerinde siyah renkli ve küçük mollusk kavaklı killer ile başlar. Bu ünite 2.1 m kalınlıkta olup, yukarı doğru 1.2 m kalınlıkla, yer yer limonite boyanmış, ancak gri renkli, bol silt ve kumlu çamurlarla izlenmektedir. Bu ünite içerisinde mollusk kavaklıları boyutça iringeşmekte ve miktar olarak artmaktadır. Daha üstte, 6.3 m kalınlıklı ve siyah renkli, bol silt ve ince kumlu, yoğun ve irdi mollusk kavaklı bir kil izlenir. Bu birim içerisinde (13-16 m ler arasında; Şekil 2) diyajenetik kökenli yoğun jips kristali gelişmesi saptanmıştır. Bu killere üzerinde 0.3 m lik açık gri renkli ve siltli bir kum ünitesi gözlenir. Bunlar üzerinde istif yine siyah renkli, üst kesimdeki bazı düzeylerde yoğun

iri mollusk kavaklı, kum düzeyine doğru ise, kavaklılar seyrekleşmekte ve küçülmektedir. Bu düzey içinde de (7.5-8.5 m ler arasında; Şekil 2) alttakine benzer şekilde oluşmuş yoğun jips kristalli bir zon bulunmaktadır. İstifin en üst 6.5 m lik kesimi Halkalı Deresinin güncel alüvyonundan ibaretir.

SPT-1 sondajı koratlarından derlenen örneklerde istif içinde alttan üste tekdüze karakterde ve tümüyle acısu ekolojik koşullarını yansıtın; foraminiferlerden *Ammonia beccarii* (Linné), *A. beccarii tepida* Cushman, *Elphidium crispum* (Linné), *E. tumidum* Natland, *Astrononion sidebottomi* Cushman-Edwards, *Aubignyniana perlucida* (Heron-Allen-Earland) (Cushman, 1939; Meriç ve diğ., 1990; Mineraria, 1957); ostrakodlardan *Callistocythere* sp., *Cyprideis torosa* (Jones), *Cythereis* sp., *Loxoconcha* sp. (Altunsaklı, 1990; Klie, 1938; Kükürlüoğlu, 1990); mollusklerden *Chlamys* sp., *Cerastoderma edule* (Linné). *Cerastoderma* sp., *Ostrea cf. edulis* *Gibbula* sp., *Hydrobia* (*Hydrobia*) cf. *ventrosa* (Montagu), *Hydrobia* sp., *Rissoa* (*Turboella*) cf. *parva* (Costa), *Rissoa* sp., *Bittium* (*Bittium*) *reticulatum* Da Costa, *Bittium* (*Bittium*) sp. *Chrysallida* (*Parthenina*) cf. *interstincta* (Montagu), *Chrysallida* sp., *Eulimella* (*Parthenina*) sp., *Eulimella* sp., *Nassarius* (*Hinia*) cf. *reticulatus* (Linné), *Cyclope* c. *danovani* (Risso), *Retusa* (*Retusa*) cf. *truncatula* Bruguire (Bucquoy vediğ., 1882-1886; Chaput, 1965; Dollfus, 1911; Erol ve Nuttal, 1972; Erol ve İnal, 1980; Harmer, 1918; Ilyina, 1960); Krişçev ve Şopov, 1979; Moore, 1960-1964 ve 1969; Petrov, 1966; Sacco, 1896; Wenz, 1938) ve vermes ile bryozoalardan oluşan bir fauna saptanmıştır.

SPT-3 sondajında (Şekil-3) istif açık gri renkli ince kumlarla başlar ve üste doğru koyu gri renkli ve kumlu kil haline dönüşür. 2.3 m kalınlıktaki bu ünitein üst kesimindeki killer içinde, alttan üste sayıca artan oranda küçük kavaklı mollusklar gözlenmiştir. İstifin bu ünite üzerindeki 7.9 m kalınlığındaki kesimi, mollusk kavaklı, gri-akı gri renkli kum, çakılı kum ve kumlu çakılı çamur arası şeklinde. Bu ünite içerisindeki çamurlu düzeylerde yer yer yoğun mollusk kavaklıları izlenir. İstifin bu ünite üzerindeki kesimi, siyahimsi koyu gri killerden yapılmıştır. Bunlar içerisinde de daha alttaki killi ve çamurlu düzeylerde gözlenen mollusk kavaklıları hem saçılımış ve hem de düzeyler oluşturacak şekildedir. Bu kil ünitesi içerisinde ayrıca SPT-1 de iki zon halinde izlenen jips oluşumları benzer şekilde görülmektedir. İstifin en üst kesiminde 3 m lik bir Güncel Alüvyon mevcuttur.

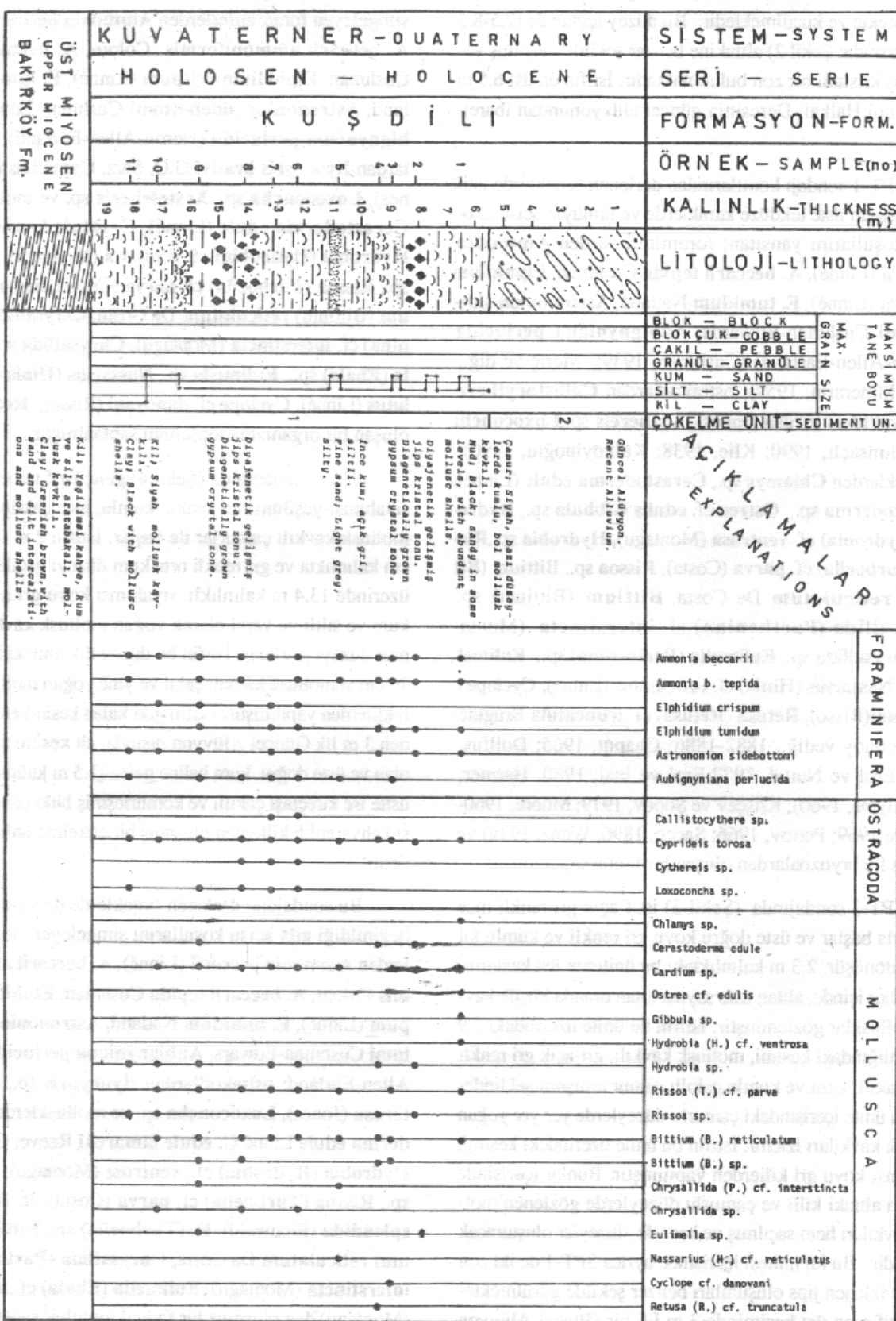
SPT-3 sondajından derlenen 22 örnekte de faunal açı-

dan SPT-1 de saptanmış olan tekdüze ve acısu koşullarını simgeleyen foraminiferlerden *Ammonia beccarii* (Linné), *A. beccarii ammoniformis* Colom, *A. beccarii tepida* Cushman, *Elphidium crispum* (Linné), *E. tumidum* Natland, *Astrononion sidebottomi* Cushman-Edwards, *Aubignyniana perlucida* (Heron-Allen-Earland); ostrakodlardan *Ilyocyparis bradyi* G.O. Sars, *Cyprideis torosa* (Jones), *Loxoconcha* sp., *Xestoleberis* sp. ve mollusklerden *Cerastoderma edule* (Linné), *C. Edule lamarcki* Reeve, *Hydrobia* (*Hydrobia*) cf. *ventrosa* (Montagu), *Hydrobia* sp., *Rissoa* (*Turboella*) cf. *parva* (Costa), *Rissoa* sp., *Bittium* (*Bittium*) *reticulatum* Da Costa, *Chrysallida* (*Perthenina*) cf. *interstincta* (Montagu), *Chrysallida* sp., *Eulimella* (*Ebala*) sp., *Eulimella* sp., *Nassarius* (*Hinia*) cf. *reticulatus* (Linné), *Cyclope* cf. *danovani* (Risso), *Retusa* sp. dar oluşan bir organizma topluluğu saptanmıştır.

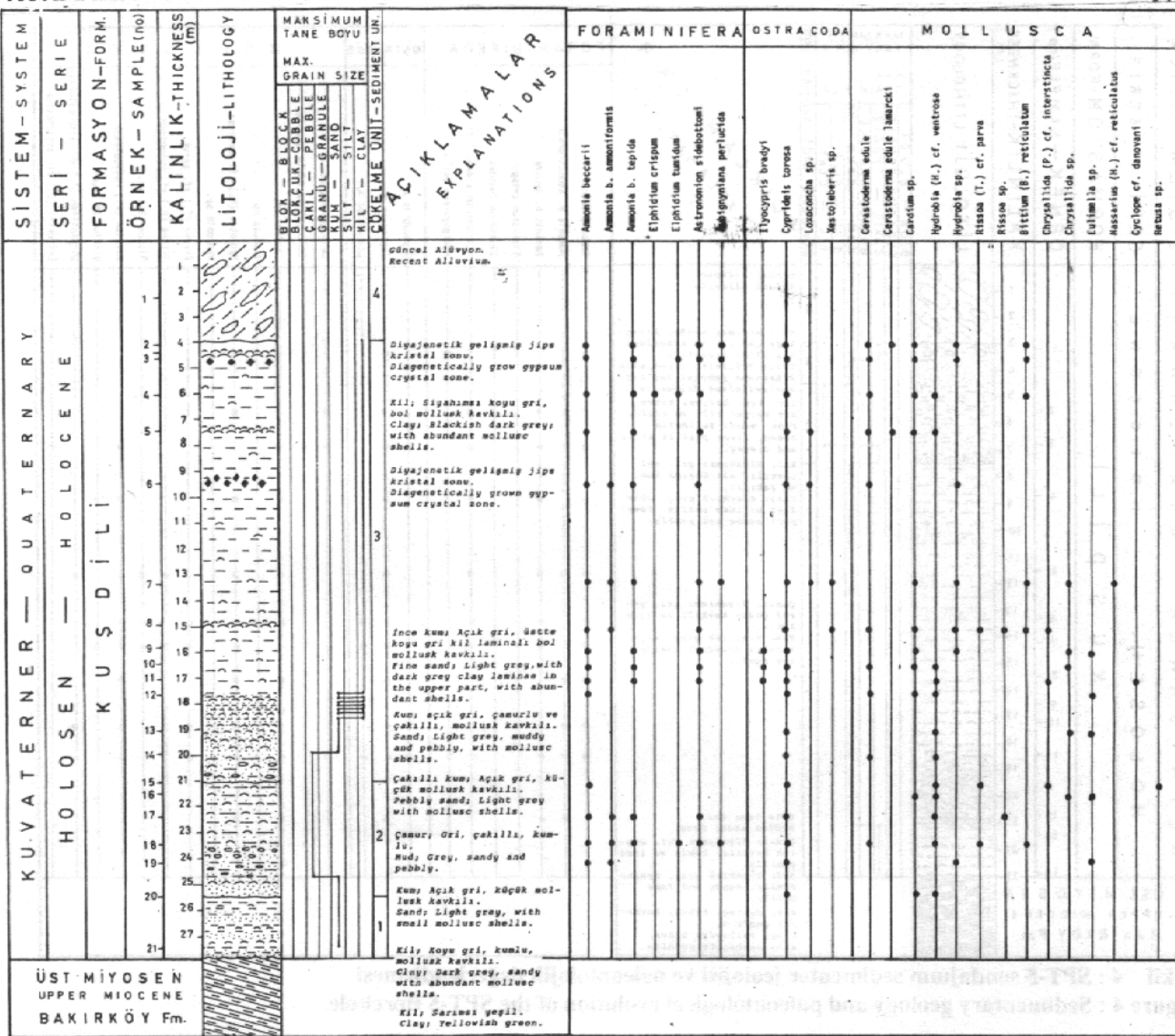
SPT-5 sondajında (Şekil 4) genç istif temel üzerinde siyahimsi-yeşilimsi gri renkli, kumlu, ince çakılı ve seyrek mollusk kavaklı çamurlar ile başlar. İstifin 2 m üstünde 10 cm kalınlıkta ve gri renkli orta kum düzeyi geçilir. Bu kum üzerinde 13.4 m kalınlıkta, siyahimsi koyu gri renkli, ince kum ve siltli ve yerel olarak yoğun mollusk kavaklı bir çamur düzeyi gözlenir. İstifin bu düzey üzerindeki kesimi, alt 70 cm si mollusk kavaklı çakılı ve yine yoğun mollusk kavaklı killerden yapılmıştır. İstifin geri kalan kesimi en üstte izlenen 3 m lik Güncel Alüvyon dışında, alt kesimi siltli çamur olan ve üste doğru kum haline gelen (1.5 m kalınlıkta), daha üstte ise kireç taşı çakılı ve kömürleşmiş bitki parçalı sarımısi kahverenkli killerden oluşmuş bir çökelme ünitesi şeklindedir.

Bu sondajdan derlenen örneklerde de yine yukarıda debynildiği gibi acısu koşullarını simgeleyen; foraminiferlerden *Ammonia beccarii* (Linné), *A. beccarii ammoniformis* Colom, *A. beccarii tepida* Cushman, *Elphidium crispum* (Linné), *E. tumidum* Natland, *Astrononion sidebottomi* Cushman-Edwards, *Aubignyniana perlucida* (Heron-Allen-Earland); ostrakodlardan *Ilyocyparis* sp., *Cyprideis torosa* (Jones), *Loxoconcha* sp. ve mollusklerden *Cerastoderma edule* Linné *C. edule lamarcki* Reeve, *Gilbula* sp., *Hydrobia* (*Hydrobia*) cf., *ventrose* (Montagu), *Hydrobia* sp., *Rissoa* (*Turboella*) cf. *parva* (Costa), *R. (Rissoa)* cf. *splendida* (Eichwald), *R. (Turboella)* sp., *Bittium* (*Bittium*) *reticulatum* Da Costa, *Chrysallida* (*Parthenina*) of. *interstincta* (Montagu), *Eulimella* (*Ebala*) cf. *nitidissima* (Montagu)'dan oluşmuş bir faunal topluluk saptanmıştır.

İncelenen son sondaj olan SPT-6 da (Şekil 5), istif türkeli 1.2 m lik Güncel Alüvyon dışında 6.2 m bir kalınlık su-



**Sekil 2 : SPT-1 sondajının sedimenter jeolojisi ve paleontolojik değerlendirmesi**  
**Figure 2 : Sedimentary geology and paleontological evolution of the SPT-1 Borehole**



**Şekil 3 :SPT-3 sondajının sedimenter jeolojisi ve paleontolojik değerlendirmesi**  
**Figure 3 : Sedimentary geology and paleontological evolution of the SPT-3 Borehole**

nar ve genelde kum, çakılı kum ya da kumlu çamurlarla başlayan ve yoğun mollusk kavaklı killerle devam eden üç çökelleme ünitesi şeklindedir.

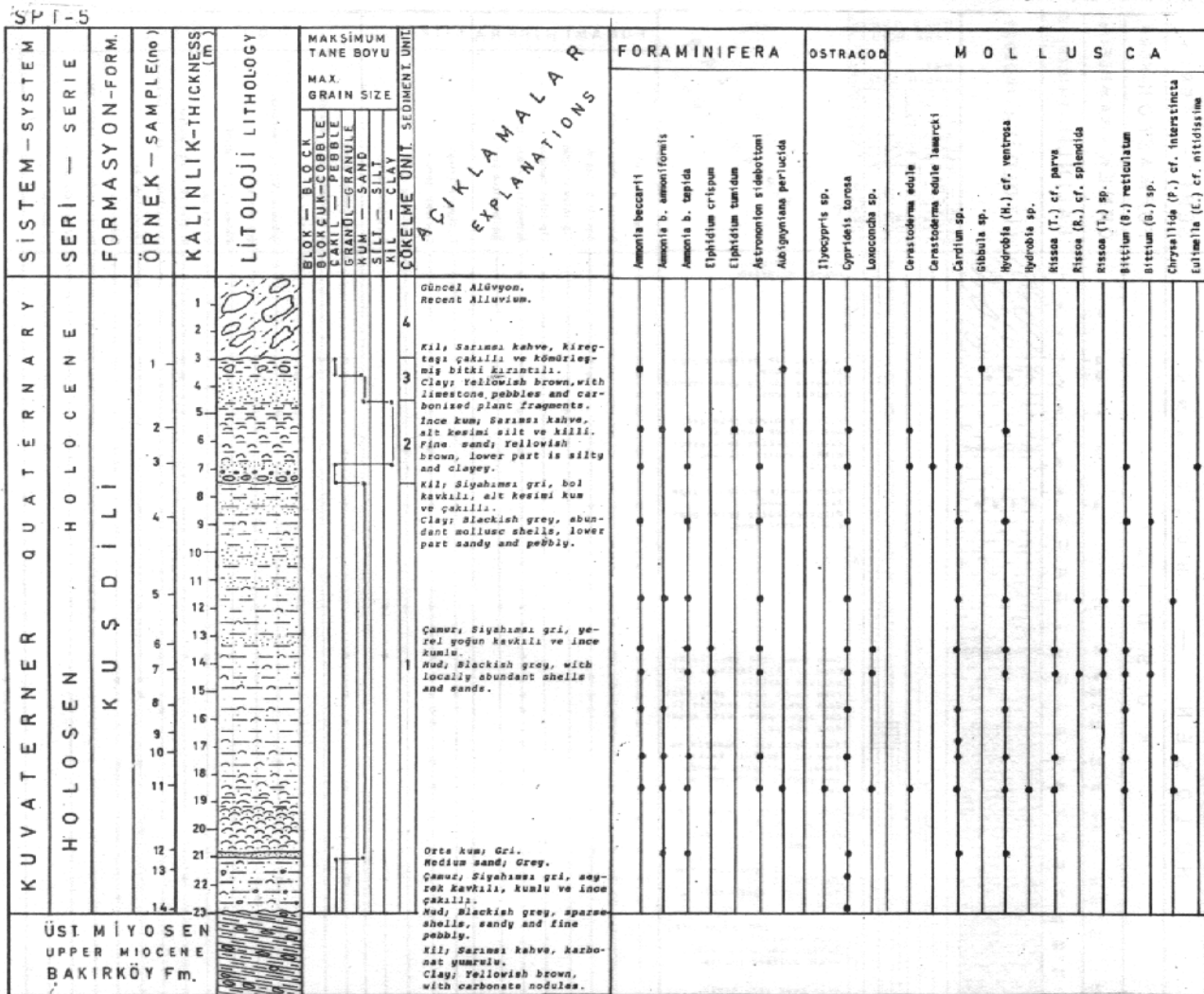
Bu sondajdan derlenmiş 4 örnekte istifin diğer kesimlerinde izlenen tekduze acisu koşullarını simgeleyen foraminiferlerden **Ammonia beccarii** (Linné), **A. beccarii ammoniformis** Colom, **Elphidium tumidum** Natland, **Astrononion sidebottomi** Cushman-Edwards, **Aubignyiana perlucida** (Heron-Allen-Earland); ostrakodlardan **Cyprideis torosa** (Jones) ile mollusklerden **Cerastoderma edule** (Linné), **Cerestoderma edule lamarcki** Reeve, **Cardium** sp., **Hydrobia** (**Hydrobia**) cf. **ventrosa** (Montagu)'dan oluşmuş bir faunal topluluk saptanmıştır. Bir diğer önemli husus da, izlenen sondaj örneklerinde saptanan foraminifer ve ostrakod fert sayılarının anormal derecede

fazla olusudur.

SPT-8 sondajında istif, üstteki 6.2 m lik Güncel alüvyonun dışında 1.3 m kalınlıklı, alt kesimi kumlu, siyah renkli ve yoğun mollusk kavaklı killerden ibarettir. İstifin acısını koşullarında gelişmiş olan kesimi SPT-8 ile SPT-9 sondajında kamalanmaktadır ve SPT-9 sondajında Güncel alüvyon doğrudan temel üzerine gelmektedir.

## **SEDİMENTER JEOLOJİ VE PALEOEKOLOJİ**

Ayamama Kuvaterner havzası yörede Geç Kuvaterner'den itibaren günümüze kadar egemen olan tansiyonel tektonik rejim içinde Kuşdili Havzası ile benzer olarak (Meriç ve diğ., 1991) kuzeybatı-güneydoğu yönünde gelişmiş bir normal fayın doğu bloğunun çökmesi ile oluşmuş



**Şekil 4 : SPT-5 sondajının sedimenter jeolojisi ve paleontolojik değerlendirmesi**

**Figure 4 : Sedimentary geology and paleontological evolution of the SPT-5 Borehole**

ve zaman içerisinde gelişen bir çukur alan genelde acısu özellikli bir çökelme ortamı haline dönüşmüştür.

Sondajlarda incelenen havza istifi, genelde siyahimsi gri çamur ve killerden oluşan tekdüze bir litoloji şeklidir. Ayrıntıda, istif içerisinde yerel gelişmiş, kalınlıkları ve yanal süreklilikleri değişken ve taban kesimleri çoğulukla ince çakılı kum üniteleri mevcuttur. Bu durum, havza istifinin genelde düşük enerjili bir ortamda ve tek bir çökelme devresi şeklinde gelişliğini belirtmektedir.

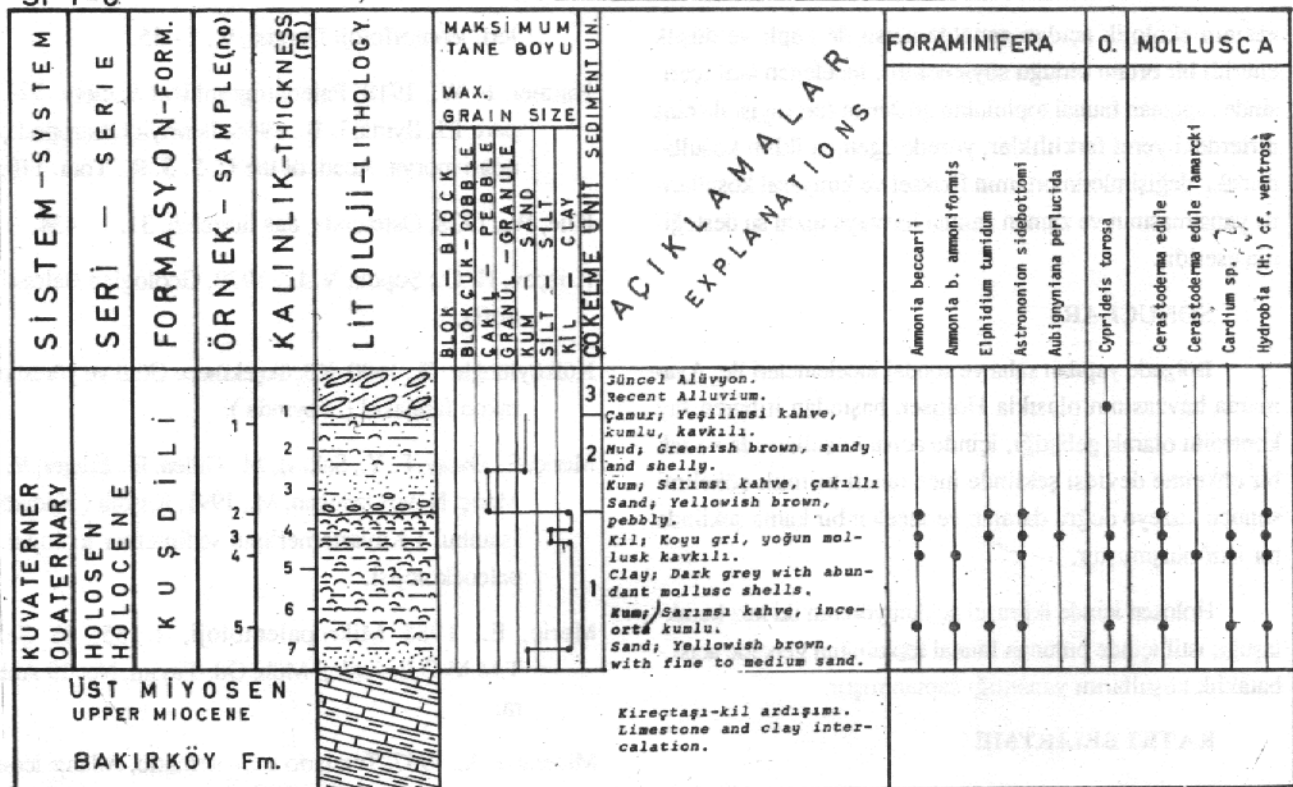
Çökelme açısından havzada gözlenen yaygın ve baskın ince taneli kıritılı çökelimi, havzayı besleyen Halkalı ve Çavuşbaşı dereleri ile ortama getirilmiş ve havza alanı içerisinde geniş bir alanda çöktelmıştır. Kum mermekleri ile, özellikle SPT-1 ve SPT-3 sondajlarında saptanmış olan diyajenetik jips oluşumları, yöre ikliminin zaman zaman nemli ve bol yağışlı, zaman zaman da kurak periyodlar içerdigini göstermektedir. Nemli ve yağışlı periyodlarda havza

icerisindeki litolojilerden türeyen daha iri boyutlu kıritılı malzeme ortama getirilip depolanmakta, süspansiyondan da kil ve silt boyutlu malzeme çökelmektedir. Kurak periyotlarda ise, genelde çok ince boyutlu kıritılı malzeme çökelimi yanında, daha önce çöktelmış sedimen içerisinde, ortam suyunun tuzluluk oranının artışı ve aşırı buharlaşma ile  $\text{CaSO}_4$ , jips olarak kristalleşmektedir.

Havza, yukarıda tanımlanan koşullarda kuzeye doğruları incelen bir kama şeklinde çökel istif ile dolmuş ve yakın geçmişte acısu koşulları bölgeyi terk etmiştir. Bu olaya koşut olarak, yöreyi akaçlayan Halkalı deresi yatağında gevşek çakıl-kum-kıl'den ibaret Güncel alüyon oluşturma başlamış ve halen de bu olgu sürmektedir.

Havza istifinden derlenen sondaj örneklerinin incelemesile, stratigrafi bölümünde ayrıntılarıyla degenin faunal topluluğu oluşturan, hemen hemen tüm formların alttan üsté ve yanal olarak, özelliklerinde farkedilecek bir de-

## SPT-6



Şekil 5: SPT-6 sondajının sedimenter jeolojisi ve paleontolojik değerlendirmesi

Figure 5 : Sedimentary geology and paleontological evolution of the SPT-6 Borehole

gişiklik olmadan yayıldıkları anlaşılmıştır. Topluluğu oluşturan organizmalar, ekolojik açıdan lagün-bataklık koşullarının egemen olduğu bir ortamın özelliklerini yansımaktadır. Sözkonusu cins ve türlerin morfolojik özellikleri, yaşam ortamları ile bu ortamlar içerisindeki koşulların değişkenlik ve çeşitliliğine gösterdikleri uyum dikkate alındığında, bu organizmaların toleriteleri yüksek formlar olduğu anlaşılmaktadır.

Foraminifer topluluğu içindeki formlar ve özellikle Ammonia türleri, genel olarak hem denizel ve hemde acısu koşullarına kolaylıkla uyum sağlayabilen tiplerdir (Murray, 1973). Bunlar ayrıntıda, akarsularla beslenen kısmen de olsa deniz etkisinde olan ve bu nedenle de, ortamsal özelliklerinin yerel olarak değişim gösterdiği lagün-bataklık ortamlarının formlarıdır (Murray, 1973). Ostrakod topluluğu içinde Cyprideis torosa (Jones) tüm düzeylerde egemen olup, havzanın her tarafında yaygın bir şekilde izlenmektedir.

Ortamda, Mollusca (pelecypoda ve gastropoda) infauna ve epifauna olmak üzere iki gruptan oluşur. İnfâuna Cerastoderma edule (Linné), epifaunu ise diğer cins ve türler ile temsil edilmiştir. Faunal topluluğun diğer formları gibi havza içinde yanal ve düşey olarak yaygın bir şekilde dağılmışlardır. Bu topluluk içinde de Cerastoderma edule

(Linné) ve Bittium (B.) reticulatum Da Costa türleri baskın tipler olup, bazı düzeylerde çok sayıda gözlenmektedir.

Havza istifi içerisinde yerel olarak ve az sayıda denizel organizma kalıntılarının gözlenmesi, havzanın zaman zaman ve kısa sürelerde açık denizden tuzlu su desteği aldığı belirtmektedir. Özellikle SPT-1 ve SPT-3 sondajlarında, iki ayrı düzeyde izlenen yoğun diyajenetik jips oluşumu yörenede iklimin kuraklaşmasına koşut olarak havzaya tatlı su desteğiinin minimuma indiğini ve bu nedenle tuzluluğun arttığını ve dolayısıyla besin dengesinin bozulduğunu göstermektedir. Bu durum, infaunal toplulukta gözlenen fert sayılarındaki azalmalar ile de desteklenmektedir. Sondajların bazı düzeylerinde gözlenen Cerastoderma edule (Linné) artışlarını ve azalışlarını bu şekilde yorumlamak olasıdır.

Bunun dışında, havzanın kuzey kenarına yakın bir bölgede açılmış olan SPT-6 sondajından alınan örneklerde gözlenen Ammonia ve Cyprideis fert sayılarının anormal derecedeki fazlalıkları, havza kenar bölgesinin oldukça sıç olduğunu, ışık ve ısı etkisiyle bitisel yaşamın bu bölgedeki zenginliğini ve dolayısıyla, söz konusu organizmalar için yerel ve bol besin bulunduğu vurgulamaktadır (Meriç, 1985).

Sonuç olarak, Ayamama Kuvatner (Holosen) hav-

zasının ekolojik açıdan genelde acısı ile kaplı ve düşük enerjili bir ortam olduğu söylenebilir. İncelenen istif içerisinde saptanan faunal toplulukta gözlenen fert sayısı ile cins türlerdeki yerel farklılıklar, yörede egemen iklim koşullarındaki değişimlerin ortamın fiziksel ve kimyasal koşullarına yansımاسının ve zaman zaman havzaya tuzlu su desteği nin eseridir.

## SONUÇLAR

Bölgelerde yapılan saha ve sondaj incelemeleri ile: Ayamama havzasının olasılıkla Holosen başından itibaren fay kontrollü olarak geliştiği; içinde acısı koşullarında ve tek bir çökelme devresi şeklinde ince taneli kırıntılu çökelimi sonucu kuzeye doğru daralan ve incelen bir kama şeklinde bir istif oluşmuştur.

Holosen içinde iklimsel açıdan yörenin iki kez kuraklılığı; istif içinde bulunan faunal topluluğun genelde acısı - bataklık koşullarını yansıtığı saptanmıştır.

## KATKI BELİRTME

Yazarlar, sondaj örneklerinin sağlanmasındaki yardımçıları için jeoloji mühendisleri; Mümin GÖÇMEN, Mehmet GÖRAL ve Özkan AKSEL'e (D. S. İ. 1. Bölge Müdürlüğü, Bursa) içtenlikle teşekkür ederler.

## KAYNAKLAR

Altunsaçlı, S., 1990, Küçükçekmece Gölü dip ostrakod faunası (Yayında).

Bucquoy, E., Dollfus, G., Dauzenberg, Ph., 1882 - 1886, Les mollusques marins du Roussillon. T. 1, Gastropodes (avec atlas), T1, 2, Pelecypodes (avec atlas), Paris.

Chaput, G., 1965, Etudes sur les terrasses marines du littoral de la mer de Marmara.

Cushman, J. A., 1939, A monography of the foraminiferal family Nonionidae. Geol. Sur. Prof. Pap., 191, 1 - 100.

Dollfus, G., 1911, Les coquilles du Quaternaire Marin du Sénégal. Mé. de la Société Géol. de France, T. XVIII, fasc. 3 - 4.

Erol, O., Nuttal, C. P., 1972, Çanakkale yoresinin bazı denizel Kuvaterner depoları. Coğrafya Araştırma Dergisi, 5 - 6.

Erol, O., İnal, A., 1980, Çanakkale yoresi Karacaviran köyü çevresindeki Kuvaterner depoları ve denizel fosil-

leri. Jeomorfoloji Dergisi, 9, 1 - 35.

Harmer, F. W., 1918, Paleontographical Society, Vol. 1, part. III. Ilyina, L.B., 1966, Istoriya Gastropod černogo morya. Acad. of the U. S. S. R., Tom. 110.

Klie, W., 1938, Ostracoda, das tierreich, 31, 1 - 434.

Krişçev, H. G., Şopov, V. L., 1979, Geologica Balcanica, Sofia.

Külköylüoğlu, O., 1990, Küçükçekmece Gölü ve yoresi ostrakod faunası I (Yayında).

Meriç, E., Oktay, F. Y., Sakınç, M., Gülen, D., Ediger, V. Ş., Meriç, N. ve Özdoğan, M., 1991, Kuşdili (Kadıköy - İstanbul) Kuvaternerinin sedimenter jeolojisi ve paleoekolojisi.

Meriç, E., 1985 Mikropalentoloji, 1-135, 83 Şekil T.M.M.O.B. Jeoloji Müh. Od. Yayıni, No: 19 Ankara.

Mineraria, A., 1957, Terziario e Quaternario, Atlante iconografico distribuzione stratigraphica. Milano - Italy.

Moore, R. C., 1960 - 1964, Treatise on invertebrate paleontology I (Mollusca 1).

Moore, R. C., 1969, Treatise on invertebrate paleontology (Mollusca 6).

Murray, W.J., 1973, Distribution and ecology of living benthic foraminiferids. Heinemann Educational Books, 1 - 272.

Sacco, F., 1896, I molluschi dei Terziairi del Piemonte e della Liguria. Vol. 21-22.

Petrov, O. M., 1966, Stratigraphy and fauna of marine mollusks in the Quaternary deposits, Acad. of Scien. of the U. S. S. R., Vol. 155.

Wenz, W., 1938, Gastropoda. Band 6.

## BAŞÇAYIR-DAĞONU (ULAŞ-SİVAS) YÖRESİNDE DİVRİĞİ OFİYOLİTLİ KARIŞIĞININ ANA BİLEŞENLERİ VE KROMİT YATAKLARININ JEOLOJİSİ

Main Components of the Divriği Ophiolitic Melange and Geology of the Chromite Deposites in the Başçayır-Dağönü (Ulaş-Sivas) Area

Osman KOPTAGEL, Cumhuriyet Univ., Jeoloji Müh. Böl., SİVAS

Ahmet GÖKÇE, Cumhuriyet Univ., Jeoloji Müh. Böl., SİVAS

**ÖZ :** Başçayır-Dağönü yöresinde Üst Kreteş yerleşim yaşılı ofiyolitik kayaçlar yaygın olarak yüzeylere çıkmaktadır. Divriği Ofiyolitli Karışığının bilinen karışığın magmatik kökenli bileşenlerini oluşturan çoğunlukla serpantinleşmiş harzburjıt ve dünitler ile diyabaz, piroksenit ve gabrolar gibi ultramafik-mafik kayaçlar Çamözü Ultramatifi, karışıkta kireçtaşısı, mermer ve silttaşısı gibi yabancı kayaç türleri ise Karışığın Diğer Bileşenleri olarak isimlendirilmiştir.

Yöredeki krom cevherleşmeleri Çamözü Ultramatifi'nde harzburjütçe çevre kayaçları içinde dünitik kayaçlar tarafından sarılmış ve boyutları oldukça değişken merceğimsi kütleler şeklinde olmaktadır. Bölgede 7 adet krom yatağı ve çok sayıda krom yüzüğü bulunmaktadır. Bütün krom cevherleşmeleri Çamözü Ultramatifi içinde yer alan, yaklaşık K 70° D doğrultulu ve birbirine parel 5 ayrı zon üzerinde konumlanmıştır.

Yatak ve yüzleklerde cevher minerali olarak sadece kromit gözlenmiş olup, masif, saçılımlı, bantlı, nodüler, antinodüler ve benekli cevher tiplerinin değişik kombinasyonları izlenmektedir. Kromitlerde kataklastik doku hakim olup yer yer de çek-ayır dokusu izlenebilmektedir.

**ABSTRACT :** Başçayır-Dağönü area covered by an ophiolitic melange emplaced in Upper Cretaceous and known as "Divriği Ophiolitic Melange" ultramafic and mafic rock such as serpentinized harzburgite, serpentinized dunite, diabase, pyroxenite and gabbro are named as Çamözü Ultramatifi, and the other rock unites such as limestone, marble and siltstone are named as The Other Components of The Melange, in this study.

Cromite mineralization in the area surrounded by a thin dunitic cover and hosted by harzburgitic rocks of the Çamözü Ultramatifi. Chromite enrichments occur irregular or lense shaped are masses in different size, and are located along 5 different horizons N70°E trending direction. Only the 7 of them are still working while most of them are low grade and unworking mineralizations.

Chromite is the only ore mineral and a large combinations of the massive, disseminated, banded, nodular, antinodular, patchy ore types are identified in the ore bodies. The cataclastic and pull-apart textures are widespread in microscopic scale.

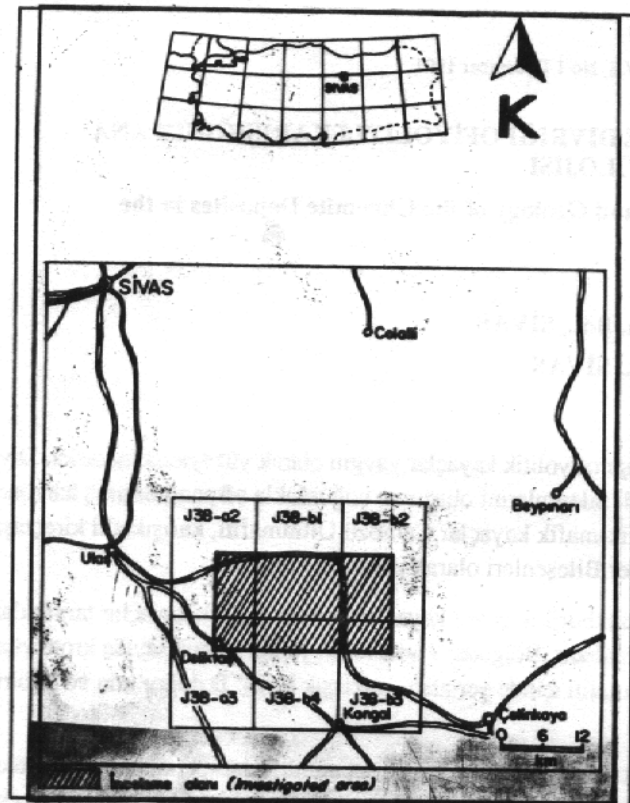
### GİRİŞ

Başçayır-Dağönü yoresi İç Anadolu Bölgesinde, Sivas iline bağlı Ulaş ve Kangal ilçeleri arasında, 1/25.000 ölçekli SİVAS J38-a2, J38-a3, J38-b1, J38-b2, J38-b3 ve J38-b4 pastalarının birleşim yerinde bulunmaktadır (Şekil 1).

Yörede ofiyolitik karışık geniş bir alan kaplamaktadır, bu çalışmada karışığın bileşenleri ve jeolojik özellikleri incelenmiş, konu ile ilgili olarak krom yataklarının çevresinde yaklaşık 300 km<sup>2</sup>lik bir sahanın 1/25.000 ölçekli jeolojik haritası yapılmış, yöredeki kayaç türleri, statigrafik

dizilimleri, ofiyolitik kayaçların petrografik özellikleri, krom cevherleşmelerinin dağılımları saptanmaya çalışılmış, cevherleşmelerin yakın civarında detaylı jeolojik incelemeler yapılarak bağlı oldukları jeolojik özellikler, yataklanma şekilleri, cevher-yankayaş ilişkileri, minerealojik bireşimleri, mikro yapı ve doku özellikleri saptanmaya çalışılmıştır.

Yöredeki krom yatakları iki özel madencilik şirketi tarafından yüzlekler boyunca sağ derinliklerde kalan açık işletme yöntemiyle işletilmektedir.



Şekil 1 : İnceleme alanının bulduru haritası.

Figure 1: Location map of the study area.

### LITOLOJİK BİRİMLER ve OFİYOLİTLİ KARIŞIĞIN STRATİGRAFİK KONUMU

İnceleme alanı Türkiye'nin Teknotik Birlikler sınıflamasında Ketin (1966) tarafından "Toridler", İlhan (1976) tarafından ise "Güney Anadolu Kıvrımları" olarak adlandırılan bölgenin kuzey kenarında bulunmaktadır.

Saha çalışmaları sırasında bölgede yaygın olarak Jura-Kretase yaşı kireçtaşlarının, ultramafik-mafik kayaçların, Üst Kretase-Paleosen yaşı kireçtaşlarının, Miyosen ve Pliyosen yaşı birimlerin yüzeyledikleri gözlenmiştir. Bunlardan Jura-Kretase yaşı kireçtaşları "Çataldağ Kireçtaşı", ultramafik-mafik kayaçlar ve içerdikleri diğer bileşenler "Divriği Ofiyolitli Karışığı", Üst Kretase-Paleosen yaşı kireçtaşları "Tecer Formasyonu", Miyosen yaşı kayaçlar "Karacaören Formasyonu" Pliyosen yaşı çökeller de Alüvyon olarak isimlendirilmiştir. Bu birimlerin sahadaki dağılımları Ek 1'de görüldüğü gibi haritalanmış ve stratigrafik dizilimleri Şekil 2'de olduğu gibi belirlenmiştir.

Bu litolojik birimlerden Çataldağ Kireçtaşı, Tecer Formasyonunu, Karacaören Formasyonunu ve Pliyosen yaşı çökellerin jeolojik özelliklerine ilişkin gözlem ve bulgular inceleme alanını kısmen veya tamamen içine alan ve çoğunlukla genel jeoloji amaçlı çalışmalarla (Gürsoy,

1986; İnan ve İnan, 1987; İnan ve diğ., 1989; Koptagel, 1991) genellikle uyum içinde olduğundan burada tekrar edilmeyeceklerdir. Ancak krom yataklarının yankayacını oluşturan Divriği Ofiyolitli Karışığının özellikleri ayrıntılı bir şekilde incelenmeye çalışılmıştır.

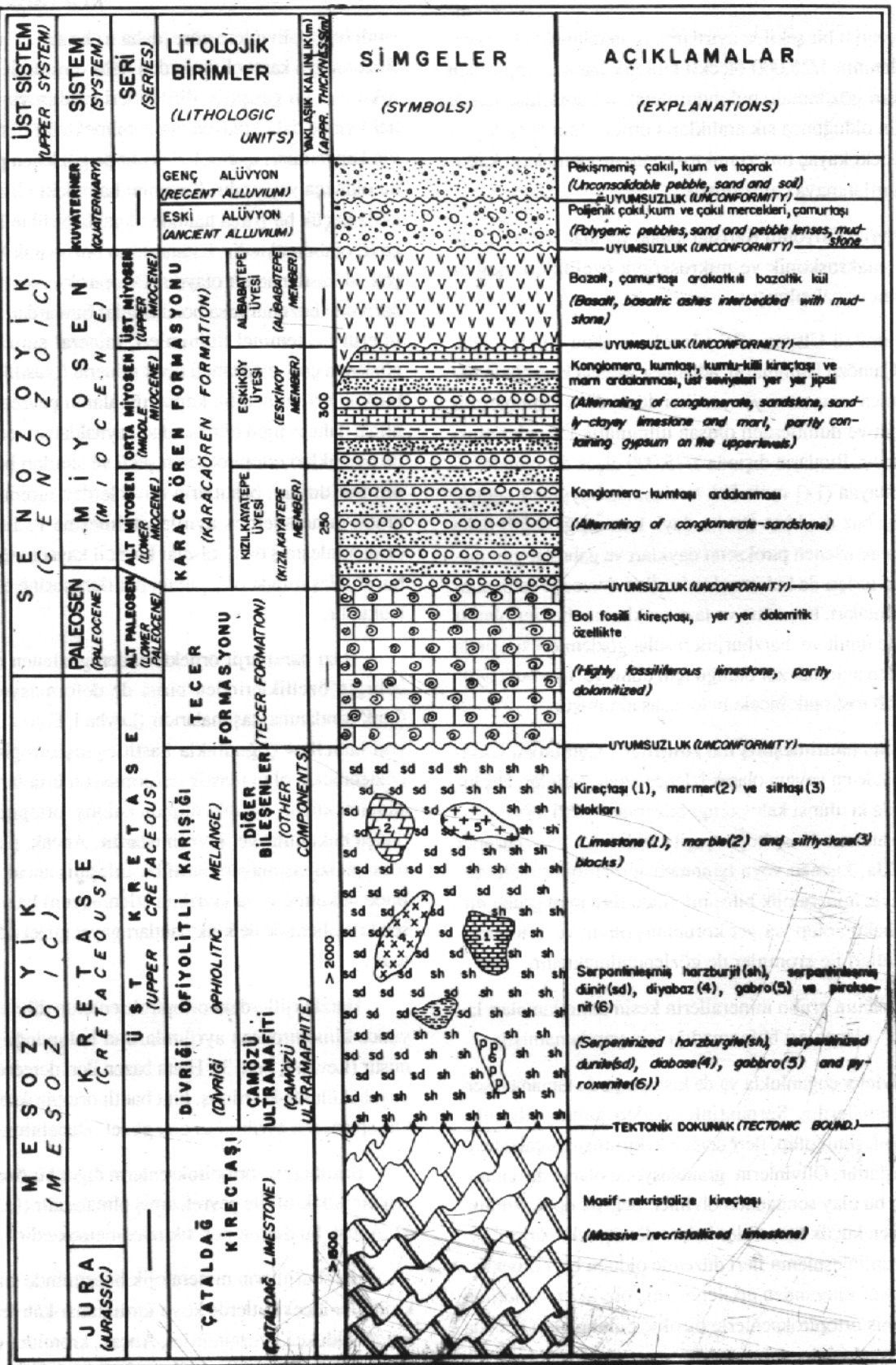
### Divriği Ofiyolitli Karışığı

Karışık, inceleme alanının batı kesiminde Başçayır Köyü yakınından kuzeydoğuda Karagöl Köyü yakınına kadar (doğuya doğru daha da genişleyerek) yaklaşık KD-GB doğrultulu bir kuşak halinde yüzeylemektedir (Ek1).

Birim ilk kez Güneş-Soğucak yakınlarında Bayhan ve Baysal (1981) tarafından "Güneş Ofiyoliti" olarak tanımlanmıştır. Daha sonra Tutkun ve diğ. (1988)'nin Divriği yöresinde yaptığı çalışmada aynı birim "Divriği Ofiyolitli Karışığı" olarak isimlendirilmiş olup, karışığın ultramafik-mafik bileşenleri ise "Güneş Ofiyoliti" olarak tanımlanmıştır. Bu çalışmada da "Divriği Ofiyolitli Karışığı" adlaması benimsenmiştir. Ancak karışık içinde magmatik kökenli bileşen olarak yalnızca ultramafik kayaçlar ile izole dayakların gözlenmesi ofiyolitli serilerin tip kesitlerinde gözlenen yaşlı yapılı bazaltik volkanitler, levha şekilli diyabazik dayaklar ve kümülatik gabro seviyelerinin inceleme alanında gözlenmemesi ve/veya daha önce bulunduklarına ilişkin işaretlerin bulunmaması nedeniyle "Güneş Ofiyoliti" adlaması yerine "Çamözü Ultramifiti" adlamasının kullanılması uygun bulunmuştur. Karışıktaki diğer yabancı kayaç türleri ise "Karışığın Diğer Bileşenleri" adı altında incelenmiştir.

Divriği Ofiyolitli Karışığı tabanındaki Jura-Kretase yaşı Çataldağ Kireçtaşı üzerinde teknotik dokunaklı olarak yer almaktadır. Ultramafik kayaçlar dokunak boyunca diğer yerlere göre daha ezik görünümlündürler. Birim, Kızılıyat Mahallesi dolaylarında Üst Kretase-Paleosen yaşı Tecer Formasyonu, inceleme alanının diğer kesimlerinde Miyosen yaşı Karacaören Formasyonu ve Alüvyonlar tarafından uyumsuz olarak örtülmektedir.

Genel bir alışkanlık olarak bu tür serilerin bulunduğu sahaların jeolojisi incelenirken seri içindeki yabancı kayaç blokları (kireçtaşı blokları gibi) mümkün olduğunda ayırtlanırken, özellikle ultramafik topluluklar içindeki kayaç türleri ayırtlanmadan, bir bütün olarak haritalanmaktadır. Oysa, maden jeolojisi amaçlı çalışmalarda kayaç türleri ile cevherleşmeler arasındaki ilişkilerin saptanabilmesi için kayaç türlerinin harita ölçüğe uygun olarak mümkün oldu-



**Sekil 2 : İnceleme alanının stratigrafik dikme kesiti (ölçeksiz).**

**Figure 2 : Stratigraphic columnar section of the study area (not to scale).**

ğünca detaylı bir şekilde ayırtlanması gerekmektedir. İnceleme alanının 1/25.000 ölçekli jeolojik haritası yapılrken bu durum gözönünde bulundurularak ultramafitler içinde mümkün olduğunda sık aralıklarla örnek alınmış ve topluluk içindeki kayaç türleri mikroskopik incelemelerin katkıyla ayırtlanmaya çalışılmıştır.

Divriği Ofiyolitli Karışığı içinde yer alan kayaç gruplarının makroskopik ve mikroskopik özellikleri aşağıda özetlenmeye çalışılmıştır.

**Çamözü Ultramafiti :** İnceleme alanı içinde gözlemlenen ve Çamözü Ultramafiti adlaması yapılan kayaçların hemen hemen tamamını yer yer ileri düzeyde serpantinleşmiş harzburjıt ve dunitlerden oluşan ultramafik kayaçlar oluşturmaktadır. Bunların dışında 1/25.000 ölçek düzeyinde haritalanamayan (1x1 m ile 5x6 m arasında boyutlara sahip), izole diyabaz daykları (levha-dayk karmaşığı değil) daha yerel olarak izlenen piroksenit daykları ve gabrolar gibi mafik kayaç türleri de bulunmaktadır. İleri derecede serpantinleşmiş olmaları, bozunma ve taze renklerinin benzer olması nedeniyle dunit ve harzburjıtları saha gözlemleri sırasında birbirinden ayırmak zor olduğu için dunit ve harzburjıt ayırmada mikroskopik incelemeler esas alınmıştır.

**a- Serpantinleşmiş harzburjitel :** Çamurözü Ultramafiti içinde en yaygın olarak izlenen kayaç türüdür. Dış kısımlarında kıızılımsı kahverengi bozunma renkli, bozunmuş iç kısımlarında ise koyu yeşil renklidirler. Harzburjitel çoğunlukla kısmen veya tamamen serpantinleşmişlerdir. Dolayısıyle mineralojik bileşimlerinde serpantin grubu mineraller hakim olup yer yer korunmuş olivin ve ortopiroksen kristalleri ile kromitler de gözlemeilmektedir.

Serpantin grubu minerallerin kesin tanımlamaları laboratuvar olanakları bulunmadığı için yapılamamıştır.

Olivinler çoğunlukla ya da kısmen ya da tamamen serpantinleşmişlerdir. Serpantinleşmeden kalmış olivinler forsterit bileşimli olup, ileri derecede kırılmış-parçalanmış ufalanmışlardır. Olivinlerin granülasyonu olarak da tanımlanabilen bu olay sonucunda olivinler değişik optik özellikler gösteren küçük tanecikler haline dönüştürmektedirler. Ayrıca, serpantinleşmenin ileri düzeyde olduğu bazı örneklerde bozunma sürecinden etkilenmemiş olivin kristallerinin bastitleşmiş ortopiroksenlerle birlikte bulunmaları (Levh I, Foto 1) nedeniyle deformasyon sonrasında yeniden kristalleşme süreci ile oluşturuları (ikincil olivinler) düşünülebilir.

Harzburjitelde gözlenen ortopiroksenler enstatit bille-

şimi olup, olivinlere göre daha iri kristaller halindedirler. Bozunmaya karşı olivinlerden daha dayanıklı olan ortopiroksenler iyi gelişmiş dilinimleri yardımıyla bazen el örneklerinde dahi kolayca tanınabilmektedir. Estatitlerin olivin kapanımları içermeleri şeklinde gözlenen poikilitik doku oldukça yaygındır. Kapanım halindeki olivinler çoğunlukla küçük bir parça halinde olmakla birlikte bazen oldukça iri olabilmektedir. Estantitlerin bozunarak bastitleşmesi çok sık rastlanan bir olaydır. Ortopiroksenler ne kadar ileri derecede bozunurlarsa bozunsunlar bunlardan türeyen bastitleterin mükemmel dilinimleri, mineral sınırları boyunca gözlenen çok ince taneli opak mineral (olasılıkla manyetit) birikimleri, mineralin kapladığı alanın çevresine göre demirce daha zengin olmasından kaynaklanan renk tonu farkı ile türedikleri ortopiroksenin şekli ve sınırları belli olmaktadır. Bu durum, bastitleterin olivinlerden türemiş serpantin grubu minerallerden ayırtlanabilmesine ve ileri derecede serpantinleşmiş dahi olsalar birincil kayacın türünün harzburjıt bileşiminde olduğunun belirlenmesine olanak sağlamaktadır.

Bazı harzburjıt örneklerinden gözlenen enstatitlerin belirgin özelliklerinden birisi de deformasyon lamelleri (kink bantlanma) taşımalarıdır (Levh I, Foto 2). Deformasyon lamelleri çoğunlukla bastitleşmiş ortopiroksenlerde gözlenmekte olup plastik deformasyon ürünleri olarak düşünülmektedir. Bu etki altında kalmış ortopiroksenler oldukça büükümüş ve kıvrılmışlardır. Ancak, plastik deformasyon izi taşımayan (hafif bastitleşmiş ancak kristal şeklinde büükümeye veya kıvrılma izlenmeyen) bazı ortopiroksen kristallerinde de kink bantları gayet güzel izlenebilmektedir.

Harzburjiteldeki ortopiroksenlerde dilinim izleri boyunca klinopiroksen ayrımlarının bulunduğu da gözlenmiştir (Levh I, Foto 3). Hatta bazen ileri derecede bastitleşmiş, büükümüş-kıvrılmış, kint bantlı ortopiroksenlerde dahi klinopiroksen ayrımları çok güzel izlenebilmektedir.

Bastitleşmiş ortopiroksenlerin diğer bir özelliği de bazen bir talk kılıfı ile çevrelenmiş olmalarıdır (Levh I, Foto 4). Ancak bu durum pek sık izlenmemektedir.

Harzburjitelin mineralojik bileşiminde sıkça izlenen kromitler inceksitlerde koyu kırmızımsı-kahverengi renkleri ile oldukça belirgindirler. Ancak, kromitler çoğunlukla kenar ve çatlaklarından itibaren ferritkromite dönüşmüşler (bu konuya 'cevher mikroskopisi' bölümünde ayrıntılı olarak değinilecektir) ve bu kesimleri siyah bir renk almıştır.

**b- Serpantinleşmiş Dünitler :**Dünitlerin bozunmuş dış kısımları kahverengimsi-kırmızımsı sarı, taze iç kısımları ise yeşilimsi renklidir.

İnceleme alanından derlenen örneklerde dünitlerin ileri derecede serpantinleşmiş oldukları ve olası ilksel yapısal ve dokusal özelliklerinin pek çoğunu silindiği gözlenmektedir.

Dünitlerin mineralojik bileşiminin % 95'inden fazlasını çoğunlukla serpantinleşmiş, (ender olarak korunmuş) olivinler oluşturmaktadır. Bunlar forsterit bileşimlidirler. Olivinlerde elek dokusu (Mesh Texture) hakimdir (Levh I, Foto 5). İleri derecede serpantinleşmiş bazı dünit örneklerinde gözlenen, elek dokusunun merkezi kesimlerinde "mekik şekilli" ve iç içe sıralanmış düzenli hatlar şeklindeki opak mineral yiğisimleri da ilginç bir görünüm sunmaktadır. Bazen bu yiğisimler noktasal birikimli zonlar halinde de gözlenebilmektedir. Bu örneklerden hazırlanan parlatma bloklarının incelenmesiyle düzenli hatlar boyunca gözlenen opak mineralerin limonit, noktalı zonlar şeklinde olanların ise küçük manyetit kristalleri oldukları anlaşılmıştır.

Dünitler içinde kromitlere her zaman rastlanabilmekte olup, bollukları yer yer % 5'e kadar ulaşmaktadır. Kromitler çoğunlukla köşeleri yuvarlaklaşmış, kırılmış-çatlamlı kristaller şeklinde gözlenebilmektedirler.

Ayrıca, inceleme alanının orta kesimlerinde ve doğuda Kürkü Köyünün yaklaşık 1 km doğusunda ultramafik kayaçlar üzerinde kırmızı-sarı renkli kimyasal kalıntı tipi lateritik örtüler gözlenmektedir. Bunlar, ana bileşen olarak silis, limonit ve hametit içermektedirler.

**c- Diyabazlar :** İnceleme alanında Çamözü Ultramafiti içinde hemen hemen her yerde gözlenebilen ve dayak konumlu olan bu kayaçlar içlerinde yer aldıkları ultramafik kayaçları keserek konumlanmıştır. Ancak bunlar ofiyolitik serilerin tanımlanmasında sözü edilen levha-dayk kompleksi konumunda olmayıp,kestikleri ultramafik kayaçlar içinde izole edilmiş "izole dayklar" şeklinde edildirler. Genellikle bol kıraklı ve çatlaklı, sert kayaçlardır.

Bozunmuş kısımları gri-kahverengi-soluk yeşilimsi, bozunmamış taze kesimleri ise beyazımsı gri-koyu gri arasında değişen renklerdedir.

Mikroskopik incelemelerde bu kayaçların başlıca plajiyoklaz ve ileri derecede uralitleşmiş piroksenlerden oluştuğu görülmüştür. Bu mineralerin kayaç içindeki bollukları birbirine yakın olup genellikle küçük-orta büyüklükte kristaller halindedirler. Kayaçlar tamamen kristallerden

oluşmakta olup, holokristalin taneli yapılidırlar. Diyabazlarda yer yer özçkilli plajiyoklaz kristallerinin piroksenlerce kuşatılması şeklinde gelişen diyabazik doku da gözlenmektedir.

Piroksen grubu mineraller hemen hemen tamamen uralitleşmiş ve hornblende dönüşmüştür. Piroksenlerden itibaren gelişen uralitleşme sürecinin diğer ürünlerini (hornblendelere göre daha az oranda rastlanmakla birlikte) kloritler ve fırçamsı bir görünüme sahip olan aktinolitler oluşturmaktadır. Piroksenlerin pek azı (iri piroksenlerin merkezi kısmı) bozunmadan korunabilmiştir. Diyabazlarda piroksenlerin ilksel türü hakkında bir yaklaşımda bulunmak oldukça zordur. Ancak literatür bilgilerine göre çoğunlukla ojit oldukları kabul edilebilir.

Kayaçlardaki plajiyoklazlar da serisitleşerek kirli toprağımsı bir görünüm almışlardır. Serisitleşmenin yanı sıra plajiyoklazlardan itibaren mavimsi girişim renkleri ile tipik olan zoosit oluşumlarına da rastlanmaktadır. Bozunmadan korunabilmiş ve albit kanununa göre polisentetik olarak ikizlenmiş plajiyoklazların (010) yüzeylerine dik kesitlerden ölçülebilen sömme açılarına göre anortit miktarları % 58-60 arasındadır. Buna göre plajiyoklazların labrador bilesimli oldukları sonucuna varılmıştır.

Belirtilen mineral parajeczlerinin (plajiyoklaz, serisit, zoosit, piroksen, hornblend, klorit, aktinolit) yanı sıra kayaçlarda opak mineraler de görmek olasıdır. Altın aydınlatmalı optik mikroskopi yöntemi ile tanımlanamayan bu oluşumlar diyabazlardan hazırlanan parlatma bloklarında incelenmiş, çoğunlukla hematit ve kalkopirit daha az oranda ise pirit ve Ni-sülfür mineraleri oldukları anlaşılmıştır.

Bu özelliklerin yanı sıra inceleme alanında sadece Karagöl istasyonu Krom Yatağı'ının bulunduğu kesimde olasılıkla diyabazların rodenjitleşmesi sonucu oluştuğu düşünülebilecek beyazımsı-soluk yeşil renkli, merceğimsi oluşuklar da gözlenmektedir.

**d- Piroksenitler :** İnceleme alanının özellikle orta kesimlerinde Karanlıkdere ve Karagölistasyonu Krom Yatağı civarında gözlenmektedirler.

İçlerinde yer aldıkları ultramafik kayaçları keserek yüzeylemişlerdir. Kalınlıkları 2,5-50 cm arasında olan bu dayklar doğrultuları boyunca 5-30 m (bazen 150 m) arasında değişen uzunluklarda izlenmektedirler.

Renkleri sarımsı-koyu yeşil arasında değişmektedir. Bu kayaçlar diyabaz daykları gibi çevre kayaçlarından kesin sınırlarla ayrılmaktadırlar. Oldukça iri kristallidirler. Kris-

taller ortalama 1 cm büyüklükte olup, bazen 2 cm'lik piroksen kristallerine de rastlanabilmektedir. İri kristalli olmaları nedeniyle pegmatitik nitelikte oldukları düşünülebilir.

Mikroskopik çalışmalarda yalnızca piroksen kristalleinden oluştukları gözlenmiştir. Piroksenlerin büyük çoğunluğu klinopiroksen az bir kısmı ise ortopiroksen şeklinde olup, tür düzeyinde ojit, diyallag ve estatit özelliğinde oldukları saptanmıştır. Pirosenitler tamamen kristallenmiş, holokristalin-ksenomorf-tanesel dokuludurlar.

Bu kayaçlar yer yer krom cevherleşmelerini de kesmektedirler. Dolayısıyle cevherleşmelerinin oluşumundan daha sonra gelişen bazı olayların/süreçlerin ürünü olmalıdır.

**e- Gabrolar :** İnceleme alanında ultramafitleri kesen dayklar veya ultramafik kayaçların olası banklaşma düzlemlerine paralel olarak yerleşmiş ancak daha sonra üzeri aşınmış çok küçük boyutlu siller şeklindedirler.

Bozunma rengi dayk konumlu olanlarda grimsi-kahverengi, aşınmış sil şeklinde olanlarda ise siyahımsı kahverengidir. Bozunmamış taze kısımlarının renkleri ise grinin tonlarındadır. Diyabazlar gibi darbeye karşı oldukça dayanıklıdır.

Mikroskopik çalışmalarda bu kayaçların mineralojik bileşimlerinde başlıca piroksen, plajiyoklaz ve olivin grubu mineralerin yer aldığı yer de opak mineral içerdikleri gözlenmiştir. Orta-iri kristalli holokristalin tanesel dokuludurlar. Piroksen kristalleri plajiyoklazlara göre daha iri olup büyük piroksenler arasında farklı yönlerde yönlenmiş plajiyoklazlar ofitik dokuyu oluşturmuşlardır.

Piroksenlerin kayaçındaki oranı % 45-50 arasındaır. Çoğunlukla klinopiroksen (Ojit) daha az miktarda da ortopiroksen (Enstatit) şeklindedirler. Klinopiroksenlerde yer yer olivin kapanımları da izlenmektedir. Bozunmanın ileri düzeylere ulaşığı kayaç örneklerinde piroksenler uralittleşmiş, horblend ve kloritlere dönüşmüştür.

Plajiyoklazların kayaçlardaki oranı piroksenlerinkinden biraz daha azdır (% 35-40 kadar). Hemen hemen tüm plajiyoklazlarda polisentetik ikizlenme gözlenmektedir. İkiz bireylerinde yapılan sönme açısı ölçümüne göre plajiyoklazların anortit içeriği % 68-70 arasında olup, labrador ve bitovnit bileşiminde oldukları anlaşılmaktadır. Yer yer olivin kapanımları da içeren plajiyoklazlar çoğunlukla serisitleşmişlerdir. Serisitleşmeler mineralerin çatlaklardan ve bazen de dilinim izlerinden başlamıştır. Serisitleşme sonucu plajiyoklazlar kirli-toprağımsı bir görünüm kazanmış-

lardır. Kayaçlarda plajiyoklazlardan itibaren oluşmuş işsanal dizinimli prehnit kristalleri de gözlenmektedir (Levh I, Foto 6).

Gabrolardaki olivinler forsterit bileşimli olup, kenar ve çatlaklarından itibaren az miktarda serpantinleşmişlerdir. Serpantinleşmenin yanısıra olivinlerin etrafında bozunma sürecinin ürünleri olan kloritleri ve fırçamsı aktinolitleri de görmek olasıdır.

Bu kayaçlardan hazırlanan parlatma bloklarında içerdikleri opak mineralerin esas olarak hematit ve kalkopirit olduğu anlaşılmıştır.

Mineralojik bileşimlerinde piroksen ve plajiyoklazların yanısıra % 10-15 kadar olivin de bulunması nedeniyle bu kayaçlar "Olivin Gabro" olarak adlanabilecek özelliktedirler. Ayrıca, bazı mafik kayaç örneklerinin mineralojik bileşiminin sadece labrador bileşimli plajiyoklaz ve forsterit bileşimli olivinlerdenoluştugu gözlenmiştir. Troktolit olarak tanımlanabilecek olan bu kayaçlar da gabroların bir başka alt grubunu oluşturmaktadırlar. Piroksen grubu mineralerin gözlenmediği bu kayaçlarda olivin oranı % 40 plajiyoklaz oranı ise % 60 dolayındadır. Troktolitlerdeki plajiyoklazlar serisitleşmişler, olivinler ise serpantin grubu mineralere dönüşmüşlerdir. Ayrıca olivinlerden itibaren kloritler ve aktinolitler olmuştur.

### Karışığın Diğer Bileşenleri

Divriği Ofiyolitli Karışığın içinde yer alan kireçtaşları ve mermer blokları Karışığın Diğer Bileşenleri olarak tanımlanmış olup, kayaçların makroskopik ve mikroskopik özellikleri aşağıda anlatılmaya çalışılmıştır.

**a- Kireçtaşları :** İnceleme alanının orta kesimlerinde gözlenen bu kayaçlar sarımsı-açık kahverengi renkli olup, bozunma derecesine bağlı olarak renkleri koyulmaktadır. Bol kırık ve çatlaklı, yer yer breşik görunümülü olan bu kireçtaşlarında ikincil kalsit damarları da yaygındır.

Mikroskopik incelemelerde kayaç yapıcı bileşen olarak sadece kalsitlere rastlanmıştır. Yer yer oldukça irileşen kalsit kristalleri yine kalsitten oluşan çok küçük tane boylu bir bağlayıcı malzeme ile tutturulmuşlardır.

Saha ve laboratuvar incelemeleri sırasında bu kireçtaşlarında fosile rastlanılmamıştır.

**b- Mermerler :** İnceleme alanının sadece kuzeydoğu kesiminde izlenebilen mermerlerin dış kısmı kirli beyaz bozunma renkli, bozunmamış iç kısımları ise beyaz renklidir. Mermerlerde tabakalanma izlenmez. Sıkı dokuludurlar.

Sert ve dayanıklı olan bu kayaçlar oldukça iri kalsit kristallerinden oluşmuşlardır.

Mikroskopik incelemelerde kalsit kristallerinin çok güzel dilinimler gösterdikleri, yoğun deformasyonlar geçirikleri, bükülüp kıvrıldıkları gözlenmiştir.

Ayrıca karışık içinde inceleme alanının çeşitli yerlerinde 1/25.000 ölçek düzeyinde haritalanamayacak boyutlarda Eosen yaşı fosiller içeren kireçtaşı blokları ile bir yerde siltaşı bloğu (Karanlıkdere Yatağının yaklaşık 500 m kuzeyinde) da gözlenmiştir. Bunların ofiyolitlerdeki örtü birimlerin aşınmış kalıntıları ve/veya daha sonraki tektonik olaylar sırasında ofiyolitler içine ters faylarla sürüklenmiş bloklar oldukları ve ofiyolit yerleşiminin sonra konumlandıkları düşünülebilir.

### KARIŞGIN YERLEŞİMİ VE YAŞI

Araştırmacıların Sivas havzasındaki ofiyolitik serilerin yerleşim yaşılarındaki düşüncelerini üç ana grupta toplamak mümkündür. İlhan (1976), Tatar (1977), Kalkancı (1978), Bektaş (1979), Tatar (1981, 1983), Ulakoğlu (1985), Tutkun ve diğ. (1988) ile İnan ve diğ. (1989)'ne göre bölgedeki ofiyolitik serilerin yerleşim yaşı Üst Kretase öncesidir (veya Üst Kretase öncesinde yerleşmeye başlamışlardır). Baykal ve Erentöz (1966), Artan ve Sestini (1971), Kurtman (1973), Erdem (1974), Çapan (1981), Yılmaz (1981) ile Bayhan ve Baysal (1982)'a göre ise yerleşim yaşı Üst Kretase olmalıdır. Yücel (1955), Kurtman (1963), Ataman ve diğ. (1975), Temizer (1979) ve Gürsoy (1986) ise yerleşim yaşının Üst Kretase sonrası olduğunu belirtmektedirler.

Bölge ve yakın dolayında çalışan araştırmacıların ofiyolitik serilerin yerleşim yaşına ilişkin bulguları görüldüğü gibi farklılıklar sunmaktadır. Bu çalışmada Divriği Ofiyolitli Karışığının üzerinde yer alan birimlerin yaşları ve Sivas içerisinde yer alan Paleosen yaşı çökellerden itibaren kırtılı kayaçlarda ofiyolitlere ait malzemelerin yaygın olarak gözlenmesi göz önünde bulundurularak Divriği Ofiyolitli Karışığının yerleşim yaşı Üst Kretase olarak kabul edilmiştir. Divriği Ofiyolitli Karışığının bölgedeki daha genç birimlerle dokunaklarına bakılarak daha genç yerleşim yaşlarının düşünülmesi yanlışçı olacaktır. Bunları, ofiyolit yerleşmeden daha sonra da bölgenin tektonik bakımından duysuz olduğu şeklinde değerlendirmek mümkündür.

### KROM YATAKLARI

#### Yatakların Dağılımı ve İsimlendirilmesi

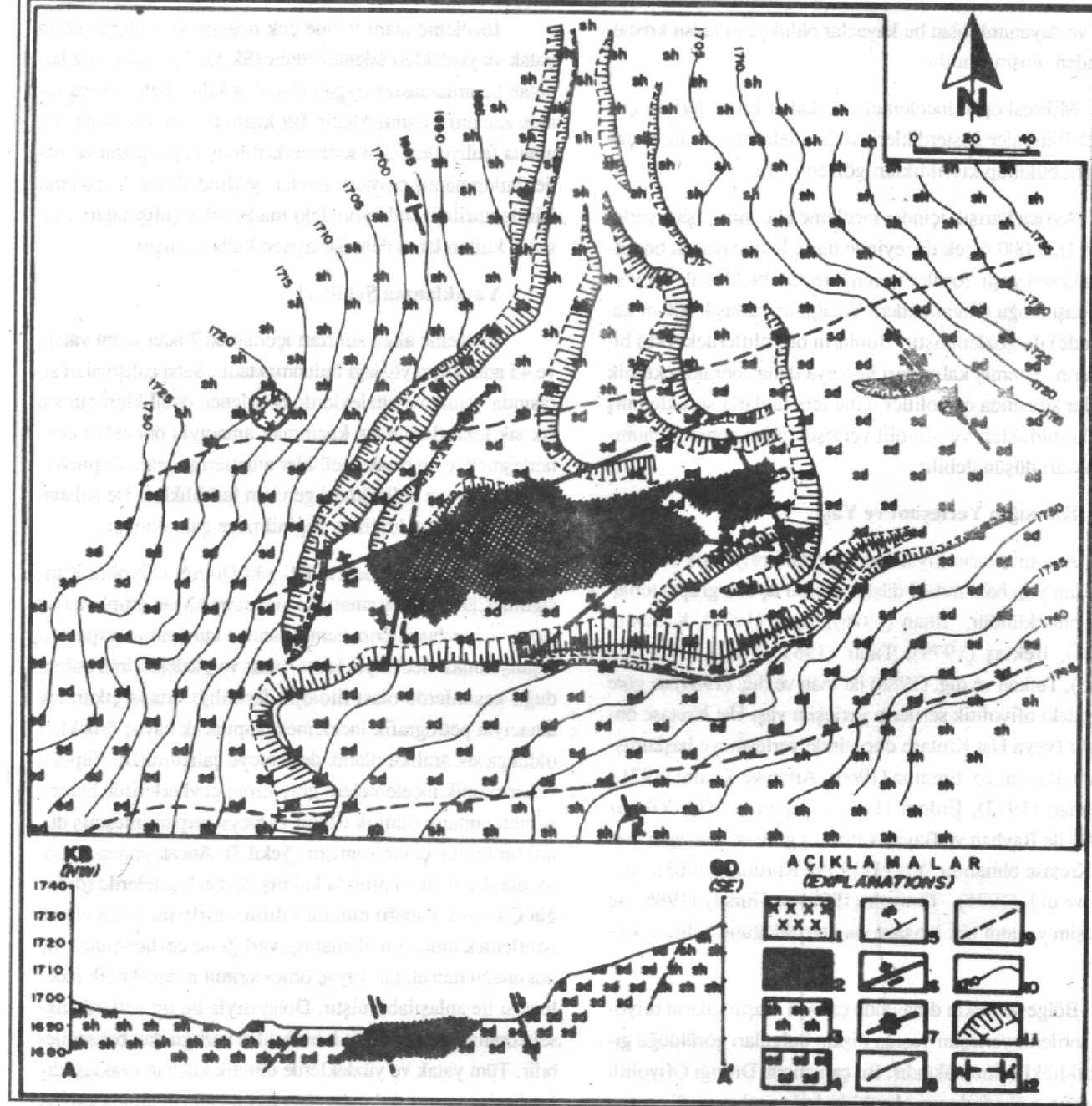
İnceleme alanı içinde çok değişik kesimlerde krom yatak ve yüzlekleri izlenmektedir (Ek 1). Bunlardan bazılan yatak tanımlamasına uygun olacak şekilde halen (veya zaman zaman) işletilmektedir. Bir kısmı ise ya küçük ölçekli arama faaliyetlerinden sonra terkedilmiş veya işletmeye değer bulunmamış cevherleşmeler şeklinde dirler. Yatakların isimlendirilmesinde yörendeki madencilik çalışmaları sırasında kullanılan adlamalar aynen kullanılmıştır.

### Yataklanması Şekilleri

İnceleme alanı sınırları içerisinde 7 adet krom yatağı ve 45 adet krom yüzüğü bulunmaktadır. Saha çalışmaları sırasında yatak ve yüzleklerde belirlenen özellikleri burada sık sık tekrarlamaktan kaçınmak amacıyla öncelikle cevherleşmelere ait ortak özellikler anlatılmış, cevherleşmelerde gözlenen ve belirtilmesi gereken farklılıklara ise anlatım sırasında yeri geldiğince degeinilmeye çalışılmıştır.

Daha önce de belirtildiği gibi Divriği Ofiyolitli Karışığının Çamözü Ultramatitini oluşturan kayaç gruplarından dünit ve harzburjitlerin hemen hemen tamamının serpantinleşmiş olması nedeniyle krom yatak ve yüzleklerinin bulunduğu kesimlerde olası litolojik farklılığı ortaya çıkarmak amacıyla petrografik incelemesi yapılacak kayaç örnekleri oldukça sık araklı olarak derlemeye çalışılmıştır. Yapılan mikroskopik incelemelere göre krom cevherlerinin hemen hemen tamamı dünitik (dünit ve/veya serpantinleşmiş dünit) bir kilitfa çevrelenmiştir (Şekil 3). Ancak yoğun tektonik olayların etkisi altında kalmış cevherleşmelerde (örneğin Çamözü Yatağı) dünitik kilitin sınırlarını kesin olarak belirlemek mümkün olamamış, varlığı ise cevher-yankayaç dokunağından alınan kayaç örneklerinin mikroskopik incelemesi ile anlaşılmamıştır. Dolayısıyla bu tip yerlerde ilk sel konumu gereği dünitik bir kilitin varlığından bahsedilebilir. Tüm yatak ve yüzleklerde dünitik kilittan uzaklaşındığında yine serpantinleşme süreçlerinin etkisi altında kalmış harzburjitelere geçiş sözkonusu olmaktadır.

Saha çalışmaları sırasında Başçayır Yatağı hariç diğer yataklarda ve yatakların yakın civarlarında mafik kayaçların da yer aldığı gözlenmiştir. Mafik kayaçlar çoğunlukla ultramatitleri kesen (Çamözü, Karanlıkdere ve Sivritepeğüneyi Yataklarında yer yer cevherleşmeleri de kesmektedirler) dayk şekilli kütler halinde olup ender olarak da çok küçük boyutlu üzeri aşınmış sil benzeri oluşumlar halindedirler. Mikroskopik incelemeler sonucunda mafik kayaçların büyük çoğunluğunun diyabaz daykları oldukları gözlenmiştir. Bu daykların yanısıra Karanlıkdere ve Karagöl listasyonu Yataklarının yakın civarında pegmatitik özel-



**Şekil 3 : İnceleme alanındaki krom yataklarının tipik yataklanma şekli (Karanlıkdere Yatağı; 1. Diyabaz, 2. Cevherleşme, 3. Serpantinleşmiş harzburjıt, 4. Serpantinleşmiş dünit, 5. Cevherleşme konumu, 6. Eğim atımı fay, 7. Doğrultu atılmış fay, 8. Dokunak, 9. Olası dokunak, 10. Eşyükselti eğrileri, 11. Açık işletme sahası, 12. Kesit aralığı).**

**Figure 3 : Typical depositional style of the chromite deposits in study area (Karanlıkdere Deposit; 1. Diabase, 2. Mineralization, 3. Serpentized harzburgite, 4. Serpentized dunite, 5. Position of mineralization 6. Dip slip fault, 7.**

**Strike slip fault, 8. Contact, 9. Probable contact, 10. Topographic contour, 11. Open pit mining area, 12. Cross section line).**

likteki piroksenit dayklarının yaygın olarak yüzeylendiği ve Karagölistasyonu Yatağındaki piroksenit dayklarının doğrultuları boyunca 150 m'yi bulan uzanımlara sahip oldukları gözlenmiştir. Burun ve Sivritepegüneyi Yataklarında diyabaz dayklarının yanısıra gabro türü mafik kayaçların da yer aldığı, bu oluşumların Burun Yatağında üzeri

asınmış sil şekilli kütleler halinde iken Sivritepegüneyi Yatağında ise dayk biçiminde bulunduğu ve "olivin gabro" olarak tanımlanabileceği saptanmıştır.

**İnceleme alanındaki krom cevherlerinin tamamı boyutları birkaç cm'den 100-110 x 25-45 m'ye kadar değişen**

merceği gibi dış şekilli küteler halindedirler. Ultrmafik kayaçların oluşum ortamlarından bugünkü bulundukları yerlere yerleşimlerine degen geçen yerdeğiştirme sürecinde ve sonrasında etkili olan teknotik kuvvetlerin etkisiyle krom cevherleşmeleri kırılmış, parçalanmış, ufalanmış, faylarla öteleşmiş ve yer yer de tümüyle ezilmiş görünümler sunmaktadır.

Cevher kütelerinin iç yapıları oldukça değişken olup masif, bantlı, saçınımlı, ondülasyonlu, nodüllü, antinodüler ve benekli gibi cevherleşme tipleri gözlenmektedir. Bu cevherleşme tipleri Karanlıkdere Yatağında bantlı- (bantlı+saçınımlı) -saçınımlı- (saçınımlı+masif), Karagöl listasyonu Yatağında bantlı-antinodüler, Başçayır Yatağında masif-sacınımı- (masif+saçınımlı), Burun Yatağında saçınımlı-masif, Çamözü Yatağında masif-sacınımı-nodüllü-benekli (nodüllü+benekli), Sivritepe güneyi Yatağında bantlı, Eşeksırtı Yatağında ise bantlı-ondülasyonlu -(bantlı+ondülasyonlu) şeklinde dir. İnceleme alanında saptanan ve sayıları 45 dolayında olan krom yüzleklerindeki cevherleşmeler ise çoğunlukla teknotik kuvvetlerin etkisiyle ezilmiş, masife yakın derecede yoğun saçınımlı krom zenginleşmeleri şeklinde dir.

Bu yatak ve yüzlekler inceleme alanı içinde yaklaşık K 70 °D doğrultulu ve birbirine paralel 5 ayrı zon üzerinde çizgisel sayılabilen bir dizilim göstermektedirler (Ek 1). Bu zonlar ile içerdikleri krom yatak ve yüzlekleri aşağıda olduğu gibi sıralanabilir.

**1. Zon :** Eskikarahisar Köyü'nün yaklaşık 1,5-2 km güneyinden başlayıp kuzyeydoğu Karagöl Köyü'ne doğru uzanmaktadır ve bu zon üzerinde toplam 4 adet krom yüzüğü bulunmaktadır.

**2. Zon :** Başçayır köyü'nün yaklaşık 1 km doğusundan başlayıp 1. zona paralel olacak şekilde doğuya doğru uzanmaktadır. Bu zon üzerinde 2 adet krom yatağı (Karanlıkdere ve Karagöl listasyonu Yatakları) ile 9 adet krom yüzüğü bulunmaktadır.

**3. Zon :** Başçayır Köyü'nün 600-700 m güneydoğu-sundan başlayıp Küçük Yılanlıdağ'ın kuzey eteklerinde sonlanmaktadır. Bu zon üzerinde 3 adet krom yatağı (Başçayır, Burun ve Çamözü Yatakları) ile 17 adet krom yüzüğü yer almaktadır.

**4. Zon :** Başçayır Köyü'nün 1,5-2 km kadar güneyinden başlayıp Küçük Yılanlıdağ'ın batı epejine doğru uzanmaktadır. Bu zon üzerinde 2 adet krom yatağının (Sivritepe güneyi ve Eşeksırtı Yatakları) yanısıra 13 adet krom yüzüğ-

ü bulmaktadır.

**5. Zon :** Felhan, Yacı ve Çatal Dağlarının kuzey eteklerinden başlayıp diğer zonlara paralel olacak şekilde Küçük Yılanlıdağ'ın güneydoğu eteklerinde sonlanmaktadır. Bu zon üzerinde ise 2 adet krom yüzüğü bulunmaktadır.

İnceleme alanındaki krom cevherlerinden Karanlıkdere, Başçayır ve Çamözü Yataklarından cevher üretimi yapılmamasına karşın diğer yataklardan zaman zaman üretim yapılmıştır.

## CEVHER MİKROSKOPİSİ

### Amaç ve Yöntem

Cevher mikroskopisi incelemeleri inceleme alanında krom cevherleşmelerinin mineral içeriği ile mikro yapı ve doku özelliklerini inceleyebilmek ve petrografik incelemeler sırasında opak mineral içeriği yüksek olan kayaç örneklerindeki opak minerallerinin türünü saptayabilmek için yapılmıştır.

Hazırlanan parlatma blokları üstten aydınlatmalı, ince kesitler ise alttan aydınlatmalı polarizan mikroskop yöntemleri ile incelenerek mineral içerikleri ile mikro yapı ve doku özellikleri belirlenmeye çalışılmıştır.

### Mineralojik Bileşim

İncelenen tüm cevher örneklerinde krom içeren cevher minerali olarak yalnızca kromit gözlenmiştir. Ayrıca, eser miktarda ve küçük boyutlu oluşları nedeniyle kesin tanımlamaları yapılamayan sürfürlü minerallere de rastlanılmıştır.

Bir opak mineral olan kromit, ince kesitlerin alttan aydınlatmalı polarizan ışıkta incelenmeleri sırasında koyu kırmızı-kahverengi rengi ile kolayca tanınabilmektedir. Parlatma bloklarının üstten aydınlatmalı polarizan ışıkta incelenmeleri sırasında ise grimsi-beyaz rengi, orta derecedeki yansıtma gücü, yansıtma plekroyizması göstermemesi ve çift nikolde izotrop oluşu ile tanınmaktadır.

Kromit kristalleri özellikle kırık ve çatlaklısı boyunca ve kenarlarından itibaren ferritkromite dönüşmüşlerdir (Levha II, Foto 1). Bu dönüşümler kromitlere göre daha açık renkli olmaları ve yansıtma güçlerinin daha yüksek olması ile farkedilmektedirler. Ayrıca kromit ile ferritkromit arasında bir kromit-ferritkromit geçiş (reaksiyon) kuşağı da bulunmaktadır. Ferritkromitlerin oluşumları hakkında değişik görüşler bulunmaktadır olup Golding ve Byliss (1968) ile Beeson ve Jackson (1969) gibi araştırmacılar Ferritkromitle-

rin "Silikatların serpantinleşmesi sırasında veya hemen sonrasında Mg ve Al'nin kromitten ayrılarak serpantin grubu mineralerinin yapısına girmesiyle" oluştuğunu ileri sürmektedirler. Ulmer (1974) ise ferritkromitlerin "serpantinleşme sırasında açığa çıkan Fe ve Mg'nin kromiten ayrılan Cr ile birlikte kromit tanelerinin etrafında büyümesi ile" oluştuğunu savunmaktadır. Bliss ve McLean (1975)'a göre "serpantinleşme sırasında oluşan manyetitin kromit ile reaksiyona girmesi sonucu ferritkromit oluşumu gerçekleşmektedir. Paktunç (1978) ise ferritkromitlerin "kromitlerin yarı katı halde iken metasomatik bozunması ile" oluştuğunu belirtmektedir. Ferritkromitlerin kimyası hakkında da değişik fikirler ileri sürmektedir. Bazı araştırcılara göre (Panagos ve Ottemann, 1966; Golding ve Byliss, 1968; Mihalik ve Saager, 1968; Beeson ve Jackson, 1969; Engin ve Autcott, 1971) ferritkromitler kromite göre Fe ve Cr bakımından zenginleşmiş, Al ve Mg bakımından ise fakirleşmiştir. Frisch (1971), Onyeagocha (1974), Springer (1974), Ulmer (1974), Bliss ve McLean (1975) ile Kirikoğlu (1987) ise ferritkromitlerin kromitlere göre Fe'ce zenginleşmiş, Al, Mg ve Cr'ca fakirleşmiş olduğunu belirtmektedirler. Ayrıca bazı kromit kristallerinde iç yansımalar da gözlemlenmiştir. Rhamdor (1980) bu özelliğin Mn ve Al'ca zengin kromitlerde gelişğini belirtmektedir.

Eser miktarda gözlenen ve küçük boyutlu olmaları nedeniyle kesin tanımlamaları yapılamayan sülfürlü mineralerin Ni-sülfürlü mineralerleri olduğu sanılmaktadır. Bunlar genellikle kromitlerin çatlakları boyunca gözlenen silikat ganni içinde (Levh II, Foto 2), ender olarak da kromit kristalleri içindeki serpantin grubu mineral kapanımları içinde izlenmektedirler.

Opak mineral içeriği yüksek olan ultramafik (dünit ve harzburjıt) ve mafik (diyabaz ve gabro) kayaç örneklerinden hazırlanan parlatma bloklarında dünit ve harzburjitlerdeki opak mineraler kromit, diyabazlardakilerin çoğunlukla hematit, daha az ornlarda kalkopirit, pirit ve Ni-sülfürlü mineraler, gabrolardakilerin ise hematit ve kalkopirit oldukları gözlenmiştir.

Cevher örneklerinden hazırlanan incekesitlerde kromit kristalleri ile birlikte gang minerali olarak serpantin grubu mineralerin ve serpantinleşmiş olivinlerin bulunduğu gözlenmiştir. Teknik olsakızlıklar nedeniyle serpantin grubu mineralerin türleri saptanamamış olup, bunlar kromitlerin aralarında, çatlaklarında ve kromitler içinde kapa-

nımlar halinde bulunmaktadır.

### Mikro Yapı ve Doku

Kromit kristalleri genellikle 3 mm'nin altında tane büyülüüğe sahiptirler. Eşit büyüklükte taneli bir yapı gösteren kromitler genellikle özsekilsiz ve ornatılmış izlenimi veren ender olarak da yarı özçekilli ve kenarları hafifçe yuvarlatılmış kristaller şeklindedirler.

Kromitlerde gözlenen en önemli dokusal özellikler breşleşme (kataklastik doku) ve çek-ayır (pull-apart) dokularıdır. Bilindiği gibi breşik doku sıkıştırma ve makaslama kuvvetlerinin etkisiyle, çek-ayır dokusu ise gerilme kuvvetlerinin etkisiyle oluşmaktadır.

Breşleşme sırasında kromit kristalleri kırılmış ve parçalanmış (Levh II, Foto 3), bazen tamamen milonitik bir hal almışlardır (Levh II, Foto 4).

Çek-ayır dokusu ana gerilme doğrultusuna dik olarak gelişmiş çatlaklar şeklindedir (Levh II, Foto 5). Bazen birlikte bulunan kromit kristallerinin toplu halde bu dokuya kazandıkları da görülmüştür.

### SONUÇLAR VE ÖNERİLER

#### Sonuçlar

- İnceleme alanındaki litostratigrafik dizilim 1/25.000 ölçek düzeyinde yaşlıdan gence doğru Çataldağ Kireçtaşı, Divriği Osiyolitli Karışığı, Tecer Formasyonu, Karacaören Formasyonu, Eski ve Genç Alüvyonlar şeklinde belirlenmiş ve kayaç türleri incelenmiştir.

- Bölgeye Üst Kretase'de yerlesiği kabul edilen Divriği Osiyolitli Karışığı iki üyeye ayırtlanarak incelenmiştir. Karışıkta serpantinleşmiş harzburjıt, serpantinleşmiş dünit, diyabaz, piroksenit ve gabrolar Çamözü Ultramafiti olarak, karışıkta yabancı bileşenleri oluşturan (magmatik olmayan) kireçtaşı, mermer, silttaşısı ve fosilli kireçtaşı blokları ise Karışığın Diğer Bileşenleri olarak tanımlanmışlardır.

- Yapılan incelemelerde yöredeki krom cevherleşmelerinin harzburjิตik çevre kayaçlar içinde dunitik bir kılıf tarafından sarılmış olarak yataklandıkları ve tüm krom cevherleşmelerinin Çamözü Ultramafiti içinde yaklaşık K 70°D doğrultusu boyunca birbirine paralel olarak uzanan 5 ayrı zon boyunca konumlandıklar saptanmıştır.

- Cevherleşmeler boyutları oldukça değişken, merceği yakın dış şekilli kütleler halinde olup, masif, bantlı, saçılımlı, benekli, nodüllü, ondülasyonlu ve antinodüler tip iç yapı özelliği göstermektedirler.

Cevher mineralerinin mikroskopik incelemeleri sırasında krom cevher minerali olarak yalnızca kromit, gang minerali olarak ise çoğunlukla serpentin grubu mineraler ve yer yer de olivin kalıntıları gözlenmiştir. Bunların yanı sıra bazen kromitlerin çatlaklarında bazan da içerdikleri silikat kapanımlarında Ni-sülfür mineralerini gözlenmiştir. Ayrıca, kromitlerin kenar ve çatlaklarından itibaren ferrikromite dönüştüğü de gözlenmiştir. Kromitlerde kataklastik doku hakim olup yer yer çek-ayır dokusu da gelişmiştir.

İnceleme alanındaki krom cevherlerinin, çevre ve yankayaçlarının türü-özellikleri, cevherleşmelerde gözlemlenen dış ve iç yapı özellikleri ile Türkiye'nin jeotektonik özellikleri gözönüne alındığında alpin tip krom yataklarının kapsamı içinde değerlendirilmeleri gerektiği söylenebilir.

### Öneriler

İnceleme alanında yeni krom yataklarının bulunabilmesi veya bilinen yatakların devamlılığının araştırılabilmesi için;

- Yörede beklenilebilecek daha büyük cevherleşmelerin Ek 1'de sunulan cevherleşme zonları üzerinde yer almaları olasılığının oldukça kuvvetli olduğu gözönünde bulundurularak yeni yatak arama çalışmaları bu zonlar üzerinde yoğunlaştırmalıdır.

- Yapılacak mikroteknotik incelemelerle, tanımlanan 5 ayrı cevherleşme zonunun gelişimi araştırılmalıdır.

### KATKI BELİRTME

Yazarlar saha çalışmaları sırasında yardımları için Bilfer Madencilik AŞ çalışanlarına, laboratuvar incelemeleri sırasında yardımları için de Araş.Gör. Ahmet EFE'ye (C.Ü.) teşekkür ederler.

### DEĞİNİLEN KAYNAKLAR

Artan, Ü. ve Sestini G., 1971. Sivas-Zara-Beypinarı bölgesinin jeolojisi. MTA Dergisi, 76, s. 80-89.

Ataman, G., Buket, E. ve Çapan, U.Z., 1975. Kuzey Anadolu fay zonu bir paleo-benioff zonu olabilir mi? MTA Dergisi, 84, s. 112-119.

Bayhan, H. ve Baysal, O., 1981. Güneş-Soğucak (Divriği-Sivas) bölgesindeki sülfür cevherleşmelerinin mineralojik ve jenetik incelenmesi. Yerbilimleri, H.Ü. Yay., 8, s. 41-52.

Bayhan, H. ve Baysal, O., 1982. Güneş-Soğucak (Divriği-Sivas) yoresinin petrografik-petrolojik incelenmesi.

TJK Büt., 25/1, s. 1-15.

Baykal, F. ve Erentöz, C., 1966. 1/500.000 ölçekli TJH ağırlama kitabı. MTA Yay., 116 s.

Beezon, M.H. and Jackson, E.D., 1969. Chemical composition of altered chromites from the Stillwater complex, Montana. Amer. Mineral., 54, p. 1084-1100.

Bektaş, O., 1979. Kuzey Anadolu fay zonunun Erzincan Tanyeri bucağı yoresindeki özellikler (ön sonuçlar). 33. Türkiye Jeol. Bil. ve Tek. Kurultayı, Bildiri Özetleri, TJK Yay., s. 48-51.

Bliss, N.W., and McLean, W.H., 1975. The paragenesis of zoned chromite from central Manitoba. Geochim. Cosmochim. Acta, 39, p. 973-990.

Çapan, U.Z., 1981. Toros kuşağında yer alan Marmaris, Mersin, Pozantı, Pınarbaşı ve Divriği Ofiyolitinin iç yapıları, birimler arası ilişkileri ve yapısal özelliklerine yaklaşım. TJK 35. Bil. ve Tek. Kurultayı, Bildiri Özetleri, s. 46-47.

Engin, T. and Aucott, J.W., 1971. A microprobe study of chromites from the Andızlık-Zımparalık area, southwest Turkey. Min. Mag., 38, p. 76-82.

Erdem, N.P., 1974. Türkiye'deki ofiyolitik seriler. MTA Derg., 83, s. 131-145.

Frisch, T., 1971. Alteration of chrome spinel in a dünite nodule from Lanzarote, Canary Islands. Lithos., 4, p. 83-91.

Golding, H.G. and Bayliss, P., 1968. Altered chrome ores from the Coolac serpentine belt, New South Wales, Australia. Amer. Mineral., 53, p. 162-183.

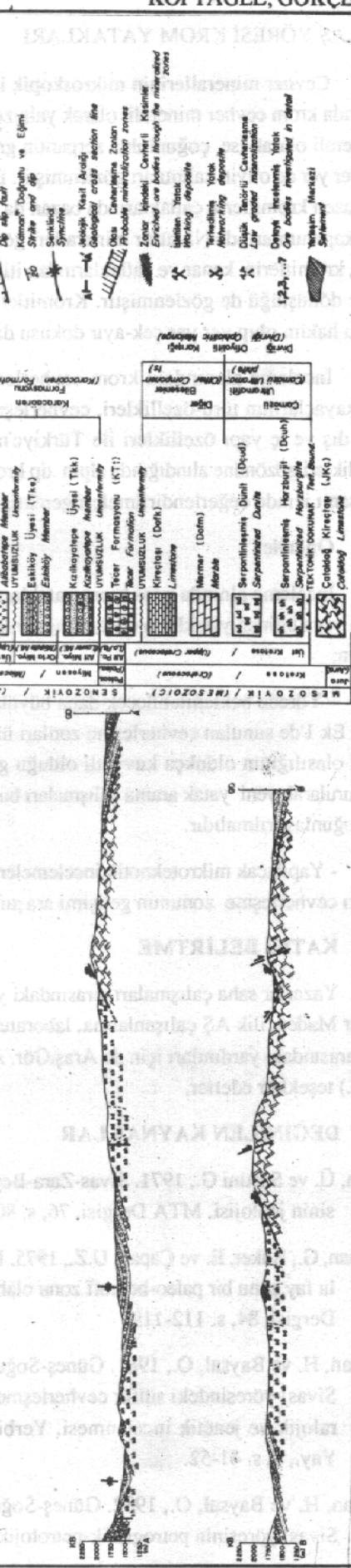
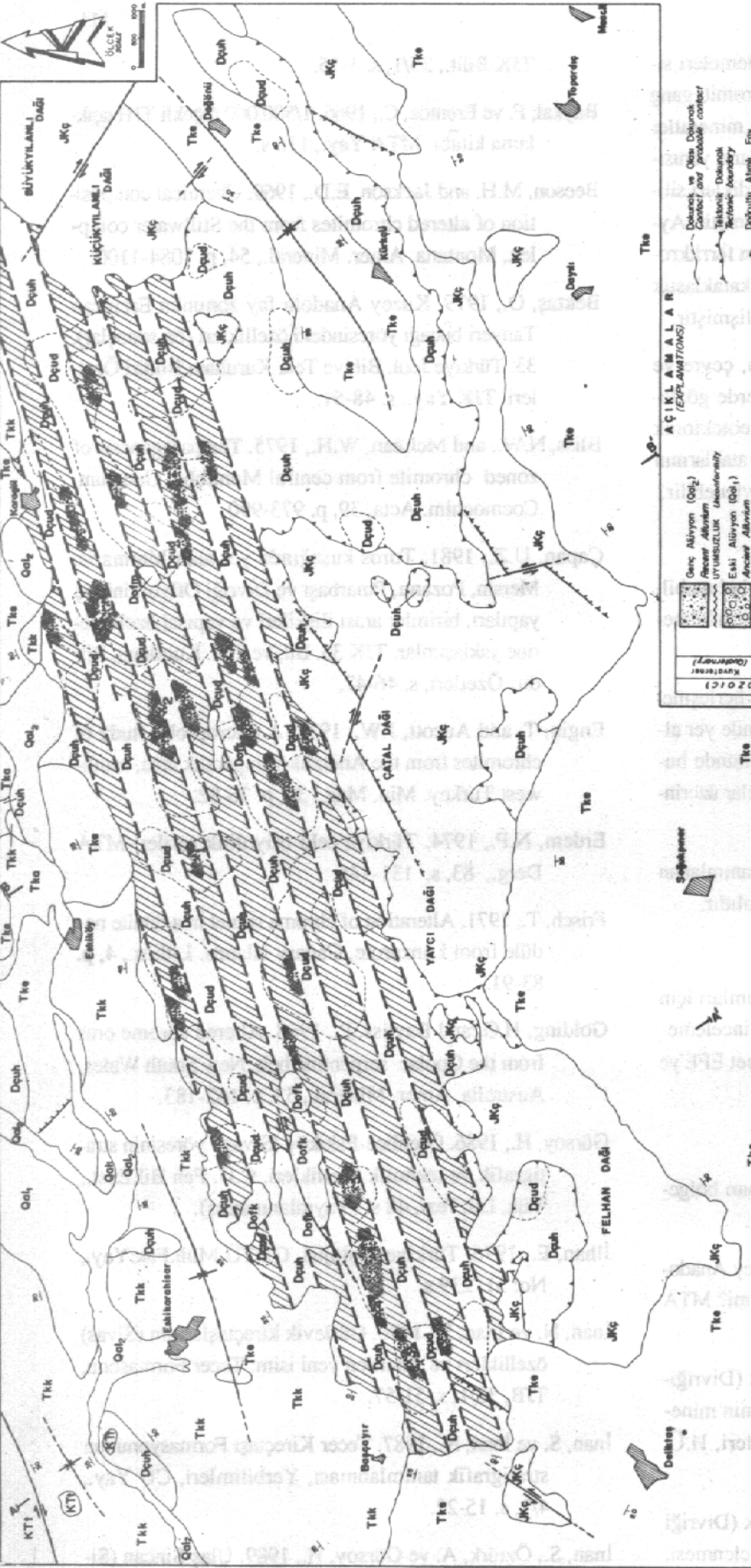
Gürsoy, H., 1986. Örenlice-Eskiköy (Sivas) yoresinin stratigrafik ve teknotik özellikleri. C.Ü. Fen Bil. Enst., Yük. Lis. Tezi, 48 s. (Yayınlanmamış).

İlhan, E., 1976. Türkiye Jeolojisi. ODTÜ Müh.Fak. Yay., No: 51, 239 s.

İnan, N. ve İnan, S., 1990. Gürlevik kireçtaşlarının (Sivas) özellikleri ve önerilen yeni isim: Tecer Formasonu, TJB, 33/1, s. 51-57.

İnan, S. ve İnan, N., 1987. Tecer Kireçtaşı Formasyonunun stratigrafik tanımlanması, Yerbilimleri, CÜ Yay., 4/1, s. 15-22.

İnan, S., Öztürk, A. ve Gürsoy, H., 1989. Ulaş-Sincan (Si-



**Ek 1:** İnceleme alanının jeoloji haritası ve krom cehherleşmelerinin konumları (1. Karanlıkdere Yatağı, 2. Karagöl İstasyonu Yatağı, 3. Başçayır Yatağı, 4. Burun Yatağı, 5. Çamözü Yatağı, 6. Sivritepegünüy Yatağı, 7. Eşeksir Yatağı).

**Appendix 1:** Geology map of the study area and geographic locations of the chromite mineralizations (1. Karanlıkdere Deposit, 2. Karagöl İstasyonu Deposit, 3. Başçayır Deposit, 4. Burun Deposit, 5. Çamözü Deposit, 6. Sivritepegünüy Deposit, 7. Eşeksir Deposit).

- vas) yoresinin stratigrafisi. Doğa Derg., TÜBİTAK Yay. (Baskida).
- Kalkancı, Ş., 1978. Suşehri güneyinin jeolojik ve petrokimyasal etidü: Kösedaği siyenitik masifinin jeokronolojisi (KD Sivas). TJK 32. Bil. ve Tek. Kurultayı, Bildiri Özeleri, s. 33-34.
- Ketin, İ., 1966. Anadolu'nun tektonik birlikleri. MTA Derg., 66, s. 20-35.
- Kirikoğlu, M.S., 1987. Karabayır metaofiyolitli krom spinellerinin mineral kimyası. Yerbilimleri, İÜ Yay., 6/1-2, s. 20-36.
- Koptagel, O., 1991. Baçayır-Dağönü (Ulaş-Sivas) krom yataklarının jeolojisi, oluşumu ve kökeni. CÜ Fen Bil. Enst. Doktora Tezi, 233 s. (Yayınlanmamış)
- Kurtman, F., 1963. Tecer Dağlarının jeolojisi ve alacalı seri hakkında bazı müşahedeler. TJK Bült., 8/1-2, s. 19-26.
- Kurtman, F., 1973. Sivas-Hafik-Zara ve İmranlı bölgesinin jeolojik ve tektonik yapısı. MTA Derg., 80, s. 1-32.
- Mihalik, P. and Saager, R., 1968. Chromite grains showing altered borders from the basal reef Witwatersrand System Amer. Mineral., 53, p. 1453-1550
- Onyeagocha, A.C., 1974. Alteration of chromite from the Twin Sisters dunite, Washington. Amer. Mineral., 59, p. 608-612.
- Paktunç, D., 1978. Fethiye-Göcek yoresi Çatalocak-Suluocak krom cevherleşmesinin mineralojisi ve jeokimyası. HÜ Yük. Müh. Tezi, 55 s. (Yayınlanmamış)
- Panagos, A. and Ottemann, J., 1966. Chemical differentiation of chromite grains in the nodular chromite from Rodiani (Greece). Mineral. Deposit., 1, p. 72-75
- Rhamdor, P., 1980. The ore minerals and their intergrowths. Vol:2, Pergamon Press, Berlin, 1202 p.
- Springer, R.K., 1974. Contact metamorphosed ultramafic rocks in the western Sierra Nevada foothills, California. Jour. of Petrol., 15, P. 160-195
- Tatar, Y., 1977. Ofiyolitli Çamlıbel (Yıldızeli) bölgesinin stratigrafisi ve petrografisi. MTA Derg., 88, s. 56-73
- Tatar, Y., 1981. Çamlıbel geçidi (Yıldızeli) yoresindeki ofiyolit seride metamorfizma. Yerbilimleri, KTÜ Yay., 1/1, s. 45-65
- Tatar, Y., 1983. Yıldızeli Subaşı Köyü yoresindeki teknotik incelemeler. TJK Bült., 4, s. 3-15
- Temizer, Y., 1979. Gürlevik Dağı çevresindeki ofiyolitlerde krizotil abest mineralizasyonları. 33. Türkiye Jeol. Bil. ve Tek. kurultayı, Bildiri Özeleri, s. 81-82
- Tutkun, S.Z., Özçelik, O., Gökçe, A. ve Tunç, M., 1988. Divriği, Yakuplu, İlç, Hamo (Sivas) yoresinin jeolojisi, teknotik özellikleri ve yeraltı zenginlikleri. TÜBİTAK Proje no: TBAG 673, 133 s. (Yayınlanmamış)
- Ulakoğlu, S., 1985. Suşehri (Sivas) dolayının jeolojisi. Yerbilimleri, İÜ Yay. 5/1-2, s. 1-19.
- Ulmer, G.C., 1974. Alteration of chromite during serpentinitisation in the Pennsylvania-Maryland district. Amer. Mineral., 59, p. 1236-1241
- Yılmaz, A., 1981. Tokat ile Sivas arasındaki temel jeolojik özellikleri ve bölgedeki ofiyolitli karışığın kökeni, ve yerleşmesine degen düşünceler. TJK 35. Bil. ve Tek. Kurultayı, Bildiri Özeleri, s. 41-42
- Yücel, T., 1955. Kangal-Gemerek arasındaki jeolojisi hakkında rapor. MTA Rap. No: 2336 (Yayınlanmamış).

Ülkemizdeki en önemli olmamış olivin türlerinin  
birincisi olan olivin (O1) türleridir.

**Foto 1** : Harzburjiterde bastitleşmiş ortopiroksen  
kristali (Ba) ile birlikte gözlenen bozunmamış olivin  
kristali (01) (mikrofoto, incekesit, çift nikol, büyütme: 40X).

**Foto 2** : Bastitleşmiş ortopiroksen kristalinde  
gözlenen kink bantları (mikrofoto, incekesit, çift nikol,  
büyütme: 100X).

**Foto 3** : Harzburjiterde ortopiroksen içinde klinopi-  
roksen ayrımları (mikrofoto, incekesit, çift nikol,  
büyütme: 40X).

**Foto 4** : Bastitleşmiş ortopiroksen kristalinin (Ba)  
çevresini saran talk (Ta) kılıfı (mikrofoto, incekesit,  
çift nikol, büyütme: 40X)

**Foto 5** : Dünitlerde ağ/elek dokusu (mikrofoto, in-  
cekesit, çift nikol, büyütme: 40X)

**Foto 6** : Gabrolarda plajyoklazlardan (P1) dönü-  
şüm yoluyla oluşmuş işansal prehnit kristali (Pr) (mik-  
rofoto, incekesit, çift nikol, büyütme: 100X)

IRDA İNVESTİGASYONLAR

(BİLDİRİ) 197

Küçük olguların mikrofoto (40X) ile  
gözlemlenmesi, en fazla dikkat edilecek olan  
bir teknikdir. Bu teknikle, olguların  
genel yapısının ve iç yapısının  
ayrılmaları kolaylaşır.

ATM (oligoklorit) türlerin mikrofoto  
(40X) ile 197

**Plate I** : Harzburjite  
değerlendirme (mikrofoto, incekesit, çift nikol, 40X)

**Photo 1** : Bastitic orthopyroxene (Ba) and unaltered olivine (01) paragenesis in harzburgite (microphoto, thin section, crossed nicol, magnification: 40X).

**Photo 2** : Kink bands developed in the bastitic orthopyroxene crystals in harzburgite (microphoto, thin section, crossed nicol, magnification: 100X).

**Photo 3:** Clinopyroxene exsolutions in the orthopyroxene crystals in harzburgite (microphoto, thin section, crossed nicol, magnification: 40X)

**Photo 4** : Talc (Ta) occurrences surrounding the bastitic orthopyroxene crystal (Ba) (microphoto, thin section, crossed nicol, magnification: 40X)

**Photo 5** : Mesh texture in dunites (microphoto, thin section, crossed nicol, magnification: 40X)

**Photo 6** : Radial prehnite crystals (Pr) replacing plagioclase (P1) in gabbro (microphoto, thin section, crossed nicol, magnification: 100X).

Foto 1 (Photo 1)

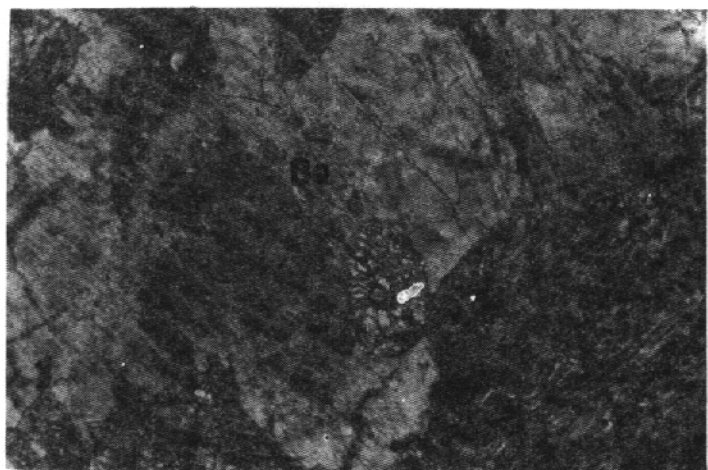


Foto 2 (Photo 2)

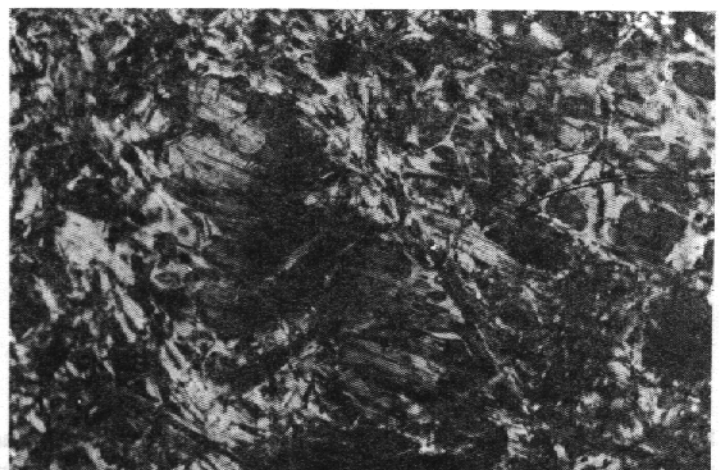


Foto 3 (Photo 3)

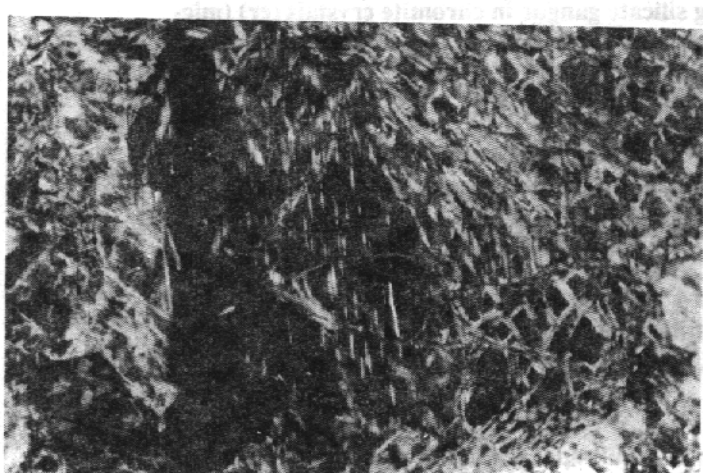


Foto 4 (Photo 4)



Foto 5 (Photo 5)

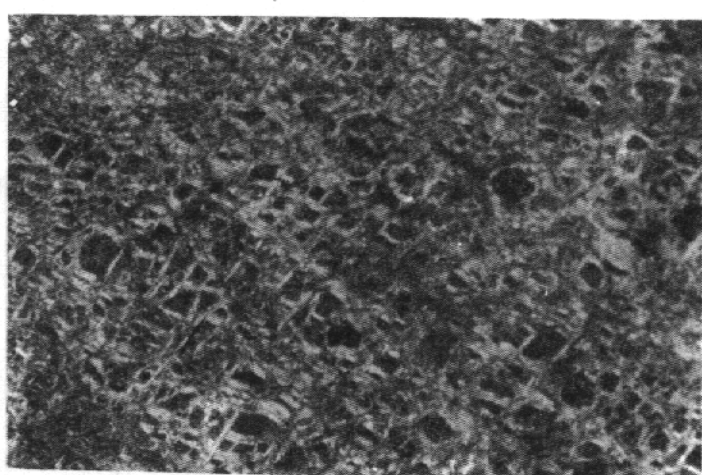


Foto 6 (Photo 6)



**LEVHA II**

**Foto 1** : Kromitlerde (cr) çatlaklar boyunca ferrikromit (fr) oluşumları (mikrofoto, parlatma, hava ortamı, tek nikol, büyütme: 200X),

**Foto 2** : Kromitlerin (cr) çatlaklarındaki silikat gangi içinde gözlenen Ni-sülfür (ni) mineralleri (mikrofoto, parlatma, hava ortamı, tek nikol, büyütme:200X).

**Foto 3** : Kromitlerde kataklastik doku (mikrofoto, parlatma, hava ortamı, tek nikol, büyütme:100X)

**Foto 4** : İleri derecede kataklastik kromitlerde miloniteşmiş zonlar (mikrofoto, parlatma, hava ortamı, tek nikol, büyütme:100X)

**Foto 5** : Bir kromit kristalinde çek-ayır dokusu (mikrofoto, parlatma, hava ortamı, tek nikol, büyütme:50X).

**Plate II**

**Photo 1** : Ferrichromite (fr) occurrences along the cracks in chromites (cr) (microphoto, polished surface, air, single Nicol, magnification: 200X)

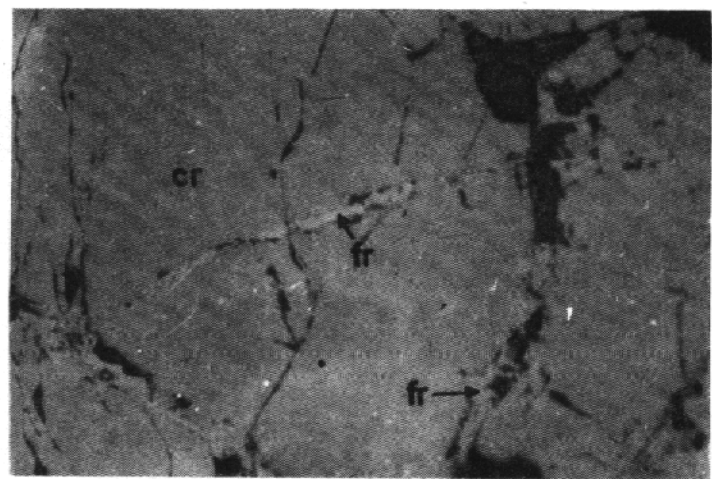
**Photo 2** : Ni-sulfure (ni) minerals in the fracture filling silicate gangue in chromite crystals (cr) (microphoto, polished surface, air, single Nicol, mangification:200X)

**Photo 3** : Catastrophic texture in chromites (microphoto, polished surface, air, single Nicol, magnification:100X)

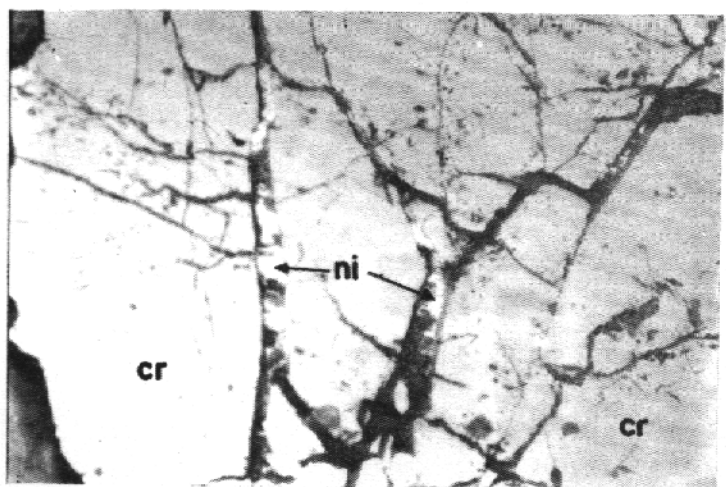
**Photo 4** : Milonitized zones in the highly cataclized chromites (microphoto, polished surface, air, single Nicol, mangification:100X)

**Photo 5** : Pull-apart texture in a chormite crystal (microphoto polished surface, air, single Nicol, magnification:50X).

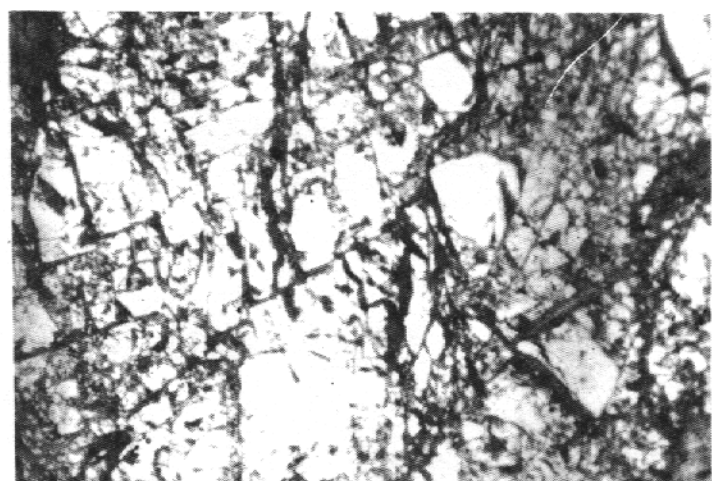
**Foto 1 (Photo 1)**



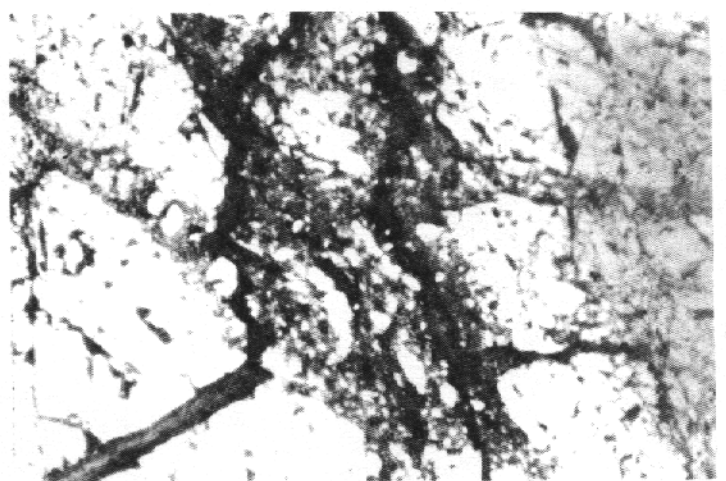
**Foto 2 (Photo 2)**



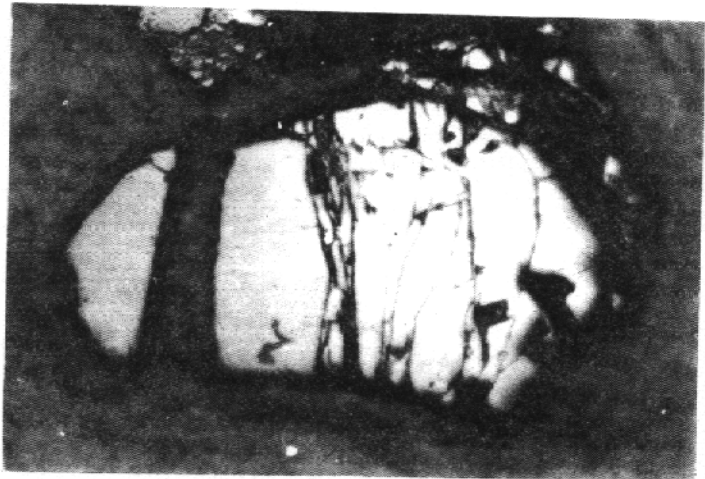
**Foto 3 (Photo 3)**



**Foto 4 (Photo 4)**



**Foto 5 (Photo 5)**



## ANTALYA TRAVERTENLERİNİN FİZİKO-MEKANİK ÖZELLİKLERİ VE YAPI GERECİ OLARAK DEĞERLENDİRME OLANAKLARI

**Physico-Mechanical properties of the Antalya travertines and their significance in the construction sector**

**Feda ARAL, Cumhuriyet Üniversitesi, Jeoloji Mühendisliği Böl.Sivas**

**ÖZ:** Antalya ve yöresinde geniş bir yayılıma sahip ( $630 \text{ km}^2$ ) travertenler, yöredeki kalsiyumbikarbonatça zengin kaynakların sekonder çökelimine bağlı olarak oluşmuşlardır.

Yöredeki yapıtaşının gereksinimi traventerlerden daha uygun ekonomik koşullarda karşılamak ve böylelikle doğal kaynakları daha rasyonel kullanarak devreye sokmak gereklidir. Bu çalışmada Antalya travertenlerinin fiziksel ve mekanik özellikleri deneyler sonucu saptanmış ve yapıtaşının kullanım özellikleri belirlenmiştir.

**ABSTRACT:** The Antalya travertines are exposed over a wide area in the southern part of Turkey ( $630 \text{ km}^2$  wide) and developed during the secondary sedimentation of the rocks which are rich in calciumbicarbonate

Physico-mechanical work in this region was carried out to determine the characters of these travertines to use as buildingstones. Based on these findings travertines are the dominant rock types in the area that should be used in constructions economically.

### GİRİŞ

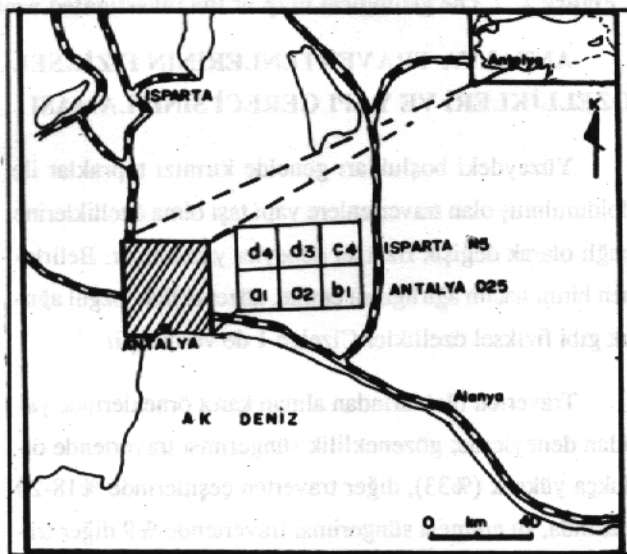
İnceleme alanı Antalya ili sınırları içerisinde yer almaktadır (Şekil 1). Yörede çeşitli amaçlara yönelik jeolojik çalışmalar yapılmıştır. Kalafatçıoğlu (1974), ayrıntılı olarak yörenin stratigrafisini ortaya koymuştur. Altuğ (1977), ve Ertunç (1979), hidrojeoloji amaçlı olarak traventerlerde incelemelerde bulunmuşlardır. Şengör ve Yılmaz (1982), Koçyiğit (1984) gibi araştırmacılar bölgenin tektoniği üzerinde çalışmalar yapmışlardır.

Çalışma alanı allokton birimler ve otokton birimler olarak ayrılmıştır (Brunn, 1970). Otokton birimler olarak; Jura-Kretase, Paleosen, Miyosen, Pliyosen ve Kuvaterner yaşıının değişik litostratigrafik birimleri yüzeylemektedir. Allokton birim olarak; Lisiyen, Hoyran ve Antalya naplarıının (Brunn, 1970), değişik litostratigrafik birimleri yüzeylemektedir (Inan, 1985; Şekil 2).

Pliyo-Kuvaterner yaşı travertenler, Antalya'nın 30 km kuzeyinde bulunan Kırkgözeler kaynak grubundan çıkan kalsiyumbikarbonatça zengin suların çökelttiği karbonatlar olup, oluşumu günümüzde de devam ettiirmektedir.  $630 \text{ km}^2$ lik geniş bir alanda ortalama 200 m kalınlıkta yüzeyleyen travertenler değişik özelliklerine göre; sık dokulu masif traverten, bitki dokulu traverten, bitki dokulu masif traverten, süngerimsi traverten ve oolitik traverten olmak

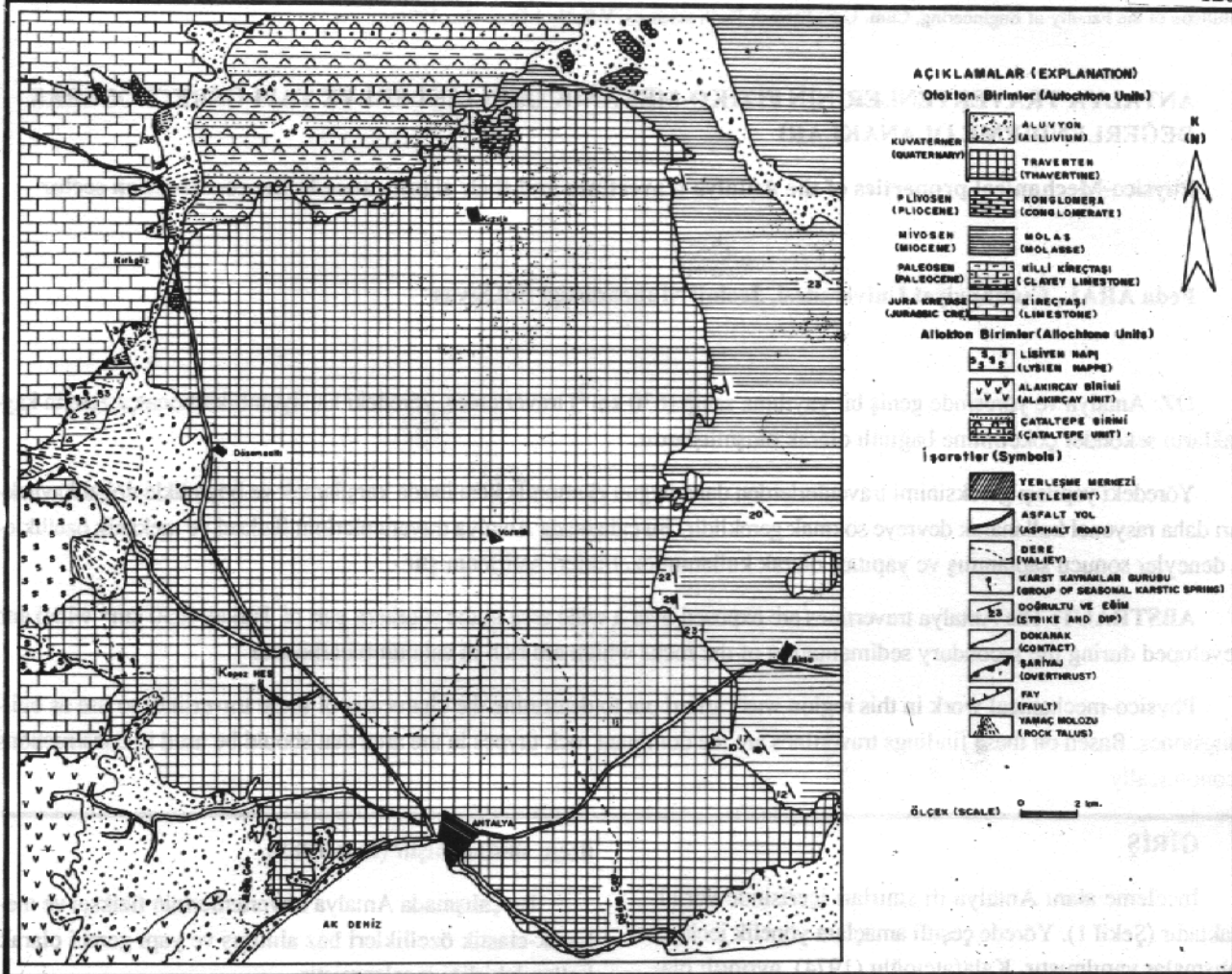
üzerine sınıflanmıştır (Inan, 1985).

Bu çalışmada Antalya travertenlerinin fiziksel ve mekanik-elastik özellikleri baz alınmış ve yapı gereci olarak kullanılabilirliği incelenmiştir.



**Şekil 1 : Yer bulduru haritası**

**Figure 1 : Location map.**



Şekil 2 : İnceleme alanının jeoloji haritası (İnan, 1985).

Figure 2 : The geological map of the investigated area.

### ANTALYA TRAVERTENLERİNİN FİZİKSEL ÖZELLİKLERİ VE YAPI GERECİ SINIFLAMASI

Yüzeydeki boşlukları genelde kırmızı topraklar ile doldurulmuş olan travertenlere yapı taşı olma özelliklerine bağlı olarak değişik fiziksel deneyler yapılmıştır. Belirlenen birim hacim ağırlığı, su emme, gözeneklilik, özgül ağırlık gibi fiziksel özellikler Çizelge 1 de verilmiştir.

Traverten bloklarından alınan karot örneklerinde yapılan deneylerde; gözeneklilik süngerimsi travertende oldukça yüksek (%33), diğer traverten çeşitlerinde %18-20 arasında, su emmesi süngerimsi travertende %9 diğer traverten çeşitlerinde %2,8 ile 3,2 arasında; birim hacim ağırlıkları (doygun ve kuru olmak üzere)  $1,97 \text{ gr/cm}^3$  ile  $2,43 \text{ gr/cm}^3$  arasında; özgül ağırlık 2,50 ile 2,74 arasındadır. Travertenlerin çıkarılabilmesi ve işlenebilmesi için önemli

olarak sertlik ölçümünün incelendiğinde schmidt çekici sertliğine göre süngerimsi traverten "yumuşak kaya", diğer traverten çeşitleri "sert kaya" sınıfında yer almaktadır.

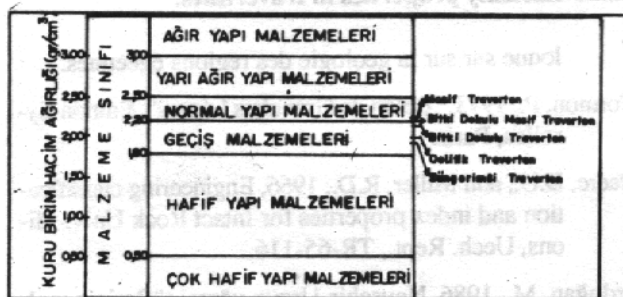
Fiziksel özellikler "T.S. 1910 Kaplama olarak kullanılan doğal taşlar" standartlarına göre; kuru birim hacim ağırlığının  $2,30 \text{ gr./cm}^3$  den aşağı olmamalı, gözeneklilik %12 den fazla olmamalıdır. Ancak Antalya travertenleri Çizelge 1 de de gözlendiği üzere kuru birim hacim ağırlığının  $2,30 \text{ gr./cm}^3$  ü bulmadığı, gözenekliliğin %12 yi aşlığı saptanmıştır. Travertenlerin T.S. 1910 standartlarına uyumamasına rağmen, Perge, Üçkapılar, Kale gibi tarihi eserlerde yıllarca bozunmadan kalabilmıştır.

Cormon (1973), tarafından yapılan yapı gereci sınıflamasında, Antalya travertenlerinde masif traverten ve bitki dokulu masif travertenin "normal yapı malzemesi" sınıfında olduğu, diğerlerinin ise "geçiş malzemesi" sınıfında olduğu saptanmıştır (Şekil 3).

Taşın Cinsi	Birim Hacim Ağırlığı (gr/cm <sup>3</sup> )		Su Emme (%)		Gözeneklilik (%)	Özgül Ağırlık Gs	Schmidt Sertliği
	doygun-γd	kuru- γk	ağırlıkça	hacimce			
Masif Traverten	2,43	2,25	3,2	7,5	18	2,74	44
Bitki Dokulu Traverten	2,27	2,15	2,8	5,2	19	2,65	42
Bitki Dokulu Masif Traverten	2,33	2,20	3,0	5,5	18,5	2,66	42
Süngerimsi Traverten	2,25	1,97	9,1	14,5	33	2,50	26
Oolitik Traverten	2,27	2,01	2,9	5,3	20	2,58	40

Çizelge 1 : Travertenlerin fiziksel özelliklerinin ortalama değerleri.

Table 1 : The mean values of the physical properties in travertines.



Şekil 3 : Travertenlerin yapı gereci sınıflandırılmasındaki yeri (Cormon, 1973).

Figure 3 : The construction material classification of travertines.

### ANTALYA TRAVERTENLERİNİN MEKANİK-ELASTİK ÖZELLİKLERİ VE KULLANILABİLİRLİK SINIFLAMASI

Antalya travertenlerinin mekanik-elastik özellikleri, araziden alınan numuneierin karot örneklerinde laboratuvar deneyleri yapılmıştır (Tek eksenli basınç direnci-Öb. Çekme direnci -Öç, Nokta yük direnci -Ön, Elastisite modülü -Es ve Ed). Bulunan bu değerler Çizelge 2 de verilmiştir.

Çizelge 2 irdelendiğinde Antalya travertenlerinin Deere ve Miller (1966) in "birleştiirilmiş mühendislik sınıfılaması" abajına göre, "çok düşük dirençli, orta modül oranlı" sınıfında olduğu görülür.

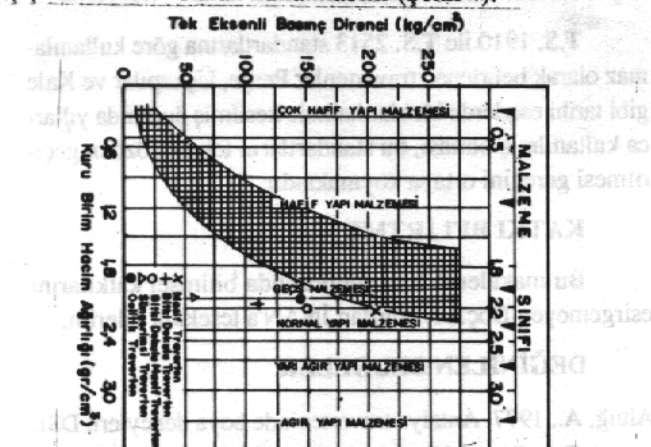
Yapılan deneylerin sonuçları, T.S. 2513 ve T.S 1910 Doğal Yapı Taşları ve Kaplama Taşları ile ilgili standartlarına göre tek eksenli basınç direnci değeri 350 kgf/cm<sup>2</sup> nin üzerinde olmalıdır. Ancak Antalya travertenleri bu so-

nucu vermeyip, en yüksek tek eksenli basınç direnci masif traverten 203 kgf/cm<sup>2</sup> ile vermektedir.

Travertenlerin bulunduğu yöre ve kullanım alanı, itibarı ile iklim olarak don olayı gözlenmediğinden (uzun yıllar ortalaması) dona karşı dayanım deneyi yapılmamıştır.

Travertenlerin mekanik-elastik özellikleri, T.S. 1910, T.S. 2513 standartlarına göre kullanılmaz olarak gösterilmektedir. Ancak çeşitli tarihi eserlerde uzun yıllar bozunmadan kalması kullanabilirliğini göstermektedir.

Venuat (1983), tarafından verilen ve yapılarda kullanılan yapı malzemesinin tek eksenli basınç direnci ile kuru birim hacim ağırlıkları arasındaki diyagrama göre masif traverten ile bitki dokulu masif traverten "normal yapı malzemesi" olarak kullanılabilir, diğer traverten çeşitleri ise "geçiş malzemesi" olarak kullanılabilir (Şekil 4).



Şekil 4 : Travertenlerin kullanılabılırlık sınıflaması (Venuat, 1983).

Figure 4 : The classification of travertines and their flexibilities according.

Taşın Cinsi	Tek eksenli basınç direnci Ób-kg/cm <sup>2</sup>	Çekme direnci Óç-kg/cm <sup>2</sup>	Nokta yük direnci Ón-kg/cm <sup>2</sup>	Statik Elasite mod. Es-kg/cm <sup>2</sup> .10 <sup>4</sup>	Dinamik Elastisite mod Ed-kg/cm <sup>2</sup> .10 <sup>4</sup>	Kohezyon C kg/cm <sup>2</sup>	İçsel Sürtünme Açısı °
Masif Traverten	203	30	10	5,1	60	43	44
Bitki Dokulu Traverten	105	14	6	3,8	42	22	43
Bitki Dokulu Masif Traverten	150	22	9	4,8	49	29	43
Süngerimsi Traverten	55	8	4	3,3	35	10	36
Oolitik Traverten	145	21	9	4,5	46	28	43

Çizelge 2 : Travertenlerin mekanik-elastik özelliklerinin ortalama değerleri.  
Table 2 : The mean values of the mechanic-elastisity properties in travertines.

## SONUÇ VE ÖNERİLER

Travertenler genelde çok boşluklu (gözneklik %10-20 arası), özgül ağırlıkları 2,50-2,74 arasında değişmektedir. Schmidt çekici sertliğine göre süngerimsi traverten hariç diğer traverten çeşitleri "sert kaya" sınıfında yer alırlar. Tek eksenli basınç değerleri 55 kgf/cm<sup>2</sup> (süngerimsi traverten) ile 203 kgf/cm<sup>2</sup> (masif traverten) arasında değişmektedir. Yapılan birleştirilmiş mühendislik sınıflamasına göre "çok düşük dirençli-orta modül oranlı" kaya sınıfında yer almaktadır. Tek eksenli basınç direnci ile kuru birim hacim ağırlığına göre yapılan kullanılabilirlik sınıflamasında, masif traverten ile bitki dokulu masif traverten "normal yapı malzemesi" sınıfında yer almaktadır. Masif traverten ile bitki dokulu masif traverten taşıyıcı yapı taşı olarak kullanılabilirler. Bunun yanında diğer bitki dokulu traverten ve oolitik traverten ile birlikte yüzeyler parlatularak bina dış cephe kaplamasında kullanılabilirler.

T.S. 1910 ile T.S. 2513 standartlarına göre kullanılamaz olarak belirlenen travertenler Perge, Üçkapılar ve Kale gibi tarihi eserlerde bloklar halinde kesilmiş durumda yollarca kullanılmış olması, bu standartların tekrar gözden geçirilmesi gereğini ortaya koymaktadır.

## KATKI BELİRTME

Bu makalenin hazırlanmasında bilimsel katkılarını esirgemeyen Doç.Dr. Nurdan İNAN'a teşekkür ederim.

## DEĞİNİLEN BELGELER

Altuğ, A., 1977, Antalya traverteninde boyalı deneyleri. DSİ. Teknik rap. No:6.

Brunn, J.H., 1970, Structures majourees et correlation stratigraphiques dans les Taurides occidentales II'eme co-

loque sur sur la géologie des régions égéennes.

Cormon, P., 1973, "Béton de Granulats Légers", Edition Eyrolles, Paris.

Deere, D.U., and Miller, R.D., 1966, Engineering classification and index properties for Intact Rock Univ. Illinois, Uech. Rept., TR-65-116.

Erdoğan, M., 1986, Nevşehir-Ürgüp yöresi tuflerinin malzeme jeolojisi açısından araştırılması. Doktora tezi (yayınlanmamış), İstanbul.

Ertunç, A., 1979, Kırkgöz kaynakları ve dolayının jeolojisi. DSİ. Teknik Rap. No:32.

İnan, N., 1985, Antalya travertenlerinin oluşumu ve özellikleri.. JMO Derg. S:24, 31-37.

Kalafatçıoğlu, A., 1974, Antalya Körfezi batı kısmının jeolojisi. MTA. Enst. Dergisi, No:81.

Koçyiğit, A., 1984, Güneybatı Türkiye ve yakın dolayında levha içi yeni tektonik gelişim. TJK Bült. C:27, S:1.

Şengör, A.M.C., Yılmaz, Y., 1982, Türkiye'de tetisin gelişimi. Yeryüzü ve İnsan, C:7, S:1.

Tarhan, F., ve Bulut, F., 1989, Bayburt tuflerinin fiziko-mekanik özellikleri, Mühendislik Jeolojisi Bülteni, S:11, 69-74, İstanbul.

T.S.E. 1910, 1977, Kaplama olarak kullanılan doğal taşlar. UDK 691.215, Ankara

T.S.E. 2513, 1977, Doğal yapı taşları. UDK 691.2:620.1, Ankara.

Venuat, M., 1983, "Du Béton Mousse au Béton de Polymerés", Cah., Tech., du Bafiment, No. 52, Mai, Paris.